

۱۷۵
۲۷۰
۳۷۵
۴۷۷

وزارت معادن و فلزات

مبلغ = ۱۹۶۰

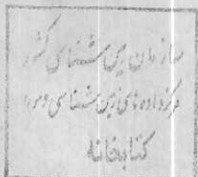
سازمان زمین‌شناسی و اکتشافات معدنی کشور

۴۳۲ = ر

گزارش اکتشافات ژئوشیمیایی سیستماتیک

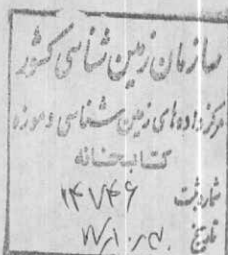
در

محدوده بیرگه ۱۰۰،۰۰۰: ۱: سبزوار



مجري طرح

محمد تقی کره‌ای



گتابختانه
۱۴۷۶۶
۷۷۱۰۰۰

مشاور

شرکت توسعه علوم زمین

زیر نظر

دکتر علی اصغر حسنی پاک

فهرست مطالب

صفحه	عنوان
تقدیر و تشکر	
● فصل اول: کلیات	
۱	۱- مقدمه
۱	۲- اهداف اکتشافات ژئوشیمیائی در مقیاس ناحیه‌ای
۲	۳- جمع آوری اطلاعات
۳	۴- موقعیت جغرافیائی و آب و هوایی منطقه
۴	۵- زمین شناسی ناحیه‌ای
۱۴	۶- بررسی رسوبات رودخانه‌ای در مناطق خشک
۱۷	۷- بررسی حوضه‌های آبریز
● فصل دوم: نمونه برداری	
۱۸	۱- مقدمه
۲۰	۲- عوامل مؤثر در طراحی نمونه برداری
۲۲	۳- عملیات نمونه برداری
● فصل سوم: نقش سنگ بستر	
۲۴	۱- جداش جوامع سنگی
۲۷	۲- نقش سنگ بستر در ارزیابی مقدار زمینه و حد آستانه‌ای
۲۷	۱-۲- نقش سنگ بستر در ایجاد آنومالیهای کاذب
۳۱	۲-۲- تغییرپذیری سنگ بستر
۳۱	۳-۲- بررسی مقادیر کلارک سنگهای رخمنودار در منطقه

فهرست مطالب

عنوان		صفحة
• فصل چهارم: پردازش داده‌ها		
(۳۵-۴۲)		۱ - مقدمه
۳۵		۲ - پردازش داده‌های سنسورد
۳۹		۳ - پردازش داده‌های جوامع تک سنگی
۴۲		۴ - پردازش داده‌های جوامع دو سنگی
• فصل پنجم: تخمین مقدار زمینه		
(۴۳-۴۸)		۱ - تحلیل ناهمگنی‌ها
۴۴		۲ - سیمای ژئوشیمیائی جوامع مختلف براساس سنگ بستر بالادست
۴۶		۳ - تخمین مقدار زمینه
• فصل ششم: تخمین شبکه‌ای شاخصهای غنی‌شدگی		
(۴۹-۱۲۰)		۱ - تخمین شبکه‌ای
۵۲		۲ - شاخص غنی‌شدگی
۵۴		۳ - محاسبه احتمالات رخداد هر یک از شاخص‌های غنی‌شدگی
۵۵		۴ - معرفی متغیرهای تک عنصری و چند عنصری
۱۱۵		۵ - محاسبه آنومالی در جامعه نمونه‌های آلورویوم
• فصل هفتم: فاز کنترل آنومالیهای ژئوشیمیائی		
(۱۲۱-۲۰۱)		۱ - مقدمه
۱۲۱		۲ - ردیاب‌های کانی سنگین

فهرست مطالب

عنوان	صفحة
۳- بزرگی هاله‌های کانی سنگین	۱۲۳
۴- نمونه برداری کانی سنگین، زونهای میترالیزه و آلترا احتمالی	۱۲۴
۴- نکاتی در مورد محل، چگالی و وزن نمونه‌های کانی سنگین	۱۲۵
۵- پردازش داده‌های کانی سنگین	۱۶۶
۵- رسم هیستوگرامها	۱۶۶
۵- دیاگرامهای پراکندگی و آنالیز کلاستر	۱۸۱
۶- تخمین شبکه‌ای و رسم نقشه متغیرهای کانی سنگین	۱۸۵
۷- نتایج حاصل از نمونه‌های میترالیزه	۱۸۶
۸- آنالیز ویژگی نمونه‌های میترالیزه	۱۸۷
۹- مطالعه تغییرپذیری دانسیته گسلها	۱۹۲
۹- مقدمه	۱۹۲
۹- روش مطالعه	۱۹۳
۹- داده‌های خام	۱۹۴
۹- پارامترهای آماری مجموع طول گسلها	۱۹۴
۹- پارامترهای آماری امتداد گسلها	۱۹۶
۹- رسم نقشه دانسیته گسلها	۱۹۶
۹- انطباق محدوده آنومالیهای ژئوشیمیائی با محدوده زونهای با شکستگی زیاد	۱۹۹
• فصل هشتم: مدل سازی آنومالیهای ژئوشیمیائی	(۲۰۲-۲۲۴)
۱- روش کار	۲۰۲

فهرست مطالب

عنوان	صفحة
۲- مدل سازی ...	۲۰۴
۱-۱- مقدمه	۲۰۴
۲-۲- مدل های عددی	۲۰۶
۳-۲- مدل سازی آنومالیهای ژئوشیمیائی در برگه سبزوار	۲۰۶
۴-۲- اولویت بندی مناطق امیدبخش	۲۱۰
۴-۱-۱- اولویت بندی	۲۱۰
۴-۲-۲- معرفی مناطق امیدبخش	۲۱۵

راهنمای آلبوم نقشه‌ها

شماره نقشه	شرح نقشه
۱	نقشه نمونه برداشتی: محل برداشت نمونه های ژئوشیمیایی و کانی سنگین از رسوبات آبراهه های و محیط های آبرفتی و محل نمونه های میزابزه، آتراسیون و پلمبینگ سیستم.
۲	نقشه توزیع شاخص غنی شدگی متغیر Al : فراوانی های معادل ۰.۱٪ بالای جامعه بعنوان مناطق امیدبخش احتمالی انتخاب شده اند.
۳	نقشه توزیع شاخص غنی شدگی متغیر Cu : فراوانی های معادل ۰.۱٪ بالای جامعه بعنوان مناطق امیدبخش احتمالی انتخاب شده اند.
۴	نقشه توزیع شاخص غنی شدگی متغیر Cr : فراوانی معادل ۰.۲٪ بالای جامعه بعنوان مناطق امیدبخش احتمالی انتخاب شده اند.
۵	نقشه توزیع شاخص غنی شدگی متغیر $(As+Sb)$: فراوانی معادل ۰.۱٪ بالای جامعه بعنوان مناطق امیدبخش احتمالی انتخاب شده اند.
۶	نقشه توزیع شاخص غنی شدگی متغیر $(Pb+Zn)$: فراوانی معادل ۰.۱٪ بالای جامعه بعنوان مناطق امیدبخش احتمالی انتخاب شده اند.
۷	نقشه توزیع مجموع امتیازات فاکتوری: این نقشه براساس امتیازات فاکتوری تحلیل شده به روش آنالیز ویژگی ترسیم شده و مناطق با ۰.۲٪ بالای فراوانی بعنوان مناطق امیدبخش احتمالی انتخاب گردیده است.
۸	نقشه توزیع مجموع عکس احتمال پیدایش شاخص های غنی شدگی کلیه متغیرها: مناطق با فراوانی ۰.۲٪ بالای جامعه بعنوان مناطق امیدبخش احتمالی انتخاب گردیده اند.
۹	نقشه توزیع فراوانی متغیرهای کانی سنگین: شامل اپیدوت (معرف دگرسانی پرولیتی)، مجموع وزنی کانی های اکسیدی و هیدروکسیدی آهن و منگنزدار و مجموع وزنی کانه های فلزی. مناطقی با فراوانی بالای $(\bar{X}+S)$ بعنوان مناطق امیدبخش احتمالی انتخاب گردیده اند.
۱۰	نقشه توزیع دانسیته گسلها، محدوده زونهای دگرسانی با گسترش قابل ملاحظه و محدوده توده های نفوذی نیمه عمیق بعنوان منابع حرارتی احتمالی.

تقدیر و تشکر

اسامی همکارانی که با تلاش پیگیر خود در پیشبرد پروژه نقش مؤثری داشته و جا

دارد از خدمات آنها قدردانی شود عبارتند از:

۱- نمونه برداری:

سعید فضائلی، رامین هندی، رضا اصفهانی، ییمان پارسی، وحید حسینی، حسن باستانی، محمود رضا علوی نائینی، سید احمد مشکانی، رسول نوبری، سید جمال الدین رضوانی، مسعود فهیمی نیا، مهندس سهیلی.

۲- آماده سازی نمونه ها:

سید جمال الدین رضوانی، حسین جیروودی، حسین امامیان، حسن دانشیان، حسین طاووسی.

۳- پردازش (در گروه ژئوشیمی سازمان):

رامین هندی، سعید فضائلی، رضا اصفهانی، ندا سلطانی، سید احمد مشکانی، رسول نوبری، صبا زعیم، شهین ابوالمعالی، مژگان علوی، پوران بهنیا، مریم هاشمی، مسعود فهیمی نیا، پیام سودی شعار.

۴- کنترل آنومالی ها:

رامین هندی، رضا اصفهانی، سید احمد مشکانی، محمود علوی، رسول نوبری، مسعود فهیمی نیا، حسین نقوی پیام سودی شعار، ندا سلطانی، مژگان علوی، شهین ابوالمعالی، صبا زعیم، آنوشاه هاشمی.

۵- کانی سنگین:

سید محمود رضا علوی، سید جمال الدین رضوانی.

۶- خدمات آزمایشگاهی:

آزمایشگاه GGE از کشور چین و آزمایشگاه سازمان زمین‌شناسی کشور برای مطالعه مقاطع نازک و صیقلی.

۷- تهیه نقشه و گزارش:

سعید فضائلی، رامین هندی، رضا اصفهانی، احمد مشکانی، ندا سلطانی، پیام سودی شعار، مسعود فهیمی‌نیا، شرکت تایپ قدس (نشر آیندگان).

در اینجا لازم است از مساعدتهای روسای محترم گروههای ژئوشیمی (جناب آقای مهندس کوثری)، GIS (سرکار خانم زارعی نژاد و صدیقی)، سنجش از راه دور (سرکار خانم مهدی‌زاده) تشکر و قدردانی بعمل آید.

فصل اول

کلیات

۱- مقدمه

اکتشافات ناحیه‌ای در مقیاس $\frac{1}{100,000}$ در زمرة عملیات اکتشافی زیربنائی بحسب می‌آید که هدف آن شناخت نواحی با پتانسیل معدنی است. برای نیل به این اهداف، از روش‌های مختلف ژئوفیزیکی، ژئوشیمیائی و اطلاعات ماهواره‌ای می‌توان بهره برد. نقشه‌برداری ژئوشیمیائی در مقیاس ناحیه‌ای نیز یکی از این روش‌هاست که می‌تواند با نمونه‌برداری از رسوبات رودخانه‌ای انجام پذیرد. پروره حاضر بخشی از طرح اکتشافات ژئوشیمیائی سیستماتیک می‌باشد که در محدوده برگه $1/100,000$ سیزوار انجام می‌پذیرد. اجرای این پروره در دو بخش طراحی شده است. بخش اول عملیات تا رسم نقشه آنومالی‌های ژئوشیمیائی و تعیین مناطق با پتانسیل ادامه می‌باید. بخش دوم شامل عملیات کنترل آنومالی‌هاست که از طریق مطالعات کانی سنگین، آتراسیون، مناطق کانی‌سازی و شکستگی‌های پر شده (*Plumbing system*) تعقیب خواهد شد و در نهایت اگر پس از کنترل به نتایج مثبتی منتبه شوند، بعنوان مناطق امیدبخش معرفی خواهند شد.

۲- اهداف اکتشافات ژئوشیمیائی در مقیاس ناحیه‌ای

بطور تجربی ثابت شده است که رسوبات آبراهه‌ای (عموماً جزء 80° - مش) می‌تواند در اکتشافات کوچک مقیاس ناحیه‌ای ($1/100,000$ تا $1/250,000$) بسیار مفید واقع شود. نتایج حاصل از این نوع بررسی‌های اکتشافی می‌تواند در تحلیل ایالات

ژئوشیمیائی و شناخت الگوهای ژئوشیمیائی ناحیه‌ای و همچنین نواحی‌ای که در آنها احتمال کشف نهشته‌های کانساری بیشتر می‌باشد، بسیار مؤثر واقع شود. علاوه بر کاربردهای مستقیم ذکر شده، نقشه‌های ژئوشیمیائی رسوبات آبراهه‌ای می‌تواند کاربردهایی در زمینه کشاورزی و محیط‌زیست نیز داشته باشد. بدیهی است که اهداف اکتشافی این نوع بررسی‌ها با اهدافی نظیر تشخیص الگوهای ناحیه‌ای برای توزیع عناصر، متفاوت است و بدین جهت باید برای هر منظوری از روش مناسب با آن استفاده کرد.

در مورد اول که هدف کشف آنومالی در هاله‌های ثانوی است، باید از تکنیکهای آماری‌ای استفاده نمود که اختلاف بین مقادیر آنومالی و روندهای ناحیه‌ای را به حداقل مقدار خود برساند و در نتیجه از طریق شدت بخشی آنومالیها، به شناسائی هرچه دقیق‌تر آنها پی‌برد. در حالت دوم چون هدف دستیابی به روندهای ناحیه‌ای است، باید از تکنیکهای آماری‌ای استفاده نمود که اثرباری آنومالیها را در روندهای ناحیه‌ای به حداقل مقدار خود برساند. چگالی نمونه‌برداری در اینحالات یک نمونه برای چند کیلومترمربع است که بوسیله سقف بودجه کنترل می‌شود.

۳- جمع آوری اطلاعات

در این مرحله اسناد و مدارک مربوط به منطقه تحت پوشش به شرح زیر تهیه و مورد مطالعه قرار گرفت:

- ۱- نقشه‌های توپوگرافی $1/50,000$ منطقه مورد مطالعه شامل چهار گوشه‌ای باعتر، نودهاریاب، رباط سرپوش و سبزوار.
- ۲- عکسهای ماهواره‌ای با مقیاس $1/100,000$ منطقه مورد مطالعه و اطراف آن

(این اطلاعات در بخش دورسنجی سازمان وجود داشته است).

۳- نقشه زمین شناسی ۱/۲۵۰،۰۰۰ سبزوار.

۴- نقشه توپوگرافی ۱/۲۵۰،۰۰۰ سبزوار.

۵- نقشه ژئوفیزیک هوائی (مغناطیس هوائی) با مقیاس ۱/۲۵۰،۰۰۰ منطقه مورد مطالعه.

با توجه به اطلاعات حاصل از مدارک فوق الذکر، برنامه عملیات صحراei جهت نمونه برداری پی ریزی گردید و در هر مورد نقش پارامترهای مؤثر در برنامه ریزی اکتشافی (بغضوص در نمونه برداری) مورد بررسی قرار گرفت که خلاصه آن در بخش‌های بعدی گزارش آورده شده است.

لازم به یادآوری است که نبود نقشه ۱/۲۵۰،۰۰۰ زمین شناسی در زمان طراحی‌ها و تحلیل‌های این پژوهه مشکلات زیادی را بار آورد و بدون شک از دقت عملیات کاست.

۴- موقعیت جغرافیائی و آب و هوائی منطقه

منطقه مورد مطالعه در نیمه پائینی نقشه زمین شناسی ۱/۲۵۰،۰۰۰ سبزوار و در بین طولهای جغرافیائی ۳۰° و ۳۶° و همچنین عرضهای جغرافیائی ۳۶° و ۳۰° قرار دارد. این محدوده تقریباً بین دو دشت بزرگ واقع شده است. دشت جفتای در شمال و صحراe سبزوار در جنوب. کرانه باختری منطقه محدود به کوه میمستان و مرز خاوری آن را روستاهای رباط جز و خوشاب تشکیل می‌دهد.

بزرگترین و مهمترین شهر در این محدوده، سبزوار است. راههای اصلی این منطقه یکی شامل راه جدید مشهد در جنوب آن می‌باشد که تمام طول محدوده مورد مطالعه را طی می‌کند و از شهر سبزوار نیز می‌گذرد، و دیگری شامل جاده قدیم مشهد است که از

سلطان آباد به سمت نیشابور ادامه می یابد و در بخش شمالی منطقه قرار دارد. چندین جاده فرعی (شوسه) شمالی - جنوبی نیز در منطقه وجود دارد که جاده های قدیم و جدید مشهد را بهم وصل می کند.

بلندترین کوه در منطقه، کوه سیاه به ارتفاع ۲۱۰۰ متر از سطح دریا می باشد و میانگین ارتفاع منطقه حدود ۱۵۰۰ متر است. ناحیه سبزوار بخصوص در بیانها، دارای آب هوای گرم و خشک با دمای بالای ۳۵° و توفانهای شنی در تابستان بوده و در زمستان دما به زیر صفر می رسد. بارندگی در این منطقه به فصل زمستان و نیمه اول بهار محدود می گردد و میانگین بارش سالانه آن نسبتاً پائین است (۱۸۴/۳ میلی لیتر). سیستمهای اصلی آبیاری در این منطقه شامل سیستم قنات بندی در دشتها و چشمهای کوهستانها می باشد. پوشش گیاهی در منطقه کم است و بطور عمده بوته و برخی میوه های وحشی را شامل می شود. تولیدات کشاورزی بطور عمده شامل صیفی جات، انگور و گرد و می باشد.

۵- زمین شناسی ناحیه ای

پهنه ایران زمین را می توان به مناطق زیر تقسیم کرد:

۱- کمر بند چین خورده زاگرس ۲- زون روراندگی زاگرس. ۳- کمر بند دگرگونی سندج - سیرجان. ۴- کمر بند آتشفشاری ارومیه - دخت. ۵- زون لوت. ۶- کمر بند چین خورده البرز. ۷- تود؛ ایران مرکزی. ۸- زون مکران و شرق ایران. ۹- زون کپه داغ.

منطقة تحت پوشش این پروژه در محل برخورد بخش جنوبی زون کپه داغ با بخش شمالی زون لوت قرار دارد که عمدتاً شامل: ۱- سکانس افیولیتی ۲- سکانس ولکانیکی اثوسن و ۳- سکانسهای تخریبی وابسته به آنهاست. در زیر واحدهای مختلف هریک از سکانسها تشریح می شود:

سری افیولیتی دارای واحدهای اولترامافیک (پریدوتیت، هارزبورگیت و دونیت سرپانتینی شده)، مافیک (گابروو بازالت)، دیابازی و رسوبات پلاژیک می‌باشد که گاهی بصورت ملانژ ظاهر می‌شوند. بهمراه سریهای ذکر شده در بالا یک سری از سنگهای دگرگونی که بطور عمدۀ شامل شیست سبز و رخساره آمفیبوليتي است نیز دیده می‌شود. قدیمی ترین سنگهای فسیل دار این منطقه متعلق به رخساره پلاژیک باسن کرتاسه بالائی است (باستانه بخش کوچکی در شمال شرق برگه $1_{50,000}$ معدن بالا که در آن سنگهای پالئوزوئیک تفکیک نشده رخنمون دارند). فعالیتهای آتششانی جوانتر اغلب به شکل سابولکانیکهای مخروطی شکل داسیتی تظاهر دارند. جدول زیر رخساره عمومی سنگهای منطقه را نشان می‌دهد:

مشخصات کلی واحدهای سنگی به شرح زیر است:

۱- آمفیبولييت و آمفیبولييت گارنت دار

این واحد احتمالاً از قدیمی ترین واحدهای موجود در منطقه می‌باشد. سنگهای مربوط به این واحد در بخش جنوب شرقی و جنوب غربی روستای سلطان آباد رخنمون داشته و وسعت زیادی را می‌پوشاند. این سنگها که سبز تیره می‌باشند، حالت توده‌ای داشته و ترکیب کانی‌شناسی آنها شامل آمفیبیول سبز و قهوه‌ای، پلاژیوکلاز و گرونا است. آمفیبیولها بخش عمدۀ ای از حجم سنگ را اشغال می‌کنند. پلاژیوکلازاها اغلب به سریسیت، کلیست و کانی‌های رسی دگرسان شده‌اند.

۲- سنگهای اولترامافیک

واحدهای اولترامافیک بخش قابل ملاحظه‌ای از سنگهای سکانس افیولیتی را تشکیل می‌دهند. این واحد یا به شکل توده‌های خیلی بزرگ و نسبتاً همگن و یا به شکل شدیداً سرپانتینیزه شده، خرد شده و آلتره، که معمولاً بخشی از یک ملانژ تکتونیکی است، دیده می‌شود. این واحد بطور عمدۀ شامل هارزبورگیت و دونیت می‌باشد. سایر سنگهای

سن	سکانس	واحدهای سنگی
کواترنر		رسوبات تخریبی کواترنر
نئوژن	ولکانیکی و رسوبی جوانتر	کنگلومرای نئوژن البین بازالت
		مارنهای میوسن و ماسه سنگ داسیت و متا آندزیت
		آندزیت آمفیبول دار
اثوسن	ولکانیکی و رسوبات واپسته	ولکانیکهای اثوسن و سنگهای پیروکلاستیک تفریق نشده بهمراه رسوبات فلیش سنگ آهک نومولیت دار که در میان رسوبات فلیش قرار گرفته اند
		کنگلومرای قرمز رنگ (بطور عمدۀ حاوی قطعات انبولیتی)
		آهک گلوبوتانکانادار
		شیل - رادیولاریت
		سری اسپلیتی
کرتاسه	افیولیتی	رخساره های زیر دریائی، گدازه های بالشی، هیالوکلاستیک همراه با آهکهای پلازیک
		سنگهای دگرگونی شامل متاپیلو
		گابروهای کومولوس و گابروهای فوکانی (پگماتیتی) و هورنبلندگابرو
		کمپلکس پریدوتیتی شامل ها رزبورگیت، دونیت با سرپانتینیزاسیون پیشرفه (سرپانتینیت)
		آمفیبولیت و آمفیبولیت گارنت دار

اولترامافیکی شامل لرزولیت، وبستریت و برونزیت نیز یافت می‌شوند. تقریباً تمام پریدوتیتها به درجات مختلف سرپانتینی شده‌اند. واحدهای اولترامافیکی سرپانتینی شده در سراسر منطقه افیولیتی سبزوار تشکیل شده و یکی از اجزاء اصلی آن به شمار می‌رود. تشکیل این واحد در امتداد گسلها معمولتر می‌باشد. این سنگها در منطقه سبزوار شدیداً هوا زده و بعضاً اکسید شده‌اند و در برخی نقاط یک ساخت شیستوزیته بسیار جزئی از خود نشان می‌دهند. رنگ آنها سبز تیره تاروشن یا سبز قهوه‌ای و در برخی نقاط قرمز پرنگ است.

سنگهای اولترامافیک اغلب بوسیله یکسری دایک میکرگابرویی قطع می‌شوند (ایزوتروپیک دایک). دایکها معمولاً توده‌ای و دانه‌ریز و گاهی هم دانه متوسط تا دانه درشت هستند و بعضاً هم خرد شده یا شکسته شده می‌باشند. در برخی نقاط این دایکها با ضخامت ۱ تا ۲ متر و طول چند صدمتر در داخل سنگهای ولکانیک زیردریائی توسعه می‌یابند. این دایکها بسیار سخت بوده و برنگ خاکستری تاخاکستری تیره دیده می‌شوند.

۳- واحد گابروهای تحتانی و فوقانی

واحد گابروهای تحتانی و فوقانی رخنمونهای اندکی دارند که آنهم بیشتر شامل گابروهای پگماتیتی فوقانی می‌شود. ترکیب کانی شناسی آنها بیشتر شامل پلاژیوکلاز و هورنبلند است که به کلریتهای پرآهن آلتره شده است. یک واحد سنگی که در روی نقشه دیاباز نامیده شد؛ است، بعلت وسعت بسیار زیاد (بیش از ۱۰ کیلومتر طول)، بافت و ساختمان مخصوصی که دارد، ممکن است گابروی دانه‌ریز باشد.

۴- واحد بازالت‌های بالشی

این سری از سنگها وسعت نسبتاً زیادی داشته و با مرفولوژی کاملاً متفاوتی که نسبت به سایر واحدهای سنگی دارند، کاملاً مشخص هستند. اجزای تشکیل دهنده این واحد دارای ساخت بالشی بوده و ترکیب آنها از بازالت تا اسپلیت تغییر می‌کند. قطر بزرگ بالش‌ها بین $1/5$ تا $5/0$ متر تغییر می‌کند و بعضًا بوسیله یک پوسته سیاهرنگ با جلدی صمعی پوشیده می‌شوند. معمولاً توفهای حاوی آهک و رسوبات آتشفسانی (هیالوکلاستیک) و آهکهای میکریتی بصورت بین لایه‌ای درون آن قرار می‌گیرند. به نظر می‌رسد که اسپلیتها منشأ ثانوی داشته باشند.

۵- رسوبات پلازیک

سنگ آهک گلوبوتانکانداری که در منطقه مشاهد می‌شود، قدیمی ترین سنگهای رسوبی حاوی فسیل در منطقه می‌باشد و بیشترین حجم سنگهای رسوبی همراه بخش افیولیتی را بخود اختصاص می‌دهد. این سنگها دارای چینه‌بندی مشخص و لایه‌بندی نازک است. رنگ کرم، صورتی تا قرمز دارد و گاهی همراه با لایه‌های چرت می‌باشد. این آهکها با ضخامتی حدود چند ده متر، بطور پراکنده در منطقه یافت می‌شوند. سنگهای رسوبی دیگری که با افیولیتهای منطقه همراهند، شیلهای قرمز و سبز بهمراه مقداری رادیولاریت قرمز رنگ و همچنین آمبر می‌باشد. این سنگها معمولاً همراه با توف‌رسی یا ماسه‌ای هستند و بعضًا بوسیله دایکهای میکروگلبرویی قطع می‌شوند و در برخی نقاط همراه گذازه‌های زیردریائی دیده می‌شوند.

۶- سنگهای اسیدی تأخیری

این سنگهای اسیدی شامل تونالیت، پلازیوگرانیت و گرانوفیر است. قطعاتی از این

سنگها بهمراه خرده سنگهای سایر واحدهای افیولیتی در کنگلومراي قرمز رنگ قاعده اثوسن یافت می شود. حضور قطعاتی از این سنگها در نهشته های مربوط به بعد از کرتاسه (احتمالاً پالئوسن) دلالت بر سن قبل از ترشیری آنها دارد. این سنگها به عنوان محصولات نهائی تبلور بخشی بداخل سنگهای افیولیتی نفوذ کرده اند. گچه ممکن است تا حدودی شبیه به سنگهای آذرین اثوسن باشد ولی با آنها کاملاً متفاوتند. اپیدوتی شدن شدید در این سنگها بطرور وسیعی گسترش دارد و گاهی تشکیل مقداری مسکویت در آنها بچشم می خورد. اپیدوتیزاسیون شدید این سنگها ممکن است دلالت بر وجود یک نوع دگرگونی در آنها باشد.

۷- سکانسهای ولکانیکی و رسوبی ترشیری

سنگهای آذرین و رسوبی ترشیر بیشتر قسمتهای شمالی و جنوبی ناحیه را به خود اختصاص داده اند و به نظر می رسد که سکانس افیولیتی را در برگرفته اند. در شمالی ترین قسمت ناحیه، بیشتر سنگهای آذراواری و ولکانیکهای اثوسن به چشم می خورد، در حالیکه در قسمت جنوبی محدوده مرمرهای نتوژن، ماسه سنگ، کنگلومرا و ولکانیکهای اسیدی جوان عمدت ترین واحدهای بعد از افیولیت می باشند. همبری بین سکانسهای ترشیری و افیولیتی شدیداً خرد شده است و بوسیله گسلهای عمیق شرقی - غربی کنترل می شوند. در ادامه به شرح واحدهای مربوط به این سکانس ها می پردازیم.

الف - کنگلومراي قاعده اثوسن و سنگ آهک اثوسن

کنگلومراي قرمز رنگ قاعده اثوسن که بخش کوچکی از سکانس سنگهای اثوسن را بخود اختصاص می دهد. در برخی نقاط خرد، آهکهای حاوی نومولیت را نیز در خود

دارد و در بعضی مناطق بخصوص غرب منطقه بصورت یک ملاتر با آهکهای نومولیتی مخلوط شده است. این کنگلومرا در برخی نقاط چند صدمتر ضخامت دارد و گاهی همراه با آهکهای نومولیتی در امتداد کلی سکانس اوسن، یعنی شرقی- غربی توسعه می یابد. خوده سنگهای واحدهای افیولیتی در داخل این کنگلومرا یافت می شوند. مهمترین جزء رسوبی آن مربوط به آهک گلوبو ترانکانای باسن کرتاسه بالائی است.

علاوه بر آهک نومولیتی که بعضاً در روی کنگلومرا قرار می گیرد، رسوبات فلیشی، ماسه سنگ مارنی و لایه های گچ دار نیز روی آن قرار می گیرد.

ب - سری ولکانیکهای اوسن

این سکانس عمدتاً از سنگهای آشفتشانی (بیشتر آندزیت و بعضاً بازالت) و سنگهای توفی نظیر توف برش، توف لایپلی، توف بلورین و ماسه سنگ توفی تشکیل شده است. سنگهای آندزیتی شامل آندزیت دانه ریز، آندزیت پرفیری، آندزیت پیروکسن دار و آندزیت آمفیبول دار می باشد که بعضاً بهمراه معادلهای نفوذی رخنمون دارند. نوع اجزاء رسوبی و فسیل ها نشان می دهند که رسوبگذاری در مناطق کم عمق دریا صورت گرفته است. ضخامت این سری به چند کیلومتر می رسد. کتناکت این توالی با واحدهای مجاور اغلب تکتونیکی است. این سری روی کنگلومرا ای قاعده اوسن و آهکهای نومولیت دار قرار می گیرد. این سکانس در یال شمالی بوسیله رسوبات تغیریز نتوژن پوشیده می شود. دایکهای آندزیتی و توده های داسیتی، بداخل این سری نفوذ کرده اند. ضخامت این سری در برگه سلطان آباد نسبت به دو برگه دیگر کمتر است. علاوه بر گدازه های ذکر شده، سنگهای آزرآواری بخش قابل ملاحظه ای از سری ولکانیکی اوسن را به خود اختصاص می دهد که بیشتر شامل انواع توف، آگلومرا، لایپلی توف و

برش‌های ولکانیکی است.

نکته قابل ذکر آنست که یک ولکانیک جوانتر از ائوسن که عمدتاً به تشکیل سنگهای نیمه عمیق و خروجی از نوع "داسیتی مخروطی شکل" انجامیده است، در منطقه وجود دارد. این مخروطهای داسیتی، واحدهای افیولیتی، ولکانیکی و رسوبی ائوسن و قبل از آنرا قطع می‌کنند. گاهی زینولیت‌های سرپانتینی در آنها دیده می‌شود. این توده‌های داسیتی هم در دامنه جنوبی و هم در دامنه شمالی کمپلکس افیولیتی گسترش دارند. در بعضی مناطق بازالت‌ها جوان به صورت گذاه یا دایک با رخساره خشکی ظاهر می‌کنند. بعضی از آنومالی‌های طلای مشاهده شده مانند کوه زر ممکن است با این ولکانیسم بازالتی جوان مرتبط باشد.

ج - کنگلومرای نژوژن

این واحد بطور وسیعی در دامنه‌های شمالی کمپلکس افیولیتی توسعه یافته است. لایه‌های قرمز رنگ نژوژن عمدتاً شامل رس نرم، مارن و شیل بوده که دارای رنگهای زرد، صورتی و ارغوانی می‌باشند. در شمال ناحیه، گاهی این سنگها با ولکانیکهای ائوسن پوشیده شده‌اند. سنگهای تغییری از جمله لایه‌های نازک گچ و گاهی هم مخلوط گچ و نمک بصورت پراکنده در داخل سنگهای قرمز رنگ تشکیل شده‌اند. در بعضی مکانها دایکها و سیلهای الیوین بازالت جوان در این سنگها نفوذ کرده‌اند. این سازند که جوانترین سازندسکانس ترشیری است. ممکن است معادل کنگلومرای بختیاری قلمداد شود.

د - کواترنری

رسوبات این دوره شامل پادگانه‌ها، شنها و رسوبات آبرفتی بوده و عمدتاً به دو

گروه تقسیم می شود. یک سیستم پادگانه های قدیمی تر که بالاتر قرار گرفته اند و دیگری سیستم پادگانه ای جوانتر که در ارتفاع پائین تری قرار دارند. پادگانه های قدیمی تر درست در محل برخورد آبراهه ها به دشت یعنی در قسمت کوهپایه ای واقع شده اند و با ضخامت چندین متر روی پی سنگ یا بستر رودخانه را پوشانیده اند. این پادگانه ها ضخیم بوده و دارای کمی سیمان آهکی هستند. سیستم پادگانه ای جوانتر بیشتر در داخل دشت گسترش دارند و گاهی به شکل مخروط افکنه دیده می شود. این سازند بصورت شن و ماسه های سست، بستر رودخانه ها را پرکرده است.

بطور خلاصه در محدوده برگه ۱/۱۰۰,۰۰۰ سبزوار:

۱- قدیمی ترین سنگهای رخمنو ندار این منطقه متعلق به کمپلکس افیولیتی است و برخلاف برگه سلطان آباد که در بخش شمال شرقی آن پی سنگ پالئوزوئیک رخمنو ندارد، در اینجا هیچگونه رخمنوی از سنگهای قدیمی تر از کرتاسه دیده نمی شود.

۲- در کمپلکس افیولیتی، برخلاف برگه ۱/۱۰۰,۰۰۰ سلطان آباد که پیدایش یک مقطع کامل از بازلتاهای بالشی تا هارزبورگیت دشوار است، در برگه سبزوار بخصوص در غرب روستای باغجر، می توان کمپلکس افیولیتی را دست نخورده تر و با تغییر شکلهای کمتر و منظم تر یافت. قدیمی ترین واحد این کمپلکس واحد آمفیولیتی است که بین سلطان آباد و برقبان رخمنو ندارد. بخش عمدہ ای از واحدهای آمیزه رنگین دریال جنوبی توسعه دارند تا دریال شمالی.

۳- گسترش حوضه های رسوی (رسوبات تخریبی) از شرق به غرب این منطقه کاهشن می یابد، بطوريکه بخش عظیمی از کنگلومرات نوژن در نیمه شرقی آن

یافت می شود.

۴- ولکانیکهای جوانتر (بعد از ائوسن) داسیتی، دریال شمالي کمپلکس توسعه بیشتری نسبت به برگه سلطان آباد دارد. جالب توجه آنکه همین توده‌های نفوذی داسیتی پس از عبور از منتهی الیه غربی برگه سبزوار به یال جنوبی منتقل شده و دریال شمالي بندرت یافت می شوند. چنین عدم تقارنی نه فقط در مورد ولکانیکهای جوان بلکه در مورد ولکانیکهای ائوسن نیز صادق است، بطوريکه ولکانیکهای ائوسن بیشتر دریال شمالي رخمنون دارند. اين عدم تقارن چه ریشه در شرایط تشکیل و یا ریشه در شرایط فرسایش داشته باشد، واقعیت غیرقابل انکاری است.

۵- گسترش رخمنون گدازه‌های زیردریائی بیشتر در بخش مرکزی کمپلکس دیده می شود که از شمال با ولکانیکهای ائوسن و رسوبات تخریبی و از جنوب بوسیله توده‌های پریدوتیتی احاطه می شوند. در بین واحدهای مختلف کمپلکس افیولیتی گدازه‌های زیردریائی بیشترین گسترش را دارا می باشند و سپس توده‌های پریدوتیتی و سرپانتینی شده و توده‌های دیابازی و آمیزه‌رنگین در مقام بعد قرار می گیرند.

۶- گسترش ولکانیکهای ائوسن در این برگه بیشتر به یال شمالي محدود می شود. ترکیب این ولکانیکها از بازیک تا متسط و حتی اسیدی تغییر می کند و بوسیله ولکانیکهای داسیتی جوانتر قطع می شود. اکثر همبریها در محدوده این برگه دارای روند $N50 - 80W$ می باشند. این روند بر روند گسلهای منطقه تا حدود زیادی منطبق است. گفتنی است در منتهی الیه جنوب شرقی این برگه، سنگهای ولکانیک ائوسن رخمنون دارند که بوسیله توده‌های نفوذی تاخیری تا حدودی دگرگون شده و

زون اسکارنی با وسعت چند کیلومترمربع را بوجود آورده است. رخسارهای همیری آهکی که بتواند تولید اسکارن کردناتی کند، بجز در مکانهای بسیار محدود، در جاهای دیگر مشاهده نشده است. بنابراین می‌توان اساساً این اسکارن را از نوع سیلیکاتی دانست.

۶- بررسی رسوبات رودخانه‌ای در مناطق خشک

از آنجاکه مناطق خشک بخش قابل ملاحظه‌ای از سطح کره زمین را می‌پوشاند، ملاحظات خاص مربوط به اکتشافات ژئوشیمیائی از طریق رسوبات آبراهه‌ای در این مناطق وجود دارد که باید بدانها توجه نمود. این ملاحظات ویژه ناشی از شرایط خاص آب و هوایی و ژئومورفولوژیکی این مناطق است. محیطهای کویری را می‌توان براساس ویژگیهای ساختمانی - ریخت‌شناسی به دو دسته تقسیم نمود:

الف - مناطق کویری توسعه یافته در سپرها و سکوها، مانند مناطق وسیع آفریقا، عربستان، استرالیا و بخشهایی از ایران مرکزی. از نظر ساختمانی و ریخت‌شناسی، این کویرها سرزمینهای وسیع مسطحی هستند که بوسیله حوضه‌های کم ارتفاع از یکدیگر جدا می‌شوند. حوضه‌های آبریز در چنین مناطقی توسعه بسیار کم داشته و فرسایش در آنها بعلت پائین بودن پتانسیل مکانیکی محدود است.

ب - مناطق کویری توسعه یافته در فلاتها (مانند بخشهایی از زاگرس، ارومیه - دختر و سندج سیران). در پیدایش مناطقی که در آنها مناطق کوهستانی و دشتیهای بین آنها متناویاً تکرار می‌گردد، فعالیتهای تکتونیکی (عمدتاً با مولفه‌های درجه قائم) نقش مؤثری را ایفا می‌نمایند. برخلاف مناطق کویری توسعه یافته در سپرها

و سکوها، در این مناطق آب و هوای می‌تواند تنوع بیشتری داشته باشد. در بعضی مناطق آن ریزشهای جوی اندک و در بعضی مناطق بطور قابل ملاحظه‌ای زیاد می‌باشد که می‌تواند موجب توسعه قابل ملاحظه حوضه‌های آبریز شود. در این مناطق نیز مانند کویرهای توسعه یافته در سپرها و سکوها، سیستمهای حوضه آبریز ممکن است به محیطهای پلیائی که در آنها آبهای سطحی سرعت تبخیر می‌شود، ختم شود.

قسمت عمده محدوده پروژه حاضر را می‌توان در زمرة مناطق خشک از نوع دوم تلقی کرد که در آن توسعه حوضه‌های آبریز، کاربرد مؤثر روش بررسی رسوبات رودخانه‌ای را بعنوان یک روش اکتشاف ناجه‌ای امکان‌پذیر می‌سازد، زیرا حتی در شرایط خشک آب لازم برای فرسایش شیمیائی در طول زمان زمین‌شناسی وجود دارد. بدون شک فرسایش مکانیکی در چنین مناطقی، بخصوص در بخش‌های مرتفع آن، نقش اول را ایفا می‌کند. فرایندهای هوازدگی شیمیائی در این مناطق بطور کلی شامل اکسیداسیون می‌باشد که اثر آن در روی یونهای مختلف آهن، منگنز و گوگرد و در نتیجه در روی قابلیت تحرک آنها بسیار مهم است. یکی از عوامل پیچیده کننده سیمایی ژئوشیمیائی این نواحی، ناهمگنی ژئوشیمیائی رسوبات آبراهه‌ای در مقیاس درون یک حوضه آبریز بزرگ می‌باشد. علت این ناهمگنی ژئوشیمیائی، یک ناهمگنی در ریزشها جوی این مناطق است که خود می‌تواند منشأ خطای ارزیابی پتانسیل معدنی این نواحی گردد. در این مناطق بخش قابل ملاحظه‌ای از ریزشها جوی، بصورت رگبارهای پراکنده، صورت می‌پذیرد که ممکن است همه یک حوضه آبریز را باشد یکسان نپوشاند. در اینصورت فوقانی ترین رسوبات کف آبراهه بیشتر منعکس کننده ترکیب شیمیائی آن بخش از حوضه آبریز است که محصولات حاصل از فرسایش آن در آخرین فاز بارندگی از

طریق چنین رگارهایی به بخش‌های پائینتر حوضه حمل و روی رسوبات قبلی را پوشانده است.

بدیهی است اگر چنین بخشی از حوضه آبریز محل توسعه هاله‌های ژئوشیمیائی اولیه باشد، آنmalیهای ثانوی مشتق شده از آنها قوی خواهد بود (زیرا مواد باطله کمتری با آن مخلوط شده است). ولی اگر چنین بخشی از حوضه آبریز، مناطق عقیم (بدون هاله اولیه) باشند، که عموماً چنین است، در اینصورت شدت آنmalیها در رسوبات سطحی حوضه آبریز کاهش یافته و ممکن است مقدار عناصر وابسته به کانی‌سازی تا حد مقدار آستانه‌ای و یا مقدار زمینه تنزل داده شود.

یکی دیگر از عوامل پیچیده کننده سیمای ژئوشیمیائی در چنین مناطقی، ناهمگنی ژئوشیمیائی در اندازه ذرات تخریبی و در نتیجه تغییر مقدار شدت شستشوی شیمیائی (فرسایش شیمیائی) ذرات سازنده رسوب رودخانه از بخش‌های مرتفع حوضه آبریز به بخش‌های میانی و بخش‌های کم ارتفاع نزدیک دشتها است. نتیجه چنین ناهمگنی احتمال بیشتر ثبت آنmalیهای ژئوشیمیائی در بخش‌های مرتفع تر با فرسایش مکانیکی شدیدتر (تحت دیگر شرایط یکسان) می‌باشد.

علاوه بر دو عامل فوق، اختلاف در احتمال رقیق شدن رسوبات حاصل از تخریب مناطق کانی‌سازی شده از طریق اختلاف با رسوبات حاصل از فرسایش مناطق عقیم، در دو بخش فوقانی و تحتانی یک حوضه آبریز معین نیز می‌تواند موجب خطا در ارزیابی مناطق امیدبخش گردد. بدیهی است احتمال چنین اختلاطی در بخش‌های فوقانی یک حوضه آبریز کمتر و در بخش‌های تحتانی آن بیشتر می‌باشد.

برای برطرف کردن اثر سوء پدیده‌های فوق، باید به موازات بررسی‌های ژئوشیمیائی رسوبات آبراهه‌ای، از روش‌های دیگر مانند برداشت نمونه‌های کانی سنگین،

برداشت نمونه از زونهای مینرالیزه، قطعات گوسن آهندار و زونهای آلتره شده نیز اقدام نمود. زیرا چنین پدیده‌هایی ممکن است نسبت به بعضی از فلزات کانساری، غنی شدگی نشان دهند و یا نشانه‌ای برای کانی‌سازی احتمالی باشند. در پروژه حاضر چنین اقدامات احتیاطی منظور گردیده است تا حتی الامکان احتمال وقوع چنین مواردی به حداقل برسد. تنها مشکل حاضر عدم استقلال روش کانی‌سنگین نسبت به روش ژئوشیمیائی است زیرا بعلت محدودیت‌های موجود نمونه‌های کانی‌سنگین فقط از محل توسعه آنومالی‌های ژئوشیمیائی (۱٪ بالای جامعه) برداشت می‌شود.

همانطوری که ذکر شد در پروژه حاضر علاوه بر بررسی‌های ژئوشیمیائی رسوبات آبراهه‌ای، برداشت نمونه‌های کانی‌سنگین، مینرالیزه (از زونهای کانی‌سازی احتمالی) و دگرسان شده در برنامه قرار گرفته است تا از مقایسه نتایج حاصل از آنها بتوان به نتایج مناسبتری دست یافت.

۷- بررسی حوضه‌های آبریز

بمنظور سهولت بخشیدن به طراحی محل نمونه‌ها و اجرای عملیات مربوط، در هر حوضه آبریز لازم است تا حوضه‌های آبریز هر یک از برگه‌های توپوگرافی ۱/۵۰،۰۰۰ منطقه تعیین و مشخص گردد. همچنین تعیین محدوده حوضه‌های آبریز بر روی هر برگه می‌تواند در تحلیل داده‌های مربوط به آن مفید واقع شود. جهت سهولت در مشخص نمودن محل آنومالیهای احتمالی، که پس از تجزیه و تحلیل داده‌های حاصل از آنالیز نمونه‌ها بدست خواهد آمد، محدوده حوضه‌های آبریز در هر یک از برگه‌های ۱/۱۰۰،۰۰۰ لازم است مورد بررسی قرار گیرد.

فصل دوم

نمونه برداری

۱- مقدمه

نظر به تشخیص آنومالیهای واقعی و تمیز انواعی که به نهشته‌های کانساری مرتبط می‌باشد، از سایر انواع آن لازم است تا جزء ثابتی از رسوبات آبراهه‌ای (برای مثال جزء ۸۰ - مش) و یا کانی سنگین (جزء ۲۰ - مش) مورد آزمایش قرار گیرد. در مواردی که هاله‌های ثانوی اکسیدهای آهن و منگنز توسعه یافته‌اند برداشت نمونه از چنین هاله‌هایی ممکن است موجب شدت بخشی به هاله‌های هیدرومورفیکی شود که در این صورت باید احتیاط‌های لازم جهت تفسیر اطلاعات بدست آمده صورت پذیرد. علاوه بر موارد فوق در بررسی رسوبات آبراهه‌ای برداشت نمونه‌هایی همچون قطعات کانی‌سازی شده کف آبراهه، قطعات پوشیده از اکسیدهای آهن و منگنز، قطعات حاوی سیلیس آمورف و یا کربناتهای سیلیسی شده برای آنالیز یک یا چند عنصر یا کانی خاص، می‌تواند مفید واقع شود. البته هر یک از محیط‌های نمونه برداری فوق تحت شرایط خاصی می‌تواند بیشتر مفید واقع شوند. عواملی که باید در این خصوص در نظر گرفته شوند شامل تیپ کانسار مورد انتظار، سنگ درونگیر، محیط تکتونیکی و دامنه سنی و احدهای زمین‌شناسی می‌باشد. از ترکیب نتایج بدست آمده از محیط‌های مختلف نمونه برداری در حوضه‌های آبریز، می‌توان به نتایج مناسبتری دست یافت. در پروژه حاضر نتایج حاصل از سه نوع بررسی با یکدیگر ترکیب و سپس مدل‌سازی شده‌اند و بدین دلیل نتایج نهایی بدست آمده چه در جهت مثبت و چه در جهت منفی می‌تواند معتبرتر باشد. کلیه نتایج بدست آمده از هر یک از روشهای فوق تشکیل یک سیستم اطلاعاتی با امکانات حذف و انتخاب مکرر

داده‌ها در مورد آنها کمتر خواهد بود. ولی در مناطقی که از نظر تکتونیکی فعال می‌باشدند، مانند منطقه تحت پوشش این پروژه، سیلابهای شدید که قادر به حمل چنین موادی می‌باشدند، به وفور رخ میدهد و در نتیجه این رسوبات ممکن است از ناحیه منبع فاصله گیرند و کار تحلیل اطلاعات را در جهت کشف منع اولیه دشوار سازند.

۲- عوامل مؤثر در طراحی نمونه برداری

طراحی نمونه برداری طوری صورت گرفته است که در قالب ۸۰۰ نمونه برای هر برگه حداکثر سازگاری را با روش مرکز ثقل داشته باشد. درجه مرکز ثقل را عوامی نظیر چیه‌شناسی، سنگ‌شناسی و تکتونیک کنترل می‌کند. معمولاً در طراحی به روش مرکز ثقل توده‌های نفوذی و خروجی و نواحی مجاور آنها (کنتاكت‌ها) و همچنین نواحی اطراف گسلها و تقاطع آنها و زونهای دگرسان شده بعد از ماقمایی و مناطقی که در بخش فوقانی توده‌های نفوذی نیمه عمیق قرار دارند (این توده‌های روی نقشه ژئوفیزیک هوایی مشخص می‌شوند) از چگالی نمونه برداری بالاتری برخوردار می‌باشدند. معمولاً آبراهه‌هایی که بوسیله گسلهای عمیق مشخص شده به روش ژئوفیزیک هوایی قطع می‌شوند، ۵۰۰ متر پائین‌تر از محل تلاقی آبراهه با گسل مورد نمونه برداری قرار می‌گیرند. در مواردیکه آتراسیونهای شدید مشاهد شده است، بخصوص در اطراف سنگهای نفوذی یا خروجی موجود در نواحی کم ارتفاع (این نواحی بیشترین مقدار آتراسیون را چه از نظر وسعت و چه از نظر شدت نشان می‌دهند)، درجه مرکز ثقل آبراهه‌ها باید بطور محلی افزایش یابد. این امر به دلیل اهمیت چنین مناطقی می‌باشد. به دلیل فعال بودن پدیده رقیق شدگی و اثر سرشکن شدگی در حوضه‌های آبریز وسیع (با بیش از ۳۰ سرشاخه) و کاهش شدید مقدار آنمالیهای احتمالی در محل اتصال آبراهه‌ها به یکدیگر لازم است چنین حوضه‌های

آبریزی بخصوص در مواردی که آبراهه سنگ بستر را قطع نمی کند به حوضه های کوچکتر تقسیم گردند. این امر موجب می گردد تا اختلاط رسوبات از آبراهه های مرتبط با کانی سازی احتمالی با آبراهه های بدون کانی سازی موجب تضعیف بیش از حد آنmalیها و ارزیابی منفی آنها نگردد. به علاوه این امر موجب می گردد تا احتمال قطع سنگ بستر در آبراهه افزایش یابد. این امر خود موجب افزایش ارزش داده ها می گردد. علاوه بر عوامل فوق، یکی دیگر از عوامل مؤثر در تصمیم گیری تقسیم یک حوضه آبریز بزرگ به حوضه های کوچکتر. احتمال وجود آلودگیهای ناشی از فعالیتهای کشاورزی در کف یا حاشیه رودخانه هایی است که نواحی با توپوگرافی آرام (قابل کشت) در اطراف آنها وجود داشته است. بدینه است مصرف کودهای شیمیایی و سموم نباتی احتمال وجود آلودگی به عناصر کمیاب را در رسوبات پائین دست آنها افزایش میدهد. در چنین مواردی فقط مرکز ثقل بخش های فوقانی آنها، که از آلودگی مصنون می باشد، می تواند محاسبه گردد. محدوده مورد بررسی را از نظر توپوگرافی می توان به چهار بخش شامل نواحی مرتفع (با ارتفاع بالای ۲۵۰۰ متر)، نواحی با ارتفاع متوسط (با ارتفاع ۲۵۰۰ - ۱۵۰۰ متر)، نواحی کم ارتفاع (با ارتفاع ۱۵۰۰ - ۱۰۰۰ متر) و دشتها و مخروط افکنه ها (آبرفتی) تقسیم نمود. در اکثر قریب به آبراهه های اتفاق نوع آخر، آبراهه کم عمق بوده و سنگ بستر را قطع نمی کنند و از این رو روند تغییرات مقدار عناصر را می توان غیر جهتی فرض نمود و از آنها بدون توجه به مسیر آبراهه ها نمونه برداشی کرد و یا داده های آنها را غیر جهتی مورد تحلیل و تفسیر قرار داد. در نواحی بسیار مرتفع در موارد محدودی به دلیل وجود گستینگی در ارتفاع (آبشار) امکان دسترسی به محل نمونه نبوده است. در چنین مواردی حتی الامکان سعی شده است به برداشت نمونه از نزدیکترین نقطه اقدام گردد. مواردی وجود داشته است که در آن کنترهای توپوگرافی با عوارض موجود در زمین

مطابقت داشته ولی به دلیل دقت کم نقشه‌های توپوگرافی، آبراهه روی آن مشخص نگردیده است. چنانچه چنین مناطقی از نظر لیتولوژی و امکان کانی سازی با اهمیت تشخیص داده شده باشد. این آبراهه‌ها روی نقشه بطور دستی ترسیم و در تعیین نقاط نمونه برداری مؤثر واقع گردیده‌اند.

-۳- عملیات نمونه برداری

نظر به وسعت فوق العاده زیاد عملیات تحت پوشش اکتشاف ژئوشیمیایی در مقیاس $1:100,000$ ، لازم است محیط‌های ثانوی تحت پوشش نمونه برداری قرار گیرند. اساس این مطالعات بر نحوه توزیع عناصر در هاله‌های ثانوی سطحی مانند رسوبات رودخانه‌ای، آبرفتها، شب رفتها، بادرفتها و خاکها قرار دارد. در این بخش تنها به تشرییع عملیات صحرایی در این پروژه اشاره می‌گردد. در خلال این عملیات پنج اکیپ کارشناس از یک کمپ واقع در سبزوار شرکت داشته‌اند. در این عملیات هر اکیپ عموماً دارای ۱/۲۵۰,۰۰۰ وسیله نقلیه مخصوص به خود، نقشه‌های توپوگرافی و نقشه زمین‌شناسی UTM محل همراه با عکس‌های هوایی و سیستم Gps بوده است. مختصات محل نمونه‌ها قبل از سیستم UTM محاسبه و بصورت جدول‌بندی شده در اختیار کارشناسان قرار گرفته است. هر نمونه ژئوشیمیایی مشکل از حدود ۱۰۰ گرم جزء 80 - مش رسوبات آبراهه‌ای می‌باشد که پس از الک کردن رسوب خشک در محل درون کیسه‌های مخصوص ریخته شده و شماره‌گذاری گردیده است. در مواردی که رسوبات را به علت نم‌دار بودن نمی‌شد در صحراء الک کرد، حدود ۳ کیلوگرم از آن به محل کمپ آورد شده و پس از خشک کردن در هوای آزاد و الک کردن، جزء 80 - مش از آنها جدا شده است. هر اکیپ نمونه برداری برای نمونه‌های برداشت شده، شماره مسلسلی انتخاب و در کمپ با هماهنگی با

فصل سوم

نقش سنگ بستر

۱- جدایش جوامع سنگی

یکی از اساسی‌ترین فرضهای لازم برای تحلیل صحیح مقدار متغیرها در جوامع ژئوشیمیائی، همگن بودن آنهاست (یک جامعه بودن) و هرگونه انحراف در صحت چنین فرضی می‌تواند کم‌ویش موجب انحرافاتی در تحلیل داده‌ها گردد و نهایتاً به نتایج ناصحیحی منجر شود. یکی از متغیرهای محیطهای سطحی که می‌تواند موجب ناهمگنی در جامعه ژئوشیمیائی گردد، نوع سنگ بستر رخمنوندار است که نقش منشأ را برای رسوبات حاصل از فرسایش آنها بازی می‌کند. از آنجا که تغییرات لیتلولژی در ناحیه منشأ رسوبات آبراهه‌ای می‌تواند زیاد باشد و از طرفی مقادیر زمینه عناصر مورد بررسی در این سنگها تا چندین برابر ممکن است تغییر کند، بنابراین فاکتور تغییرات لیتلولژی در ناحیه منشأ رسوبات، بنظر می‌رسد یکی از مهمترین عوامل ایجاد ناهمگنی در جامعه نمونه‌های ژئوشیمیائی باشد. بدین لحاظ در این گزارش سعی شده تا پردازش داده‌ها برای جوامع مختلف نمونه‌های ژئوشیمیائی، صورت پذیرد. از آنجا که هر رسوب آبراهه‌ای فقط از سنگهای بالا دست مشتق می‌شود، تقسیم‌بندی این جوامع براساس نوع یا انواع سنگ بسترها رخمنوندار موجود در بخش بالا دست محل هر نمونه صورت پذیرفته است. با توجه به نقشه زمین‌شناسی و موقعیت هر نمونه، کل جامعه نمونه‌های مورد بحث در این برگه به زیر جوامع زیر تقسیم یافته است. لازم به یادآوری است که برای تهیه نقشه ژئوشیمیائی در مقیاس $1/100,000$ ، وجود نقشه‌های زمین‌شناسی در همین مقیاس الزامی است ولی متأسفانه در مورد این برگه نقشه $1/100,000$ در دست تهیه است.

و تشخیص سنگهای بالا دست براساس نقشه ۱/۲۵۰،۰۰۰ صورت گرفته است. مشاهدات

صرحائی معرف آنستکه در موارد زیادی، انطباق قابل قبولی بین نقشه و زمین وجود ندارد. این امر موجب بروز آنومالیهای دروغین شده است.

در زیر رده‌بندی نمونه‌ها بر حسب تعداد سنگ بالا دست آورده می‌شود:

الف - زیر جامعه تک سنگی: ۲۸۰ نمونه (در هفت تیپ سنگ مختلف)

ب - زیر جامعه دو سنگی: ۲۸۱ نمونه (شامل ۱۵ تیپ مجموعه دو سنگی)

ج - زیر جامعه سه سنگی: ۱۵۰ نمونه (شامل نه تیپ مجموعه سه سنگی)

د - زیر جامعه چهار سنگی: ۴۶ نمونه (شامل دو تیپ مجموعه چهار سنگی)

ه - زیر جامعه بیش از چهار سنگی: ۲۹ نمونه

زیر جامعه تک سنگی شامل آنسته از نمونه‌های ژئوشیمیائی است که در بالا دست محل برداشت نمونه در حوضه آبریز مربوطه، فقط یک نوع سنگ بستر رخمنون داشته است. بعبارت دیگر منشأ این رسوبات آبراهه‌ای فقط یک نوع سنگ است. لازم به توضیح است که این تعداد نمونه، شامل ۶۲ نمونه آلوویوم برداشت شده نیز می‌باشد.

زیر جامعه دو سنگی از مجموع نمونه‌های ژئوشیمیائی تشکیل یافته است که در بالا دست محل برداشت آنها، دونوع سنگ بستر در حوضه آبریز مربوطه رخمنون داشته است. در زیر جامعه بیش از چهار سنگی، تعداد سنگ بسترها رخمنون دار در بالا دست محل یک نمونه حداقل به عدد هفت می‌رسد. این تقسیم‌بندی در پردازش داده‌ها از آنچه اهمیت دارد که به ما اجازه می‌دهد تا در هنگام محاسبه مقدار زمینه و حد آستانه‌ای برای هر محیط مشابه بطور جداگانه عمل کرده و از این طریق به درجه همگنی جامعه مورد بررسی کمک کنیم. علائم اختصاری بکار برده شده برای جنس سنگها در جدول ۱-۳ آورده شده است.

جدول ۱-۳: علائم اختصاری و خلاصه سازی مرحله اول جنس سنگها

$AL \mid Q^{sd} - Q^{t2} - Q^{tl}$

$AC \mid Da-g$

$CGS \mid E_1^c - E_2^r - Pl^c - PLQ^c$

$FGS \mid E_2^m - E_2^f - E_3^{sc} - E_3^{sh.t} - K_u^{sh} - O_{sh} - Jd - Js$

$CHS \mid C_m - K_u^{pl} - E_2^l$

$INT \mid Tm_l - K_u^v - E^v - PlQ^{vl} - E^d - Cm_l - K_u^{vl}$

$UM \mid hz - sr - am - cm$

$GM \mid M^m - Q^{cf}$

Sk

$AL = Alluvium$

$AC = Acidic Rocks$

$CGS = Coarse to Medium grain size sediments$

$FGS = Fine to Medium grain size sediments$

$CHS = Chemical Sediments$

$INT = Intermediate Rocks$

$UM = Ultramafic - Mafic Rocks$

$GM = Gypsiferous Marl$

$Sk = Skarn$

شکل ۱-۳ هیستوگرام توزیع فراوانی تعداد نمونه‌های ژئوشیمیائی را براساس

تعداد سنگ بالادست آنها برای برگه ۱/۱۰۰،۰۰۰ سبزوار، نشان می‌دهد. همچنین شکل

شماره ۲-۳ هیستوگرام توزیع فراوانی نمونه‌های تکسنگی را با نمایش نوع سنگ

بالادست آنها برای برگه ۱/۱۰۰،۰۰۰ سبزوار نشان می‌دهد. شکل ۳-۳ هیستوگرام

توزیع فراوانی نمونه‌های وابسته به محیط‌های دو سنگی را (با نمایش نوع سنگ بالادست

آنها) برای این برگه نشان می‌دهد.

۲- نقش سنگ بستر در ارزیابی مقدار زمینه و حد آستانه‌ای

۱-۴- نقش سنگ بستر در ایجاد آنومالیهای کاذب

از آنجاکه مقدار اندازه‌گیری شده هر عنصر در سنگ و یا رسوب آبراهه را می‌توان

به دو مؤلفه سنتزیک (وابسته به زایش سنگ) و اپی ژنتیک (وابسته به کانی‌سازی

احتمالی) تقسیم کرد، لذا بعضی از آنومالیهای ژئوشیمیائی در ارتباط با کانی‌سازی نبوده،

بلکه تغییرات لیتلولژی آنها را ایجاد می‌کند. عناصری که در سنگهای اولترامافیک و حتی

مافیک دارای مؤلفه‌های سنتزیک قوی می‌باشند شامل عناصر Mn , Cr , V , Ni , Co

می‌باشند که معمولاً در کانه‌هایی با وزن مخصوص بالا ظاهر می‌شوند.

در مناطق خشک که هوازدگی شیمیائی فعال نمی‌باشد، این مجموعه بیشتر در

ذرات درشت‌تر ظاهر می‌شود. بنابراین برداشت نمونه‌های دانه‌ریزتر برای رهایی از

آنومالیهای دروغین این عناصر مناسب‌تر می‌باشد.

عناصری که با سنگهای فلزیک بیشتر همراه می‌باشند و مؤلفه‌های سنتزیک

بزرگتری دارند و از این‌رو ممکن است آنومالیهای دروغین ایجاد کنند، شامل

می‌باشند که به صورت محلول جامد در کانه‌های سازنده سنگ مانند

فلدیسپاتها و میکاها جای می‌گیرند.

در مورد سنگهای رسوبی باید توجه داشت که در حوضه‌های آبریز دو نوع سنگ

Histogram of Distribution of the Upstream Total Rock Types for the Stream Sediment Samples in Sabzvar 1/100,000 Sheet.

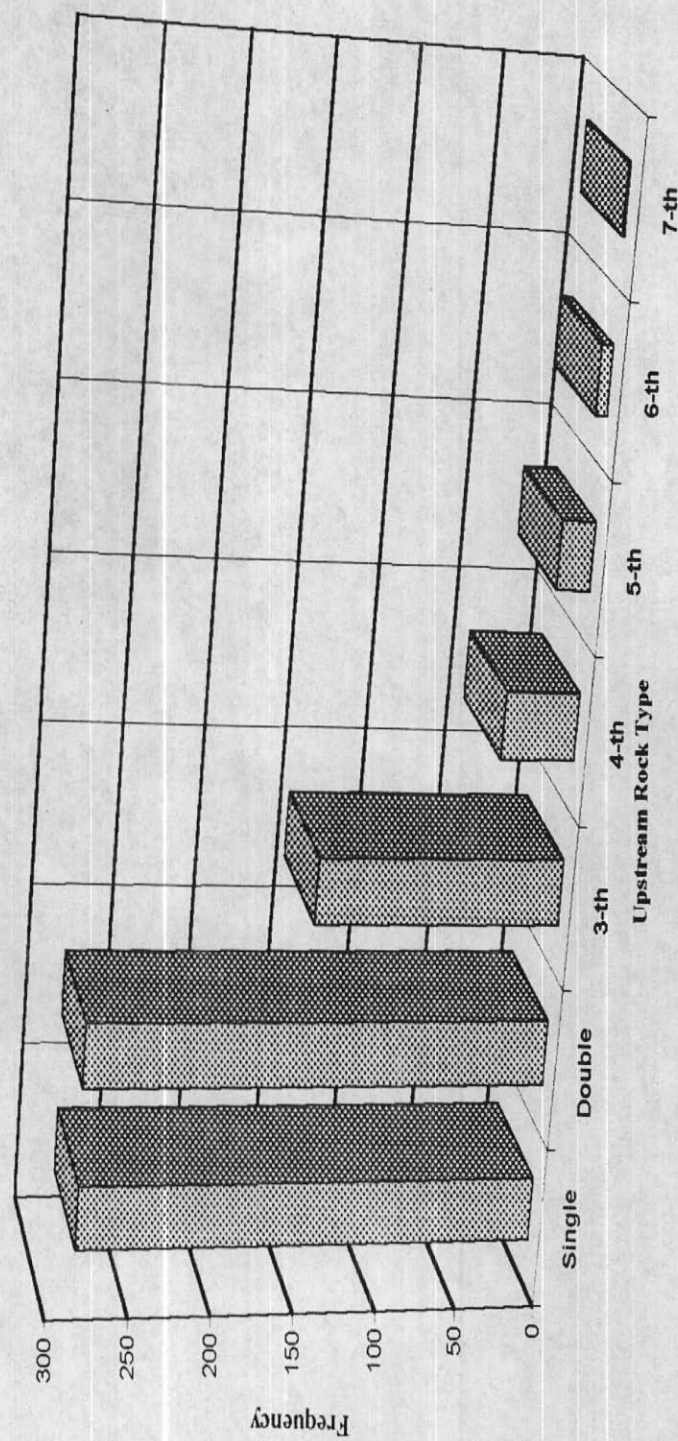


Fig. 3-1

Histogram of Distribution of the Upstream Single Rock Type for the Stream Sediment Samples in Sabzevar 1/100,000 Sheet.

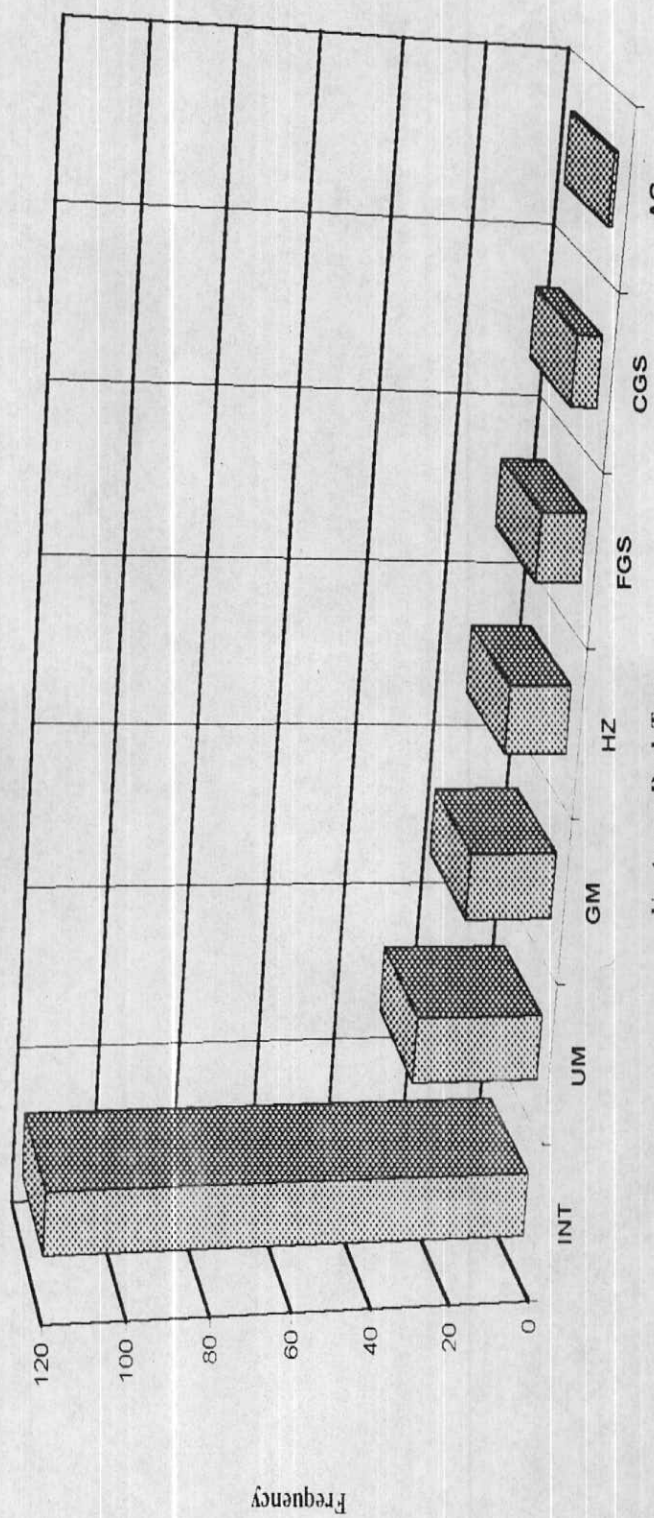


Fig. 3-2

Histogram of Distribution of the Upstream Double Rock Type for the
Stream Sediment Samples in Sabzeyar 1/100,000 Sheet.

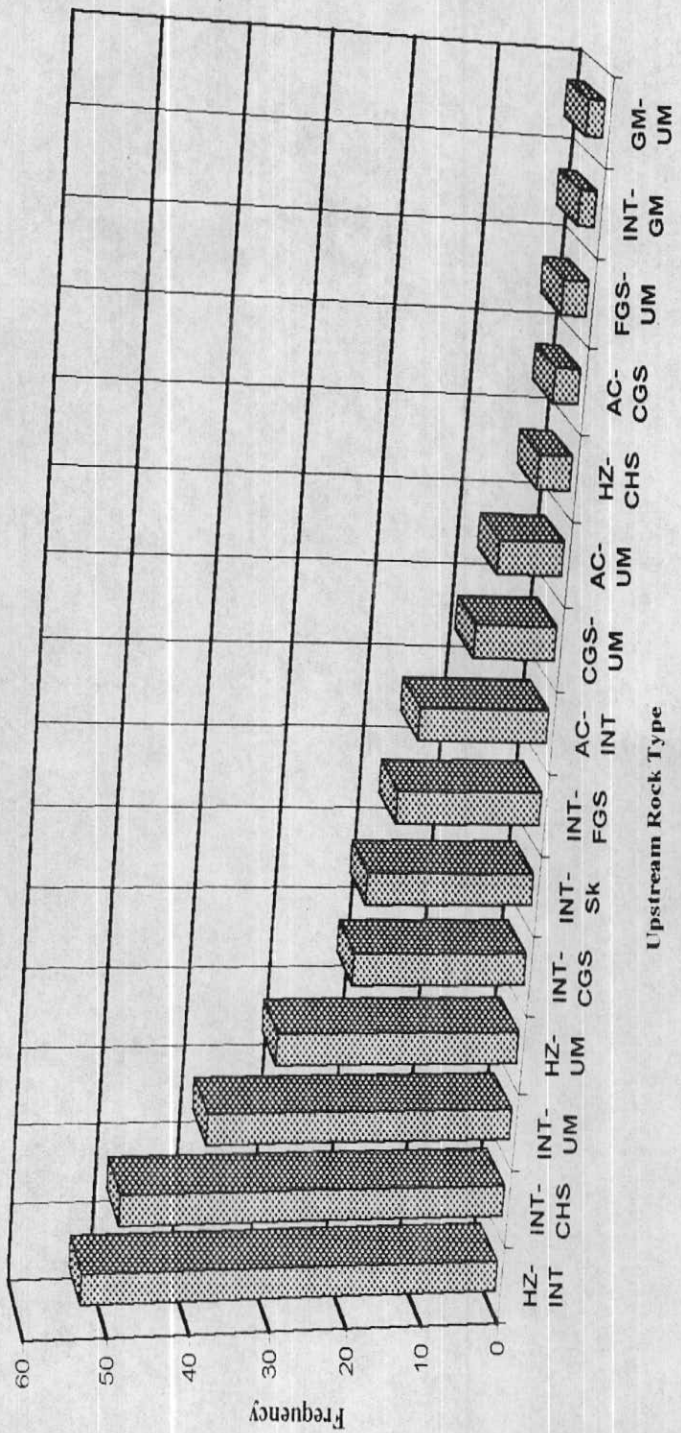


Fig. 3-3

رسوبی ایجاد مشکل می‌کند. یکی سنگهای آهکی و دولومیتی است که در آنها جزء کانی سنگین ممکن است از باریت، سلسیت و آپاتیت غنی باشند در حالیکه سایر کانیهای سنگین آقدر کم یافت می‌شوند که ممکن است مورد استفاده‌ای نداشته باشند. مورد دوم شیلهای، بخصوص شیلهای سیاهرنگ غنی از مواد آلی هستند که در آنها مقدار زمینه تعداد زیادی از عناصر کانساری بالاست و در نتیجه پتانسیل زیادی برای تولید آنمالیهای دروغین دارند.

۲-۲- تغییرپذیری سنگ بستر

از آنجاکه طبق شرح خدمات می‌بایستی سنگ بستر رخمنودار واقع در بالادست نمونه‌های برداشت شده از رسوبات آبراهه‌ای در محدوده هر یک از برگه‌های ۱/۱۰۰،۰۰۰، مورد بررسی قرار گیرد، به تفکیک نوع سنگها در مسیر آبراهه‌های بالا دست در حوضه آبریز، مطابق آنچه که در نقشه زمین‌شناسی ۱/۲۵۰،۰۰۰ سبزوار نقشه زمین‌شناسی ۱/۱۰۰،۰۰۰ ندارد) گزارش گردیده است، اقدام گردید. این امر موجب می‌گردد تا نمونه‌های متعلق به هر جامعه از سنگهای بالادست در حد امکان همگن و از نظر آماری امکان بررسی آنها تحت یک جامعه بوجود آید. همانطوریکه قبل ذکر شد، بدليل ناسازگاری مقیاس عملیات ژئوشیمیائی با نقشه زمین‌شناسی موجود در زمان انجام این پروژه، این کار نتوانست با دقت کافی صورت گیرد و مشکلات زیادی را در تفسیر داده‌ها بوجود آورد.

۳-۲- بررسی مقادیر کلارک سنگهای رخمنودار در منطقه

تیپ سنگهای موجود در منطقه تحت پوشش در دو مرحله مورد مشابه سازی قرار گرفته‌اند. در مرحله اول عمدتاً عامل زمانی مؤثر نمی‌باشد. بدین معنی که اگر سنگ بالادست رخمنودار در آبراهه از جنس آهک است، چه این آهک متعلق به پالکوزنیک و یا کرتاسه باشد، اثری در طبقه‌بندی نداشته و هر دو بعنوان یک جامعه سنگ بالادست

مورد بررسی قرار می‌گیرند. علت آنکه گاهی نمی‌توان تغییکهای زمانی روی سنگها مشابه انجام داد آنستکه در نهایت تعداد جوامع سنگی بالادرست آنقدر افزایش خواهد یافت که در هر جامعه فقط چند نمونه ممکن است یافته شود که تحلیل آماری روی آنها خطای بیشتری تولید خواهد کرد. این امر موجب کاهش شدید دقت تخمینهای بعدی خواهد شد.

خلاصه سازی مرحله دوم شامل نسبت دادن هر یک از کلاسهای فوق به رده معینی از سنگهای آذرین، دگرگونی و یا رسوبی است که حتی الامکان داده‌های جهانی آنها مورد مطالعه قرار گفته و در دسترس می‌باشد. جدول ۲-۳ این خلاصه سازی را نشان می‌دهد. جدول ۳-۳ مقدار فراوانی عناصر مورد بررسی را در سه تیپ رسوبی فراوان در منطقه و در سه تیپ سنگ آذرین با گسترش نسبتاً زیاد در منطقه نشان می‌دهد. ستون آخر این جدول برای هر عنصر معین نسبت مقدار حداقل به حداقل مقادیر کلارک را نشان می‌دهد. از این نقطه نظر، اکثر عناصر نسبت به سنگ بستر رخمنودار در حوضه آبریز، حساسیت نشان می‌دهند. بیشترین حساسیت از آن کیالت با ضریب ۴۸۰ (ماکریمم مقدار آن در سنگهای بازیک و حداقل آن در سنگهای آهکی است) و سپس مس (۸۷)، باریم (۸۴)، نیکل (۶۵)، کرم (۱۷)، مولیبدن (۱۳) و ارسنیک (۱۳) می‌باشد. می‌نیم تغییرپذیری را عنصر بیسموت نشان می‌دهد (با ضریب ۱/۴). این ارقام نشان می‌دهند که مقدار یک عنصر در حوضه آبریز، تا آنجائیکه به لیتلولوژی حوضه آبریز مربوط می‌شود، بشدت تغییرپذیر بوده و بدون نرمالایز کردن مقدار عنصر نسبت به جنس سنگهای بالادرست در حوضه آبریز، امکان دستیابی به یک جامعه همگن که بتوان براساس آن مقادیر زمینه، حد آستانه‌ای و آنومالی را در آنها مشخص نمود، غیر ممکن می‌باشد.

جدول ۲-۳ خلاصه شده سنگهای رخمنون دار در حوضه های آبریز در محدوده

برگه ۱ سبزوار
۱۰۰،۰۰۰

آهک و دولومیت (آهکهای پلازیک، آمبرو...)	
مارن	رسوبی
شیل	
ماسه سنگ + کنگلومرا	
اسیدی (گرانیت، داسیت)	
متروپل (آندرزیت)	
بازیک (بازالت، ودیاباز، گابرو، الیورین بازالت)	آذرین
اولترابازیک (پریدوتیت، هارزبورگیت، سربالانثیتیت، دونیت، آمیزه رنگین پیروکسینت، آمفیبولیت)	

Table 3-3 : Clark Values and Max/Min Ratio of The Clark Values in Similar Lithology of Sabzevar 1/100,000 Sheet .

VARIABLE	SEDIMENTARY ROCK			IGNEOUS ROCKS			MAX/MIN
	LM	SH	CS	ACIDIC	INTERMEDIATE	BASIC	
V	20	130	20	44	150	250	12.5
Cr	11	90	35	10	55	170	17.0
Mn	400	800	400	400	1200	1200	3.0
Co	0.1	19	0.3	1	9	48	480.0
Ni	2	6.8	2	4.5	50	130	65.0
Cu	4	45	1	10	40	87	87.0
Zn	20	95	16	39	75	105	6.6
As	1	13	1	1.5	2	2	13.0
Mo	0.4	2.6	0.2	1.3	1.1	1.5	13.0
Sn	0.n	6	0.n	3	1.6	1.5	4.0
Sb	20	150	0.n	20	20	20	7.5
Ba	10	580	-	840	380	330	84.0
W	0.6	1.8	1.6	2.2	1.2	0.7	3.7
Au(ppb)	-	-	-	0.8	2.8	3.6	4.5
Hg(ppb)	45	66	74	67	75	65	1.7
Pb	9	20	7	19	12	6	3.3
Ag	0.0n	0.07	0.0n	0.04	0.07	0.11	2.8
Fe	8300	48000	28000	25000	55000	84000	10.1
Bi	-	-	-	0.01	0.008	0.007	1.4
Ti	1200	3800	3000	2700	6000	8000	6.7

فصل چهارم

پردازش داده‌ها

۱- مقدمه

نحوه پردازش داده‌ها در این پژوهه به ترتیب زیر بوده است:
وارد کردن داده‌های حاصل از آنالیز شیمیائی در یک بانک اطلاعاتی. این داده‌ها پس از اخذ، از طریق فرائت دوبل و تایپ کامپیوتری و کترل خطاهای مربوطه، در بانک اطلاعاتی وارد گردیده است. علاوه بر داده‌های ژئوشیمیائی، شماره نمونه، مختصات و اطلاعات لیتلوزی مربوط به سنگهای بالادست هر نمونه نیز در همان فایل ذخیره شده است. داده‌های خام مربوطه در جدول ۱ ضمیمه (بر روی CD) آورده شده است.

۲- پردازش داده‌های سنسورد

داده‌های ژئوشیمیائی معمولاً دارای مقادیر سنسورد هستند. یک مقدار سنسورد، داده‌ای است که بصورت کوچکتر و یا بزرگتر از یک مقدار معین گزارش می‌شود. برای داده‌های ژئوشیمیائی، مقدار سنسورد بطور تیپیک در حد قابل ثبت آنالیزها قرار دارد. داده‌های سنسورد زمانی ایجاد می‌شوند که یا تکنیکهای آنالیز برای ثبت مقادیر کوچک یک عنصر باندازه کافی حساس نیستند و یا تکنیک بسیار حساس بوده و قابلیت ثبت تمکزهای بالای عناصر را در سیستم ندارد. داده‌های سنسورد در کار آنالیزهای آماری اختلال ایجاد می‌نمایند، چراکه اغلب تکنیکهای آماری مهم نیازمند یک مجموعه کامل از داده‌های غیر سنسورد می‌باشند. در مورد تخمین مقادیر سنسورد روش‌های مختلفی بکار می‌رود. از جمله این روشها قرار دادن $\frac{3}{4}$ حد قابل ثبت برای "مقادیر کوچکتر از" و $\frac{4}{3}$ حد

بالانی برای مقادیر "بزرگتر" می‌باشد. بعضی موارد بجای این مقادیر عدد صفر قرار می‌دهند. مسئله‌ای که تصمیم‌گیرنده با آن مواجه است آن است که چه درصدی از جانشینی‌ها، بدون ایجاد خطاهای معنی دار، قابل توجیه است؟ در اینجا یک روش علمی برای تعیین مقدار جانشینی را نشان می‌دهیم

فرض بر این است که مقدار جانشینی باید برابر باشد با میانگین مقادیر واقعی که بوسیله داده‌های سنسور دیگر شده، است. ما از روش بیشترین درستنمائی جهت این تخمین میانگین استفاده می‌کیم.

گرایش داده‌های ژئوشمیایی به پیروی از توزیع لاغ نرمال امری شناخته شده است. در حقیقت این روش شامل تخمین میانگین جامعه لاغ نرمال با استفاده از روش بیشترین درستنمائی است. پس این میانگین تخمینی، برای محاسبه یک مقدار جانشینی تخمینی برای مقادیر سنسور دیگر می‌رسد. برای روشن شدن بحث، ما چند عبارت و علائم مربوطه را بکار می‌بریم. در اینجا غلطت بوسیله X و حد قابل ثبت یا نقطه سنسور د بوسیله X_d نمایش داده می‌شود. مقدار جانشینی R_x عددی است که باید جانشین یک مقدار سنسور د گردد. فاکتور جانشینی R_x نسبت مقدار جانشینی به حد قابل ثبت برای یک جزء مشخص است:

$$R_x \equiv \frac{X_r}{X_d} \quad (1)$$

بعنوان مثال $\frac{3}{4}$ یک فاکتور جانشینی و $\frac{3}{4}$ حد قابل ثبت، مقدار جانشینی مربوطه است. پس از تعیین اینکه لگاریتم غلطتها توزیع نرمالتری نسبت به داده‌های اولیه دارند، داده‌ها را برای عناصر انتخاب شده به \log_{10} تبدیل می‌کیم. تبدیلات بین داده‌های لگاریتمی (Y) و داده‌های اولیه (X) بصورت زیر است:

$$X = \log_{10} Y, \quad Y = 10^X \quad (2)$$

$$X_r \equiv \text{برای مقدار جانشینی } X_r = \log_{10} Y_r \quad (3)$$

$$X_d \equiv \text{برای حد قابل ثبت } X_d = \log_{10} Y_d \quad (4)$$

گرفتن لگاریتم از طرفین معادله (۱) فاکتور جانشینی تبدیل شده y_r را بدست

می دهد:

$$r_y \equiv \log_{10} X_r, \log_{10} X_d = y_r, y_d, r_x = 10^Y_x \quad (5)$$

تبدیلات مختلف دیگری نیز می تواند به جای \log_{10} بکار رود ولی در اینجا بعلت سهولت آن در محاسبه و مزیت آن نسبت به روش های جانشینی ساده قراردادی از آن استفاده شده است. ما از روش بیشترین درستنمایی کوهن (Cohen) جهت تخمین میانگین واقعی مجموعه داده ها استفاده کرده و سپس از نتیجه آن برای تخمین میانگین واقعی داده های سنسور د استفاده می کنیم. با استفاده از این روش میانگین کل مجموعه داده ها را تخمین می زنیم (μ_u). ما همچنین میانگین داده های غیر سنسور د را نیز تخمین می زنیم (μ_q). حاصلضرب میانگین کل مجموعه داده ها، μ ، که با استفاده از روش کوهن (Cohen) ۱۹۶۱ تخمین زده می شود، در کل تعداد نمونه ها، n ، برابر با حاصلضرب میانگین داده های سنسور د، μ_q (نامشخص)، در تعداد نمونه های سنسور د، n_q ، بعلاوه حاصلضرب میانگین داده های غیر سنسور د، μ_u (مشخص)، در تعداد نمونه های غیر سنسور د، n_u می باشد:

$$n\mu = n_q\mu_q + n_u\mu_u \quad (6)$$

از حل معادله فوق مقدار μ_u که تخمینی برای میانگین داده های سنسور د می باشد، بصورت زیر بدست می آید:

$$\mu_u = \frac{n\mu - n_q\mu_q}{n_u} \quad (7)$$

فرض اولیه ما این بوده است که میانگین تخمینی داده‌های سنسورد بهترین مقدار

جانشینی می‌باشد یعنی:

$$y_r = \mu_q \quad (8)$$

با استفاده از معادله (۳) و جایگزینی مقادیر با واحد اصلی آنها خواهیم داشت:

$$X_r = 10^{\mu q} \quad (9)$$

تنها مجهول در معادله (۷) مقدار μ است که با استفاده از روش بیشترین درستنمایی کوهن بدست می‌آید. در این محاسبات N تعداد کل داده‌ها، n تعداد داده‌های غیر سنسورد و x_0 حد قابل ثبت و یا مقدار سنسورد می‌باشد. مقدار میانگین کل و واریانس کل از

روابط زیر محاسبه می‌شود:

$$\mu = x \cdot \lambda / (x - x_0) \quad (10)$$

$$\sigma^2 = S^2 + \lambda(x - x_0)^2 \quad (11)$$

در معادلات بالا x و S^2 به ترتیب میانگین و پراش داده‌های غیر سنسورد هستند و λ تابع تخمینی کمکی است که از جدول مربوطه با در دست داشت γ و h بدست می‌آید. مقادیر γ و h از روابط زیر بدست می‌آیند:

$$\gamma = S^2 / (x - x_0)^2 \quad (12)$$

$$h = (N - n) / N \quad (13)$$

با در دست داشتن γ و h عدد خوانده شده از روی این جدول یعنی λ بدست می‌آید. با جایگزینی این مقدار در معادله (۱۰) مقدار میانگین کل (μ) و سپس با استفاده از رابطه (۷) مقدار μ_q و سپس مقدار جانشینی بدست می‌آید.

در این پژوهه عملیات فوق تنها بر روی عنصر Bi که بخشی از داده‌های آنها بصورت سنسورد (<0.2) گزارش شده بود، انجام گردید و مقدار جانشینی برای آن بدست

آمد. مقادیر بدست آمده و مقدار جانشینی برای این عنصر به شرح جدول ۱-۴ می‌باشد.

لازم به ذکر است که عنصر Bi دارای ۷۵۶ داده سنسورد می‌باشد. در این جدول X_0 مقدار

سنسورد (حد قابل ثبت)، n_q تعداد داده‌های سنسورد، n تعداد کل نمونه‌ها، mu میانگین

بخش غیر سنسورد جامعه، S_{log} انحراف معيار داده‌های لگاریتمی، λ و λ/m مقادیر لازم برای

بدست آوردن λ که طبق فرمول محاسبه می‌گردند، λ تابع تخمینی کمکی، mt میانگین کل،

میانگین بخش سنسورد و m_q مقدار جانشینی می‌باشد.

مقدار جانشینی X_r در جدول یک مقدار عددی است که پس از تبدیل بدست

آمده است. نتایج نشان داده‌اند که مجموعه‌ای که دارای ۴۰٪ جانشینی است، نتایج

صحیحی با ۹۰٪ حدود اطمینان و مجموعه با ۸۰٪ جانشینی، نتایجی با حدود اطمینان

۶٪ بدست می‌دهند.

۳- پردازش داده‌های جوامع تک سنگی

در محدوده برگه ۱/۱۰۰،۰۰۰ سبزوار، از مجموع ۷۸۶ نمونه رسوب آبراهه‌ای، تعداد ۲۱۸ نمونه آترانمونه‌های تشکیل می‌دهد که در بالا دست آنها فقط یک نوع سنگ بستر رخنمون دارد، در بین این تیپ سنگهای بالا دست، سنگهای آذرین متوسط از نظر فراوانی مقام اول را دارا می‌باشد و بترتیب از زیاد به کم شامل سنگهای اولترامافیک، مارنهای ژیپس دار، هارزبورگیت، رسوبات دانه‌ریز، رسوبات دانه‌درشت و سنگهای آذرین اسیدی می‌باشد. برای هر یک از جوامع فوق که تعداد نمونه‌های موجود در آنها بیشتر از ۱۰ مورد است، پارامترهای آماری محاسبه گردید، تا بتوان از طریق تقسیم مقادیر هر عنصر خاص در آن جامعه به مقدار میانه آن، ضریب غنی‌شدگی عنصر مربوطه را محاسبه نمود (جدول ۲-۴). در مواردی که تعداد نمونه‌ها در جامعه آماری مربوطه،

Table 4-1: Calculative Results of Estimation for "Bi" Censored Value.

Variables	Bi
X0	0.2
nq	756
n	786
mu	-0.585
slog	0.014
h	0.9618
gama	1.0758
lambda	5.0179
mt	-1.1587
mq	-1.181
Xr	0.066

Table 4-2: Matrix of Median Values of Elemental Concentration As a Function of Upstream Lithology Populations .

Variable	Fe	Co	Mn	Ti	Ba	Cr	Ni	V	W	Mo	Au	Ag	Cu	Pb	Zn	Sn	As	Sb	Bi	Hg
USR	%	ppm	ppm	ppm	ppm	ppm	ppm	ppm	ppm	ppm	ppb	ppm	ppm	ppm	ppm	ppm	ppm	ppm	ppm	ppm
AL	5.375	26.7	915	4756	211.5	392	134.5	184.5	0.51	1.04	1.2	0.064	35	12.25	74	1.5	7.535	0.45	0.2	0.029
HZ	4.74	69.5	757.5	2150	69.1	914	934	100	1.055	0.5	1	0.058	24	5	47.5	1	3.1	0.375	0.1	0.019
INT	5.33	27.6	941	5955	16.9	229	110	212	0.62	0.7	1.1	0.091	42	9.15	84	1.7	6.11	0.48	0.2	0.025
GM	4.57	5.46	828	4400	23.0	415	264	161	0.51	1.09	1.2	0.06	32	14	65	1.02	8	0.54	0.2	0.029
POP1	4.77	28.80	881	4361	14.1	282.5	199.5	170	0.575	0.795	1.3	0.084	46	9.3	73.5	1.4	5.47	0.38	0.2	0.028
POP2	5.79	31.70	1100	4590	10.1	390	165	215	0.6	0.54	1.4	0.075	47	7.8	80	1.3	4.51	0.38	0.2	0.026
CGS	5.67	31	983	6500	16.0	1400	149	360	1.55	0.8	1.2	0.086	48	10	87	1.4	8.51	0.73	0.12	0.029
FGS	4.4	23	800	6000	25.5	196	95	200	1.1	1.14	1	0.082	38	13	75	1.5	7.84	0.65	0.14	0.03
UM	4.79	35.85	937.5	4198	111.5	452	300	164	0.57	0.7	0.91	0.085	46	8.7	63	1.5	5.005	0.475	0.2	0.024
AC-INT	4.89	25.05	917	5378	16.8	160.5	94.15	156.5	0.49	0.885	1	0.095	56.5	9.95	71.5	1.7	6.48	0.5	0.2	0.034
HZ-INT	5.39	41.3	950	3936	124	506	476	148	0.49	0.58	1.4	0.071	37	7	72	1.15	4.23	0.33	0.2	0.031
INT-CGS	4.955	26.35	879.5	4824	14.1	274.5	119.5	178.5	0.54	0.68	1.1	0.094	44	6.5	74	1.65	5.09	0.315	0.2	0.022
INT-CHS	5.6	30.2	1043	5131	13.9	222	110	200	0.56	0.58	1.3	0.084	55	8.3	79	1.6	5.25	0.45	0.2	0.03
INT-SK	4.74	22.1	870	4563	220	214	119	169	0.65	0.72	1.3	0.094	44	9.6	92	1.7	9.73	0.49	0.2	0.02
INT-FGS	4.755	21.7	823	6100	208.5	150	72.5	195	0.91	1.045	1.065	0.092	39	11.75	82	1.9	7.845	0.685	0.2	0.027
INT-UM	5.04	29.25	932	4958	139.5	285	150.5	176.5	0.51	0.65	1	0.088	50	7.9	80	1.65	5.02	0.36	0.2	0.028
HZ-UM	4.78	57.7	798	2900	65	691	830	125	0.98	0.5	1.25	0.058	30	5	52	1	3.34	0.1	0.019	
AC-UM	5.135	36.75	989	5466	142.5	482.5	285	231.5	0.6	0.9	1.08	0.091	38	9.15	68	1.575	7.33	0.425	0.2	0.024
CGS-UM	4.63	39.1	937	4400	139	670	332	164	0.35	0.68	1.15	0.078	40	8.2	67	1.4	5.14	0.34	0.2	0.025
FGS-UM	4.97	35.8	940	8900	120	367	380	280	1.35	1.06	0.86	0.081	46	9.5	65	1.04	7.38	0.48	0.12	0.027
AC-INT-CGS	4.76	26.2	869	5481	146	196	84.8	172	0.36	0.88	1.6	0.092	44	5.8	74	1.73	4.64	0.3	0.2	0.022
HZ-INT-CHS	5.26	37	963	4304	123	396	358	173	0.43	0.58	1.5	0.076	46	8.4	71	1.2	4.96	0.46	0.2	0.031
HZ-INT-FGS	5.63	36.45	1004	4128	87.2	417.5	362	189.5	1.05	0.445	1.375	0.065	49.5	7	81.5	1.015	5.04	0.43	0.115	0.028
INT-SK-FGS	6.25	27.4	1055	5735	227	230	119	266	0.75	0.7	1.3	0.09	50	12	86	1.9	10.6	0.65	0.2	0.024
HZ-INT-UM	5.275	39.25	935	3506	94.95	515	373.5	161	0.74	0.505	1.4	0.068	42	6.9	68.5	1.15	3.685	0.4	0.2	0.024
AC-INT-UM	4.725	25.4	947.5	5179	151.5	242.5	146	174.5	0.43	0.88	1.25	0.091	47	8.7	76	2.05	5.89	0.42	0.2	0.031
INT-FGS-UM	4.99	26.9	1004	5233	121	204	121	177	0.36	0.68	1.3	0.11	58	9.6	76	1.7	8.27	0.37	0.2	0.026
HZ-CGS-UM	4.62	56.45	799	3098	87.5	940	829	130	1	0.64	1.45	0.059	31.5	5	56	1.16	4.99	0.355	0.1	0.03
HZ-FGS-UM	5.145	79	827	2500	64.15	895	799.5	156.5	1.015	0.5	1	0.055	33.5	5.3	56	1.05	3.63	0.37	0.115	0.023
HZ-INT-CHS-UM	5.24	39.3	977	3812	122	426	480	159	0.54	0.56	1.3	0.068	46	6.4	72	1.2	4.66	0.4	0.2	0.026
INT-CGS-FGS-UM	5.17	31	800	5472	95	470	240	200	1.2	0.61	1.05	0.102	58.5	7.345	75	1.8	7.52	0.57	0.1	0.019

کمتر از ۱۰ نمونه بوده است. آن جامعه مورد تحلیل آماری قرار نگرفته بلکه مجموع چنین جوامعی ابتدا مخلوط شده تا بصورت یک جامعه مرکب درآید و سپس از طریق آنالیز کلاستر به تعداد محدودی مجموعه همگن که در هر یک نمونه کافی برای تحلیل آماری وجود داشته باشد، تقسیم شده اند. آنگاه از طریق محاسبات مشابه، ضریب غنی شدگی آنها محاسبه شده است. این امر در مورد جوامع با بیش از یک نوع سنگ بالادست نیز اعمال گردیده است.

۴- پردازش داده های جوامع دو سنگی

در محدوده این برگه تعداد ۲۸۱ نمونه برداشت گردیده است که در بالادست آنها دو نوع سنگ بستر در حوضه آبریز رخنمون داشته است. در بین این تیپ سنگهای بالادست، فراوانی گروه سنگهای آذرین متوسط و رسوبات دانه ریز، بطور برجسته ای بیشتر از گروههای دیگر است. گروههای با اهمیت برتری فراوانی نزولی آنها عبارتند از: *AC-INT* , *INT-FGS* , *INT-Sk* , *INT-CGS* , *HZ-UM* , *INT-UM* , *INT-CHS* , *GM-UM* , *INT-GM* , *FGS-UM* , *AC-CGS* , *HZ-CHS* , *AC-UM* , *CGS-UM* بنابراین می توان گفت که در بین این گروهها، سنگهای آذرین متوسط و هارزبورگیت وسعت بیشتری داشته اند.

فصل پنجم

تخمین مقدار زمینه

۱- تحلیل ناهمگنی ها

همانطور که قبل آگفته شد، یکی از عوامل مهم در ایجاد ناهمگنی آماری در جوامع ژئوشیمیایی نمونه های برداشت شده از رسوبات آبراهه ای، تنوع و تغییرات لیتلوزی در سنگهای بالادست است. برای از بین بردن این عوامل ناهمگن ساز و دستیابی به جوامع همگنی که بتوان از طریق آنها به مقدار زمینه واقعی تری دست یافت، اقدام به جداسازی نمونه ها بر اساس سنگ بستر رخنمون دار در محدوده حوضه آبریز بالادست هر نمونه شده است. سپس نتایج حاصل از هر جامعه با یکدیگر مقایسه شده و تشابهات و یا تضادهای ژئوشیمیایی مربوط به هر یک بدست آمده است. داده های جدول ۲-۴ نشان میدهد که سنگهای بالادست شامل شش گروه تک سنگی، ۱۱ گروه دو سنگی، نه گروه سه سنگی و دو گروه چهار سنگی است که در هر یک بیش از ۱۰ نمونه وجود داشته است و از اینرو امکان محاسبه پارامترهای آماری تا حدی وجود داشته است. گروههایی که تعداد نمونه های آنها کمتر از ۱۰ نمونه بوده است از طریق آنالیز کلاستر منطبق بر منطق فازی به دو جامعه با تعداد کافی نمونه در هر یک از آنها تقسیم شده اند. داده های این جدول معرف آنست که در مورد بعضی از عناصر نقش تغییرپذیری سنگ بستر بالادست قوی است. برای مثال در مورد Cr در رسوبات حاصل از فرسایش سنگهای رسوبی دانه ریز، می نیم مقدار میانه $196 ppm$ است. در مقابل مقدار میانه در رسوبات حاصل از فرسایش سنگهای رسوبی دانه درشت برای این عنصر حدود هفت برابر مقدار آن در سنگهای رسوبی دانه ریز است. برای متغیرهای Sb, Sn, Hg این تغییرات چشمگیر نمی باشد.

۲- سیمای ژئوشیمیایی جوامع مختلف براساس سنگ بستر بالادست

برای تعیین سیمای ژئوشیمیایی جوامع مختلف نمونه‌های برداشت شده از حوضه‌های آبریز براساس سنگ بالادست آنها بصورت زیر عمل گردیده است:

الف: مقدار میانگین هر عنصر در هر کلاس از سنگهای بالادست (تک سنگی)، محاسبه

شده است

ب: ردیف‌بندی عناصر در یک سری متواالی براساس کاهش مقدار فراوانی آنها

ج: مقایسه مکان قرارگیری هر عنصر در یک سری با سنگ بالادست معین نسبت به

مکان قرارگیری همان عنصر در سری کلی

جدول ۱-۵ نتایج عملیات فوق را برای کل جامعه نمونه‌های برداشت شده از برگه

سبزوار که بعنوان ملاک مقایسه برای جوامع دیگر بکار برده شده است همراه

با مقادیر مشابه برای پنج تیپ سنگ بستر بالادست (تک سنگی) نشان میدهد. این جوامع

عبارتند از: INT (سنگهای آذرین متوسط)، GM (مارنهای زیپس دار)، FGS (رسوبات

دانه‌ریز)، HZ (هارزبورگیت) و UM (سنگهای اولترامافیک).

چنانچه از داده‌های این جدول بر می‌آید، میانگین مقادیر رسوبات حاصل از

فراسایش سنگهای اولترامافیک بسیار نزدیک به میانگین مقادیر مربوط جامعه کلی است

که باید همچنین باشد. در مورد سنگهای هارزبورگیت، رسوبات دانه‌ریز و مارنهای

زیپس دار این تغییرات بیشتر است. عناصری مانند روی، باریم، مس، کرم و ارسنیک در

سنگهای هارزبورگیت غنی‌شدنی نسبی و عناصر نیکل، کبات، آهن و تنگستن

تهی شدنی نسبی را نشان میدهند.

Table 5.1 : Geochemical Features : Ranking of Different Elements in Different Environments Based on Concentration of Each Elements in Stream Sediments .

TOTAL STANDARD	Cr	Ni	V	Ba	Zn	Cu	Co	Pb	As	Fe	Sn	Au	Mo	W	Sb	Bi	Ag	Hg
INT	289.5	228.5	173.5	133.5	76.5	47.25	30.35	8.4	5.02	5.015	1.525	1.4	0.695	0.44	0.32	0.2	0.078	0.03
IM	229	212	169	110	84	42	27.6	9.15	6.11	5.33	1.7	1.1	0.7	0.62	0.48	0.2	0.091	0.025
GM	452	30.0	164	111.5	63	46	35.85	8.7	5.01	4.79	1.5	0.91	0.7	0.57	0.475	0.2	0.0845	0.024
HZ	415	264	230	161	65	32	14	8	5.46	4.57	1.2	1.09	1.02	0.54	0.51	0.2	0.06	0.029
FGS	255	200	196	100	69.5	69.1	47.5	24	5	4.74	3.1	1.06	1	0.5	0.38	0.1	0.058	0.0185

۳- تخمین مقدار زمینه

پس از همگن‌سازی جوامع مختلف نمونه‌های ژئوشیمیایی برداشت شده از رسوبات آبراهه‌ای براساس نوع سنگ یا سنگهای بالادست اقدام به محاسبه مقدار زمینه گردیده است. در این خصوص چون مقدار میانگین، خود تابع مقادیر حدی در تابع چگالی احتمال است، و از طرفی داده‌های ژئوشیمیایی اکثراً چولگی مثبت داشته و مقادیر حد بالایی تابع چگالی احتمال آنها روی مقدار میانگین اثر می‌گذارد، از مقدار میانه که مستقل از تغییرات فوق است. استفاده شده است، در این خصوص مقدار میانه بعنوان زمینه انتخاب گردیده است و سپس مقدار هر عنصر در هر نمونه از یک جامعه به مقادیر میانه آن تقسیم تا نسبت غنی‌شدگی یا تهی‌شدگی آن عنصر در هر نمونه محاسبه گردد. بدیهی است عناصری که مقدار نسبت فوق در آنها بیشتر از واحد باشد غنی شده و آنها که کمتر از واحد باشد تهی شده تلقی می‌شوند.

جدول ۲-۵ پارامترهای آماری مربوط به لگاریتم توزیع شاخص غنی‌شدگی نسبی هر یک از متغیرهای بیست‌گانه را نشان میدهد. در این جدول بدیهی است مقدار میانه بصورت عدد صفر ظاهر خواهد شد، زیرا ($Ln(1) = O$). علاوه بر مقدار میانه در این جدول، مقدار میانگین، انحراف معیار و مقدار چولگی و کشیدگی نیز نشان داده شده است. براساس این داده‌های نکشة توزیع هر عنصر رسم گردیده است. لازم به یادآوری است که عناصری که در غلظت‌های کمتر از چند ده PPm ظاهر می‌شوند می‌توانند بعضاً ضریب غنی‌شدگی بسیار بالایی از خود نشان دهند که تا حدودی غنی‌شدگی غیرواقعی است. علت این امر می‌تواند به افزایش خطاهای مطلق اندازه‌گیری در غلظت‌های کم برگرد. بنابراین در انتخاب مناطق امیدبخش و تحلیل آنها باید از هر دو معیار مقدار مطلق و غنی‌شدگی نسبی بهره برد.

B A T C H S T A T I S T I C S

(for Natural Log of data)

Table 5-2 : Batch Statistic of Enrichment Index of Variables
in Sabzevar 1/100,000 Sheet.

	Au	Ag	Cu	Pb	Zn
N used :	786	786	786	786	786
N missing :	0	0	0	0	0
N .LE. 0 :	0	0	0	0	0
Mean :	.090	-.006	.032	.003	.023
Variance :	.223	.093	.096	.104	.046
Std. Dev. :	.472	.304	.309	.322	.215
Coef. Var. :	524.070	4807.702	955.760	10527.500	928.226
Skewness :	1.380	1.589	.634	.371	.431
Kurtosis :	9.663	13.422	4.067	4.372	3.920
Minimum :	-.981	-.675	-.833	-.896	-.762
25th %tile :	-.223	-.207	-.169	-.203	-.120
Median :	.000	.000	.000	.000	.000
75th %tile :	.345	.161	.215	.194	.154
Maximum :	3.832	2.408	1.540	1.978	.916
<hr/>					
	Sn	As	Sb	Bi	Hg
N used :	786	786	786	786	786
N missing :	0	0	0	0	0
N .LE. 0 :	0	0	0	0	0
Mean :	.091	-.003	-.037	.074	.101
Variance :	.080	.149	.100	.041	.070
Std. Dev. :	.283	.385	.316	.202	.265
Coef. Var. :	311.263	15407.080	846.145	273.819	262.930
Skewness :	.353	.822	1.450	2.711	.945
Kurtosis :	3.109	7.140	9.528	9.541	5.624
Minimum :	-.642	-1.382	-.889	.000	-.438
25th %tile :	-.092	-.215	-.235	.000	-.071
Median :	.057	-.018	-.063	.000	.068
75th %tile :	.267	.201	.100	.000	.259
Maximum :	1.099	2.543	2.177	1.423	1.711

B A T C H S T A T I S T I C S

(for Natural Log of data)

Table 5-2 : Batch Statistic of Enrichment Index of Variables
in Sabzevar 1/100,000 Sheet.

	Fe	Co	Mn	Ti	Ba
N used :	786	786	786	786	786
N missing :	0	0	0	0	0
N .LE. 0 :	0	0	0	0	0
Mean :	.004	-.074	.024	-.037	.037
Variance :	.055	.147	.028	.106	.096
Std. Dev. :	.235	.383	.167	.325	.310
Coef. Var. :	5467.799	519.577	706.907	884.526	849.383
Skewness :	2.537	-1.651	1.451	.193	-.504
Kurtosis :	17.751	8.754	10.814	4.774	4.559
Minimum :	-.884	-2.080	-.712	-1.251	-1.357
25th %tile :	-.103	-.191	-.061	-.222	-.108
Median :	-.019	-.020	.007	-.026	.047
75th %tile :	.069	.116	.094	.140	.217
Maximum :	1.853	1.343	1.113	1.290	1.057
	Cr	Ni	V	W	Mo
N used :	786	786	786	786	786
N missing :	0	0	0	0	0
N .LE. 0 :	0	0	0	0	0
Mean :	-.025	.057	-.013	-.137	.058
Variance :	.309	.333	.119	.219	.347
Std. Dev. :	.556	.577	.344	.468	.589
Coef. Var. :	2182.215	1003.473	2675.600	341.169	1007.187
Skewness :	.166	.182	1.555	1.305	.420
Kurtosis :	4.466	3.775	9.876	10.557	5.579
Minimum :	-2.091	-1.885	-.932	-1.282	-2.051
25th %tile :	-.368	-.265	-.195	-.414	-.260
Median :	-.026	.018	-.037	-.132	.000
75th %tile :	.253	.363	.122	.022	.320
Maximum :	2.272	1.845	2.265	3.718	2.401

فصل ششم

تخمین شبکه‌ای شاخص‌های غنی‌شده

۱- تخمین شبکه‌ای

با گذشت زمان و افزایش مخارج پروژه‌های اکتشافی، سعی بر آن است که با بکارگیری تکنیکهای آماری پیچیده‌تر، دامنه تخمین را از نظر بعد مسافت افزایش داد تا از این رهگذر بتوان تعداد نمونه‌های لازم را برای تخمین در سطح اعتماد معین را کاهش داد. این کاهش تعداد نمونه‌ها (البته بدون پایین آوردن سطح اعتماد تخمین) خود موجب کاهش مخارج اکتشافی می‌گردد، زیرا مخارج سایر فازهای اکتشافی (از قبیل آماده‌سازی، آنالیز و پردازش) ارتباط مستقیمی با تعداد نمونه‌ها دارد. معمولاً برگه‌های ۱:۱۰۰،۰۰۰ آنالیز و پردازش) زمین‌شناسی در کشور ما مساحتی حدود ۲۵۰۰ کیلومتر را شامل می‌شود که اگر دانستیه یک نمونه برای هر ۳ کیلومتر مربع را در نظر بگیریم، برای هر برگه حدود ۸۰۰ نمونه باید برداشت شود. در چنین شرایطی اگر نقشه ۱:۱۰۰،۰۰۰ زمین‌شناسی را به ۲۵۰۰ سلوول با مساحت یک کیلومتر مربع تقسیم نمائیم کل ۸۰۰ نمونه برداشت شده احتمالاً در حدود ۸۰۰ سلوول توزیع خواهد شد و از بقیه ۱۷۰۰ سلوول باقیمانده نمونه‌ای برداشت نمی‌شود.

بدین ترتیب هیچ تخمین مستقیمی نمی‌تواند برای حدود ۷۰٪ از مساحت نقشه صورت پذیرد. این تحلیل ساده نشان میدهد که تا چه اندازه به تکنیکهای آماری که بتواند دامنه تخمین مقدار متغیرها را به بخش اعظمی از هر نقشه افزایش دهد نیاز می‌باشد. این تکنیک که در این گزارش تحت عنوان تخمین شبکه‌ای از آن نام برده می‌شود به ما اجازه میدهد تا با داشتن اطلاعات مستقیم از حدود ۸۰۰ سلوول شبکه بتوانیم تخمین‌های لازم از فراوانی عناصر و شاخص‌های غنی‌شده مربوط به آنها را به حدود ۱۷۰۰ سلوول دیگر موجود

در محدوده برگ افزایش دهیم. در چنین حالتی افزایش تعداد سلولهایی که در مورد آنها داده‌ای بدست می‌آید موجب میگردد تا ارتباط منطقی بین فراوانی یک عنصر در سلولها ظاهر گشته و امکان ارزیابی منطقه‌بندی‌های موجود در نقشه توزیع یک عنصر فراهم گردد. برای مثال هرگاه یک مقدار آنومالی در بین تعداد زیادی از مقادیر زمینه محصور گردد، ارزش و اعتبار آن مقدار آنومالی زیر سؤال خواهد بود. ولی اگر یک مقدار آنومالی بوسیله چندین سلول با مقدار حد آستانه‌ای محصور گردد و این سلولها خود توسط سلولهای دارای مقدار زمینه نیز محاط گردند در اینصورت این مدل تغییرات تدریجی از اطراف به مرکز آنومالی، موجب افزایش اعتبار مقدار آنومالی میگردد. چنین ارزیابی‌ای در صورتی میسر است که از تکنیک تخمین شبکه‌ای استفاده گردد. از دیگر امتیازات این روش تخمین آنستکه یک شبکه نامنظم نمونه برداری را به یک شبکه منظم تخمین تبدیل می‌کند. مهمترین ویژگی بررسی رسوبات رودخانه‌ای به منظور ارزیابی پتانسیل کانی‌سازی، میتواند ناشی از این واقعیت باشد که مقدار هر متغیر در رسوب رودخانه‌ای دارای خاصیت برداری است. جهت این بردار بطریقی است که همواره مقادیر بالا دست خود را معرفی می‌کند. عبارت دیگر ارقام حاصل از بررسی رسوبات رودخانه‌ای برخلاف سایر روش‌های ژئوشیمی‌ای خاصیت جهت یافتنی دارند و همواره انعکاس دهنده تغییرات در ناحیه بالا دست خود می‌باشند. الگوریتم کنونی بنحوی طراحی شده که این اثر مهم در تخمین را بحساب آورد. این روش اولین بار توسط گروهی از ژئوشیمیست‌های اکتشافی امپریال کالج لندن بکار گرفته شد و سپس با تأیید الگوریتم مورد نظر این روش در هندبوک ژئوشیمی اکتشافی (جلد دوم) بعنوان روشی برای نقشه‌برداری ژئوشیمی‌ای پیشنهاد گردیده است.

تکنیک تخمین شبکه‌ای شامل چند بخش بشرح زیر است:

الف - انتخاب یک شکل هندسی که بتواند حتی الامکان ناجیه حوضه آبریز بالادست هر نمونه را مشخص کند. این شکل هندسی میتواند به صورت مختلفی انتخاب گردد. برای مثال ناجیه بالادست هر نمونه در حوضه آبریز را میتوان بصورت مثلث، ییضوی، چند ضلعی و یا قطاعی از یک دایره در نظر گرفت که محل نمونه در یکی از رئوس این اشکال هندسی قرار خواهد گرفت. بنظر میرسد که انتخاب چند ضلعی تا آنجا که به انطباق فیزیکی بیشتر با حوضه آبریز مربوط میشود از دیگر اشکال هندسی مناسبتر است ولی محاسبات و عملیات مربوط به آن بسیار پیچیده تر و پر جم است. در مقابل انتخاب قطاع گرچه ممکن است از نظر هندسی انطباق کمتری با طبیعت حوضه آبریز داشته باشد و نتوان صد درصد مساحت تحت پوشش یک حوضه آبریز را در آن محصور نمود ولی بعلت کمی تعداد پارامترهای لازم برای مشخص نمودن آن از امتیاز بالایی نسبت به سایر اشکال برخوردار است. در این مطالعه برای مشخص کردن محدوده هر حوضه آبریز از این شکل هندسی استفاده شده است.

ب - زاویه مرکزی هر قطاع که بخشی از حوضه آبریز را می پوشاند، در محل نمونه قرار داده میشود و کمان انتهایی قطاع بالاترین قسمت حوضه آبریز مربوطه را می پوشاند و دو ضلع قطاع باید حتی الامکان منطبق بر رأس خط الرأسهای دو طرف حوضه آبریز بالادست نمونه مربوطه باشد. پارامترهایی که برای هر قطاع باید اندازه گیری و در محاسبات وارد شود عبارتند از:

- مختصات X و Y . نقطه رأس قطاع که همان نقطه نمونه برداری است.
- زاویه مرکزی قطاع (θ).
- مختصات نقطه انتهایی حوضه آبریز مربوطه که حتی الامکان منطبق بر نقطه وسط کمان

قطاع خواهد بود.

در این پژوهش برای کلیه نمونه‌های برداشت شده در محدوده این برگه که محل و موقعیت آنها در نقشه‌های نمونه برداری قبل از آن گردیده است مطابق دستور العمل فوق قطاع‌های مربوطه رسم و مختصات رأس قطاع و نقطه انتهای آبراهه و زاویه θ نیز اندازه‌گیری شده است. نتایج این اندازه‌گیری‌ها در جدول ۲ ضمیمه (روی CD) آورده شده است.

۲- شاخص غنی‌شدگی (*Enrichment Index*)

بنابر تعریف شاخص غنی‌شدگی یک عنصر خاص در یک نمونه معین عبارتست از نسبت غلظت آن عنصر در آن نمونه به غلظت میانگین یا میانه همان عنصر در جامعه‌ای که نمونه مربوطه متعلق به آن است. با این تعریف عوامل مؤثر در شاخص غنی‌شدگی یک عنصر خاص در یک نمونه معین نه فقط تابع مقدار آن عنصر در آن نمونه می‌باشد بلکه به فراوانی همان عنصر در جامعه وابسته به آن نیز بستگی دارد. بنابراین اگر فراوانی نقطه‌ای و منطقه‌ای یک عنصر، هر دو با شبیه ثابتی افزایش و یا کاهش یابد آنچه که ثابت باقی خواهد ماند شاخص غنی‌شدگی است. زیرا صورت مخرج این کسر به یک نسبت افزایش و یا کاهش می‌یابند. بدین ترتیب شاخص غنی‌شدگی تا حدود زیادی مستقل از فاکتور لیتوژئی و یا مؤلفه سن ژنتیک فراوانی یک عنصر در ناحیه منشاء رسوبات آبراهه‌ای می‌باشد. برای مثال دو رسوب آبراهه‌ای A و B را در نظر می‌گیریم که اولی حاصل فرسایش یک واحد پریدوتیتی و دومی حاصل فرسایش یک واحد دولومیتی است بدیهی است مقدار Ni در واحد پریدوتیتی و رسوب حاصل از فرسایش آن به مراتب بیشتر از مقدار همین عنصر در واحد دولومیتی و یا در رسوب حاصل از فرسایش آن است. چنانچه

رسوب حاصل از فرسایش دولومیت با رسوب حاصل از فرسایش پریدوتیت از نظر فراوانی نیکل مورد معاینه قرار گیرد. ملاحظه میگردد که تا چه اندازه نوع اخیر از نیکل غنی‌تر است. حال آنکه اگر مقدار نیکل یک نمونه رسوب حاصل از فرسایش پریدوتیت به میانگین آن نرمالایز شود و همین عمل در مورد رسوب حاصل از فرسایش دولومیت صورت گیرد و آنگاه مقادیر نرمالایز شده با هم مقایسه شوند، ملاحظه خواهد شد که در صورت نبود مؤلفه اپی ژنتیک، اختلاف دو جامعه آماری ممکن است بی‌اهمیت باشد در حالتی که رسوب حاصل از فرسایش پریدوتیت به دلیل وجود کانی‌سازی (مؤلفه اپی ژنتیک) دارای مقادیر بسیار بالایی از نیکل باشد. در اینصورت ممکن است مقادیر نرمالایز شده اختلاف فاحشی را نشان دهند. این اختلاف از نوع معنی‌دار تلقی شده و برخلاف اختلاف بین دو مقدار نرمالایز نشده، باید در جستجوی عامل ایجاد کننده آن بود. نظر به اینکه شاخص غنی‌شدگی میتواند داده‌های ژئوشیمیایی را از تغییرات لیتلولوژی (مؤلفه سن ژنتیک) در ناحیه منشاء مستقل سازد در این پژوهش، مبنای محاسبات قرار گرفته است. برای محاسبه شاخص غنی‌شدگی متغیرهای تک عنصری در هر نمونه از رابطه زیر استفاده می‌شود:

$$EI = \frac{C_j}{(C_{med})_j}$$

در این رابطه EI شاخص غنی‌شدگی، C_j مقدار فراوانی عنصر j در یک نمونه معین و $(C_{med})_j$ مقدار زمینه همان عنصر در جامعه مربوط به آن نمونه می‌باشد. این مقدار زمینه میتواند از معادل مقدار میانه و یا معادل مقدار میانگین انتخاب گردد. در پژوهش حاضر بعلت مستقل بودن مقدار میانه از تغییرات حدی، این پارامتر به میانگین ترجیح داده شده است.

۳- محاسبه احتمال رخداد هر یک از شاخص‌های غنی‌شدگی

از آنجا که نقشه‌برداری ژئوشیمیابی از رسوبات آبراهه‌ای به دو منظور مختلف

شامل:

الف: ارزیابی پتانسیل معدنی واحدهای تکتو نوماگمایی و نهایتاً تپیه نقشه متالوژنی

این واحدها از طریق رسم نقشه توزیع عناصر و

ب: ارزیابی آنمالیهای ژئوشیمیابی امیدبخش جهت انجام عملیات اکتشافی

تفصیلی تر

صورت میگیرد، برای آنکه در پروژه حاضر هر دو منظور رعایت شده باشد، علاوه

بر رسم نقشه توزیع ژئوشیمیابی عناصر در مقیاس ناحیه‌ای که در آن منظور اول ملاحظه

میشود، اقدام به محاسبه احتمال رخداد هر یک از مقادیر آنمال نیز گردیده است تا بتوان

از این طریق به ملاکی جهت دسترسی به منظور دوم دست یافت. پس از آنکه مقدار هر

عنصر در هر یک از جوامع به میانه همان عنصر در همان جامعه تقسیم شد (نرم‌الایز کردن

اثر لیتوژئیهای مختلف)، حال میتوان با نتایج حاصل از نمونه‌های متعلق به جوامع

اختلاف، تشکیل یک جامعه کلی داد و سپس روی این جامعه تحلیل آماری کرد. از آنجا

که نتایج حاصل از فاز قبل، شاخص غنی‌شدگی هر عنصر را نشان میدهد، جامعه کلی

بدست آمده تحت عنوان جامعه شاخص غنی‌شدگی نامید؛ میشود که در صورت دقت کافی

در نقشه زمین‌شناسی میتواند تا حدود زیادی مستقل از فاکتور لیتوژئی در ناحیه منشاء

رسوبات آبراهه‌ای باشد.

علاوه بر محاسبه پارامترهای آماری هر یک از جوامع (شاخص غنی‌شدگی کلی هر

عنصر)، احتمال رخداد هر مقدار از یک عنصر در هر نمونه نیز محاسبه گردیده است.

احتمالات حاصل بعنوان ملاکی جهت ارزیابی مقادیر بظاهر آنمال مورد استفاده قرار

گرفته است.

جدول ۱-۶ نتیجه عملیات فوق را برای مقادیر میانه بعلاوه دو انحراف معیار نشان میدهد. چنانچه ملاحظه میگردد. شدت آنومالیها با معیاری احتمال پذیر محاسبه گردیده است. این شدت برابر است با عکس حاصلضرب احتمال رخداد یک مقدار معین از یک عنصر در جامعه نمونه های مورد بررسی در برگه ۱:۱ سیزوار. بدین ترتیب برای طلا تنها هفت آنومالی واقعی، مس پنج آنومالی، سرب یک آنومالی، روی چهار آنومالی، نقره پنج آنومالی، مولیبدن هشت آنومالی، آهن چهارده آنومالی، ارسنیک هفت آنومالی، آنتیموان هشت آنومالی، بیسموت دو آنومالی، قلع یک آنومالی، کبالت یک آنومالی، نیکل بدون آنومالی، کرم سه آنومالی، وانادیم ده آنومالی، منگنز دوازده آنومالی، تیتانیم شش آنومالی، باریم یک آنومالی، تنگستن ده آنومالی و جیوه چهار آنومالی واقعی حاصل گردیده است.

۴- معرفی متغیرهای تک عنصری و چند عنصری و رسم نقشه ها

متغیرهای تک عنصری و چند عنصری که بتوانند پتانسیلهای کانساری را در این منطقه به طور مناسبتری منعکس نمایند، از طریق بکارگیری روش آنالیز فاکتوری و رسم موقعیت متغیرها در مختصات فاکتوری معرفی می شوند. در چنین مختصاتی، متغیرهایی که بار فاکتورهای آنها نزدیک به صفر می باشد بی اهمیت بوده و هر چه فاصله آنها از مبدأ مختصات ($F_j=0$ و $F_i \neq 0$) بیشتر باشد. پتانسیل عنصر از نظر کانی سازی می تواند با اهمیت تلقی شود. البته این امر پس از خشی سازی مؤلفه های سنتزیک (بطور عام) از طریق اثر دادن سنگ بالادرست، صادق است. در اینصورت چنانچه مجموعه ای از متغیرها در امتداد معینی از مبدأ دور شده باشند، می توانند بعنوان متغیرهایی که ارتباط پاراژنزی با

Table 6-1 : Promising Sampling Points Based on the Sum of Probabilistic Intensity of Anomalies .

Sample No.	Ag	As	Au	Ba	Bi	Co	Cr	Cu	Fe	Hg	Mn	Mo	Ni	Pb	Sb	Sn	Ti	V	W	Zn	Sum (1/PN)
SB- 4																			12.72	12.72	12.72
SB- 30																			3.18	3.18	
SB- 37																			12.72	12.72	
SB- 41																			6.36	6.36	
SB- 43																			15.27	15.27	
SB- 45																			12.72	12.72	
SB- 51																			16.96	16.96	
SB- 55																			4.24	4.24	
SB- 79																			47.71	47.71	
SB- 88																			16.96	16.96	
SB- 96																			12.72	12.72	
SB- 97																			4.24	4.24	
SB- 108																			2.54	2.54	
SB- 114																			12.72	12.72	
SB- 116																			1.59	1.59	
SB- 166																			52.48	52.48	
SB- 180																			2.54	2.54	
SB- 187																			6.36	6.36	
SB- 190																			12.72	12.72	
SB- 215																			12.72	12.72	
SB- 218																			12.72	12.72	
SB- 236																			6.36	6.36	
SB- 239																			12.72	12.72	
SN- 303																			12.72	12.72	
SN- 375																			1.59	1.59	
SN- 398																			2.54	2.54	
SN- 402																			3.18	3.18	
SN- 457																			2.12	2.12	
SN- 480																			6.36	6.36	
SN- 493																			12.72	12.72	
SN- 494																			1.82	1.82	
SN- 524																			25.45	25.45	
SN- 525																			12.72	12.72	
SN- 526																			25.45	25.45	
SN- 527																			25.45	25.45	
SN- 548																			12.72	12.72	

Continue

Table 6-1 : Promising Sampling Points Based on the Sum of Probabilistic Intensity of Anomalies .

Sample No.	Ag	As	Au	Ba	Bi	Co	Cr	Cu	Fe	Hg	Mn	Mo	Ni	Pb	Sb	Sn	Ti	V	W	Zn	Sum (1/PN)
SN- 561	12.72																				12.72
SN- 583	12.72									12.72											12.72
SN- 586																					12.72
SN- 590	12.72																				12.72
SN- 599											3.18										3.18
SN- 610											12.72										12.72
SN- 632												12.72									12.72
SN- 659													12.72								12.72
SN- 676		2.12																			2.12
SN- 689														6.36							6.36
SR- 272										12.72	1.59										3.18
SR- 274										1.82											3.18
SR- 286											4.24										4.24
SR- 408	12.72									12.72											50.89
SR- 409	12.72									12.72											50.89
SR- 410	12.72										3.18										15.90
SR- 412												12.72									12.72
SR- 413												12.72									12.72
SR- 414												12.72									12.72
SR- 416												12.72									6.36
SR- 417												3.18									6.36
SR- 422													12.72								12.72
SR- 427													12.72	4.24							16.96
SR- 427																					12.72
SR- 439																					19.08
SR- 441	12.72																				12.72
SR- 713																					3.18
SR- 716																					39.99
SR- 718																					42.41
SV- 787																					6.36

یکدیگر دارند، بحسب آیند. بنابراین با استفاده از این روش می‌توان با تغییر محورهای مختصات (فاکتورهای مختلف) موقعیت عناصر را واضحتر مورد مطالعه قرار داد. در مطالعه حاضر، یک مدل پنج فاکتوری می‌توانسته است بیشتر از ۹۵٪ از تغییرپذیری را توجیه کند. اشکال ۱-۶ تا ۱۰ وضعیت متغیرهای مختلف را در مختصات های مختلف معرفی می‌کند. مطالعه این اشکال معرف آنستکه:

۱- هفت متغیر As , Ni , V , Cr , Mo , W , Au و قادر هستند خود را، در مختصات دو

فاکتوری از پنج فاکتور، از سایر متغیرها بطور بارزی جدا کنند.

۲- پاراژنر ضعیفی بین Co , Ni , Cr و V دیده می شود که مرتبط با واحدهای اولترامافیکی است.

۳- طلا با هیچیک از عناصر حتی پاراژنر ضعیف هم نشان نمی دهد.

۴- پاراژنر ضعیفی بین As و Sb وجود دارد.

۵- Cu حتی در هیچیک از مختصات دو فاکتوری نمی تواند خود را از سایر متغیرها جدا کند. این بدان معناست که بار فاکتوری آن در هیچیک از فاکتورها در حد قابل ملاحظه ای نیست.

۶- Hg نیز مانند Cu بار فاکتوری قابل ملاحظه ای که بتواند آنرا از سایر متغیرها جدا کند را ارائه نمی دهد.

از بحث فوق می توان چنین نتیجه گرفت که تحت شرایط پاراژنری بین متغیرهای ژنوشیمیائی موجود در برگه سبزوار، بیشتر نقشه های تک متغیری از نوع توزیع عناصر و یا نقشه احتمال پیدایش (PN) بصورت منفرد یا دسته جمعی، مفید می باشد. برای رسم نقشه چند متغیر، می توان به رسم نقشه توزیع فاکتورها پرداخت و یا بعلت محدود بودن تعداد نقشه ها (پنج نقشه ژنوشیمیائی) با آنالیز ویژگی روی بار فاکتورها، یک نقشه چند

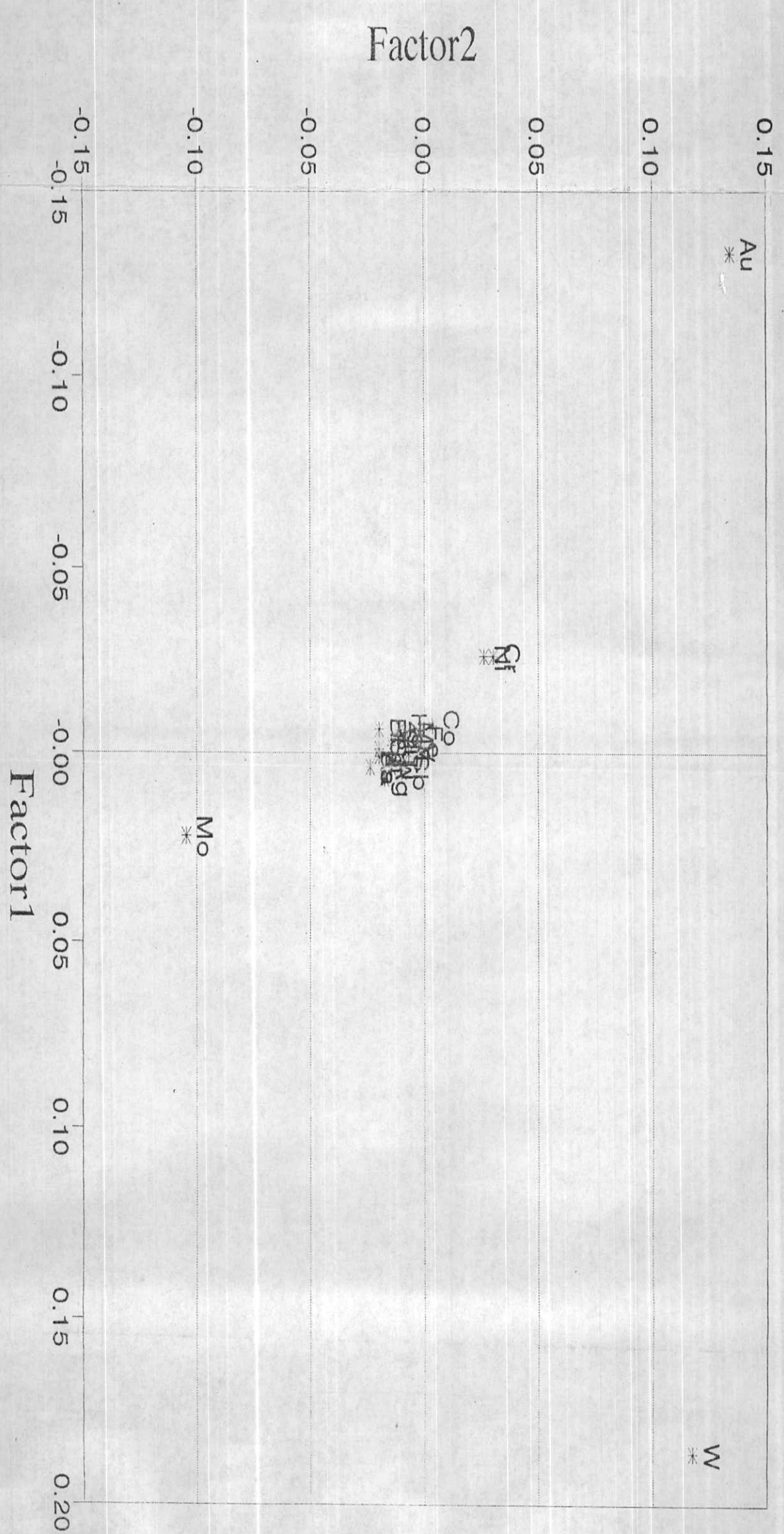
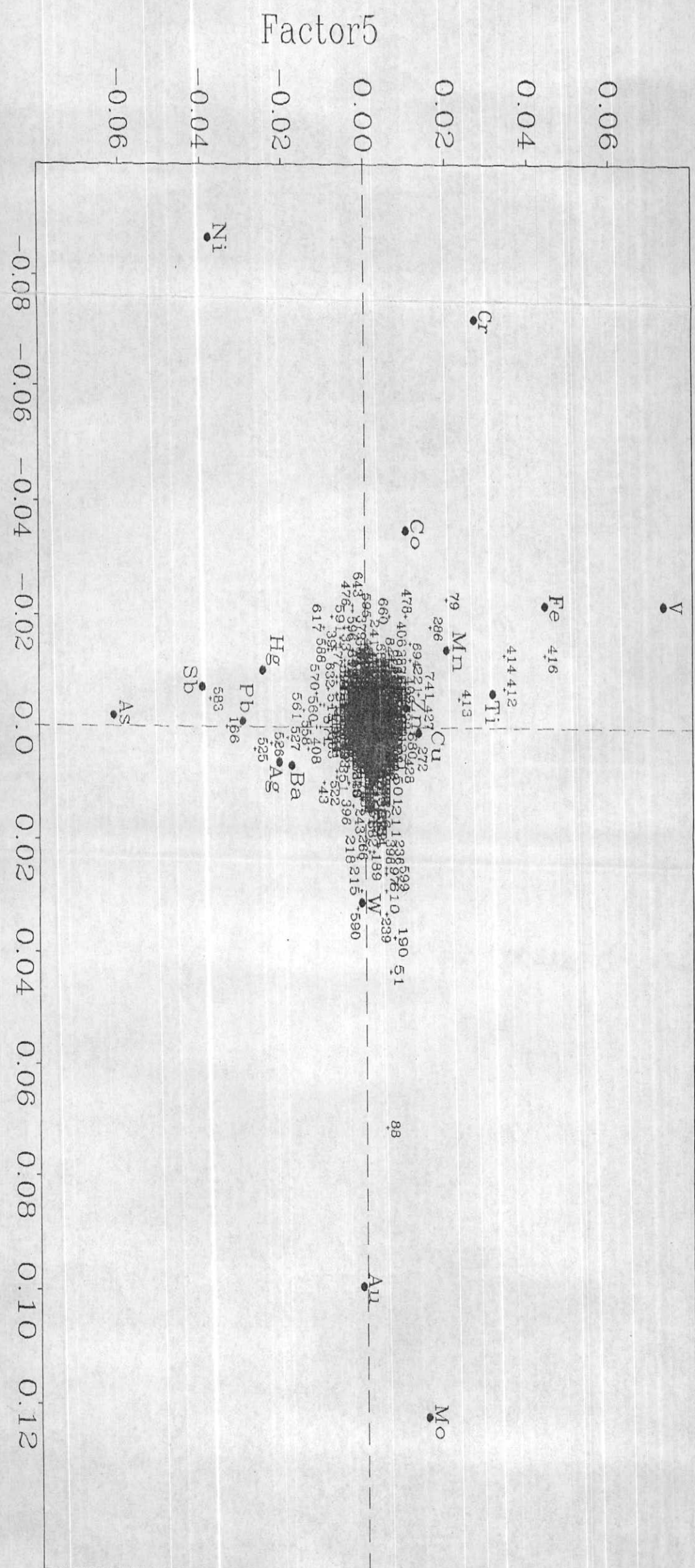


Fig. 6-1: Graphical Representation of Factor Analysis for Geochemical Variables in Sabzevar 1/100,000 Sheet.



Factor3

Fig.6-13: Graphical Representation of the Results of Correspondence Analysis for Geochemical Variables and Associated Samples in Sabzevar 1/100,000 Sheet.

Table 6-2 : Comparison Between Anomalous Samples Obtained From the Two Method .

FACTOR1-FACTOR2				
SAMPLE NO.	ANOMALY	1/PN	PARAGENESIS	E.I.
Au				
88	Au(1)	12,72	Cr(1)p	46,154
590	Au(1)	12,72	—	19,091
41	Au(1)	6,36	—	6,308
218	Au(2)	12,72	—	6,5
55	Au(2)	4,24	—	5,769
39	—	—	—	—
687	Au(2)	—	Zn(2)	3,51
219	Au(2)	—	—	4,81
43	Au(1)	2,54	Sb(1)p	5,2
375	—	—	—	—
591	—	—	—	—
346	—	—	—	—
W				
215	W(1)	12,72	—	41,16
96	W(1)	12,72	—	6,27
37	W(2)	12,72	—	6,55
45	W(1)	12,72	Cu(2)	5,49
4	W(1)	12,72	—	5,4
187	W(1)	6,36	—	4,92
457	W(2)	3,18	—	4,35
180	W(2)	2,54	—	4,19
108	W(1)	2,5	—	4,17
402	W(2)	2,54	—	4,08
105	—	—	—	—
195	W(1)	—	—	3,34
203	—	—	—	—
214	W(2)	—	—	3,03
441	W(1)	—	Ag(1)p,Hg(1),Sb(1)p	3,32
401	—	—	—	—
431	W(2)	—	Hg(1)	2,8
439	W(2)	—	Hg(1)p,Cr(2),Sb(2)	3,58
435	W(2)	—	Ag(2)	2,37
277	W(2)	—	—	2,5
Mo				
190	Mo(1)	12,72	—	11,02
236	Mo(1)	6,36	—	8,95
610	Mo(2)	12,72	—	10,62
97	Mo(1)	4,24	—	8,4
239	Mo(1)	12,72	—	10,98
398	Mo(1)	1,59	—	6,86
185	Mo(2)	—	—	4,3
189	Mo(1)	—	—	6,412
59	—	—	—	—
196	Mo(2)	—	—	4,88
373	Mo(2)	—	—	5,48
599	Mo(2)	3,18	—	7,71
184	—	—	—	—
266	Mo(2)	—	—	6,457
252	Mo(2)	—	—	5,097

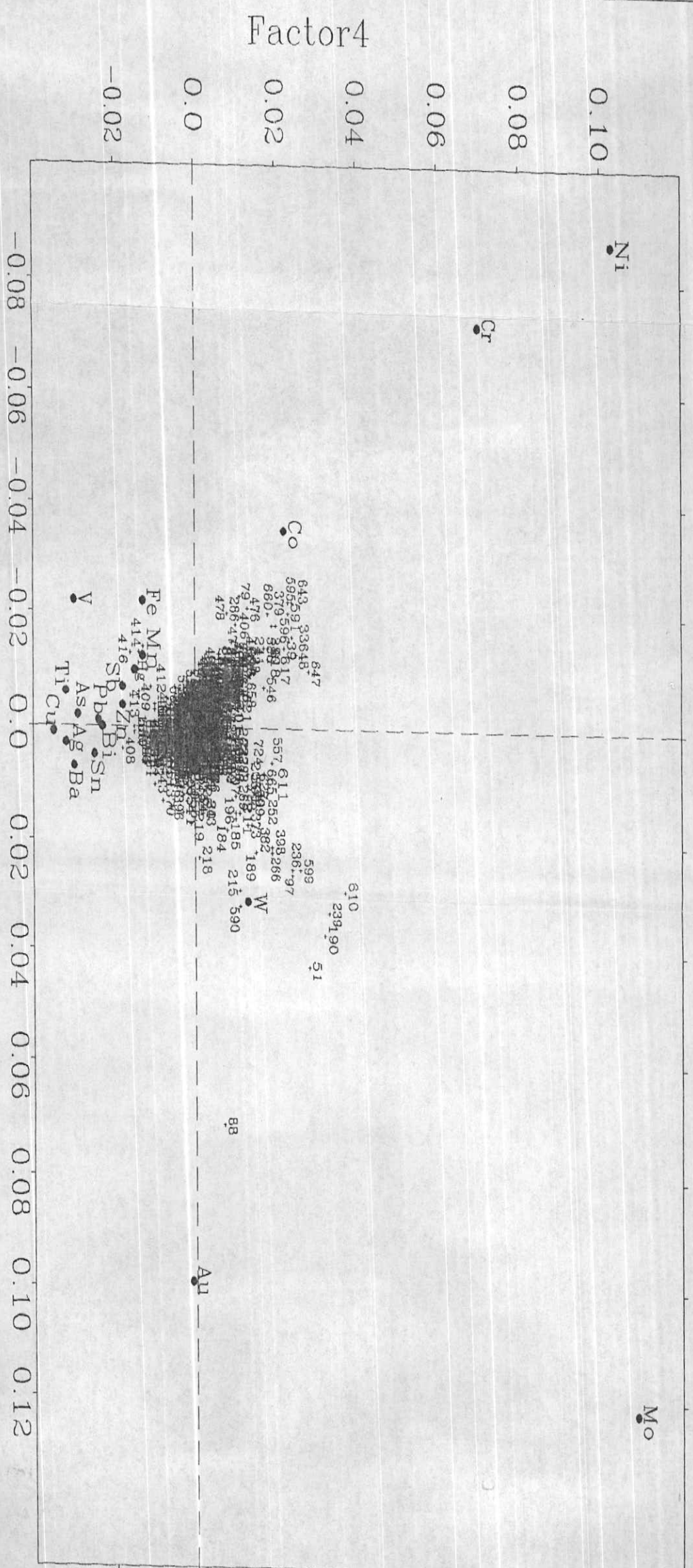


Fig.6-12: Graphical Representation of the Results of Correspondence Analysis for Geochemical Variables and Associated Samples in Sabzevar 1/100,000 Sheet.

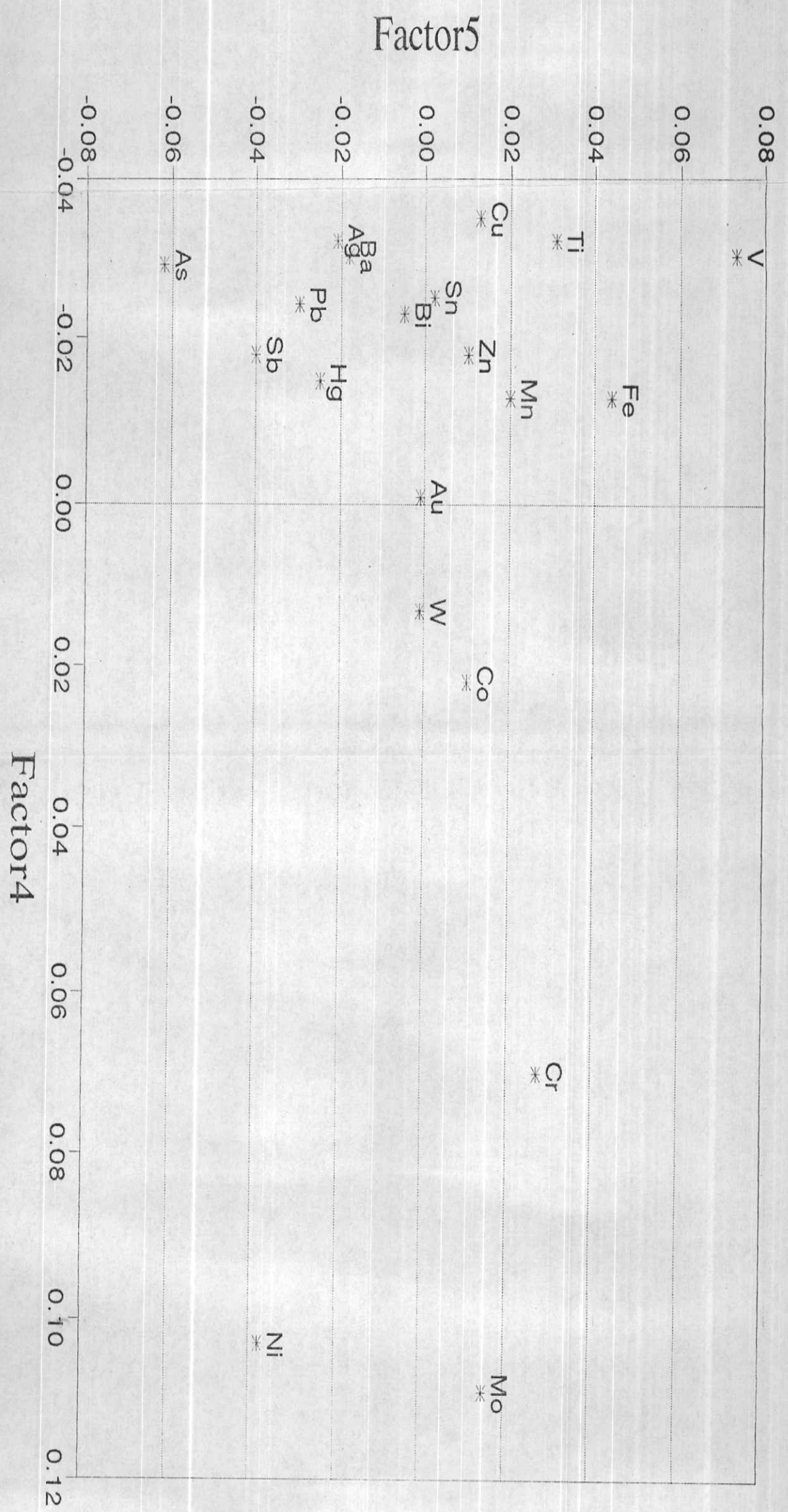


Fig. 6-10: Graphical Representation of Factor Analysis for Geochemical Variables in Sabzevar 1/100,000 Sheet.

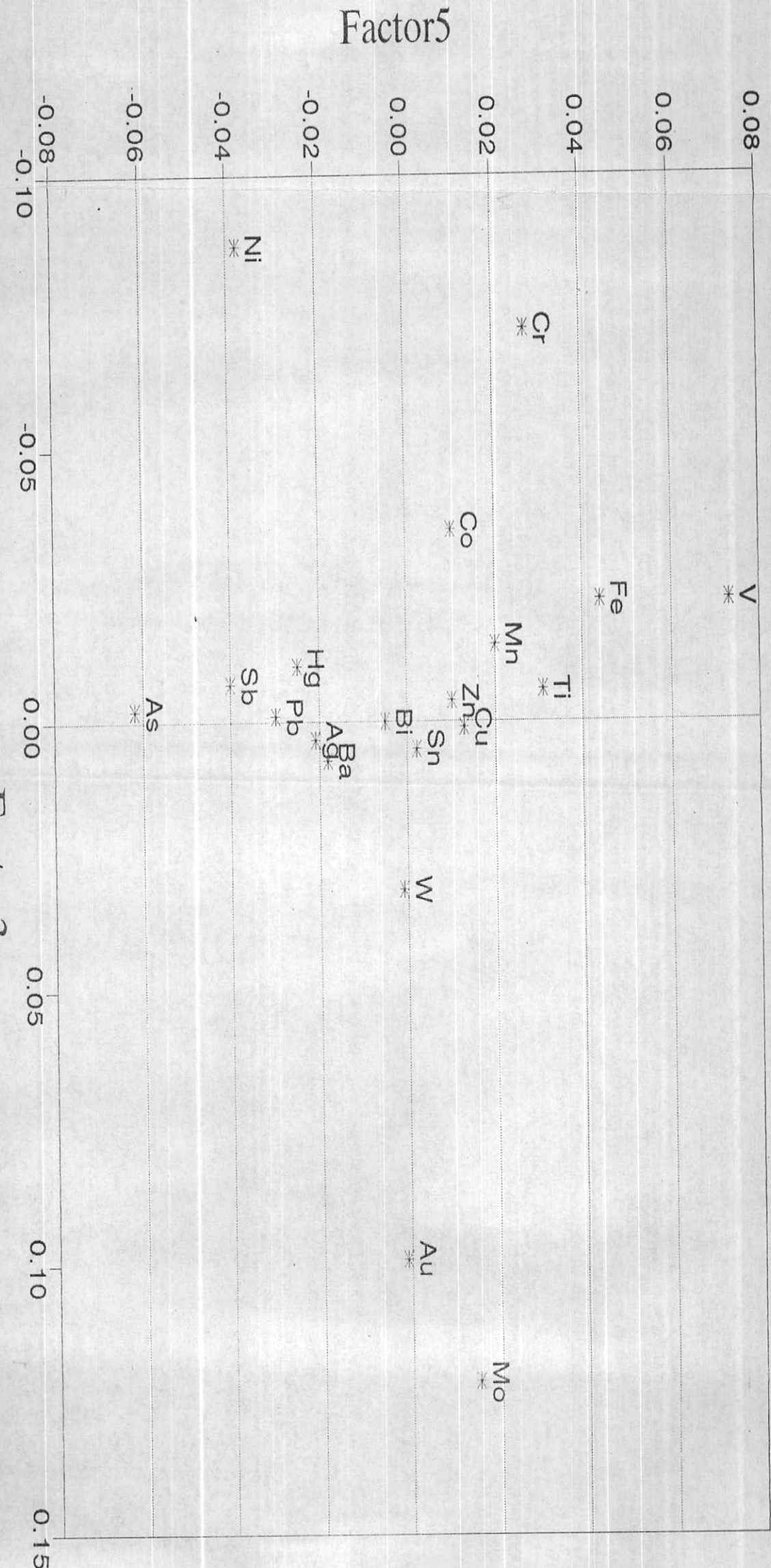


Fig. 6-9: Graphical Representation of Factor Analysis for Geochemical Variables in Sabzevar 1/100,000 Sheet.

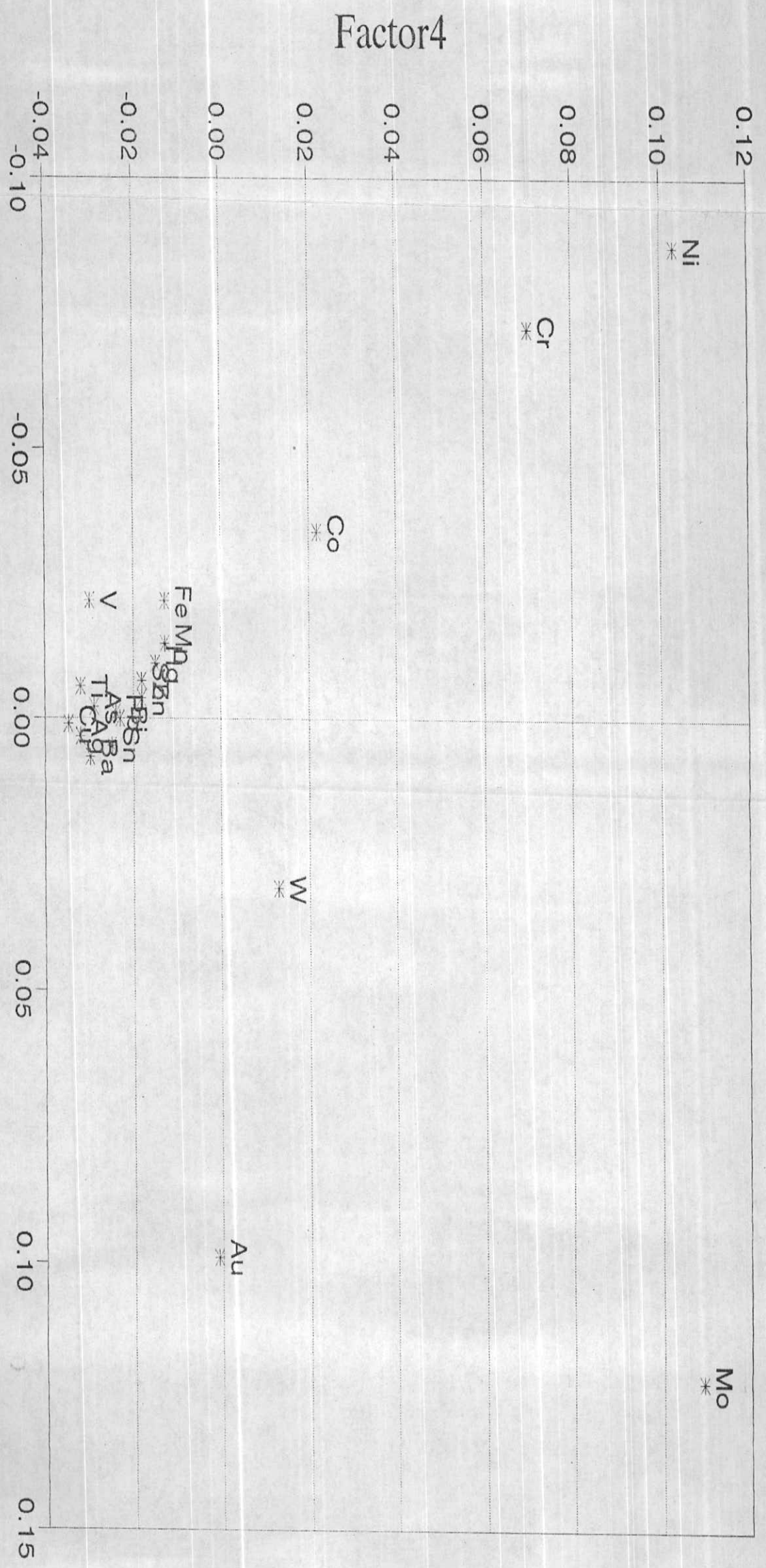


Fig. 6-8: Graphical Representation of Factor Analysis for Geochemical Variables in Sabzevar 1/100,000 Sheet.

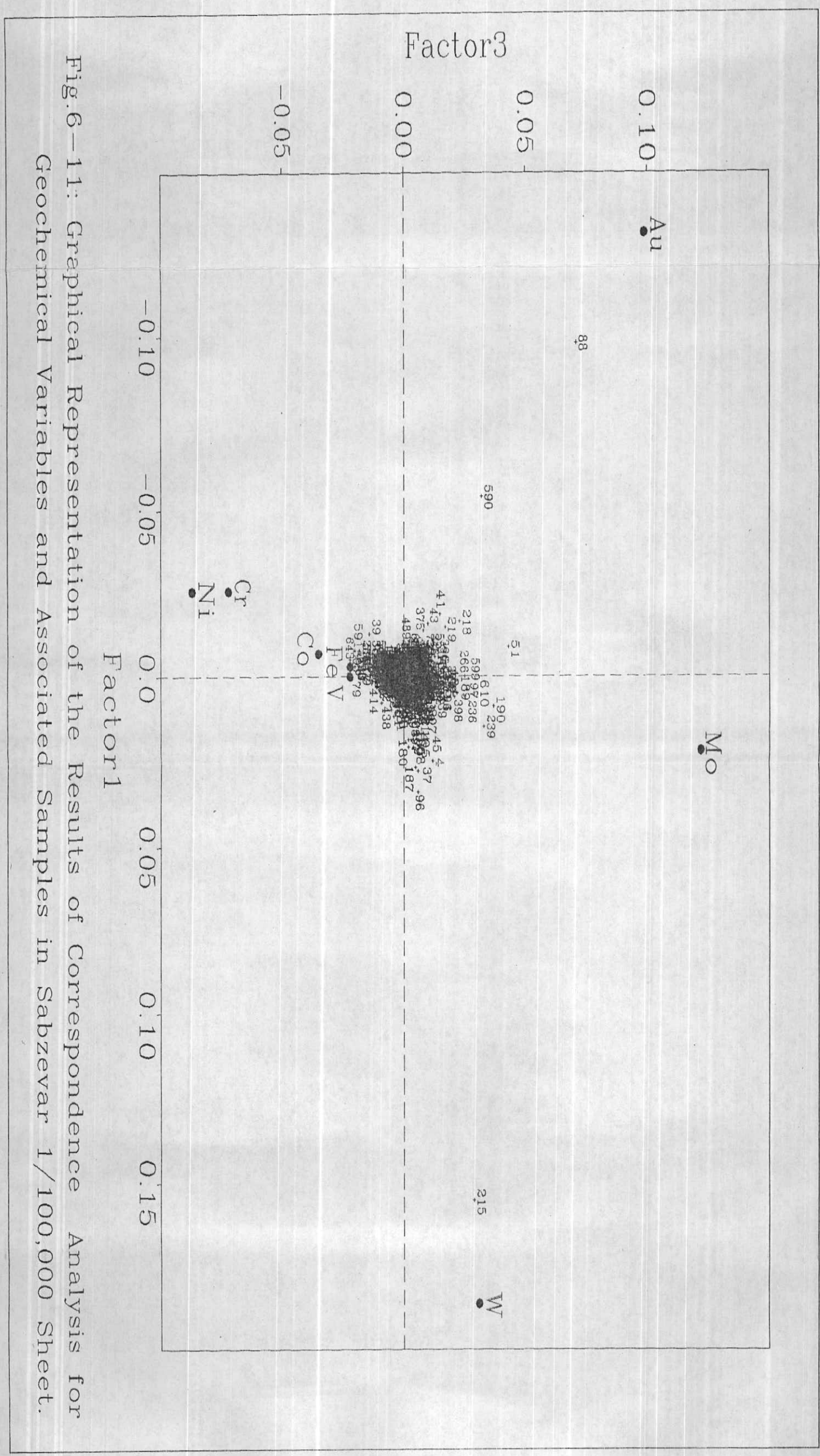


Fig.6-11: Graphical Representation of the Results of Correspondence Analysis for Geochemical Variables and Associated Samples in Sabzevar 1/100,000 Sheet.

متغیره ارائه داد که در آن پتانسیلهای معدنی بدون توجه به نوع پتانسیل آن مشخص شود. برای مشخص کردن نوع پتانسیل، کافی است مقایسه‌ای بین آن و نقشه‌های تک متغیره‌ای صورت گیرد. از آنجا که در این گزارش هر یک از آنومالیهای که به هریک از دوروش فوق (توزیع مقدار حاصل از آنالیز ویژگی براساس بارفاکتوری هر نمونه و جمع عکس احتمالات پیدایش وابسته به هر متغیر در هر نمونه) حاصل شده‌اند (نقشه‌های شماره ۷ و ۸) مورد مدلسازی قرار گرفته‌اند، مشکلی از این بابت پیش نخواهد آمد.

در جدول ۱-۶ نقاط نمونه‌برداری امیدبخش متعلق به هر حوضه آبریز همراه با مقدار I_{PN} آن و ΣI_{PN} آن آورده شده است. برای همین محل نمونه‌ها در روی مختصات فاکتوری نیاز به آنالیز همزمان Q -mode و R -mode می‌باشد. این آنالیز تحت عنوان آنالیز تطبیقی انجام گردید و نتایج مورد مقایسه واقع شد (اشکال ۱۱-۶ تا ۱۳-۶).

از مقایسه داده‌های این جدول با اشکال ۱۱-۶ تا ۱۳-۶ مشخص می‌گردد که انتخاب مناطق امیدبخش از دوروش بکار برده شده در مورد Au , ۸۰٪ انطباق دارد، در صورتیکه برای Ni روش فاکتوری به مراتب مؤثرتر است. عنوان یک نتیجه کلی از مقایسه این دو روش، مشخص می‌گردد که روش آنالیز فاکتوری به میزان ۲۰٪ نقاط امیدبخش را بیش از روش PN نشان می‌دهد.

در جدول ۲-۶ نمونه‌های آنومالی تعیین شده، به روش آنالیز تطبیقی در محورهای مختلف $F3-F5, F3-F4, F1-F3, F1-F2$ همراه با مقادیر PN آنها و پارامترهای مرتبط به ترتیب در ستونهای مختلف این جدول بترتیب از چپ به راست نشان داده شده‌اند.

نقشه تک متغیره توزیع کلیه متغیرهای ژئوشیمیایی با توجه به اهمیت آنها رسم گردید تا به همراه نقشه‌های چند متغیره در کنترل آنومالی‌های به کار رود. در گزارش حاضر نقشه توزیع بعضی از متغیرهای با اهمیت تر شامل $As+Sb$, $Pb+Zn$, Cr , Cu , Au

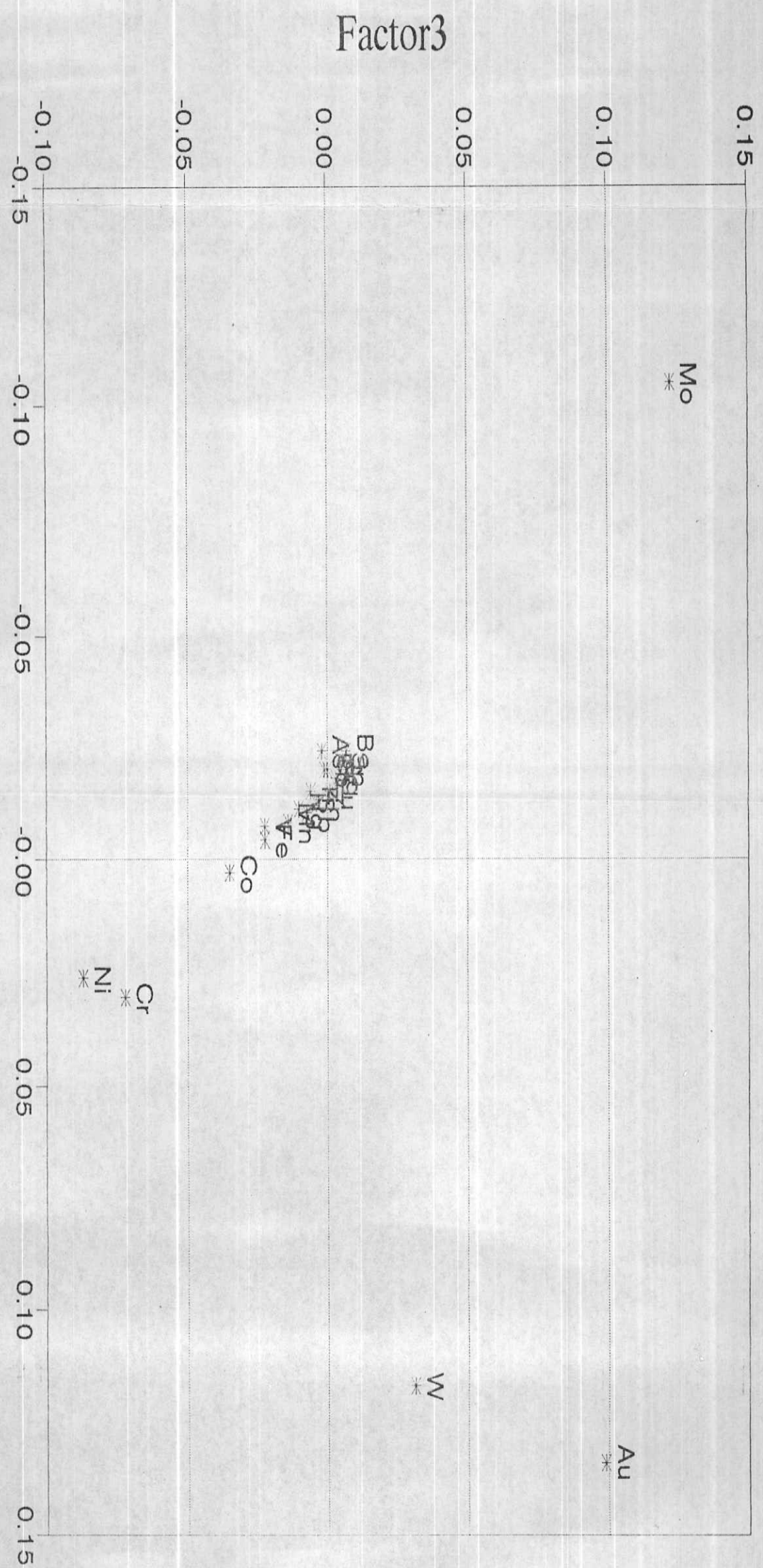


Fig. 6-5: Graphical Representation of Factor Analysis for Geochemical Variables in Sabzevar 1/100,000 Sheet.

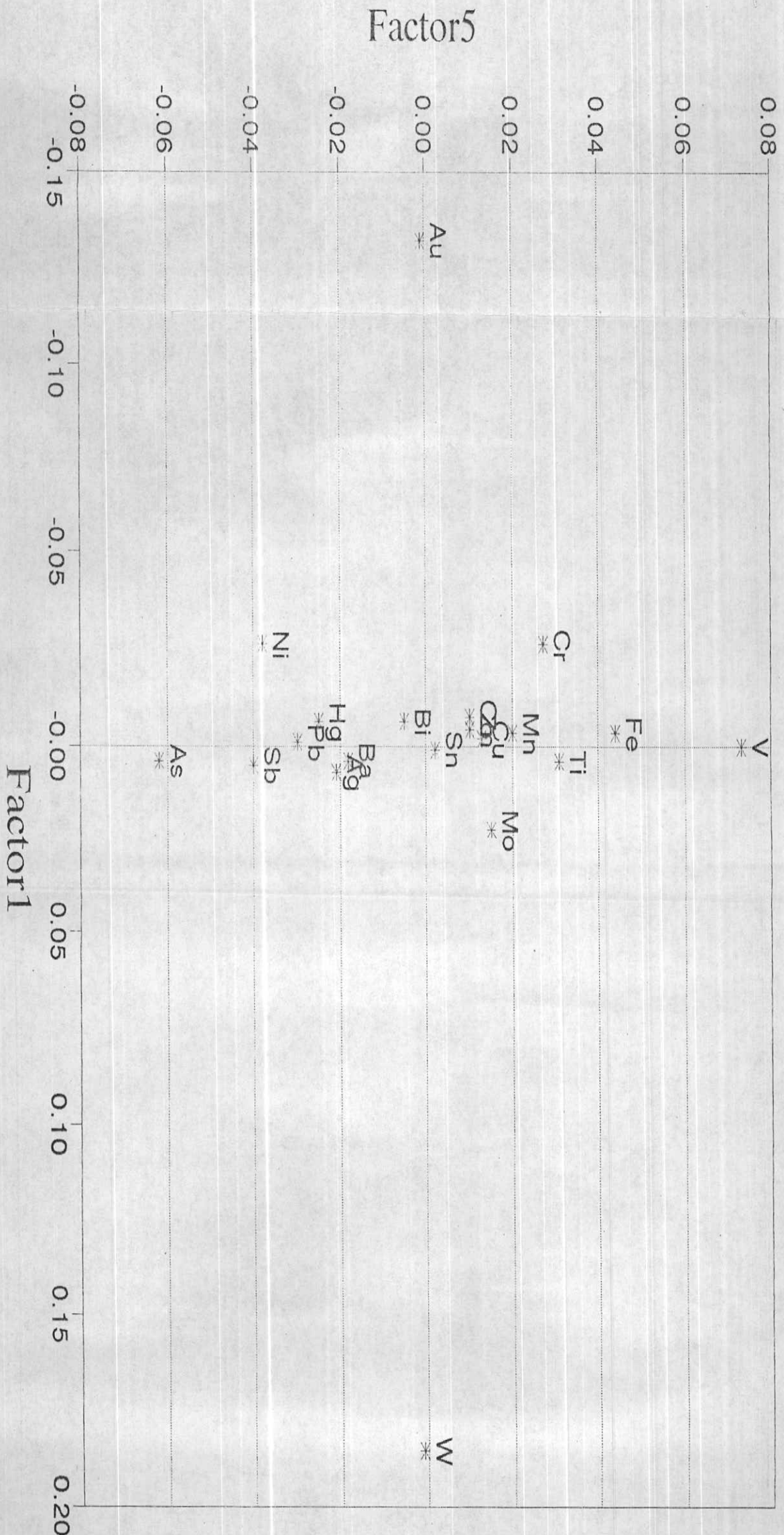


Fig. 6-4: Graphical Representation of Factor Analysis for Geochemical Variables in Sabzevar 1/100,000 Sheet.

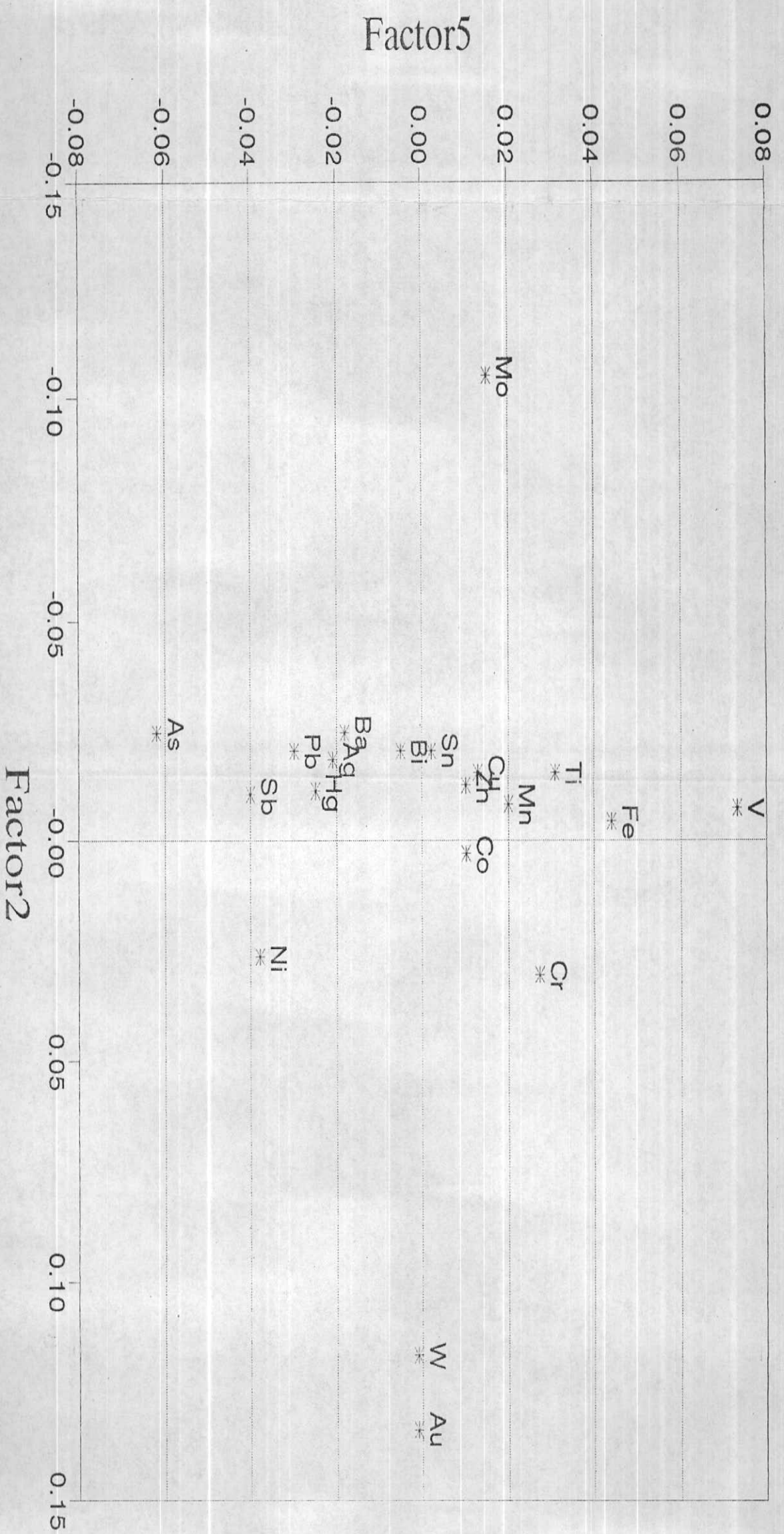


Fig. 6-7: Graphical Representation of Factor Analysis for Geochemical Variables in Sabzevar 1/100,000 Sheet.

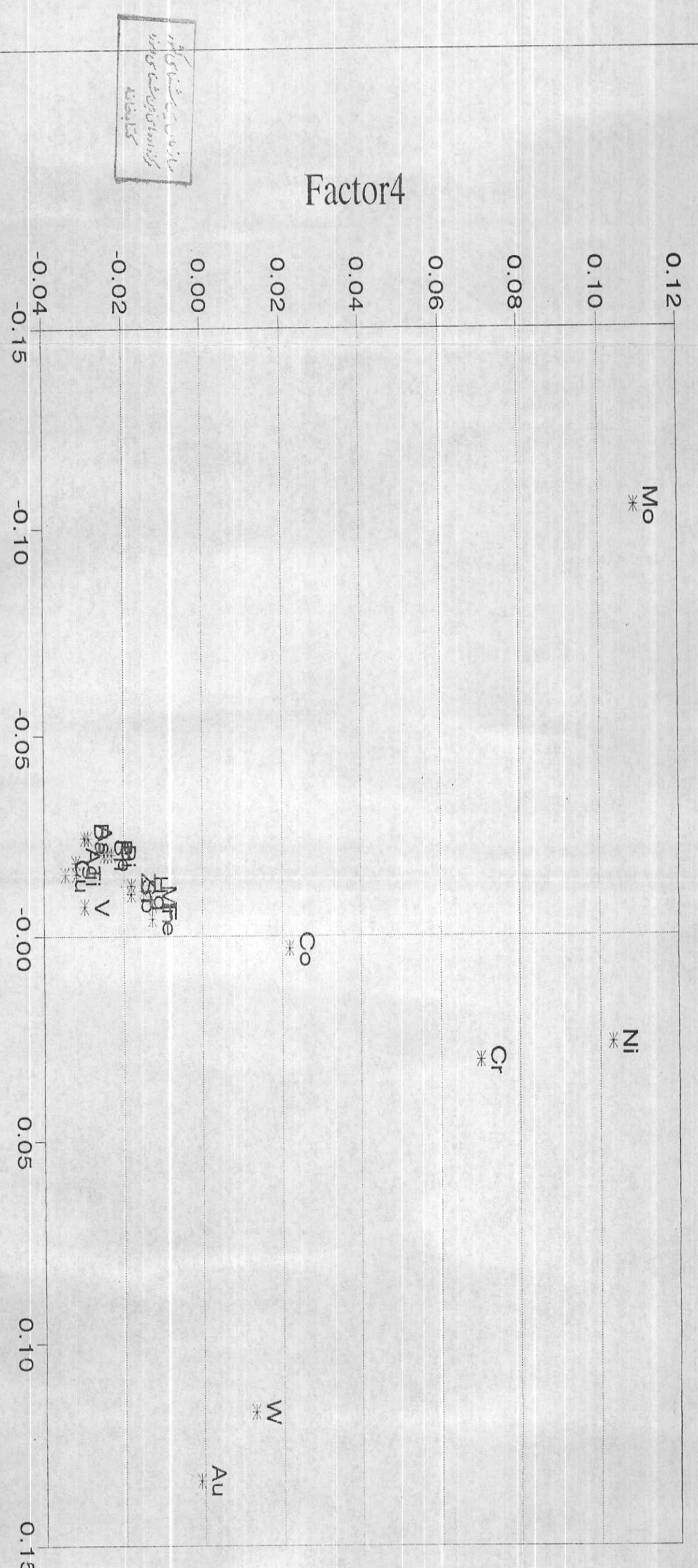


Fig. 6-6: Graphical Representation of Factor Analysis for Geochemical Variables in Sabzevar 1/100,000 Sheet.

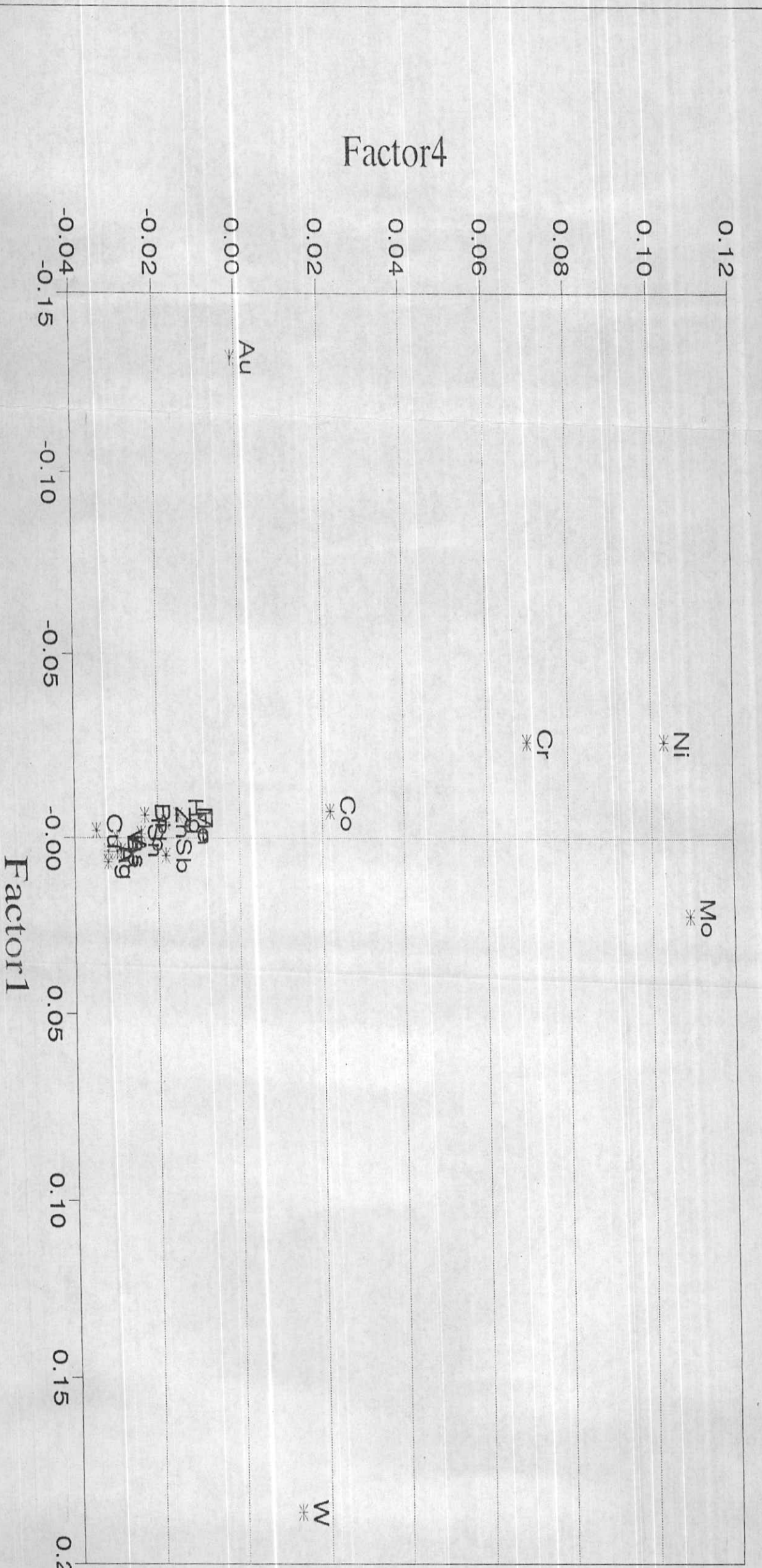


Fig. 6-3: Graphical Representation of Factor Analysis for Geochemical Variables in Sabzevar 1/100,000 Sheet.

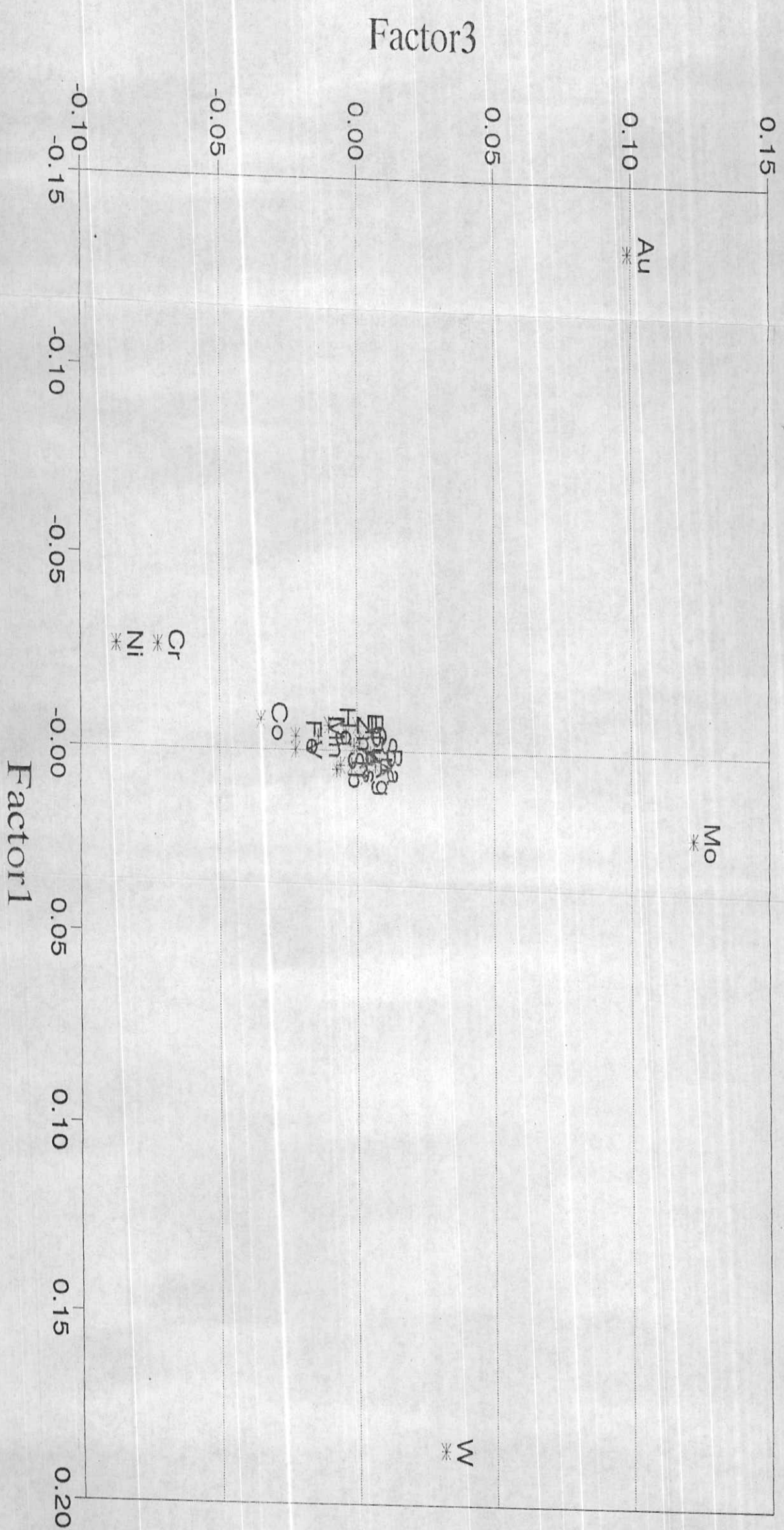


Fig. 6-2: Graphical Representation of Factor Analysis for Geochemical Variables in Sabzevar 1/100,000 Sheet.

Table 6-2 : Comparison Between Anomalous Samples Obtained From the Two Method .

FACTOR1-FACTOR3				
SAMPLE NO.	ANOMALY	1/PN	PARAGENESIS	E.I.
Au				
88	Au(1)	12,72	Cr(1)p	46,154
590	Au(1)	12,72	—	19,091
218	Au(2)	12,72	—	6,5
219	Au(2)	—	—	4,81
41	Au(1)	6,36	—	4,308
43	Au(1)	2,54	Sb(1)p	5,2
55	Au(2)	4,24	—	5,769
375	—	—	—	—
370	—	—	—	—
396	—	—	—	—
346	—	—	—	—
771	—	—	—	—
351	—	—	—	—
42	Au(2)	—	Cu(1),Zn(1),Bi(2),Sn(1),Ag(2)	2,7
50	—	—	—	—
681	—	—	—	—
374	—	—	—	—
155	—	—	—	—
154	—	—	—	—
30	Au(2)	—	Cu(1)p	2,51
Mo				
51	Mo(1)	12,72	Au(1)p	10
190	Mo(1)	12,72	—	11,03
239	Mo(1)	12,72	—	10,98
610	Mo(2)	12,72	—	10,62
599	Mo(2)	3,18	—	7,72
97	Mo(1)	4,24	—	8,4
236	Mo(1)	6,36	—	8,95
266	Mo(2)	—	—	6,457
189	—	—	—	—
398	Mo(1)	1,59	—	6,86
184	—	—	—	—
373	Mo(2)	—	—	5,48
382	—	—	—	—
185	—	—	—	—
243	—	—	—	—
211	—	—	—	—
196	Mo(2)	—	—	4,88
439	—	—	—	—
W				
215	W(1)	12,72	—	41,16
96	W(1)	12,72	—	6,27
37	W(2)	12,72	—	6,55
187	W(1)	6,36	—	4,92
4	W(1)	12,72	—	5,4
45	W(1)	12,72	Cu(2)	5,49
105	—	—	—	—
180	W(2)	2,54	—	4,19
457	W(2)	3,18	—	4,35
185	—	—	—	—
402	W(2)	2,54	—	4,08
108	W(1)	2,5	—	4,17
214	W(2)	—	—	3,03
207	—	—	—	—
203	—	—	—	—
222	W(2)	—	As(1),Sb(2)	2,884
12	—	—	—	—
Ni,Cr,Co,V,Fe				
79	Cr(1)	12,72	Co(1),V(1)p,Fe(1)p	9,694
476	Ni(2)	—	—	4,762
379	Ni(2)	—	—	4,506
617	Ni(1)	—	Co(1)	5,721
591	Ni(2)	—	—	6,327
286	Cr(1)	4,24	Co(2),V(2),Fe(2),Mn(2)	6,826
596	Ni(1)	—	Co(2)	5,455
33	Ni(1)	—	Co(1),Cr(2)	6,118
39	Ni(1)	—	Co(1)	5,604
138	—	—	—	—
648	Ni(2)	—	Co(2)	4,972
84	Cr(2)	—	Co(2),Fe(2),Mn(2)	3,293

Table 6-2 : Comparison Between Anomalous Samples Obtained From the Two Method .

FACTOR3-FACTOR4				
SAMPLE NO.	ANOMALY	1/PN	PARAGENESIS	E.I.
Au				
88	Au(1)	12,72	Cr(1)p	46,154
51	Au(1)	4,24	Mo(1)p	5,71
218	Au(2)	12,72	—	6,5
219	—	—	—	4,8
Mo (& W)				
610	Mo(2)	12,72	—	10,6
239	Mo(1)	12,72	—	10,98
190	Mo(1)	12,72	—	11,02
51	Mo(1)	12,72	Au(1)p	10
599	Mo(2)	3,18	—	7,7
97	Mo(1)	4,24	—	8,4
236	Mo(1)	6,36	—	8,95
215	W(1)	12,72	—	41,16
266	Mo(2)	—	—	6,45
398	Mo(1)	1,59	—	6,86
189	Mo(1)	—	—	6,4
Ni (& Cr, Co)				
643	—	—	—	—
595	Ni(1)	—	Co(2)	5,8
591	Ni(2)	—	—	6,327
33	Ni(1)	—	Co(1), Cr(2)	6,118
39	Ni(1)	—	Co(1)	5,604
648	Ni(2)	—	Co(2)	4,972
647	Ni(2)	—	Co(2)	4,997
660	Ni(1)	—	Co(1), Cr(1), Fe(2), Mn(1), Zn(1)	4,27
379	Ni(2)	—	—	4,762
380	Ni(2)	—	—	5,036
588	Ni(2)	—	Hg(1)	4,945
618	Ni(1)	—	Co(2)	4,38
V (& Cu, Ti, Ag, Ba, As, Sn)				
416	V(1)	12,72	Ti(1)p, Mn(1)p, Fe(1)p, Co(1)	9,633
412	V(1)	12,72	Ti(2), Mn(1)p, Fe(1)p, Co(2)	7,237
414	V(1)	12,72	Ti(2), Mn(1)p, Fe(1)p, Co(2)	7,786
413	V(1)	12,72	Ti(2), Mn(1)p, Fe(1)p, Co(2)	5,005
79	V(1)	12,72	Ti(1)p, Mn(1)p, Fe(1)p, Co(1) Sb(1), Cr(1)	3,58
409	V(2)	12,72	Ag(1)p, Mn(1)p, Fe(1)p, Sb(2)	3,958
166	Ag(1)	12,72	Pb(1)p, Sb(1)p, Hg(1)p	10
550	—	—	—	—
408	Ag(1)	12,72	Bi(2), Sb(2)p, Hg(1)p	11,11
383	—	—	—	—
417	V(1)	—	Ti(1), Mn(1), Fe(1), Co(1)	2,586
680	V(1)	—	Ti(1), Bi(2), Sn(2)	2,2
114	Cu(1)	12,72	Ba(2), Zn(2)	4,666
116	Cu(1)	1,59	Ba(1), Zn(2)	2,766
381	Ag(2)	—	—	2,545
681	Cu(2)	—	Ba(2), Zn(1), Sn(1)	2,267
491	—	—	—	—
689	Sn(1)	6,361	Ba(2), Zn(1)p, Cu(2), Pb(1), Bi(2), Ag(2)	3
111	Ba(1)	—	Bi(2), Ag(2), Cu(2), Hg(2), Pb(2)	2,508
410	Ag(1)	12,72	V(2), Mn(2), Fe(1), Sb(2), Bi(2)p	5,555
676	Ba(1)	2,12	Bi(2), Pb(2)	2,876

Table 6-2 : Comparison Between Anomalous Samples Obtained From the Two Method .

FACTORS				
SAMPLE NO.	ANOMALY	1/PN	PARAGENESIS	E.I.
<i>Mo (& Au)</i>				
88	Au(1)	12,72	Cr(1)p	46,154
51	Mo(1)	12,72	Au(1)	10
190	Mo(1)	12,72	—	11,02
239	Mo(1)	12,72	—	10,98
590	Au(1)	12,72	—	19,091
215	—	—	—	—
610	Mo(2)	12,72	—	10,62
218	Au(2)	12,72	W(2)	6,5
266	Mo(2)	—	—	6,457
189	Mo(1)	—	—	6,412
398	Mo(1)	1,59	—	6,86
382	—	—	—	—
211	—	—	—	—
196	Mo(2)	—	—	4,88
41	Au(1)	6,39	—	6,3
185	Mo(2)	—	—	4,3
184	—	—	—	—
243	—	—	—	—
<i>As (& Sb,Pb,Hg,Ag)</i>				
583	As(1)	12,72	Sb(1)	12,72
166	Sb(1)	12,72	Ag(1)p,Pb(1)p,Hg(1)p	8,82
525	As(1)	12,72	Sb(1)p,Pb(1)	6,841
526	As(1)	12,72	Sb(1)p,Pb(2)	4,909
527	As(1)	12,72	Sb(1)p,Pb(1)	4,86
561	As(2)	12,72	—	4,46
408	Sb(2)	12,72	—	4,415
43	Sb(1)	12,72	Ag(1)p,Bi(2),Hg(1)p	5,626
558	—	—	Au(1)p	—
570	—	—	—	—
617	—	—	—	—
588	Hg(2)	—	Ni(2)	2,36
632	Sb(2)	12,72	—	3,627
591	—	—	—	—
303	Hg(1)	12,72	As(1)	3,678
441	Sb(1)	6,381	Ag(1)p,Hg(1),W(1)	3,083
524	As(1)	1,817	Sb(2)	3,436
<i>V (& Fe,Ti,Mn,Cu)</i>				
416	V(1)	12,72	Ti(1)p,Mn(1)p,Fe(1)p,Co(1)	9,633
414	V(1)	12,72	Ti(2),Mn(1)p,Fe(1)p,Co(2)	7,786
412	V(1)	12,72	Ti(2),Mn(1)p,Fe(1)p,Co(2)	7,237
413	V(1)	12,72	Ti(2),Mn(1)p,Fe(1)p,Co(2)	5,005
79	V(1)	12,72	Ti(1)p,Mn(1)p,Fe(1)p,Co(1) Sb(1),Cr(1)p	3,58
286	V(2)	—	Mn(2),Fe(2),Co(2),Cr(1)p	2,21
741	V(1)	—	Ti(1),Mn(2),Fe(2)	2,882
478	Mn(2)	—	—	1,57
680	V(1)	—	Ti(1),Sn(2),Bi(2)	2,2
272	V(1)	3,18	Ti(1),Mn(1)p,Fe(1)p,Zn(2) As(2),Au(2)	3,179
427	V(2)	—	Mn(2),Fe(2)	2,862
409	V(2)	12,72	Ag(1)p,Mn(1)p,Fe(1)p,Sb(2)	3,985
221	V(2)	—	Ti(2),Mn(2),Fe(2)	1,948
694	—	—	—	—
422	V(2)	—	Fe(2)	2,849
267	—	—	—	—
<i>Ni</i>				
591	Ni(2)	—	—	6,327
617	Ni(1)	—	Co(1)	5,721
588	Ni(2)	—	Hg(1)	4,945
39	Ni(1)	—	Co(1)	5,604
33	Ni(1)	—	Co(1),Cr(2)	6,118
477	—	—	—	—
596	Ni(1)	—	Co(2)	5,455
379	Ni(2)	—	—	4,506
476	Ni(2)	—	—	4,762

آورده شده است. برای رسم نقشه توزیع متغیرهای مختلف قبل از مرحله کنترل آنومالیها،

محدوده‌های یک درصد بالای فراوانی بعنوان مناطق درجه اول و بین یک تا ۲/۵ درصد

فراوانی، بعنوان مناطق درجه دوم انتخاب گردید تا فاز کنترل آنومالیها روی آنها انجام

شود. اشکال ۱۰-۱-۶ که در آنها ترکیبات مختلف فاکتوری نشان داده شده است،

چهار قطب کانی‌سازی را معرفی می‌نماید. یکی شامل مجموعه $Cr-Ni-Co-V$ ، دیگری

قطب Au ، قطب Mo و بطرور ضعیف‌تر قطب $Ag-Hg-Sb-As$ می‌باشد.

گروه اول می‌تواند در ارتباط با پیدایش کانسارهای مرتبه با سیستم افیولیتی باشد

که در این خصوصیات کرم انبانی در بخش تحتانی سیستم افیولیتی و ماسیوسولفید تیپ

قبرسی در بخش فوقانی سیستم افیولیتی (بازالت‌های پیلولوا) می‌توانند توسعه یابند.

در مورد طلا و مولیبدن آنالیزهای چند متغیره قادر به معرفی تیپ خاصی از کانی‌سازی

برای آنها نیست زیرا هیچیک از این دو متغیر با مجموعه‌های خاص (مثلًاً طلا با مجموعه

عناصر اپی ترمال) ارتباط پاراژنتیکی نشان نمی‌دهند. قطب چهارم می‌تواند دال بر

فعالیت بودن پدیده‌های اپی ترمال بطور ضعیف در منطقه باشد.

در زیر به تشریح مناطق آنومالی عناصر مختلف (تک عنصری) به تفکیک برای هر

برگه ۱/۵۰,۰۰۰ می‌پردازیم. همچنین در آخر به شرح و توصیف مناطق آنومالی دو

متغیر مرکب رسم شده ($As+Sb$ و $Pb+Zn$) پرداخته‌ایم. لازم به ذکر است که در داخل

پرانتر و در جلوی نام منطقه هر آنومالی شماره‌ای ذکر شده است که این شماره مربوط به

شماره مدلی است که این منطقه در آن مدل‌سازی شده است.

«آنومالیهای *Au*

برگه ۱/۵۰،۰۰۰ باعتر

منطقه شمال شرق کاشک - شرق برقان (۱۲)

این آنومالی با مساحت تقریبی ۲/۵ کیلومترمربع در میان واحدهای آمفیبولیت و آمفیبولیت گارنت دار و آمیزه رنگین گسترش دارد. در این محل عنصر *Cr* نیز آنومالی نشان می‌دهد. در مقیاس کار صحرائی واحدهایی از ولکانیکهای متوسط پرفیری، رادیولاریت، بازالت سرپانتینیتی شده، لیسونیت شدیداً سیلیسی، سرپانتینیت، آمبر و گابروی پگماتیتی دیده شده است. همچنین در این محدوده آثاری از آلتراسیونهای سیلیسی، پروپیلیتی، لیسونیتی، سرپانتینیتی و لیمونیتی مشاهده شده است. از این آنومالی تعداد سه نمونه کانی سنگین و یک نمونه مینرالیزه برداشت شده است.

منطقه شرق و شمال باعتر (۹)

این آنومالی در محدوده‌ای با وسعت تقریبی پنج کیلومترمربع در بین واحدهای سنگی هارزبورگیت، آمیزه رنگین، گابرو و ولکانیکهای زیردریائی گسترش دارد. این آنومالی بدليل محاط شدن بوسیله آنومالیهای درجه دو در اطراف از اعتبار بالاتر برخوردار است. همچنین وجود آنومالیهای عناصر دیگری از جمله *Cu*, *Mo*, *Sb*, *Zn* و در این محل بر اعتبار آن می‌افزاید.

در بررسی‌های صحرائی واحدهای لیتولوژیکی آمبر، سرپانتینیت، لیسونیت، هارزبورگیت، دیاباز، بازالت، برش سیلیسی، بازالت برشی شده همراه با دایکهای صفحه‌ای که اندکی لیسونیتی شده‌اند نیز دیده شده است. همچنین آثاری از آلتراسیونهای سیلیسی و

سرپاتینیتی، لیسونیتی و کلریتی بچشم میخورد. تعداد چهار نمونه کانی سنگین و سه نمونه مینرالیزه از محدوده این آنومالی برداشت شده است.

برگه ۱/۵۰,۰۰۰ نوده ارباب

منطقه شمال بلash آباد- غرب کوه چشمه (۲۲)

این آنومالی با وسعت تقریبی دو کیلومتر مربع در میان واحدهای گدازه‌های زیردریائی، توف و بطور محلی رادیولاریت و آهکهای پلاژیک گسترش دارد. در مقیاس کار صحرائی واحدهای از سرپاتینیت، آمبر، برش، آندزیت پرفیری، لاپلی توف و گابرو مشاهده شده و رگهای منیزیتی گاهاً درون سرپاتینیت‌ها رخنمون دارند. آثاری از آتراسیونهای سیلیسی، پروپیلیتی، لیمونیتی و کلریتی در این منطقه دیده شده است. تعداد دو نمونه کانی سنگین و یک نمونه مینرالیزه برای مطالعات بیشتر از این آنومالی برداشت شده است.

«آنومالیهای Ag»

برگه ۱/۵۰,۰۰۰ باعجر

منطقه غرب عنبرستان (۱۴)

این آنومالی با مساحت تقریبی سه کیلومتر مربع در انتهای آبراهه روتای چاهک و در غرب آبادی عنبرستان قرار دارد. محیط سنگی عبارتست از آهکهای گلوبوتانکانادر، گدازه‌های زیردریائی، توف و بطور محلی رادیولاریت. در این محل آنومالی عناصر دیگری از جمله Pb , Hg و Sb نیز مشاهده می‌گردد. در مقیاس کار صحرائی رخنمونهایی از لیسونیت، آمبر، سرپاتینیت، توف و دایک دیبازاری نیز در محل این آنومالی دیده شده است.

در این محدوده، آثاری از آلتراسیونهای سیلیسی، پروپیلیتی، لیسونیتی، و سرپاتنیتی مشاهده شده است و همچنین عملیات ژئوفیزیک هوایی آثاری از توده‌های نفوذی نیمه عمیق را در این منطقه به اثبات میرساند. تعداد دو نمونه کانی سنگین و یک نمونه میترالیزه از این منطقه برداشت شده است.

برگه ۱/۵۰،۰۰۰ رباط سرپوش

منطقه شمال و شمال شرق چشمه آوش (۲)

این آنومالی متشكل از محدوده نزدیک بهم به مساحت‌های یک کیلومترمربع و پنج کیلومترمربع می‌باشد که در میان واحدهای سنگی گدازه‌های آندزیتی، بازالت، توف، توف برش، لاپیلی توف، شیل، ماسه‌سنگ و شیل توفی اثوسن و اسکارن گسترش دارد. در این محل آنومالی عناصر دیگری از جمله Mn , Hg , Co , Bi و Sb نیز گسترش دارد. در مقیاس صحرائی واحدهایی از هورنفلس، توده‌های نفوذی گرانوودیوریتی، برش کاتاکلاستیک، ولکانیکهای سیلیسی، شیل متامرف، آهکهای میکرایتی سفیدرنگ در کنتاكت با برش ولکانیکی، توف اسیدی، بازالت‌های جوان کواترنبر سیلیسی و برش ولکانیکی دیده شده است.

آثاری از آلتراسیونهای پروپیلیتی، آرژیلیتی، لیمونیتی، هماتیتی، کلریتی، پتاسیک و سیلیسی در محدوده این آنومالی مشاهده شده است. در ضمن براساس شواهد ژئوفیزیک هوائی، یک گسل عمیق نیز در منطقه مشخص شده است. در این منطقه تعداد ده نمونه کانی سنگین و پنج نمونه میترالیزه برداشت شده است.

«آنومالیهای As»

برگه ۱/۵۰،۰۰۰ باغچه

منطقه غرب برقبان (۲۹)

این آنومالی با وسعت تقریبی ۵/۰ کیلومترمربع در میان واحدهای سنگی آندزیت، بازالت، توف، توف برش و لاپیلی توف گسترش دارد. در این محل تنها آنومالی ضعیفی از Sb مشاهده می‌گردد. در بررسیهای صحرائی واحدهای مختلفی از جمله بازالتهای سرپانتینیت بر روی پی سنگ سرپانتینیت، ولکانیکهای ترشیر، آندزیت بازالت تاریولیت دیده شده است. همچنین آثار آلتراسیون سرپانتینیت نیز به چشم می‌خورد. در این منطقه دو نمونه کانی سنگین برداشت گردیده است.

برگه ۱/۵۰،۰۰۰ نوده ارباب

منطقه جنوب جمال آباد (۲۴)

این آنومالی دارای وسعتی معادل ۴/۵ کیلومترمربع می‌باشد که در میان واحدهای آندزیت، بازالت، توف، توف برش، لاپیلی توف، داسیت، مارن و مارن گچدار، گذازهای زیردریانی و بطور محلی رادیولاریت گسترش دارد. در این محل آنومالی عناصر دیگری از جمله Pb و Sb نیز مشاهده می‌گردند.

در مقیاس صحرائی سری سنگهای ولکانیکی فلزیک تا مافیک، بازالتهای جوان کواترنر دیده شده و آثاری از آلتراسیونهای لیمونیتی و هماتیتی به چشم می‌خورد. در محدوده این آنومالی سه نمونه کانی سنگین برداشت شده است.

منطقه شمال بلاش آباد (۲۲)

این آنومالی با وسعت تقریبی ۲/۵ کیلومترمربع در میان واحدهای دونیت و

هارزبورگیت سرپاتینیتی شده، آهکهای گلوبوترانکانادار و سرپاتینیت همراه با گدازه‌های زیردریائی گسترش دارد. در این محل آنومالی عنصر Sb نیز به چشم می‌خورد. در بررسیهای صحرایی واحدهایی از جمله سرپاتینیت، آمبر، سنگهای ولکانیکی بازالتی، گابروی دانه‌ریز، برش ولکانیکی، برش سیلیسی، بازالتهای پیلولاوا و بازالتهای منشوری مشاهده شده است. آثاری از آتراسیونهای سیلیسی، پروپیلیتی و سرپاتینیتی نیز در عملیات صحرائی مشاهده شده است. از این آنومالی دو نمونه کانی سنگین و سه نمونه مینرالیزه برداشت شده است.

منطقهٔ شرق طبس - کوه درگاه (۱۷)

این آنومالی با وسعت ۵/۰ کیلومترمربع در میان واحدهای داسیتی و کنگلومرات اتوسن گسترش دارد. در این محل تنها عنصر Hg بهمراه ارسنیک آنومالی نشان داده است. در مقیاس صحرایی واحدهایی از جمله برش سیلیسی، ولکانیک فلیسیک (احتمالاً تراکیت)، توف اسیدی و آثاری از ملاکیت و منگنز دیده شده است. همچنین آتراسیونهای سیلیسی، لیمونیتی، هماتیتی و کلریتی در منطقه مشاهده شده است. از این آنومالی دو نمونه کانی سنگین و سه نمونه مینرالیزه برداشت شده است.

«آنومالیهای Ba»

برگه ۱/۵۰,۰۰۰ باغجر

منطقهٔ شمال غرب عوض - غرب مزرعه کالی لی (۴)

این آنومالی با وسعت تقریبی ۳/۵ کیلومترمربع در میان واحدهای سنگی آمیزه رنگین، هارزبورگیت و دونیت سرپاتینیزه و دیاباز گسترش دارد. در این محل آنومالی

عناصر دیگری مانند Cu و تا حدودی Bi نیز مشاهده می‌گردد.

در مقیاس صحرائی واحدهای گوناگونی از جمله سنگهای ولکانیکی همایتی شده همراه با سنگهای مافیک، گابروی *High level*، دایکهای دیباخی، هارزبورگیت و آپلیت اسیدی دیده شده است. در این منطقه آثاری از آتراسیونهای پروپیلیتی و همایتی نیز بچشم می‌خورد. از این آنومالی تعداد یک نمونه کانی سنگین و دو نمونه مینرالیزه برداشت شده است.

منطقه جنوب غرب عنبرستان - کوه سوراخ دار (۱۴)

این آنومالی با وسعت تقریبی ۵/۰ کیلومتر مربع در منطقه فوق الذکر و در میان سنگهای آهکی گلوبو ترانکانادار، گدازه‌های زیردریائی، توف و بطور محلی رادیولاریت گسترش دارد.

در این منطقه با توجه به مطالعات ژئوفیزیک هوائی آثاری از توده‌های نفوذی نیمه عمیق مشاهده شده است. در این آنومالی با توجه به عدم گستردگی کافی بررسیهای صحرائی صورت نگرفته و تنها دو نمونه کانی سنگین اولیه در شرق این آنومالی برداشت شده است.

برگه ۱/۵۰،۰۰۰ نوده ارباب

منطقه اطراف رازقند (۱۸)

این آنومالی با وسعت حدود ۳/۵ کیلومتر مربع در اطراف آبادی‌های رازقند و سنگ سفید و در میان واحدهای سنگی آمیزه رنگین، هارزبورگیت و واحدهای کواترنر گسترش دارد. در این محل آنومالیهای عناصر دیگری از جمله Zn , Pb , Bi بطور ضعیف تر

نیز مشاهده می‌گردد.

مطالعات صحرائی وجود بازالت‌های سربان‌تینیتی، بازالت‌های پیلو‌لوا، گابرو، گابروی کاتاکلاستیک، هارزبورگیت، گابروی Low level و دونیت را تأیید می‌کند. بررسیهای ژئوفیزیک هوایی نشانگر وجود توده‌های نفوذی نیمه عمیق در این منطقه است. آثاری از آتراسیونهای هماتیتی و سربان‌تینیتی در این آنومالی دیده شده است. از این آنومالی تعداد دو نمونه کانی سنگین و دو نمونه مینرالیزه برداشت شده است.

منطقه جنوب شرق بیونق (۲۱)

این آنومالی با وسعت $1/5$ کیلومترمربع در میان واحدهای سنگی گدازه‌های زیردریائی، توف و بطور محلی رادیولاریت، واحدهای کواتربر و مجموعه درهم سنگهای افیولیتی با آهک نومولیت‌دار گسترش دارد. در این محل تنها آنومالی ضعیفی از Hg مشاهده می‌گردد.

در مقیاس صحرائی واحدهای لیتولوژی از جمله بش و لکانیکی سیلیسی شده، بازالت اوژیت‌دار، آهک پلاژیک و ولکانیکهای مافیک دیده شده است. آثاری از آتراسیونهای پروپیلیتی، هماتیتی و کلریتی در محدوده این آنومالی مشاهده شده است. از این آنومالی یک نمونه کانی سنگین و یک نمونه مینرالیزه برداشت شده است.

«آنومالیهای Bi »

برگه $1/50,000$ رباط سربیوش

منطقه شمال شرق چشمه آوش (۲)

این آنومالی با وسعت حدود یک کیلومترمربع در میان واحدهای سنگی آندزیت،

بازالت، توف، توف برش، لایلی توف و اسکارن گسترش دارد. در این محدوده آنومالی

عناصر دیگری از جمله Ag , Sb , Mn , Hg , Co نیز گسترش دارد.

در مقیاس صحرائی واحدهای سنگی از جمله هورنفلس، توده گرانویدوریتی، برش کاتاکلاستیک، ولکانیکهای سیلیسی، شیل متامرف و آهکهای میکرایتی سفیدرنگ در کنتاكت با برش ولکانیکی دیده شده است.

آثاری از آتراسیونهای پروپیلیتی، آرژیلیتی، لیمونیتی، هماتیتی، کلریتی و پتاسیک در سنگهای این منطقه بچشم میخورد. از این منطقه تعداد پنج نمونه کانی سنگین و سه نمونه مینرالیزه برداشت شده است.

برگه ۱/۵۰,۰۰۰ نوده ارباب

منطقه اطراف راز قند (۱۸)

این آنومالی درجه دوم با وسعت تقریبی ۱۱ کیلومترمربع بر آنومالیهای درجه اول عناصر Ba , Pb , Zn ، انبساط دارد که بدین لحاظ در این قسمت آمده است. محیط عبارت از واحدهای کواترنر، آمیزه رنگین و هارزبورگیت می باشد.

در بررسیهای صحرائی واحدهایی از جمله بازالت پیلولاوا، بازالت سرپانتینیتی شده، هارزبورگیت، گابروی کاتاکلاستیک، بازالت‌های آلت، گابرو و گابروی *Low level* و دونیت مشاهده شده است. در محدوده این آنومالی وجود یک توده نفوذی نیمه عمیق با توجه به بررسیهای ژئوفیزیک هوائی مشخص شده است. آثاری از آتراسیونهای هماتیتی، سرپانتینیتی، کلریتی، آرژیلیتی و سیلیسی در منطقه بچشم میخورد. تعداد چهار نمونه کانی سنگین و چهار نمونه مینرالیزه از این محدوده برداشت شده است.

«آنومالیهای *Co*»

برگه ۱/۵۰،۰۰۰ باعجر

منطقه جنوب غرب خوشاب (۱۱)

این آنومالی با وسعت تقریبی $1/5$ کیلومترمربع در میان واحدهای سنگی آمفیولیت، رسوبات کواترنا، آندزیت، بازالت، توف، توف برش و لایپلی توف گسترش دارد. این آنومالی با آنومالی عناصر دیگری از جمله *Cr*، *Mn* و *Sb* انطباق دارد. در مشاهدات صحرانی واحدهای کالک شیست، آمفیولیت و گراین، رگه‌های سیلیسی و سنگهای فلزیک و سنگهای آهک کریستالین دیده شده است. شیست‌ها گاهاً به آزبست و سپس به تالک و کلریت شیست بدل شده‌اند. آثاری از آتراسیونهای سیلیسی، پروپیلیتی، لیمونیتی، هماتیتی، گراینی، کلریتی و سرپاتینیتی در منطقه دیده شده است. با هدف بررسی و مطالعه دقیق‌تر این آنومالی تعداد دو نمونه کانی سنگین و یک نمونه میزآلیزه برداشت شده است.

منطقه غرب و شمال غرب باعجر (۶)

این آنومالی با وسعت تقریبی $1/5$ کیلومترمربع در غرب روستای باعجر و در میان واحدهای هارزبورگیت، آمیزه رنگین، آندزیت، بازالت، توف، توف برش و لایپلی توف گسترش دارد. در مقیاس کار صحرانی واحدهایی از جمله سرپاتینیت، گابروی *High level*، آمبر، بازالت پیلولاوا و ژااسب دیده شده است. آثاری از آتراسیون سرپاتینیتی در منطقه مشاهده شده است. از این منطقه یک نمونه کانی سنگین و یک نمونه میزآلیزه برداشت شده است.

برگه ۱/۵۰،۰۰۰ نوده ارباب

منطقه شرق سدید - غرب میرحسین (۲۰)

این آنومالی با وسعت حدود دو کیلومترمربع در میان واحدهای کواترنر، گدازه‌های زیردریائی، توف و بطور محلی رادیولاریت گسترش دارد. در این محل آنومالی عناصر دیگری از جمله Mn , Ni , Zn مشاهده می‌گردد.

در مشاهدات صحرائی ولکانیکهای مافیک تا فلزیک، آمبر سیلیسی شده، آهک پلازیک، شیست سبز، گلبروی *High level* حاوی قطعات سیلیسی، برش ولکانیکی، آندزیت، هارزبورگیت، چرت حاوی منگنز (?) و آهک نومولیت دار دیده شده‌اند. آثار آتراسیون سیلیسی در منطقه بچشم می‌خورد. در این منطقه یک نمونه کانی سنگین و دو نمونه مینرالیزه برداشت شده است.

منطقه غرب بیونق (۲۱)

این آنومالی با وسعت تقریبی ۵/۰ کیلومترمربع در میان واحدهای گدازه‌های زیردریائی، توف و بطور محلی رادیولاریت و مجموعه درهم سنگهای افیولیتی و آهک نومولیت دار گسترش دارد. این آنومالی بر آنومالی عنصر Ni انطباق دارد. در مقیاس صحرائی واحدهایی از جمله بازالت سرپانتینیتی شده، سرپانتینیت، آمبر، هارزبورگیت، گوسن آهنی و ولکانیکهای مافیک تا فلزیک دیده شده است. آثاری از آتراسیونهای لیمونیتی، هماتیتی و سرپانتینیتی در منطقه بچشم می‌خورد. از این منطقه دو نمونه کانی سنگین و سه نمونه مینرالیزه برداشت شده است.

برگه ۱/۵۰,۰۰۰ رباط سربوش

منطقه شمال چشمه آوش (۲)

این آنومالی با وسعت حدود یک کیلومترمربع در میان واحدهای سنگی آندزیتی، بازالتی، توف، توف بش، لایلی توف و اسکارن گسترش دارد. در این محدوده، آنومالی عناصر دیگری از جمله Ag , Sb , Mn , Hg , Bi نیز گسترش دارند. در مقیاس صحرائی واحدهایی از هورنفلس، توده‌های نفوذی گرانودیوریتی، بش کاتاکلاستیک، ولکانیکهای سیلیسی، شیل متامرف و آهکهای میکراتی سفیدرنگ در کنتاکت با بش ولکانیکی بچشم میخورد. آثاری از آلتراسیونهای پروپیلیتی، آرژیلیتی، لیمونیتی، هماتیتی، کلریتی و پتاسیک در منطقه وجود دارد. از این منطقه تعداد پنج نمونه کانی سنگین و سه نمونه مینرالیزه برداشت شده است.

برگه ۱/۵۰,۰۰۰ سبزوار

منطقه غرب خرابه سیدآباد (۲۶)

این آنومالی با وسعت تقریبی ۳/۵ کیلومترمربع در میان واحدهای آهک، داسیت، و کواترنر گسترش دارد. این آنومالی در بررسیهایی صحرائی کنترل نشده است و در محدوده آن تنها یک نمونه کانی سنگین برداشت شده است.

«آنومالیهای Cr»

برگه ۱/۵۰,۰۰۰ باغجر

منطقه جنوب غرب خوشاب (۱۱)

این آنومالی با مساحت تقریبی ۳/۵ کیلومترمربع در میان واحدهای سنگی

آمفیولیت، آندزیت، بازالت، توف، توف برش، لایپلی توف و واحدهای کواترنر گسترش دارد. این آنومالی با آنومالی عناصر دیگری از جمله Co ، Mn و Sb انباطق دارد. در مقیاس صحرائی واحدهایی از جمله کالک شیست، آمفیولیت و گرایزن، رگهای سیلیسی، سنگهای فلزیک و آهکهای کریستالین بچشم میخورد. شیست‌ها به آزیست و سپس به تالک و کلریت شیست بدل شده‌اند. آثاری از آلتراسیونهای سیلیسی، پروپیلیتی، لیمونیتی، هماتیتی، گرایزنی، کلریتی و سرپانتینیتی در منطقه دیده شده است. از این منطقه آنومالی تعداد دو نمونه کانی سنگین و یک نمونه میزآلیزه برداشت شده است.

منطقه شمال شرق کاشک (۱۲)

این آنومالی با وسعت تقریبی یک کیلومترمربع در میان واحدهای داسیتی و آمیزه‌رنگین گسترش دارد. در این محل تنها عنصر All آنومالی نشان می‌دهد. در بررسیهای صحرائی واحدهایی از جمله ولکانیکهای متوسط پرفیری، رادیولاریت، بازالت سرپانتینیتی شده، لیسونیت شدیداً سیلیسی، سرپانتینیت، آمبر و گابروی پگماتیت مشاهده شده است.

آثاری از آلتراسیونهای سیلیسی، پروپیلیتی، لیسونیتی و سرپانتینیتی در منطقه دیده شد است. از این منطقه سه نمونه کانی سنگین و یک نمونه میزآلیزه برداشت شده است.

منطقه شمال کیخسر، شمال مزرعه نعل شکن (-)

این آنومالی با وسعت تقریبی یک کیلومترمربع در میان واحد کنگلومرات نشور گسترش دارد. در این منطقه، آنومالی عناصر دیگری مشاهده نمی‌گردد. در این محدوده به علت عدم گسترش کافی و عدم تأیید آن بوسیله آنومالی عناصر دیگر کنترل صحرائی

صورت نگرفته است.

برگه ۱/۵۰،۰۰۰ نوده ارباب

منطقه شرق سدید - غرب میر حسین

این آنومالی با وسعت تقریبی دو کیلومترمربع در میان واحدهای کواترنر، گدازه‌های زیردریائی، توف و بطور محلی رادیولاریت گسترش دارد. در این محل آنومالی عناصر دیگری از جمله Mn , Ni , Zn و Co مشاهده می‌گردد.

در مقیاس کارصحائی واحدهایی از جمله ولکانیکهای مافیک تافلیسیک، آمبر سیلیسی شده، آهک پلازیک، شیست سبز، گابروی *High level* حاوی قطعات سیلیسی، برش ولکانیکی، آندزیت، هارزبورگیت، چرت حاوی منگنز (?)، آهک نومولیت دار و رگهای سیلیسی با بلورهای اتو مورف دیده شد است. آثاری از آتراسیونهای سیلیسی در منطقه بچشم میخورد. از این آنومالی یک نمونه کانی سنگین و دو نمونه مینرالیزه برداشت شده است.

برگه ۱/۵۰،۰۰۰ رباط سرپوش

روشهای دیگر تحلیل نشان داد که اغلب آنومالی‌های این عنصر در محدوده این برگه کاذب هستند و علت وجودی آنها هم در ارتباط با بالا بودن مقدار زمینه ناجیه ای (خشی نشدن مولفه سنتزیک بعلت جدا نشدن دقیق واحدهای سنگی در نقشه ۱/۲۵۰،۰۰۰) و هم در ارتباط با کاهش رقم مرتبط با انتخاب مناطق امیدبخش از ۱٪ به ۰.۵٪ است.

منطقه شمال شرق چشمه قجر - حاشیه شرقی برگه

این آنومالی با وسعت تقریبی یک کیلومترمربع در میان واحدهای سنگی آندزیت، بازالت، توف، لایلی توف و تپه‌های ماسه‌ای گسترش دارد. در کنار این آنومالی عناصر دیگری از جمله Sb و Hg آنومالی نشان می‌دهند.

توف اسیدی، بازالت‌های جوان کواترنر سیلیسی شده، برش و لکانیکی از جمله واحدهای لیتولوژی هستند که در بررسیهای صحرائی مشاهده شده‌اند. شواهدی دال بر وجود آلتراسیونهای سیلیسی، پروپلیتی، هماتیتی و کلریتی در منطقه وجود دارد. از این منطقه پنج نمونه کانی سنگین و دو نمونه مینرالیزه برداشت گردیده است.

منطقه شرق حاج حسن - شمال شرق آب بند

این آنومالی با وسعت تقریبی یک کیلومترمربع در میان واحدهای آندزیت، بازالت، توف برش، لایلی توف، شیل، ماسه‌سنگ و شیل توفی ائوسن گسترش دارد. در این محل تنها آنومالیهای ضعیفی از Co و Mn مشاهده می‌گردد. در بررسیهای صحرائی سنگهای خروجی از جمله آندزیت و ... و سنگهای حدواست مشاهده شده است. با توجه به نتایج مطالعات ژئوفیزیک هوایی یک گسل عمیق در منطقه مشخص شده است. از این آنومالی تنها یک نمونه کانی سنگین برداشت شده است.

«آنومالیهای Cu»

برگه ۱/۵۰،۰۰۰ باجر

منطقه غرب باجر - جنوب غرب مزرعه قلعه دزدان

این آنومالی با وسعت تقریبی ۵/۵ کیلومترمربع در میان واحدهای کواترنر، آندزیت، بازالت، توف، لایلی توف، آمیزه رنگین، داسیت و هارزبورگیت گسترش دارد. در این محل عنصر دیگری آنومالی نشان نمی‌دهد. در مقیاس کارصحرائی واحدهای گرانیت، آمبر، آندزیت و آندزیت آتره، گابروهای High level، زونهای پلاژیوگرانیت به رنگ روشن و بشدت آتره و برش سیلیسی بچشم می‌خورد. همچنین وجود آمبرها بر روی آندزیت، دریابی بودن آثاراً اثبات می‌کند. گسل عظیمی باروند شرقی - غربی در جوار توده گرانیتی باعث ایجاد آلتراسیونهای

و سیلیسی شدن و سرپانتینیتی شدن نیز مشاهده شده است.

از این آنومالی تعداد یک نمونه کانی سنگین و یک نمونه مینرالیزه برداشت شده است.

برگه ۱/۵۰،۰۰۰ نوده ارباب

منطقه غرب افچنگ - کوه سیاه (۳۱)

این آنومالی با وسعت تقریبی ۱/۵ کیلومترمربع در میان واحدهای دونیت و هارزبورگیت سرپانتینیزه، گدازه‌های زیردریائی، توف و بطور محلی رادیولاریت گسترش دارد. در این محل عنصر دیگری آنومالی نشان نمی‌دهد.

باالت، آندزیت، برش ولکانیکی، آگلومرا، سرپانتینیت آزیستی، هارزبورگیت، توده‌های نفوذی نیمه عمیق و گابر و از جمله واحدهایی هستند که در بررسیهای صحرائی مشاهده گردیده‌اند. در ضمن گسلهای عمیق با شیب تند نیز در منطقه دیده شده‌اند. آثاری از آتراسیونهای سیلیسی، پروپیلیتی، آرژیلیتی، کلریتی و سرپانتینیت نیز مشاهده شده است. تعداد چهار نمونه کانی سنگین و دو نمونه مینرالیزه از این منطقه برداشت شده است.

«آنومالیهای *Hg*

برگه ۱/۵۰،۰۰۰ باغجر

منطقه غرب عنبرستان (۱۴)

این آنومالی با مساحت یک کیلومترمربع در انتهای آبراهه روستای چاهک و در غرب آبادی عنبرستان قرار دارد. محیط سنگی عبارتست از آهکهای گلوبوترانکانادر، گدازه‌های زیردریائی، توف و بطور محلی رادیولاریت. در این محل آنومالی عناصر

دیگری مانند Pb , Ag و Sb نیز مشاهد می‌گردد.

در مقیاس کار صحرائی واحدهایی از جمله لیسونیت، آمبر، سرپاتینیت، توف و دایک دیبازی دیده شده است. مطالعات ژئوفیزیک هوایی وجود توده‌های نفوذی نیمه عمیق را در منطقه مشخص می‌کند. آتراسیونهایی از جمله سیلیسی، پروپیلیتی، لیسونیتی و سرپاتینیتی در منطقه اثرات خود را برجا نهاده‌اند. از این منطقه دو نمونه کانی سنگین و یک نمونه میزالیزه برداشت شده است.

برگه ۱/۵۰,۰۰۰ نوده ارباب

منطقه شمال کوه میمسستان - حاشیه غربی برگه (۳۰)

این آنومالی با وسعت تقریبی $5/0$ کیلومترمربع در میان واحدهای گذازهای زیردریایی و آهک پلازیک و توف و بطور محلی رادیولاریت واقع شده است. در این محل آنومالی عنصر Pb نیز مشاهده می‌گردد. در مشاهدات صحرائی واحدهایی از جمله سرپاتینیت، بازالت‌های جوان، آندزیت پرفیری آلترا شده همراه با رخنمونی از دایک سیلیسی سرشار از لیمونیت و هماتیت دیده شده است. آثاری از آتراسیونهای سیلیسی، پروپیلیتی، هماتیتی و لیمونیتی در محدوده این آنومالی مشخص شده است. در این منطقه یک نمونه کانی سنگین و یک نمونه میزالیزه برداشت گردیده است.

منطقه شمال بلاش آباد (۲۲)

این آنومالی با وسعت $25/0$ کیلومترمربع در برگیرنده واحدهای لیتولوژیکی گذازهای زیردریائی و آهک پلازیک می‌باشد. در بررسیهای صحرائی واحدهایی از جمله

آمبر، بازالت و دو نوع پپروکلاستیک دیده شده که اولی شامل قطعات بازالت زاویه دار با ماتریکس آمبر و دیگری حاوی قطعات بازالت زاویه دار کلسیتی سیلیسی شده با ماتریکس منیزیت می باشد. آثاری از دگرسانی کوارتز کربناتی دیده شده است. در این محدوده یک نمونه کانی سنگین و یک نمونه مینرالیزه برداشت گردیده است.

منطقهٔ شرق طبس - کوه درگاه (۱۷)

این آنومالی با مساحت یک کیلومترمربع در میان واحدهای داسیتی و کنگلومرای اتوسن گسترش دارد. در این محل تنها عنصر As بهمراه Hg آنومالی نشان می دهد. واحدهای لیتولوژی از جمله برش سیلیسی، ولکانیکهای فلزیک (احتمالاً تراکیت) و توف اسیدی در بررسیهای صحرائی مشاهده شده است. آثاری از مالاکیت و منگنز نیز دیده شده است. آتراسیونهایی از جمله سیلیسی، لیمونیتی، هماتیتی و کلریتی در منطقه نمود دارند.

از این منطقه دو نمونه کانی سنگین و سه نمونه مینرالیزه برداشت شده است.

منطقهٔ شمال افچنگ (-)

این آنومالی با وسعت ۵/۰ کیلومترمربع در جنوب آبادی نودهارباب و شمال روستای افچنگ در میان واحدهای آندزیتی، بازالتی، توف، توف برش و لاپیلی توف گسترش دارد. در این محل عنصر دیگری آنومالی نشان نمی دهد. در این منطقه تنها یک نمونه کانی سنگین برداشت شده، و بدلیل محدود بودن و عدم پتانسیل کافی در چارچوب بررسیهای صحرائی نیز قرار نگرفته است.

منطقه شمال بید (-)

این آنومالی با وسعت ۱/۵ کیلومترمربع در دو آبراهه مجزا و نزدیک بهم در میان واحدهای کواترنر، آندزیت، بازالت، توف، توف برش و لایپلی توف گسترش دارد. در محل این آنومالی‌ها عنصر دیگری آنومالی نشان نمی‌دهد.

در بررسیهای صحرائی واحدهایی از جمله بازالت‌های جوان، برش سیلیسی و داسیت برشی شده مملو از پلاژیوکلاز با رگه‌های سیلیسی و منگنزدار (داسیت پرفیری) مشاهده شده است. روی صفحه شکستگی‌ها احتمالاً کریزوکولا تشکیل شده است. آثاری از آلتراسیونهای لیمونیتی و هماتیتی در منطقه دیده شده است. از این منطقه دو نمونه کانی سنگین و یک نمونه مینرالیزه برداشت شده است.

برگه ۱/۵۰،۰۰۰ رباط سرپوش

منطقه شمال شرق چشمه آوش (۲ و ۱)

این آنومالی با وسعت سه کیلومترمربع در محل یاد شده در میان واحدهای آندزیت، بازالت، توف، توف برش و لایپلی توف و تپه‌های ماسه‌ای گسترش دارد. در این محل آنومالی عناصر دیگری از جمله Sb ، Ag و بطور ضعیف تری Cr مشاهده می‌گردد. در مقیاس کار صحرائی واحدهایی از جمله توف اسیدی، بازالت‌های کواترنر سیلیسی شده، برش ولکانیکی، هورنفلس، توده‌های نفوذی گرانودیوریتی، ولکانیکهای سیلیسی، شیل متامرف و آهکهای میکرایتی سفیدرنگ در کنتاكت با برش ولکانیکی دیده شده است. آثاری از آلتراسیونهای پروفیلیتی، آرژیلیتی، لیمونیتی، سیلیسی، هماتیتی، کلریتی و پاتاسیک در منطقه مشاهده شده است. از این منطقه ۱۰ نمونه کانی سنگین و پنج نمونه مینرالیزه برداشت شده است.

منطقه شرق چشمه آوش - شرق چشمه قجر (-)

این آنومالی با وسعت تقریبی یک کیلومترمربع در میان واحدهای آندزیت، بازالت، توف، توف برش و لایلی توف و پههای ماسه‌ای گسترش دارد. عنصر دیگری در این محل آنومالی نشان نمی‌دهد.

در محل این آنومالی و در مقیاس کار صحرائی واحدهای آندزیت پرفیری هماتیت شده، آهک سیلیسی، سنگهای ولکانیکی متوسط تا اسید کلریتی و آرژیلیتی و کمی سیلیسی شده دیده می‌شوند. آثاری از آلتراسیونهای سیلیسی، آرژیلیتی، هماتیتی و کلریتی در منطقه مشاهده شده است. از این آنومالی تعداد یک نمونه کانی سنگین و دو نمونه مینرالیزه برداشت گردیده است.

«آنومالیهای Mn»

برگه ۱/۵۰,۰۰۰ باعتر

منطقه جنوب غرب خوشاب (۱۱)

این آنومالی با مساحت تقریبی سه کیلومترمربع در میان واحدهای سنگی آمفیبولیت، آندزیت، بازالت، توف، توف برش، لایلی توف و واحدهای کواترنر گسترش دارد. این آنومالی با آنومالی عناصر دیگری از جمله Cr , Co و Sb انطباق دارد. واحدهایی از جمله کالک شیست، آمفیبولیت و گرایزن، رگه‌های سیلیسی، سنگهای فلزیک و سنگهای آهک کریستالین در مشاهدات صحرائی بچشم می‌خورد. اثراتی از دگرسانیهای سیلیسی، پروپیلیتی، لیمونیتی، گایننی، کلریتی و سرباتینیتی در منطقه دیده شده است. از این آنومالی تعداد دو نمونه کانی سنگین و یک نمونه مینرالیزه برداشت شده است.

برگه ۱/۵۰۰۰۰ نوده ارباب

منطقه شرق سدید- غرب میرحسین (۲۰)

این آنومالی با وسعت دو کیلومترمربع در میان واحدهای کواترنر، گدازه‌های زیردریائی، توف و بطور محلی رادیولاریت گسترش دارد. در این محل آنومالی عناصر دیگری از جمله Cr , Ni , Zn مشاهده می‌گردد. در بررسیهای صحرائی واحدهایی شامل ولکانیکهای مافیک تا فلیسیک، آمبر سیلیسی شد، آهک پلاژیک، شیست سبز، گابروی *High level* حاوی قطعات سیلیس، برش ولکانیکی، آندزیت، هارزبورگیت، چرت حاوی Mn (؟) و آهک نومولیت دار رگه‌های سیلیسی با بلورهای اتومورف سیلیس در منطقه مشخص شده است. آثار دگرسانی سیلیسی نیز در منطقه مشاهده شده است. یک نمونه کانی سنگین و دو نمونه مینرالیزه از منطقه برداشت شده است.

منطقه شمال بلاش آباد (۲۲)

این آنومالی با وسعت تقریبی ۵/۰ کیلومترمربع در شمال آبادی بلاش آباد در میان واحدهای گدازه‌های زیردریائی و آهکهای پلاژیک گسترش دارد. در این محل عنصر دیگری آنومالی نشان نمی‌دهد. در مقیاس کار صحرائی واحدهایی از جمله پیروکلاستیک‌های حاوی قطعات مافیک، آندزیت‌های تحت اشباع، آمبر، آهک پلاژیک و باالت دیده شده است. آثاری از آتراسیونهای سیلیسی و پروپیلیتی در منطقه مشاهده شده است. از این آنومالی تعداد یک نمونه کانی سنگین و یک نمونه مینرالیزه برداشت شده است.

برگه ۱/۵۰،۰۰۰ رباط سرپوش

منطقه شمال چشمه آوش (۲)

این آنومالی با وسعت سه کیلومترمربع در میان واحدهای آندزیت، بازالت، توف، توف برش، لایپلی توف، شیل، ماسه سنگ و شیل توفی ائوسن و اسکارن گسترش دارد. در این محل آنومالی عناصر دیگری از جمله Ag , Hg , Co , Bi و Sb نیز مشاهده می‌گردد. در بررسیهای صحرائی وجود واحدهای لیتولوژیکی از جمله هورنفلس، توده نفوذی گرانودیوریتی، بش کاتاکلاستیک، ولکانیکهای سیلیسی، شیل متامرف و آهکهای میکراتی سفیدرنگ در کتاكت بابرش ولکانیکی مشخص شده است. آثاری از آتراسیونهای پروپیلیتی، لیمونیتی، هماتیتی، کلریتی و پتاسیک در منطقه بچشم میخورد. از این آنومالی پنج نمونه کانی سنگین و سه نمونه مینرالیزه برداشت گردیده است.

«آنومالیهای Mo

برگه ۱/۵۰،۰۰۰ باعجر

منطقه جنوب غرب شم آباد (-)

این آنومالی با مساحت حدود ۲/۵ کیلومترمربع در میان واحدهای کنگلومرای نوژن، آندزیت، بازالت، توف، توف برش و لایپلی توف گسترش دارد. در این محل عنصر دیگری آنومالی نشان نداده است. تنها یک نمونه کانی سنگین از این آنومالی برداشت گردیده است. در محدوده این آنومالی کنترل صحرائی صورت نگرفته است.

منطقه شرق باعجر (۵)

این آنومالی وسیع با مساحت حدود ۵ کیلومترمربع در شرق و جنوب شرق

روستای باغچر قرار دارد. محیط سنگی عبارت از آمیزه‌رنگین، واحدهای کواترنر، دیاباز

و گابرو می‌باشد. در این محل تنها عنصر *All* آنومالی نشان داده است.

در مقیاس کار صحرانی واحدهایی از جمله بازالت، برش سیلیسی، بازالت برشی

شده، سنگهای اسیدی، تراکیت، آندزیت، دونیت، دیاباز، سنگهای فلیسیک، ریولیت (?) و

گابروی *High level* دیده شده است.

در ضمن دایکهای صفحه‌ای که اندکی لیسونیتی شده‌اند نیز مشاهده شده است.

آثاری از آلتراسیونهای سیلیسی و سربانیتی و هماتیتی در منطقه بچشم میخورد. از این

منطقه چهار نمونه کانی سنگین برداشت شده است.

منطقه جنوب علیک (۹)

این آنومالی با وسعت تقریبی ۵/۰ کیلومترمربع در میان واحدهای آمیزه‌رنگین و گدازهای زیردریائی همراه با آهک پلاژیک گسترش دارد. در این محل و در کنار آن تنها عنصر *Sb* آنومالی نشان داده است. در محدوده این آنومالی کنتل صحرانی صورت نگرفته است.

منطقه شرق علیک (۱۰)

این آنومالی با وسعت حدود یک کیلومترمربع در شرق آبادی علیک و در میان واحدهای گدازهای زیردریائی و آهک پلاژیک گسترش دارد. در این محل هیچیک از عناصر دیگر آنومالی نشان نمی‌دهند. در فاصله حدود یک کیلومتری شرق این آنومالی تنها یک کانی سنگین برداشت شده است.

«آنومالیهای Ni»

برگه ۱/۵۰,۰۰۰ باجر

منطقه غرب باجر (۶)

آنومالی فوق الذکر دارای مساحتی حدود سه کیلومترمربع بوده و در میان واحدهای آمیزه رنگین، آندزیت، بازالت، توف، توف برش و لاپیل توف گسترش دارد. در این محل تنها عنصر Co با مساحت کمتری، آنومالی نشان می‌دهد.

در مقیاس صحرائی واحدهایی از جمله سرپانتینیت، گابروی *High level*, آمبر، بازالت پیلولاوا و ژاسب مشاهده شده است. آثار آلتراسیون سرپانتینیتی در منطقه وجود دارد. از این آنومالی یک نمونه کانی سنگین و یک نمونه مینرالیزه برداشت شده است.

برگه ۱/۵۰,۰۰۰ نوده ارباب

منطقه شرق سدید - غرب میرحسین (۲۰)

این آنومالی با وسعت حدود دو کیلومترمربع در میان واحدهای کواترنر، گدازه‌های زیردریائی، توف و بطور محلی رادیولاریت گسترش دارد. در این محل آنومالی عناصر دیگری از جمله Mn , Co , Zn و Cr مشاهده می‌گردد.

در بررسیهای صحرائی واحدهایی از جمله ولکانیکهای مافیک تا فلزیک، آمبر سیلیسی شد، آهک پلاژیک، شیست سبز، گابروی *High level* حاوی قطعات سیلیس، برش ولکانیکی، آندزیت، هارزبورگیت، چرت حاوی Mn (؟) و آهک نومولیت دار و رگه‌های سیلیسی با بلورهای اتومورف مشاهده می‌گردد. آلتراسیون سیلیسی اثراتی در منطقه برجا گذارد؛ است. از محدوده این آنومالی یک نمونه کانی سنگین و دو نمونه مینرالیزه برداشت شد؛ است.

منطقهٔ شرق بربزو - غرب بیونق (۲۱)

این آنومالی دارای وسعتی برابر دو کیلومترمربع بوده و در میان واحدهای سنگی گدازه‌های زیردریائی، آهک پلازیک و مجموعه درهم سنگهای افیولیتی بهمراه آهک نومولیت دار قرار گرفته است. در این محل تنها عنصر CO با مساحت کمتر آنومالی نشان می‌دهد.

با ازالت سرپانتینیتی شده، سرپانتینیت، آمبر، هارزبورگیت، گوسن آهنه، ولکانیکهای مافیک تا فلزیک از جمله واحدهای لیتلوزیکی بودند که در مشاهدات صحرائی مشاهده شده‌اند. آثاری از آلتراسیونهای لیمونیتی و سرپانتینیتی در محدوده این آنومالی مشاهده شده است. از این محدوده تعداد دو نمونه کانی سنگین و سه نمونه مینرالیزه برداشت شده است.

منطقهٔ شمال کوه میمستان - حاشیهٔ غربی برگه (۳۰)

این آنومالی با وسعت یک کیلومترمربع در میان واحدهای گدازه‌های زیردریائی، آهک پلازیک، توف و بطور محلی رادیولاریت قرار گرفته است. در این محل با اندکی جابجایی و با وسعت کمتر، عناصر Hg ، Pb آنومالی نشان داده‌اند. در مقیاس کار صحرائی واحدهایی از جمله سرپانتینیت، بازلهای جوان، آندزیت پرفیری آلترا شده و یک دایک سیلیسی سرشار از لیمونیت و هماتیت در منطقه دیده شده است. آثاری از دگرسانیهای سیلیسی، پروپیلیتی، لیمونیتی و هماتیتی در محدوده این آنومالی بچشم می‌خورد. از این آنومالی تعداد یک نمونه کانی سنگین و یک نمونه مینرالیزه برداشت شده است.

«آنومالیهای *Pb*

برگه ۱/۵۰,۰۰۰ باغجر

منطقه غرب عنبرستان (۴)

این آنومالی با وسعت تقریبی ۱/۵ کیلومترمربع در انتهای آبراهه روتای چاهک و در غرب آبادی عنبرستان قرار دارد. محیط سنگی عبارتست از آهکهای گلوبو-ترانکانادر، گدازه‌های زیردریائی، توف و بطور محلی رادیولاریت. در این محل آنومالی عناصر دیگری مانند *Ag*, *Hg* و *Sb* نیز مشاهده می‌گردد. در بررسیهای صحرائی واحدهایی از جمله لیسونیت، آمبر، سرپانتینیت، توف و دایک دیابازی بچشم می‌خورد. مطالعات ژئوفیزیک هوایی دال بر وجود توده نفوذی نیمه عمیق در منطقه می‌باشد. آثاری از آتراسیونهای سیلیسی، پروپیلیتی، لیسونیتی و سرپانتینیتی در محدوده این آنومالی مشاهده می‌گردد. از این آنومالی دو نمونه کانی سنگین و یک نمونه مینرالیزه برداشت شده است.

برگه ۱/۵۰,۰۰۰ نوده ارباب

منطقه اطراف حسن آباد (۱۷)

این آنومالی متشکل از دو محدوده مجزا و نزدیک بهم با وسعت مجموع سه کیلومترمربع می‌باشد. محیط سنگی عبارت از واحدهای کواترنر، آندزیت، بازالت، توف، توف بش. لایلی توف و کنگلومرای نتوژن می‌باشد. در این محل عناصر دیگر آنومالی نشان نمی‌دهند.

در مقیاس کار صحرائی واحدهایی از جمله بش و لکانیکی، آندزیت، بش سیلیسی، توف اسیدی، اپال و کلسیون مشاهده شده است. آثاری از آتراسیونهای

سیلیسی و هماتیتی در محدوده این آنومالی بچشم میخورد. از این آنومالی دو نمونه کانی سنگین و چهار نمونه مینرالیزه برداشت شده است.

منطقه جنوب جمال آباد (۲۴)

این آنومالی با وسعت دو کیلومترمربع در منطقه فوق الذکر و در میان واحدهای داسیتی، آندزیت، بازالت، توف، توف برش و لایپلی توف قرار دارد. در این محل عناصر دیگری از جمله As و Sb نیز آنومالی نشان می‌دهند. در مشاهدات صحرائی سری سنگهای ولکانیکی فلیسیک تا مافیک و بازالت‌های جوان کواترنر دیده می‌شود. آثاری از آلتراسیونهای لیمونیتی و هماتیتی نیز مشاهده می‌گردد. از محدوده این آنومالی سه نمونه کانی سنگین برداشت شده است.

منطقه اطراف رازقند و شباش (۱۸ و ۲۸)

این آنومالی متشکل از دو محدوده مجزا با مساحت‌های دو کیلومترمربع و ۰/۷۵ کیلومترمربع در محل یاد شده و در میان واحدهای سنگی آمیزه رنگین، آندزیت، بازالت، توف، توف برش، لایپلی توف، هارزبورگیت و واحدهای کواترنر گسترش دارد. در این محل آنومالی عناصر دیگری از جمله Zn ، Ba و Bi (بطور ضعیف) نیز مشاهده می‌گردد. در مشاهدات صحرائی واحدهایی از جمله بازالت پیلولاوا، سرپانتینیت، آهک میکراتیتی، گابروی *Low level*، دونیت، بازالت‌های سرپانتینیتی شده، هارزبورگیت، گابروی کاتاکلاستیک، بازالت‌های آلت، شد، و دایکهای دیابازی مشاهده می‌گردد. آثاری از آلتراسیونهای سیلیسی، آرژیلیتی، هماتیتی، کلدیتی و سرپانتینیتی در محدوده این آنومالی مشخص شده است. بررسیهای ژئوفیزیک هوانی حاکی از وجود یک

توده نفوذی نیمه عمیق در محدوده این آنومالی می باشد. از این منطقه تعداد شش نمونه کانی سنگین و دو نمونه میترالیزه برداشت شده است.

«آنومالیهای Sb»

برگه ۱/۵۰،۰۰۰ باعتر

منطقه جنوب غرب خوشاب (۱۱)

این آنومالی با وسعت حدود ۱/۵ کیلومترمربع در میان واحدهای سنگی آمفیبولیت، آندزیت، بازالت، توف، توف برش و لایلی توف گسترش دارد. این آنومالی با آنومالی عناصر دیگری از جمله Mn ، Co و Cr انطباق دارد.

در بررسیهای صحرائی واحدهایی از کالک شیست، آمفیبولیت و گرایزن، رگه های سیلیسی، سنگهای فلزیک و سنگهای آهک کریستالیزه دیده شده است. آشاری از آلتراسیونهای سیلیسی، پروپیلیتی، لیمونیتی، هماتیتی، گرایزنی، کلریتی و سرپاتینیتی در محدوده این آنومالی بچشم میخورد. از این آنومالی دو نمونه کانی سنگین و یک نمونه میترالیزه برداشت شده است.

منطقه شمال باعتر (۹)

این آنومالی در محدوده ای با وسعت تقریبی دو کیلومترمربع در بین واحدهای سنگی هارزبورگیت، آمیزرنگین، گابرو و ولکانیکهای زیردریانی گسترش دارد. وجود آنومالیهای عناصر دیگری از جمله Zn ، Au ، Mo و Cu در این محل بر اعتبار این آنومالی می افزاید.

در مقیاس کارصحرائی واحدهایی از جمله لیسونیت و سرپاتینیت های منیزیتی

شده و بازالت مشاهده شده است. آلتراسیونهای لیسونیتی و سرپاتنیتی در منطقه اثرگذاشته اند.

منطقه غرب عنبرستان (۱۴)

این آنومالی با وسعت تقریبی یک کیلومترمربع در غرب آبادی عنبرستان و در شمال آبراهه روستای چاهک قرار دارد. محیط سنگی عبارتست از آهکهای گلوبوتانکاندار، گدازه‌های زیردریائی، توف و بطور محلی رادیولاریت. در این محل آنومالی عناصر دیگری مانند Hg , Ag و Pb نیز مشاهده می‌گردد. در مشاهدات صحرائی واحدهایی از جمله لیسونیت، آمبر، سرپاتنیت، توف و دایک دیابازی دیده شده است. بررسیهای ژئوفیزیک هوایی دال بر وجود توده نفوذی نیمه عمیق در محدوده، این آنومالی می‌باشد. آثاری از دگرسانیهای سیلیسی، پروپیلیتی، لیسونیتی و سرپاتنیتی در این منطقه به چشم می‌خورد. از این آنومالی تعداد دو نمونه کانی سنگین و یک نمونه مینرالیز، برداشت گردیده است.

برگه ۱/۵۰،۰۰۰ نوده ارباب

منطقه جنوب جمال آباد (۲۴)

این آنومالی با مساحت حدود $۳/۵$ کیلومترمربع در منطقه یاد شده در میان واحدهای داسیتی، آندزیت، بازالت، توف، توف برش و لاپیلی توف قرار دارد. در این محل عناصر دیگری از جمله As و Ph نیز آنومالی نشان می‌دهند. در مشاهدات صحرائی سری سنگهای ولکانیکی فلزیک تامافیک و بازالتها جوان کواترنر دیده شده است. اثراتی از آلتراسیونهای لیمونیتی و هماتیتی در منطقه به چشم

میخورد. در این منطقه سه نمونه کانی سنگین برداشت شده است.

منطقه شمال بلash آباد (۲۲)

این آنومالی با وسعت تقریبی $5/0$ کیلومترمربع در میان واحدهای دونیت و هارزبورگیت سرپانتینیتی شد، آهکهای گلوبوترانکانادر و سرپانتینیت همراه با گذاشهای زیردریائی گسترش دارد. در این محل آنومالی عناصر دیگری از جمله As مشاهده می‌گردد.

در مقیاس کار صحرائی واحدهایی از جمله سرپانتینیت، آمبر، سنگهای ولکانیکی بازالتی، گابروی دانه‌ریز، برش ولکانیکی، برش سیلیسی، بازالت‌های پیلولاوا و بازالت‌های منشوری بچشم میخورد. آکتسیونهای سیلیسی و سرپانتینیتی در منطقه اثر گذارده‌اند. از محدوده این آنومالی دو نمونه کانی سنگین و سه نمونه مینرالیزه برداشت شده است.

برگه ۱/۵۰,۰۰۰ رباط سرپوش

منطقه شمال شرق چشمه آوش (۱ و ۲)

این آنومالی با وسعت حدود یک کیلومترمربع در میان واحدهای آندزیت، بازالت، توف، توف برش و لایپلی توف گسترش دارد. در این محل عناصر دیگری از جمله Ag و Mn ، Hg ، Co ، Bi نیز آنومالی نشان می‌دهند. در بررسیهای صحرائی وجود واحدهای لیتوژیکی از جمله توف اسیدی، بازالت‌های کواترنر، برش ولکانیکی، هورنفلس، توده، نفوذی گرانودیبوریتی، برش کاتاکلاستیک، شیل متامرف، ولکانیکهای سیلیسی و آهکهای میکراتیتی سفیدرنگ مشاهده می‌گردد. بررسیهای ژئوفیزیک هوایی گذر یک گسل عمیق را در منطقه مشخص می‌کند. آثاری از

دگرسانیهای سیلیسی، پروپیلیتی، هماتیتی، کلریتی، آرژیلیتی، لیمونیتی و پتاسیک در منطقه دیده شده است. از محدوده این آنومالی تعداد ۱۰ نمونه کانی سنگین و پنج نمونه میزآلیزه برداشت شده است.

«آنومالیهای Zn»

برگه ۱/۵۰,۰۰۰ باعجر

منطقه شمال شرق باعجر (۹)

این آنومالی با مساحت تقریبی یک کیلومترمربع در میان واحدهای سنگی هارزبورگیت، آمیزه رنگین و دیاباز گسترش دارد. در این محل تنها عنصر Cu آنومالی درجه یک دارد و Ag نیز آنومالی ضعیفی نشان می دهد. لیسونیت شیلی، هارزبورگیت، بازالت کمی سرپانتینیزه و دیاباز از جمله واحدهایی هستند که در مشاهدات صحرانی مشخص شده اند. آثاری از آلتراسیونهای لیسونیتی، کلریتی و سرپانتینیتی در محدوده این آنومالی نمود دارد. از این منطقه یک نمونه کانی سنگین و یک نمونه میزآلیزه برداشت شده است.

برگه ۱/۵۰,۰۰۰ نوده ارباب

منطقه جنوب و جنوب غرب رازقند (۱۸)

این آنومالی در محدوده ای با وسعت ۲/۵ کیلومترمربع قرار دارد. واحدهای سنگی موجود در محدوده این آنومالی عبارت از آمیزه رنگین، هارزبورگیت و واحدهای کواترنر می باشد. در این محل آنومالیهای عناصر دیگری از جمله Ba ، Pb و بطور ضعیف تر Bi نیز مشاهده می گردد.

در مقیاس کار صحرائی واحدهایی از جمله بازالت‌های سرپانتینیتی شده، بازالت‌های پیولولاوا، گابرو، گابروی کاتاکلاستیک، هارزبورگیت، گابروی Low level و دونیت مشاهده شده است. بررسیهای ژئوفیزیک هوایی وجود یک توده نفوذی نیمه عمیق را در محدوده این آنومالی مشخص می‌نماید. از جمله آثار آلتراسیونی که در این منطقه دیده شده میتوان از همایتی و سرپانتینیتی شدن نام برد. در محدوده این آنومالی دو نمونه کانی سنگین و دو نمونه مینرالیزه برداشت شده است.

منطقه شرق رازقد (۸ و ۱۸)

این محدوده با وسعت حدود چهار کیلومترمربع در میان واحدهای آندزیت، بازالت، توف، توف بشش، لایپلی توف، آمیزه رنگین و هارزبورگیت گسترش دارد. در این محل تنها عنصر Pb با وسعت کمتر آنومالی نشان می‌دهد. بررسیهای صحرائی مؤید وجود واحدهایی از جمله هارزبورگیت، سرپانتینیت، بازالت، گابروی پگماتیتی، آهک میکراتیتی، گابروی High level و دونیت می‌باشد. توده نفوذی نیمه عمیق در بررسیهای ژئوفیزیک هوایی در محدوده این آنومالی مشخص شده است. آلتراسیونهایی از جمله همایتی و سرپانتینیتی شدن در این منطقه اثرات خود را بر جا گذارد، اند. از این منطقه تعداد چهار نمونه کانی سنگین برداشت شده است.

منطقه شرق سدید - غرب میرحسین (۲۰)

این آنومالی با وسعت حدود دو کیلومترمربع در میان واحدهای کواترنر، گدازه‌های زیردریائی، توف و بطور محلی رادیولاریت گسترش دارد. در این محل آنومالی عناظر دیگری از جمله Mn , Ni , Co و Cr نیز مشاهده می‌گردد.

از جمله واحدهای لیتولوژیکی که در برسیهای صحرائی مشاهده شده میتوان از ولکانیکهای مافیک تافلیسیک، آمبر سیلیسی شده، آهک پلازیک، شیست سبز، گابروی *High level* حاوی قطعات سیلیس، برش ولکانیکی، آندزیت، هارزبورگیت، چرت حاوی Mn (?)، آهک نومولیت دار و رگه‌های سیلیسی با بلورهای اتونومرف نام برد. آثاری از دگرسانی سیلیسی در منطقه مشاهده شده است. از محدوده این آنومالی تعداد یک نمونه کانی سنگین و دو نمونه مینرالیزه برداشت گردیده است.

«آنومالیهای $As + Sb$ »

برگه ۱/۵۰,۰۰۰ باعتر

منطقه شمال باعتر (۹)

این آنومالی با وسعت تقریبی یک کیلومترمربع در محدوده هارزبورگیت‌ها واقع شده است. در این محل علاوه بر آنومالی فوق عناصری از جمله $Al II$ و Sb نیز آنومال هستند.

در مقیاس کار صحرائی واحدهایی از جمله لیسونیت، سرپانتینیت‌های منیزیتی شده و بازالت بچشم میخورد. آثاری از آلتراسیونهای لیسونیتی و سرپانتینیتی در محدوده این آنومالی مشخص شده‌اند.

منطقه غرب برقبان (۲۹)

این آنومالی که مساحتی در حدود ۵/۰ کیلومتر مربع را در بردارد در منطقه‌ای قرار گرفته که واحدهای لیتولوژیکی از جمله گذازهای آندزیتی، بازالتی، توف، توف برش و لایپلی توف و دیباز آنرا در میان گرفته‌اند. در این محل عنصر As نیز به تنها بی

آنومالی دارد.

در مشاهدات صحرائی واحدهایی از جمله بازلهای سرپانتینیتی، ولکانیکهای ترشیر، بازلهای جوان، آندزیت، بازالت تا ریولیت مشخص شده است. آثار دگرسانی سرپانتینیتی در محل این آنومالی بچشم میخورد. از این محل دو نمونه کانی سنگین برداشت شده است.

برگه ۱/۵۰,۰۰۰ نوده ارباب

منطقه جنوب جمال آباد (۲۴)

این آنومالی با وسعت تقریبی $4/5$ کیلومترمربع در میان واحدهای مارن و مارن گچ دار قرمز رنگ، گدازهای آندزیتی، بازالتی، توف، توف برش و لاپیلی توف قرار دارد. در این محل عناصر As ، Sb و Pb نیز آنومالی نشان میدهند. در مشاهدات صحرائی واحدهایی از جمله سری سنگهای ولکانیکی فلسيک تامافیک و بازلهای جوان کواترنر مشاهده گردیده است. آثاری از آلتراسیونهای لیمونیتی و هماتیتی در محدوده این آنومالی وجود دارد. در محدوده این آنومالی تعداد سه نمونه کانی سنگین برداشت شده است.

منطقه شمالشرق بلاش آباد (۲۲)

این آنومالی با وسعت تقریبی $2/5$ کیلومترمربع در میان واحدهایی از جمله سرپانتینیت همراه با گدازهای زیردریایی، سنگ آهک گلوبوت انکانادر، هارزبورگیت و دونیت سرپانتینیتی شده، گدازهای زیردریایی و آهک پلاژیک واقع شده است. در این محل عناصر As و Sb نیز به تنهائی آنومالی دارند.

واحدهایی از جمله سرپانتینیت، آمبر، سنگهای ولکانیکی بازالتی، گابروی دانه‌ریز، برش ولکانیکی، برش سیلیسی، بازالت‌های پیولوا و منشوری و آهکهای پلاژیک در مشاهدات صحرائی دیده شده‌اند. آثاری از آتراسیونهای سیلیسی، پروپیلیتی و سرپانتینیتی در محل این آنومالی مشخص شده است. در این منطقه تعداد دو نمونه کانی سنگین و سه نمونه میترالیزه برداشت گردیده است.

برگه ۱/۵۰,۰۰۰ رباط سرپوش

منطقه شمال شرق چشم‌آوش (۱)

این آنومالی با وسعتی در حدود ۲۵/۰ کیلومترمربع در واحدهایی از جمله گذازه‌های آندزیتی، بازالتی، توف توف، برش و لایپلی توف قرار دارد. در این محدوده عناصر Hg , Ag و Sb نیز آنومالی نشان میدهند. در مقیاس کار صحرائی واحدهایی از جمله توف اسیدی، بازالت‌های جوان کواترنر و برش سیلیسی دیده شده است. رگجه‌های سیلیسی درون بازالتها تا ضخامت حدود ۵/۰ سانتیمتر هم می‌رسند. آثار دگرسانیهای سیلیسی، پروپیلیتی، هماتیتی و کلریتی در محدوده این آنومالی بچشم می‌خورد. بررسیهای ژئوفیزیک هوایی وجود یک گسل عمیق را در این منطقه تأیید کرده است. در محدوده این آنومالی تعداد پنج نمونه کانی سنگین و دو نمونه میترالیزه برداشت شده است.

«آنومالیهای $Pb + Zn$

برگه ۱/۵۰,۰۰۰ باغجر

منطقه شمال باغجر (۹)

این آنومالی با وسعت تقریبی ۵/۰ کیلومترمربع در برجیرینه واحدهایی از جمله

هارزبورگیت، آمیزه‌رنگین تفکیک نشده و دیاباز می‌باشد در این محل عناصر دیگری از جمله Cu و Zn نیز آنومالی نشان میدهد.

از جمله واحدهایی که در بررسیهای صحرائی مشخص شده میتوان از لیسونیت شیلی، هارزبورگیت، بازالت اندکی سرپاتینیزه شده و دیاباز نام برد. دگرسانیهای لیسونیتی، کلریتی و سرپاتینیتی اثراتی را در منطقه برجا گذارد، اند. در این محدوده تعداد یک نمونه کانی سنگین و یک نمونه میترالیزه برداشت شده است.

منطقه جنوبغرب عنبرستان (۱۴)

این آنومالی با وسعتی در حدود ۲۵ کیلومترمربع در میان واحدهای سنگ آهک گلوبوترانکانادر، گدازه‌های زیردریایی، توف و بطور محلی رادیولاریت واقع شده است. در این محل عناصر Ag , Pb , Hg , Sb و As نیز آنومالی دارند. در مقیاس کار صحرائی واحدهایی از جمله لیسونیت، آمبر، سرپاتینیت، توف و دایک دیابازی مشاهده شده است. بررسیهای ژئوفیزیک هوایی وجود یک توده نفوذی نیمه عمیق را در محدوده این آنومالی مشخص کرده است. در محدوده این آنومالی آثاری از آلتراسیونهای سیلیسی، پروپیلیتی، لیسونیتی و سرپاتینیتی به چشم می‌خورد. در این منطقه دو نمونه کانی سنگین و یک نمونه میترالیزه برداشت گردیده است.

برگه ۱/۵۰,۰۰۰ نوده ارباب

منطقه شرق رازقند (۸ و ۱۸)

این آنومالی با وسعتی در حدود ۳ کیلومترمربع در میان واحدهایی از جمله گدازه‌های آندزیتی، بازالتی، توف، توف برش و لایپلی توف، آمیزه‌رنگین تفکیک نشده،

هارزبورگیت و مخروط افکنهای پادگانهای آبرفتی قدیم قرار گرفته است. در این محدوده علاوه بر آنومالی عناصر فوق عنصری دیگری از جمله Ba , Pb و Zn نیز آنومالی دارند.

در بررسیهای صحرانی واحدهایی از جمله هارزبورگیت، سرپاتینیت، بازالت، گابروی پگماتیتی، آهک میکراتی، گابروی *Low level* و دونیت مشاهده شده است. مطالعات ژئوفیزیک هوایی مؤید وجود یک توده نفوذی نیمه عمیق در منطقه می‌باشد. آتراسیونهای موجود در این منطقه شامل هماتیتی و سرپاتینیتی شدن می‌باشند. از این محدوده آنومالی تعداد چهار نمونه کانی سنگین برداشت شده است.

منطقه غرب رازقند (۱۸)

وسعت این آنومالی در حدود ۵ کیلومتر مربع می‌باشد. این منطقه را واحدهای از جمله هارزبورگیت، آمیزه‌رنگین تفکیک نشده و مخروط افکنه و پادگانهای آبرفتی قدیم و جوان می‌پوشاند. در این محل عناصر Ba , Pb و Zn نیز آنومالی دارند. در مقیاس کار صحرانی واحدهای مشاهده شده عبارتند از: بازالت‌های سرپاتینیتی شده، بازالت‌های پیلولاوا، گابرو، گابروی کاتاکلاستیک، هارزبورگیت. گابروی *Low level* دونیت، دایکهای دیبابازی و بازالت‌های آلترا. اکتشافات ژئوفیزیک هوایی دال بر وجود یک توده نفوذی نیمه عمیق در این منطقه می‌باشد. آثاری از آتراسیونهای آرژیلیتی، سیلیسی، هماتیتی. کلریتی و سرپاتینیتی در محدوده این آنومالی مشاهده شده است. در این منطقه تعداد چهار نمونه کانی سنگین و چهار نمونه مینرالیزه برداشت شده است.

۵- محاسبه آنومالی در جامعه نمونه های آلوویوم

نظر باینکه بخش وسیعی از برگه ۱۰۰،۰۰۰/۱ سبزوار را رسوبات آبرفتی پوشانده است، از این رسوبات و در مکانهای مشخص و از پیش تعیین شده، اقدام به برداشت نمونه تحت عنوان "نمونه های آلوویوم" گردیده است. محاسبه آنومالیها و تحلیل داده های حاصل از پردازش این نمونه ها با نمونه های برداشت شده از رسوبات آبراهه ای تفاوت دارد. این نمونه ها بدلیل ماهیت غیرجهتی شان، فاقد مفهوم سنگ بالادست می باشند و همگی تحت یک جامعه مورد بررسی قرار می گیرند. در این جامعه متغیرهای ژئوشیمیائی انتخاب شده اگر ساختار فضائی از خود بروز دهند، مورد تخمین ژئواستاتیستیکی قرار می گیرند و سپس نقشه حاصل از این الگوریتم تخمین به نقشه حاصل از تخمین شبکه ای متصل می شود. نتیجه واریوگرافی جامعه نمونه های آبرفتی برای متغیرهای مختلف به صورت جدول زیر است:

متغیر	اثرقطعه ای	سقف	دامنه	مدل برآزش شده
Au	۰/۰۶	۰/۰۶۳	۷۶۰۰	کروی
Cu	۰	۰/۰۵۵	۱۰۰۰۰	کروی
Cr	۰	۰/۶۳	۱۵۰۰۰	کروی
Pb+Zn	۰	۰/۰۳۲	۲۰۰۰۰	گوسی
As+Sb	۰/۰۷	۰/۲۲۵	۱۳۵۰۰	کروی

واریوگرامهای مختلفی در اشکال ۱۴-۶ تا ۱۸-۶ آورده شده است. از نتایج این واریوگرامها در تخمین مقادیر متغیرهای مختلف و نهایتاً رسم نقشه های آنها استفاده گردیده است.

Variogram for Au

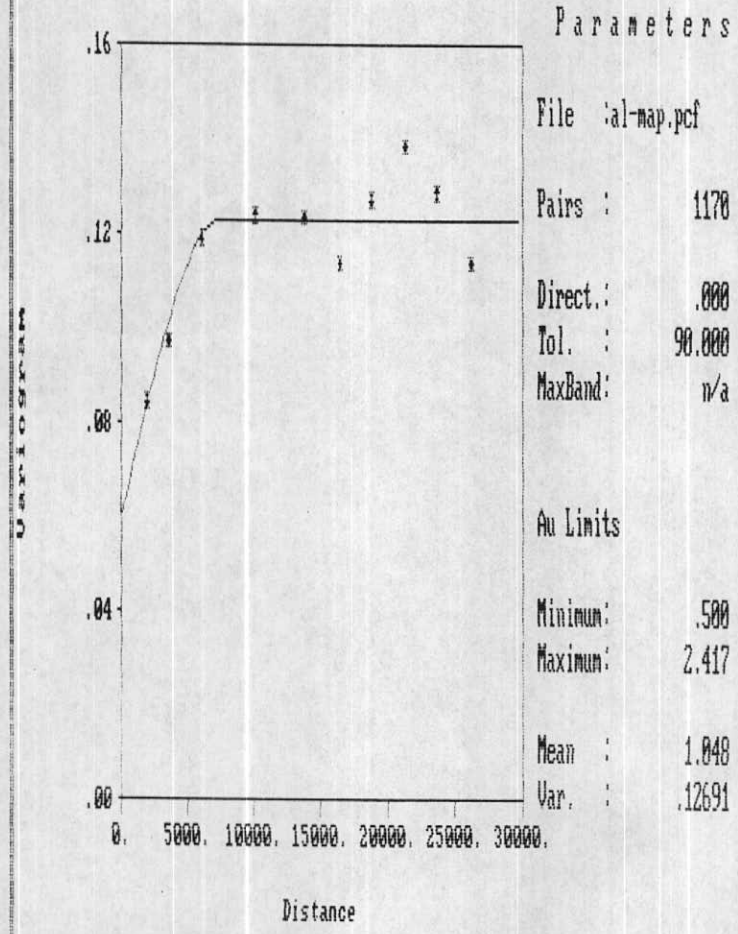


Fig. 6-14:

Variogram for Cu

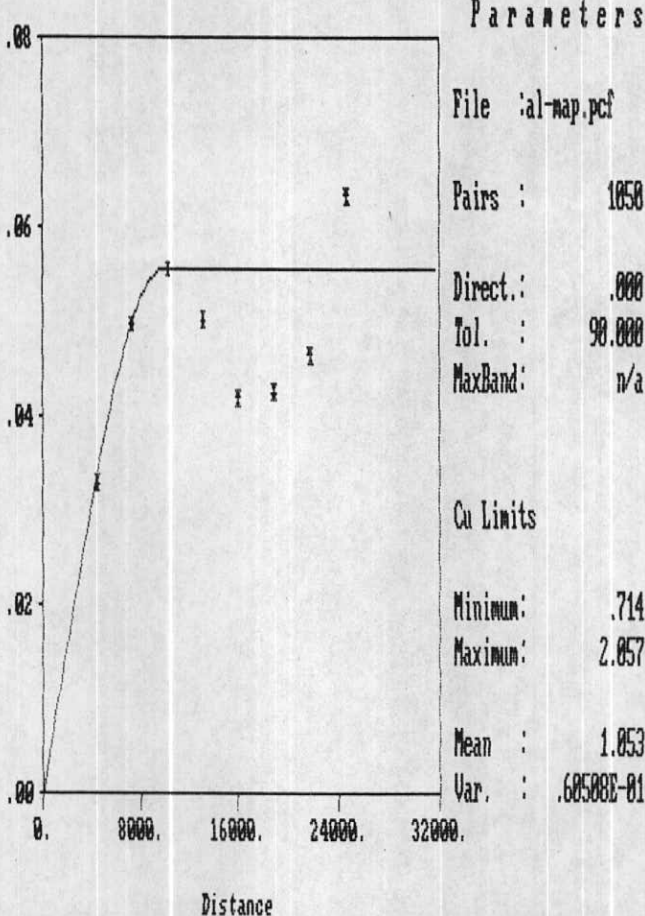


Fig. 6-15:

Variogram for Cr

Parameters

File : al-map.pcf

Pairs : 1356

Direct.: .000

Tol. : 98.000

MaxBand: n/a

Cr Limits

Minimum: .249

Maximum: 4.237

Mean : 1.128

Var. : .56279

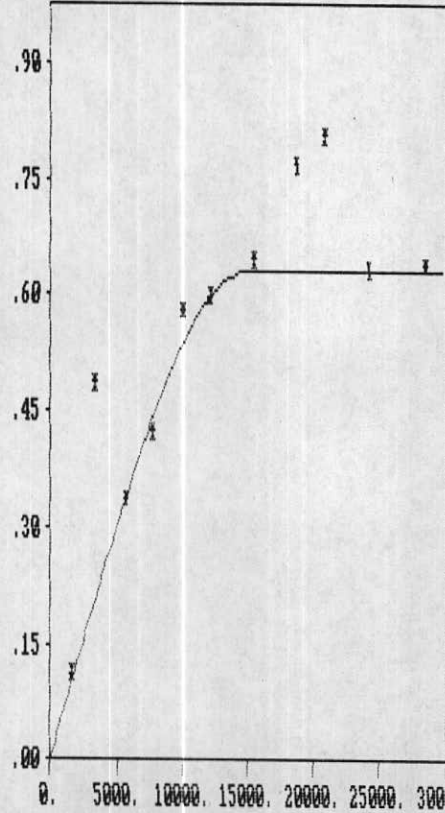


Fig. 6-16:

Variogram for As+Sb

Parameters

File : al-map.pcf

Pairs : 1417

Direct.: .000

Tol. : 90.000

MaxBand: n/a

As+Sb Limits

Minimum: 1.245

Maximum: 3.473

Mean : 2.107

Var. : .26815

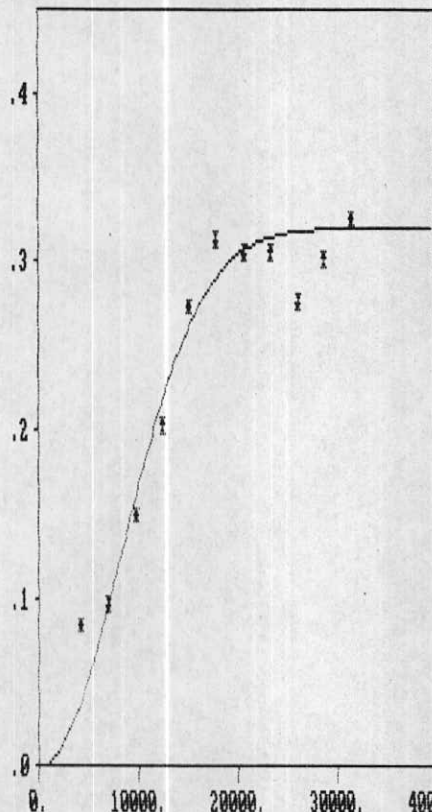


Fig. 6-17:

Variogram for Pb+Zn

Parameters

File : tal-mappcf

Pairs : 1448

Direct.: .000

Tol. : 90.000

MaxBand: n/a

Pb+Zn Limits

Minimum: 1.316

Maximum: 3.919

Mean : 2.189

Var. : .23722

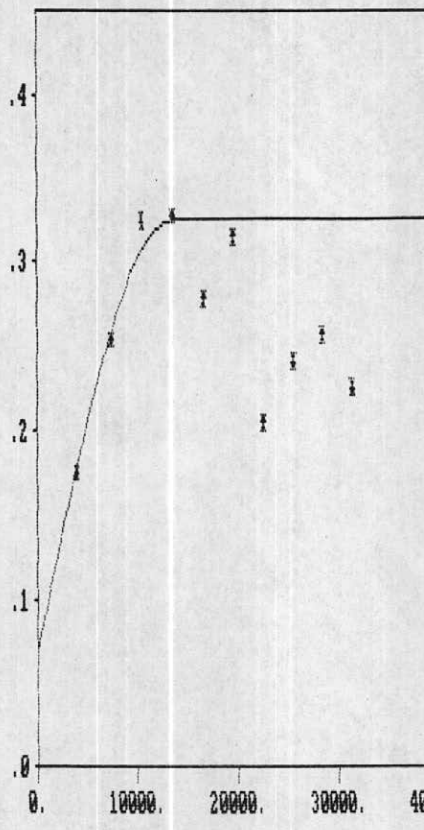


Fig. 6-18:

فصل هفتم

فاز کنترل آنومالیهای ژئوشیمیایی

۱- مقدمه

در بررسیهای اکتشافی در مقیاس ناحیه‌ای که به منظور کشف هاله‌های ثانوی کانسارها انجام می‌پذیرد، معمولاً ابتدا منطقه وسیعی تحت پوشش اکتشاف ژئوشیمیایی قرار می‌گیرد. این عملیات منجر به کشف آنومالیهای ظاهری در محیط‌های ثانوی می‌گردد. از آنجا که در روش‌های ژئوشیمیایی هر عنصر مستقیماً مورد اندازه‌گیری قرار می‌گیرد، توجهی به فاز پیدایش آن نمی‌شود. از این رو هاله‌های ثانوی کشف شده نمی‌توانند همیشه معرف کانی‌سازی باشند. بنابراین برای تمیز آنومالی واقعی که در ارتباط با پدیده‌های کانی‌سازی می‌باشد، از انواع دیگر که معمولاً در ارتباط با پدیده‌های سنگ‌زایی هستند، باید از روش‌های متعددی استفاده کرد که شامل بررسی مناطق دگرسان شده، زونهای مینرالیزه احتمالی، سیستم‌های پلمنینگ و بالاخره، مطالعه نمونه‌های کانی سنگین در محدوده آنومالی‌های مقدماتی است. در بین روش‌های مختلف فوق مطالعات کانی سنگین بعنوان روشی که در آن فاز پیدایش یک عنصر مورد مطالعه قرار می‌گیرد، می‌تواند مفید واقع شود. بدیهی است پیدایش یک عنصر در فازهای مختلف ارزش متفاوتی دارد و برای پی بردن به ارزش‌های متفاوت پیدایش یک عنصر، نیاز به تمیز فاز پیدایش آن است. با توجه به نتایجی که از آنالیز کانهای سنگین بدست می‌آید، می‌توان هاله‌های ثانوی را به دو نوع تقسیم نمود:

۱- هاله‌های ثانوی مرتبط با کانی‌سازی

۲- هاله‌های ثانوی مرتبط با پدیده‌های سنگ‌زایی

در حالت اول کانیهای مستقل یک عنصر معمولاً در جزء سنگین (تصورت فاز مستقل) یافت می‌شود. حال آنکه در حالت دوم پیدایش یک عنصر معمولاً بصورت ترکیب محلول جامد در ساختمان شبکه همراه با عناصر دیگر است. البته این حالت ممکن است استثناء نیز داشته باشد. بدینه است تحرک یک ذره کانی سنگین نسبت به تحرک یک یون بسیار کمتر است. لذا هاله‌های ژئوشیمیابی ثانوی می‌توانند بر اثر بزرگتر از هاله کانی سنگین مربوط به همان عنصر باشد. بدین لحاظ برداشت نمونه‌های کانی سنگین در محدوده هاله‌های ژئوشیمیابی، می‌تواند مفید واقع شود. در این پژوهش برداشت نمونه‌های کانی سنگین بعنوان روشنی برای کنترل آنمالیها و جدا کردن انواع مرتبط با کانی‌سازی از سایر انواع، صورت پذیرفته است.

۲- ردیاب‌های کانی سنگین

ارزش مشاهدات مربوط به کانیهای سنگین ردیاب، بدان جهت که اغلب این کانیها جزء کانیهای فرعی سازنده سنگ هستند و ممکن است در مناطق غیرکانی‌سازی نیز یافت شوند، به اندازه عناصر ردیاب نمی‌باشد ولی می‌توانند بعنوان معرفی برای حضور محیط و سنگ مناسب که احتمال وقوع کانی‌سازی در آن هست بکار روند در زیر بعنوان مثال چند مورد ذکر می‌شود:

۱- طلا: حضور طلا در بخش تغليظ یافته کانی سنگین می‌تواند دلالت بر وجود مناطق اميدبخش باشد ولی نبود آن بعلت خطای زیاد وابسته به نمونه برداری و آنالیز این روش ممکن است نتیجه عکس نداشته باشد. ارتباط طلا با آرسنوبیریت و تعدادی از کانیهای سولفوسالت دیگر می‌تواند در تعیین مناطق اميدبخش مؤثر واقع شود. در نهشته‌های اپی‌ترمال دانه‌ریز بذرگ است طلا در نمونه تغليظ

شده کانی سنگین معمولی یافت شود. در صورت پیدایش و همراهی آن با سینابرو استینیت، اهمیت منطقه اکتشافی دوچندان می‌شود.

۲- باریت: باریت بصورت کانگ در بسیاری از کانسارهای فلز است پایه وجود دارد. وجود آن در بخش تغليظ یافته کانی سنگین، دلالت بر وجود احتمالی چنین نهشته‌هایی است. از آنجا که هاله‌های آن نسبتاً وسیع است، می‌تواند بسیار مفید واقع شود. این کانی در کانسارهای تیپ ماسیوسولفاید با میزان شیلی، به وجود می‌یابد. ممکن است وجود آن معرف و وجود کانی سازی باریت لایه‌ای و یا رگه‌ای باشد. پیشنهاد شده است که اندازه‌گیری مقدار طلای موجود در باریت می‌تواند بعنوان معرفی برای باریتهای مرتبط با نهشته‌های طلا باشد.

۳- تورمالین: این کانی ممکن است در سنگهای مختلفی شامل سنگهای ماگمایی، متامورفیک، رسوبی تخربی و بصورت محصولات آلتراسیون هیدرоторمال یافته شود. پیدایش تورمالین در بعضی از مجموعه‌های پاراژنزی مانند مولیدنیت، آرسنوبیریت و فلوئورین می‌تواند به تعیین دقیق تر مناطق امیدبخش کمک نماید. شواهد چندی نشان داده است که تورمالین‌های غنی از Mg می‌توانند بعنوان ردیاب کانسارهای تیپ ماسیوسولفایدی به کار رود.

۳- بزرگی هاله‌های کانی سنگین

عوامل مؤثر در توسعه هاله‌های کانی سنگین (بطرف پایین دست) تابع عوامل زیر است:

- ۱- ترکیب و بزرگی رخمنون در ناحیه منبع
- ۲- تغییرات شیمیایی که در ناحیه منبع رخ می‌دهد: بعضی از کانیها در مقابل فرسایش

شیمیایی مقاوم و بعضی نامقاوم اند. این امر در خرد شدن کانیها و مسافت حمل و نقل آنها بسیار مؤثر است.

۳- خواص مکانیکی کانیها و تغییرات مکانیکی در محیط انتقال و رسوبگذاری: بعضی از کانیها در مقابل فرسایش مکانیکی مقاوم و بعضی نامقاوم بوده و خرد می‌شوند. تعدادی از این عوامل بستگی به شرایط آب و هوایی و ژئومورفولوژی محیط دارد. بدین جهت مسافتهای حمل و نقل گزارش شده برای کانه‌های مختلف متفاوت می‌باشد. برای مثال در مورد طلا و ولفرامیت هاله‌های بطول چند ده کیلومتر ثبت گردیده است. در مواردیکه رخنمون منبع کوچک باشد، این فواصل ممکن است تا چند کیلومتر کاهش یابد. در چنین مواردی ممکن است مقدار بعضی از کانیها سنگین در رسوبات در یک کیلومتر اول مسیر تا ۹۰ درصد کاهش یابد. بنابراین بهتر است محل نمونه‌های کانی سنگین نسبت به منبع احتمالی آن چندان دور نباشد. در این پروژه انتخاب محل نمونه‌های کانی سنگین بنحوی صورت گرفته است که حتی الامکان کانی سازی‌های احتمالی موجود در منطقه در این نمونه‌ها منعکس گرددند.

۴- نمونه برداری کانی سنگین، زونهای مینرالیزه و آلتره احتمالی

برای برگه ۱/۱۰۰,۰۰۰ سبزوار، در محدوده آنومالیهای ژئوشیمیایی اقدام به برداشت و مطالعه ۱۰۸ نمونه کانی سنگین در محدوده آنومالی‌های مقدماتی گردیده است. نقشه شماره ۱ محل نمونه‌های کانی سنگین را برگه ۱/۱۰۰,۰۰۰ سبزوار نشان می‌دهد. داده‌های خام کانی سنگین (تبديل شده به ppm) در جدول ۳ ضمیمه (برروی CD) آورده شده است.

همچنین در محدوده این برگ اقدام به برداشت ۵۵ نمونه از زونهای آلتره، مینرالیزه و سیستم کانالی عبور محلولهای گرمابی (پلمبینگ سیستم) گردیده است. از این تعداد ۴ نمونه از محدوده گسترش زونهای آلتره واقع در محل آنومالیهای ژئوشیمیابی برداشت گردیده است و ۴۶ نمونه از آثار مینرالیزه جهت شناخت نوع مینرالیزاسیون احتمالی و ۵ نمونه از سیستم شکستگی های پر شده که معرف احتمالی محلولهای گرمابی است برداشت شده است. نقشه شماره ۱ محل این نمونه ها را نیز نشان می دهد.

۱-۴- نکاتی در مورد محل، چگالی و وزن نمونه های کانی سنگین

برای اکتشافات ناحیه ای (کوچک مقیاس) رودخانه های بزرگ با حوضه آبریز وسیع مناسبتر هستند، زیرا محدودیت تعداد نمونه در آنها بر طرف می گردد. ولی در این پروژه به دلیل برداشت نمونه های کانی سنگین در محدوده آنومالیهای ژئوشیمیابی، نیازی به برداشت نمونه از رودخانه های بسیار بزرگ نبوده است. زیرا سقف تعداد نمونه های هر برگه در محدوده آنومالیهای ژئوشیمیابی اجازه برداشت نمونه های کانی سنگین را از حوضه های آبریز کوچک تر می داده است.

هر نمونه کانی سنگین از چند محل که احتمال تمرکز کانی سنگین در آن بیشتر بوده (تله کانی سنگین) برداشت شده است. در چنین مکانهایی ذرات شن و یا ماسه بیشتر حضور دارند. در مناطقی که نسبتاً مرتفع و بر فکر و در نتیجه فرسایش شیمیابی شدیدتر بوده است، پیدایش چنین محل هایی مشکل بوده و در نتیجه نمونه های کانی سنگین با وزن بیشتر از بخش ماسه ای - سیلتی - رسی برداشت گردیده است.

چگالی نمونه برداری کانی سنگین، علاوه بر سقف بودجه، عمدتاً تابع مساحتی است که باید با استفاده از این روش تحت ارزیابی قرار گیرد. از آنجا که در این پروژه

مناطق تحت بررسی کانی سنگین محدود به زونهای آنومالی ژئوشیمیایی مقدماتی بوده است، بزرگی هاله پراکندگی ژئوشیمیایی از قبل مشخص شده و در نتیجه نمونه های کانی سنگین متعلق به هر برگه $1/50,000$ در چنین زونهایی تقسیم شده است. در این تقسیم بندی فرض بر آن بوده است که برای هر حوضه آبریز با مساحت یک یا چند کیلومتر مربع، یک یا دو نمونه کافی بوده است. علاوه بر موارد فوق، شدت آنومالیهای ژئوشیمیایی و نیز تعداد عناصر در پاراژنر ژئوشیمیایی نیز در این تقسیم بندی مؤثر واقع شده است. تحت شرایط یکسان از مساحت حوضه های آبریز، اولویت بیشتر به حوضه های آبریزی داده شده است که شدت آنومالی ژئوشیمیایی آن بیشتر بوده و یا تعداد عناصر در پاراژنر ژئوشیمیایی بیشتر بوده است. وزن نمونه کانی سنگین بسته به هدف مورد نظر تغییر می کند. در این پروژه آن مقدار از رسوب رودخانه که لازم است برداشت شود تا پس از الک کردن حدود $4\text{ لیتر از جزء } 20 - 80 + \text{مش حاصل گردد}$ ، برداشت شده و در محل الک گردیده است. این الک کردن اولیه در روی زمین موجب کاهش وزن نمونه و سهولت حمل و نقل و شستشوی آن می گردد. شرح نمونه های مختلف برداشت شده در محدوده هر برگه $1/50,000$ به صورت زیر است.

نمونه های آنومال در برگه $1/50,000$ نوده ارباب

نمونه ۵۸۳

این نمونه به مختصات جهانی ($54^{\circ}29'40''E$ ، $40^{\circ}25'48''N$) از منطقه شمال بلاش آباد گرفته شده است. واحدهای سنگی که در بالادست آبراهه برداشت این نمونه قرار دارد عبارتند از: سرپاتینیت، آمبر، سنگهای ولکانیکی بازلتی که اندکی پروپیلیتی شده اند، گابروی دانه ریز، برش ولکانیکی پروپیلیتی شده، برش سیلیسی کلدیتی، بازلتهاای

پیلولوای سرپاتینی شده و بازالت‌های منشوری که گاه‌آ روی آهک‌های پلاژیک نشسته اند. آتراسیونهایی که در مقیاس کار صحرایی در منطقه شناسایی شده‌اند شامل سیلیسیفیکاسیون، پروپیلیتی و سرپاتینی شدن می‌باشد. نتایج آزمایشگاه و بررسی‌های آماری برای نمونه فوق مقادیر قابل ملاحظه‌ای از عناصر Sb و As نتیجه داده است. از منطقه فوق الذکر دو نمونه کانی سنگین به شماره‌های $H-582$ و $H-1022$ ، $SN-819$ از قطعات پروپیلیتی و اکسید‌آهنی سیلیسی شده برداشت شده است: نمونه $SN-M-819$ از عنصر As مقدار شایان توجهی از خود نشان داده است. نمونه‌های شده است که نسبت به عنصر As محدوده گرفته شده‌اند که نمونه آخری از سیستم $SN-M-820$ و $SN-M-821$ نیز از این محدوده گرفته شده‌اند که نمونه در زده‌ها برداشت شده است.

نمونه $SN-590$

این نمونه به مختصات جهانی ($40^{\circ}29'48''$ و $54^{\circ}78'48''$) از شمال بلاش آباد و غرب کوه می‌ستان برداشت شده است. واحدهای سنگی بالا دست آبراهه برداشت این نمونه شامل سرپاتینیت، آمبر، برش، آندزیت پرفیری، لایلی توف، گابرو و رگه‌های منیزیتی که بعضًا درون سرپاتینیت‌ها دیده می‌شود. در منطقه برداشت این نمونه و با دقیقی در مقیاس کار صحرایی آتراسیونهای سیلیسی، پروپیلیتی، لیمونیتی و کلریتی دیده شده است. نمونه فوق الذکر نسبت به عنصر طلا مقدار قابل ملاحظه‌ای از خود نشان داده است. آبراهه محل برداشت این نمونه دو نمونه کانی سنگین به شماره‌های $H-590$ و $SN-1023$ برداشت شده است که نمونه آخری نسبت به منیزیت مقدار قابل ملاحظه‌ای از خود نشان داده است. همچنین از یک ترانشه در روی روی محل برداشت نمونه

ژئوشیمیایی، یک نمونه از زون مینرالیزه به شماره SN-M822 برداشت شده است که مقدار شایان توجهی نسبت به عنصر As از خود نشان داده است.

نمونه SN-580

این نمونه به مختصات جهانی (۵۴۵۴۶۴، ۴۰۲۸۰۲۵) از شمال گرماب و اطراف کوه میمستان برداشت شده است. واحدهای سنگی که در بالادست آبراهه محل برداشت این نمونه قرار دارند شامل سرپانتینیت، بازلتهای جوان و آندزیت پرفیوی که در آن رخنمونی از دایک سیلیسی که سرشار از لیمونیت و هماتیت است مشاهده می‌شود، می‌باشد. همچنین در محدوده برداشت این نمونه و با دقتی در مقیاس کارصغرایی آلتراسیونهای سیلیسی، پروپلیتی، لیمونیتی و هماتیتی دیده شده است.

نمونه SN-580 طبق نتایج آزمایشگاه و بررسی‌های آماری مقدار قابل ملاحظه‌ای از عناصر Pb و Hg از خود نشان داده است. همچنین نمونه ژئوشیمیایی SN-595 نیز به مختصات جهانی (۵۴۵۷۴۶ و ۴۰۳۲۰۵۸) از نزدیکی این نمونه برداشت شده است که این نمونه نیز نسبت به Ni، مقدار شایان توجهی از خود نشان داده است. از محدوده برداشت این نمونه، نمونه کانی سنگین H-SN-596 از خود نشان داده است. از زونهای لیمونیتی و سیلیسی در این منطقه یک نمونه مینرالیزه برداشت شده است که شماره آن SN-M825 می‌باشد و نسبت به عنصر As مقدار قابل ملاحظه‌ای از خود نشان داده است.

نمونه SN-586

این نمونه به مختصات جهانی (۵۴۷۹۹۲ و ۴۰۲۸۱۷۸) از شمال بلاش آباد و جنوب شرق کوه اوستا دره برداشت شده است. واحدهای سنگی واقع در بالادست آبراهه

برداشت این نمونه شامل پیروکلاستیکهای حاوی قطعات مافیک، آندزیتهای تحت اشباع، آمبر، سیلیس، آهک پلاژیک و بازالت می‌باشد. در محدوده برداشت این نمونه آتراسیون پرопیلیتی در مقیاس کارصغرایی شناسایی شده است. از محدوده برداشت این نمونه، یک نمونه کانی سنگین بشماره SN-۱۰۲۴-H برداشت شده است که نسبت به منیتیت و هماتیت مقادیر قابل ملاحظه‌ای از خود نشان داده است. همچنین از زونهای مینرالیزه این منطقه نمونه SN-M۸۲۴ از ندولهای سیلیسی این منطقه برداشت شده است.

نمونه ۵۸۸

این نمونه با مختصات جهانی (۴۰۲۸۵۸۵ و ۵۴۸۱۳۷) از منطقه شمال بلاش آباد و شرق کوه اوستا دره برداشت شده است. واحدهای سنگی که در بالادست آبراهه برداشت این نمونه قرار دارند شامل آمبر، بازالت و دو نوع پیروکلاستیک که یکی حاوی قطعات بازالت زاویه دار با ماتریکس آمبر و دیگری حاوی قطعات بازالت زاویه دار که کلسیتی و سیلیسی شده‌اند، با ماتریکس منیزیت، می‌باشند. همچنین در محدوده برداشت این نمونه و با دقت کارصغرایی آتراسیون کوارتز کربناتی دیده شده است. نمونه فوق الذکر نسبت به عنصر Hg مقدار قابل ملاحظه‌ای از خود نشان داده است. در محل برداشت نمونه فوق و در آبراهه مربوطه یک نمونه کانی سنگین بشماره H-SN-۱۰۲۵ برداشت شده است که مقادیر قابل ملاحظه‌ایی از هماتیت و پیروکسن در آن مشاهده شده است. همچنین در این محدوده از یک زون که کرتاکت آمبر با سرپانتینیت بوده و شدیداً سیلیسی شده است، یک نمونه مینرالیزه برداشت شده است. شماره این نمونه SN-M ۸۲۵ بوده و مقدار قابل ملاحظه‌ای As از خود نشان داده است.

نمونه های SN-۶۱۷ و SN-۶۱۸

نمونه SN-۶۱۷ به مختصات جهانی (۴۰۲۳۷۹۳ و ۵۵۲۴۴۰) و نمونه SN-۶۱۸ به مختصات جهانی (۴۰۲۴۱۸۸ و ۵۵۳۰۳۷) از منطقه جنوب کوه سیاه، شرق و شمال شرق بروز و غرب بیونق برداشت شده است. واحدهای سنگی که در بالادست آبراهه محل برداشت این نمونه ها مشاهده شده اند عبارتند از بازارالت سرپائینی شد، سرپائینیت، آمبر، هارزبورگیت، گوسن آهنی و ولکانیکهای مافیک تافلیسیک. در این محدوده و با دقت کارهای صحرایی آلتراسیونهای لیمونیتی، هماتیتی و سرپائینی دیده شده است. براساس نتایج آزمایشگاه و بررسی های آماری، نمونه های فوق نسبت به عناصر Co و Ni مقادیر قابل ملاحظه ای از خود نشان داده اند. از منطقه فوق دو نمونه کانی سنگین بشماره های SN-۱۰۲۶-H (از آبراهه نمونه ۶۱۷) و SN-۱۰۲۷-H (از آبراهه نمونه ۶۱۸) برداشت شده است که در نمونه اولی سیلیکاتهای آتره و در نمونه دومی هماتیت و پیروکسن مقادیر شایان توجهی را از خود نشان داده اند.

از زونهای میترالیزه در این محدوده نیز سه نمونه برداشت شده است که عبارتند از: نمونه SN-M۸۲۶ که از برشهای ولکانیکی که در زیر تراشهای رودخانه ای قرار داشتند، برداشت شده است. نمونه مذکور نسبت به عنصر Ni از خود مقدار شایان توجهی نشان داده است. نمونه SN-M۸۲۷ از یک زون لیسونیتی در بالای آبراهه نمونه SN-۶۱۷ برداشت شده است و نمونه SN-M۸۲۵ که از لایه های قرمزرنگ (ژاسب یا رادیولاریت) در این محدوده برداشت شده است و مقادیر شایان توجهی از As و Cu را از خود نشان داده است.

نمونه SN-۶۳۷

این نمونه به مختصات جهانی (۴۰۲۱۵۹۰ و ۵۵۴۳۲۲) از منطقه شمال غرب

سدید و غرب مزرعه هویزار در جنوب بیونق برداشت شده است. واحدهای سنگی واقع در بالادست آبراهه محل برداشت این نمونه شامل برش ولکانیکی سیلیسی شده، بازالت اوژیت دار، آهک پلاژیک و ولکانیکهای مافیک می‌باشد. در این محدوده و با مقیاس کارهای صحرایی آتراسیونهای پروپیلیتی، هماتیتی و کلریتی دیده شده است. در آبراهه محل برداشت نمونه فوق، نمونه کانی سنگین SN-۶۳۷-H برداشت شده است. همچنین از لایه‌های باریت سیلیسی در این منطقه نمونه مینرالیزه SN-M۸۲۹ برداشت شده است.

نمونه‌های SN-۴۹۳ و SN-۴۹۴

نمونه SN-۴۹۳ به مختصات جهانی (۴۰۲۹۳۲۴ و ۵۵۳۵۹۸) و نمونه SN-۴۹۴ به مختصات جهانی (۴۰۲۹۲۱۷ و ۵۵۳۴۳۰) از منطقه غرب افغانگ و شمال و شمال غرب کوه‌سیاه برداشت شده‌اند. واحدهای سنگی بالادست آبراهه محل برداشت این نمونه‌ها شامل بازالت، آندزیت، برش ولکانیکی، آگلومرا، سرپانتینیت‌های آزبستی، هارزبورگیت، توده‌های نفوذی نیمه عمیق و گابرو می‌باشد. آتراسیونهای مشاهده در این محل با مقیاس کارهای صحرایی عبارت از سیلیسیفیکاسیون، پروپیلیتی، آرژیلیتی، سریسیتی و کلریتی می‌باشد. از این محدوده چهار نمونه کانی سنگین به شماره‌های SN-۴۹۲-H کلریتی می‌باشد. وجود کانی‌های طلا و کوولین را نشان داده است و نیز در نمونه SN-۴۹۲-H وجود کانی‌های طلا و کوولین را نشان داده است و نیز در نمونه SN-۱۰۲۸-H سرب آزاد دیده شده است. دو نمونه مینرالیزه به شماره‌های SN-M۸۳۰ و SN-۱۰۲۸-H به شرح زیر از این منطقه برداشت شده است:

نمونه SN-M۸۵۰ از قطعات سیلیسی شده، در منطقه برداشت شده است و مقداری قابل توجهی از عنصر Ni و As از خود نشان داده است. نمونه دیگر به شماره SN-M۸۳۱ از

زونهای دارای آتراسیون هماینی، لیمونیتی برداشت شده و مقدار شایان توجهی از As از خود نشان داده است.

منطقه جنوب جمال آباد

این منطقه که در جنوب جمال آباد و غرب نودهاریاب قرار دارد شامل چهار نمونه ژئوشیمیایی بشرح زیر می باشد:

نمونه SN-۵۲۴ به مختصات جهانی (۴۰۳۷۲۶۸ و ۵۵۳۸۵۰)، نمونه SN-۵۲۵ به مختصات جهانی (۴۰۹۶۵۱۵ و ۵۵۳۴۶۶)، نمونه SN-۵۲۶ به مختصات جهانی (۴۰۳۶۴۰۳ و ۵۵۳۶۷۵) و نمونه SN-۵۲۷ به مختصات جهانی (۴۰۳۶۴۷۹ و ۵۵۲۸۸۲). واحدهای سنگی واقع در بالادست آبراهه های محل برداشت نمونه های فوق الذکر شامل سری سنگهای ولکانیکی فلزیک تا مافیک و بازلهای جوان با سن کواترنر می باشند. در محدوده مذکور و در مقیاس کارهای صحرایی آتراسیونهای لیمونیتی و هماینی دیده شده است. نمونه های فوق نسبت به عناصر As ، Pb و Sb مقادیر مقابل ملاحظه ای از خود نشان داده اند. از این محدوده سه نمونه کانی سنگین برداشت شده است که شماره های آنها عبارت از SN-۵۲۴-H، SN-۵۲۷-H، SN-۱۰۳۱-H می باشد. نمونه SN-۵۲۴-H مقادیر قابل توجهی از هماینی و پیریت از خود نشان داده است و برای نمونه SN-۵۲۷-H نیز وجود آرسنوفیریت و اسمیت زونیت گزارش شده است. همچنین برای نمونه H-۱۰۳۱ SN-۵۲۷ مقدار قابل توجهی از اکسید منگنز گزارش شده است.

نمونه SN-۴۴۹

این نمونه با مختصات جهانی (۴۰۳۷۳۰۵ و ۵۵۱۵۶۱) از منطقه جنوب غرب

جمال آباد و جنوب شرق برغمد برداشت شده است. واحدهای سنگی واقع در بالادست آبراهه محل برداشت این نمونه شامل سری ولکانیکی مافیک تا فلسیک، آمبر، گابروی پگماتیتی و توده‌های نیمه عمیق فلسیک می‌باشد. همچنین آتراسیون پروپیلیتی در مقیاس کار صحرایی در منطقه دیده شده است. گزارش آزمایشگاه و بررسی‌های آماری مقدار قابل ملاحظه‌ای از عنصر Ti برای این نمونه نشان داده است. از این منطقه نمونه کانی سنگین $SN-449-H$ برداشت شده است که مقدار قابل توجهی منیتیت و تیتان را از خود نشان داده است.

نمونه $SN-660$

این نمونه با مختصات جهانی (۴۰۲۰۶۴ و ۵۵۸۵۶۱) از منطقه شمال شرق سدید و اطراف میرحسین برداشت شده است. واحدهای سنگی واقع در بالادست آبراهه محل برداشت این نمونه شامل ولکانیکهای مافیک تافلسفیک، آمبر سیلیسی شده، آهک پلازیک، شیست سیز، گابروی پگماتیتی حاوی قطعات سیلیس، برش ولکانیکی، آندزیت، هارزبورگیت، چرت حاوی منگنز، آهک نومولیت دار و رگه‌های سیلیسی با بلورهای اتومورف می‌باشد. در این محدوده و با مقیاس کار صحرایی آتراسیون سیلیسی دیده شده است. نمونه فوق مقادیر قابل ملاحظه‌ای از عناصر Co , Zn , Cr , Mn و Ni را از خود نشان داده است. از این آبراهه نمونه کانی سنگین $SN-660-H$ برداشت شده است که مقادیر شایان توجهی از کانی‌های کرومیت، هماتیت، منیتیت و اکسید منگنز از خود نشان داده است. همچنین از این محدوده و از زونهای مینرالیزه دو نمونه بشرح زیر برداشت شده است. نمونه $SN-M834$ از خاکپایی برداشت شده که در مقیاس صحرایی در آنها کلریت شناسایی شده است. این نمونه مقادیر قابل ملاحظه‌ای از عناصر Cr و Ni را

خود نشان داده است. همچنین از چرتهاهای سیلیسی در این محدوده نمونه مینرالیزه SN-M835 برداشت شده است که نسبت به عناصر Fe , Ni و As مقادیر قابل توجهی از خود نشان داده است.

نمونه ۴۹۵ SN

این نمونه به مختصات جهانی (۵۴۷۶۳۹ و ۴۰۳۸۹۴۵) از منطقه شمال روتای یید برداشت شده است. واحدهای سنگی واقع در بالادست آبراهه محل برداشت این نمونه شامل بازالت‌های جوان، برش سیلیسی و داسیت برشی شده حاوی پلاژیوکلاز بارگه‌های سیلیسی و شامل منگنز می‌باشد. آتراسیونهای مشاهده شده در محدوده این نمونه در مقیاس کار صحرایی عبارت از لیمونیت و هماتیت می‌باشد. نمونه مذکور مقدار قابل ملاحظه‌ای از Hg را از خود نشان داده است. نمونه کانی سنگین SN-495-H از محل برداشت نمونه ژئوشیمیابی فوق برداشت شده است که مقدار شایان توجیهی پیروکسن در آن گزارش شده است. همچنین از زونهای مینرالیزه در این منطقه نمونه SN-M836 برداشت شده است که مقدار قابل ملاحظه‌ای از As در آن گزارش شده است.

نمونه ۶۵۹ SN

این نمونه به مختصات جهانی (۵۶۰۱۰۸ و ۴۰۲۵۲۷۸) از منطقه شمال شرق سدید و شرق مزرعه کلاته بابا برداشت شده است. واحدهای سنگی واقع در بالادست آبراهه محل برداشت این نمونه شامل آندزیت، دیاباز، هارزبورگیت، رگه‌های منیزیتی و برش ولکانیکی می‌باشد. آتراسیونهای این منطقه و در مقیاس کار صحرایی از نوع سیلیسی، لیمونیتی و سرپائنتینی تشخیص داده شده‌اند. گزارش آزمایشگاه و بررسی‌های

آماری مقدار قابل ملاحظه‌ای از عنصر Ti را برای نمونه فوق نشان داده است. از محدوده برداشت این نمونه، نمونه کانی سنگین $SN-658-H$ برداشت شده است که مقدار قابل ملاحظه‌ای از کانی‌های منیتیت و کرومیت را از خود نشان داده است.

نمونه $SN-663$

این نمونه به مختصات جهانی (۴۰۲۲۹۲۲ و ۵۵۹۷۰۸) از منطقه شمال شرق سدید و شمال کلاته حاج داوری برداشت شده است. واحدهای سنگی واقع در بالادست آبراهه محل برداشت این نمونه شامل آمبر، بازالت، زئولیت اسفلولیتی در آندزیتها بهمراه آثاری از مالاکیت و باریت می‌باشد. نمونه ژئوشیمیایی فوق مقادیر قابل ملاحظه‌ای از عنصر Ti ، Ba از خود نشان داده است. از محدوده برداشت این نمونه، نمونه کانی سنگین $SN-1032-H$ برداشت شده است که مقادیر قابل ملاحظه‌ای از کانی‌های هماتیت، منیتیت، پیروکسن و سیلیکاتهای آلتره از خود نشان داده است.

نمونه $SN-303$

این نمونه با مختصات جهانی (۴۰۲۹۶۴۹ و ۵۶۵۴۰۰) از شمال دیوان در و شرق طبس برداشت شده است. واحدهای سنگی واقع در بالادست آبراهه محل برداشت این نمونه شامل برش سیلیسی - ولکانیک فلزیک (احتمالاً تراکیت)، توف اسیدی بهمراه آثاری از مالاکیت و منگنز می‌باشد. در این منطقه و با مقیاس کارهای صحرایی آلتراسیونهای سیلیسی، لیمونیتی، هماتیتی و کلریتی شناسایی شده است. در این منطقه نقشه‌های ژئوفیزیک هوایی وجود یک توده نفوذی نیمه عمیق را نشان داده است. نمونه فوق نسبت به عناصر As و Hg مقدار قابل ملاحظه‌ای از خود نشان داده است. از این

محدوده دو نمونه کانی سنگین به شماره های SN-۱۰۳۳-H و SN-۳۰۲-H برداشت شده است که نمونه اول مقدار قابل ملاحظه ای از هماتیت را از خود نشان داده است و مقدار پیروکسن برای نمونه SN-۳۰۲-H مقدار قابل توجهی است. همچنین از زونهای مینرالیزه در این محدوده تعداد سه نمونه مینرالیزه برداشت شده است که بشرح زیر می باشند.

نمونه SN-M837 از یک زون آلتره برداشت شده است که نسبت به عنصر As مقدار قابل ملاحظه ای از خود نشان داده است. نمونه SN-M838 که از سیستم پرشدگی شکستگی ها در این محدوده برداشت شده است که نسبت به عناصر Ni, Mn, Co, Fe و As مقادیر قابل ملاحظه ای از خود نشان داده است. نمونه SN-M839 که از توفهای اسیدی سیلیسی - برشی و ولکانیکهای اسیدی برداشت شده و نسبت به Ni و As مقادیر قابل ملاحظه ای نشان داده است.

نمونه های SN-۳۱۶، SN-۳۱۷ نمونه های SN-۳۱۶ به مختصات جهانی (۴۰۳۲۸۳۰ و ۵۶۴۷۰۶) و SN-۳۱۷ به مختصات جهانی (۴۰۳۱۹۱۰ و ۵۶۴۸۹۶) از منطقه شرق قارزی، غرب حسن آباد و جنوب نصرآباد برداشت شده است. واحدهای سنگی واقع در بالادست آبراهه های محل برداشت نمونه های فوق شامل آندزیت دگرسان نشده (Fresh)، برش سیلیسی، توف اسیدی، برش ولکانیکی، اپال و کلسودئن می باشد. آلتاسیونهایی که در محدوده برداشت این نمونه ها و با دقت کار صحرایی مشاهده شده اند عبارت از سیلیسی شدن و هماتیتی شدن می باشند. گزارش آزمایشگاه و بررسی های آماری، مقادیر قابل ملاحظه ای را برای

نمونه های فوق نسبت به عنصر Pb نشان داده است.

نمونه کانی سنگین $H-316$ از این محل برداشت شده است. همچنین از زونهای مینرالیزه در این محدوده، دونمونه سنگی برداشت شده است که یک نمونه بشماره $SN-M84$ از سیستم پرشدگی درزه های یک واحد برشی و نمونه دیگر بشماره $SN-M841$ از واحدهای مینرالیزه جنوب نمونه ژئوشیمیایی $H-317$ گرفته شده است.

نمونه های $SN-299$ و $SN-300$

نمونه های $SN-299$ به مختصات جهانی ($40^{\circ}31'45''$ و $56^{\circ}19'49''$) و $SN-300$ به مختصات جهانی ($40^{\circ}31'09''$ و $56^{\circ}09'40''$) از منطقه جنوب شرق حسن آباد و شمال شرق دیواندر برداشت شده است. واحد سنگی واقع در بالادرست آبراهه های محل برداشت نمونه های فوق برش ولکانیکی است که تا حدی سیلیسی شده است. نمونه های فوق نسبت به عنصر Pb مقدار قابل ملاحظه ای از خود نشان داده اند. از آبراهه محل برداشت نمونه های فوق یک نمونه کانی سنگین بشماره $H-299$ برداشت شده است. از زونهای مینرالیزه در این منطقه دو نمونه برداشت شده است که نمونه اول بشماره $SN-M842$ از برش ولکانیکی در این محدوده گرفته شده و مقادیر شایان توجهی از Cr و As از خود نشان داده است. نمونه مینرالیزه دیگر بشماره $SN-M843$ از خاکهایی که در مقیاس صحرایی آرژیلیتی شناسایی شده بودند، برداشت شده است.

نمونه های $SN-552$ و $SN-553$

نمونه های $SN-552$ به مختصات جهانی ($40^{\circ}19'47''$ و $56^{\circ}27'45''$) و $SN-553$ به مختصات ($40^{\circ}19'21''$ و $56^{\circ}21'36''$) از اطراف روستای سنگ سفید برداشت شده است.

واحدهای سنگی واقع در بالادست آبراهه‌های محل برداشت نمونه‌های فوق شامل دایک دیابازی، پیلولاوا، بازالتلای سرپاتینی شده، هارزبورگیت، گابریوی کاتاکلاستیک و بازالتلای آلتره که گاهآ هماتیتی شده‌اند، می‌باشند. نقشه‌های ژئوفیزیک هوایی وجود یک توده نفوذی نیمه عمیق را در این محدوده مشخص کرده است. همچنین آتراسیونهای سیلیسی، آرژیلیتی، هماتیتی، کلریتی و سرپاتینیتی در مقیاس کار صحرایی در این منطقه شناسایی شده است.

بر طبق گزارش آزمایشگاه و بررسی‌های آماری، نمونه‌های فوق نسبت به عنصر Pb مقادیر قابل ملاحظه‌ای را از خود نشان داده‌اند. دو نمونه کانی سنگین از آبراهه‌های محل برداشت نمونه‌های فوق برداشت شده است که شماره آنها عبارت از $SN-553-H$ و $SN-1039-H$ می‌باشد که نمونه نخست ($SN-553-H$) مقادیر قابل ملاحظه‌ای از کانیهای هماتیت، منیتیت و پیروکسن از خود نشان داده است. همچنین از سیستم پرشدگی درزه‌ها در این منطقه دو نمونه مینرالیزه به شماره‌های $SN-M864$ و $SN-M865$ گرفته شده است. در نمونه $SN-M864$ مقدار قابل ملاحظه‌ای Cr مشاهده شده است.

نمونه ۶۹۱

نمونه ۶۹۱ به مختصات جهانی (۴۰۱۶۸۷۵ و ۵۶۳۴۰) از غرب و شمال غرب شباس و جنوب غرب رازقند برداشت شده است. واحدهای سنگی که در بالادست آبراهه محل برداشت نمونه فوق قرار دارند عبارت از بازالتلای سرپاتینی شده، بازالتلای پیلولاوا، گابریوی کاتاکلاستیک، هارزبورگیت، گابریوی پگماتیتی و دونیت می‌باشد. نقشه‌های ژئوفیزیک هوایی وجود یک توده نفوذی نیمه عمیق را در این محدوده مشخص کرده‌اند. همچنین آتراسیونهای هماتیتی و سرپاتینیتی در مقیاس کارهای صحرایی در این

محدوده دیده شده‌اند. نمونه فوق نسبت به عناصر Ba و Zn مقادیر قابل ملاحظه‌ای نشان داده است. دو نمونه کانی سنگین به شماره‌های $H-1040$, $SN-691-H$ از این محدوده برداشت شده است که نمونه دومی ($SN-691-H$) مقدار قابل توجهی از کانی کرومیت را نشان داده است. همچنین از زونهای مینرالیزه در این محدوده دو نمونه جهت آزمایش برداشت شده است. نمونه $SN-M867$ که از رخنمونهای لیمونیتی و هماتیتی در این محدوده برداشت شده مقادیر قابل ملاحظه‌ای از عناصر Au , Ni , Co و As را خود نشان داده است و نمونه دیگر بشماره $SN-M866$ نیز مقدار شایان توجهی از Ni را بهمراه داشته است.

نمونه‌های منطقه آنومال جنوب شرق رازقند

این منطقه که در شرق و جنوب شرق رازقند، شمال‌شرق شباش و شمال و غرب کوه جوالدوز قرار دارد شامل پنج نمونه ژئوشیمیایی می‌باشد. واحدهای زمین‌شناسی واقع در این محدوده شامل هارزبورگیت، سرپانتنینیت، بازالت، گابروی پگماتیتی، آهک میکریتی گابروهای زیرین (*Low Level Gabbro*) و دونیت می‌باشد. نقشه‌های ژئوفیزیک هوایی وجود یک توده نفوذی نیمه عمیق را در محدوده این منطقه آنومال مشخص کرده است. همچنین در مقیاس کارهای صحرایی آتراسیونهای هماتیتی و سرپانتنینیتی در این محدوده دیده شده است.

نمونه‌های ژئوشیمیایی برداشت شده از این منطقه بشرح زیر می‌باشند:

نمونه $SN-682$ به مختصات جهانی (۵۶۶۴۵۲ و ۴۰۱۸۸۹۳) که مقدار قابل ملاحظه‌ای از عنصر Sn را از خود نشان داده است.

نمونه $SN-683$ به مختصات جهانی (۵۶۴۹۷۹ و ۴۰۱۸۵۶۰) که در این نمونه نیز

مقدار قابل توجهی از عنصر Sn گزارش گردیده است.

نمونه SN-۶۸۹ به مختصات جهانی (۵۶۰۳۱ و ۴۰۱۷۴۱۳) که نسبت به عناصر

Pb و Zn , Sn مقادیر شایان توجهی را از خود نشان داده است.

نمونه SN-۶۷۶ به مختصات جهانی (۵۶۴۴۶۷ و ۴۰۲۰۵۳۶) که مقدار نسبتاً

بالائی Ba در آن گزارش شده است.

و نمونه SN-۶۸۰ به مختصات جهانی (۵۶۴۲۱۰ و ۴۰۱۹۵۴۴) که نسبت به عنصر

Ti مقدار قابل ملاحظه‌ای از خود نشان داده است. همچنین تعداد چهار نمونه کانی سنگین

بشرح زیر از این منطقه برداشت شده است.

نمونه SN-۶۷۶H که نسبت به کانیهای کرومیت، هماتیت، ایلمنیت، منیتیت،

اکسید منگنز، پیروکسن و سیلیکاتهای آلتره مقادیر قابل ملاحظه‌ای از خود نشان داده

است.

نمونه H-SN-۶۸۳ که نسبت به کانیهای آمفیبول، کرومیت، گارنت، هماتیت،

منیتیت، اکسید پیریت، پیروکسن و روتیل مقادیر قابل ملاحظه‌ای را از خود نشان داده

است.

نمونه H-SN-۶۸۵ که مقادیر قابل توجهی از آمفیبول، هورنبلندر، اکسید پیریت،

پیروکسن و سیلیکاتهای آلتره را بهمراه داشته است.

نمونه H-SN-۶۸۹ که در این نمونه نیز مقادیر شایان توجهی از آمفیبول، هورنبلندر،

اکسید پیریت و پیروکسن گزارش شده است.

نمونه SN-۳۶۵

نمونه SN-۳۶۵ به مختصات جهانی (۵۵۶۷۸۴ و ۴۰۳۱۸۹۸) از منطقه شمال

افچنگ برداشت شده است. واحدهای سنگی واقع در بالادست آبراهه محل برداشت این نمونه شامل سری های اولترامافیک و سنگهای حد واسط، رسوبات شیمیایی و رسوبات دانه ریز می باشد. نمونه فوق نسبت به عنصر Hg مقدار قابل ملاحظه ای از خود نشان داده است. از این محدوده نمونه کانی سنگین $H-SN-369$ نیز برداشت شده است.

نمونه $SN-385$

نمونه $SN-385$ به مختصات جهانی ($40^{\circ}35'22''$ و $55^{\circ}40'65''$) از منطقه غرب نوده ارباب و جنوبشرق جمال آباد برداشت شده است. واحدهای سنگی که در بالادست آبراهه محل برداشت نمونه مذکور قرار دارند شامل سری های اولترامافیک و حد واسط و همچنین رسوبات دانه ریز می باشند. از این منطقه نمونه کانی سنگین $H-SN-385$ برداشت شده است.

نمونه $SN-446$

این نمونه به مختصات جهانی ($40^{\circ}37'11''$ و $55^{\circ}18'68''$) از جنوب و جنوب غرب جمال آباد برداشت شده است. واحدهای سنگی واقع در بالادست آبراهه محل برداشت این نمونه شامل سنگهای اسیدی و حد واسط می باشد. در محل برداشت این نمونه، یک نمونه کانی سنگین به شماره $H-SN-446$ نیز برداشت شده است.

نمونه $SN-462$

این نمونه به مختصات جهانی ($40^{\circ}37'50''$ و $54^{\circ}49'40''$) از منطقه ای در شرق بید و جنوب برغمد برداشت شده است. واحدهای سنگی واقع در بالادست آبراهه محل برداشت

این نمونه شامل هارزبورگیت، سری سنگهای اولترامافیک و حدواسط، سنگهای رسوبی دانه‌ریز و دانه درشت می‌باشد. نمونه مذکور نسبت به عناصر Sn و Hg مقدار قابل ملاحظه‌ای از خود نشان داده است. از محل برداشت این نمونه، یک نمونه کانی سنگین نیز بشماره $SN-462-H$ برداشت شده است که آن نیز مقدار قابل توجهی از کانی هماتیت از خود نشان داده است.

نمونه $SN-603$

نمونه $SN-603$ به مختصات جهانی ($40^{\circ}21'54''$ و $54^{\circ}49'12''$) از آلوویوم‌های جنوبشرق کراب و جنوب بلاش آباد برداشت شده است. نمونه فوق نسبت به عنصر Ni مقدار قابل ملاحظه‌ای از خود نشان داده است. در محل برداشت این نمونه، یک نمونه کانی سنگین بشماره $SN-603-H$ برداشت شده است. این نمونه کانی سنگین نسبت به کانیهای هماتیت، منیتیت، پیروکسن و سیلیکاتهای آلتله مقادیر قابل ملاحظه‌ای از خود نشان داده است.

نمونه $SN-622$

نمونه $SN-622$ به مختصات جهانی ($40^{\circ}21'27''$ و $55^{\circ}40'5''$) از منطقه جنوب غرب قزوین شمال غرب سدید برداشت شده است. واحدهای سنگی واقع در بالادست محل برداشت این نمونه شامل هارزبورگیت و سنگهای سری حدواسط می‌باشد. این نمونه طبق گزارش آزمایشگاه و بررسی‌های آماری مقدار قابل ملاحظه‌ای را نسبت به عنصر Sn از خود نشان داده است. از محل برداشت این نمونه، نمونه کانی سنگین $SN-622-H$ برداشت شده است که مقدار قابل توجهی پیروکسن بهمراه داشته است.

نمونه های آلوویوم جنوب غرب سدید

از آلوویوم های جنوب و جنوب غرب سدید تعداد سه نمونه ژئوشیمیایی و سه نمونه کانی سنگین برداشت شده است که بشرح زیر می باشند:

نمونه های ژئوشیمیایی SN-۶۳۸ به مختصات جهانی (۴۰۱۹۳۶۵ و ۵۵۳۷۸۷) و SN-۶۳۹ به مختصات جهانی (۴۰۱۷۹۰۳ و ۵۵۶۴۴۰) و نمونه SN-۶۴۰ به مختصات جهانی (۴۰۱۵۹۴۱ و ۵۵۸۰۷۴) می باشد. این سه نمونه مقادیر قابل ملاحظه ای از Ni خود نشان داده اند. همچنین تعداد سه نمونه کانی سنگین از محله ای برداشت نمونه های ژئوشیمیایی فوق گرفته شده است که عبارتند از: نمونه SN-۶۳۸-H که مقادیر شایان توجیهی از کانیهای ایلمنیت، اپیدوت، اکسید پیریت و پیروکسن را بهمراه داشته است. نمونه SN-۶۳۹-H که نسبت به کانیهای هماتیت، منیتیت، اکسید پیریت، پیروکسن و سیلیکاتهای آتره مقادیر قابل ملاحظه ای را از خود نشان داده است و همچنین آثار مس طبیعی در آن دیده شده است و نمونه SN-۶۴۰-H که مقادیر قابل توجیهی از کانیهای هماتیت، منیتیت و پیروکسن را بهمراه داشته است.

نمونه SN-۷۲۶

این نمونه با مختصات جهانی (۴۰۱۵۳۳۹ و ۵۶۳۵۱۳) از آلوویوم های جنوب شرق سدید برداشت شده است که مقدار قابل ملاحظه ای از عنصر Zn را از خود نشان داده است. همچنین از محل برداشت این نمونه یک نمونه کانی سنگین برداشت شده است که مقادیر قابل ملاحظه ای از هماتیت، هورنبلند، منیتیت، پیروکسن و سیلیکاتهای آتره را بهمراه داشته است.

نمونه های ۱/۵۰۰۰ رباط سرپوش

نمونه های آنومالی منطقه جنوب کلاته فیضی

از منطقه جنوب کلاته فیضی و شمال شرق چشمه آوش در حاشیه شرقی نقشه،

سه نمونه ژئوشیمیایی برداشت شده است.

نمونه SR-۴۳۶ به مختصات جهانی (۳۹۹۲۲۴۷ و ۵۸۸۸۹۰)، نمونه SR-۴۳۹ به

مختصات جهانی (۳۹۹۲۷۰۹ و ۵۸۸۰۶۵) و نمونه SR-۴۴۱ به مختصات جهانی

(۳۹۹۲۹۹۳۳ و ۵۸۷۸۳۳). واحدهای سنگی واقع در بالادست آبراهه های محل برداشت

نمونه های فوق الذکر شامل توف های اسیدی، بازلهای جوان کواترنر که سیلیسی شده اند،

برش ولکانیکی و رگجه های سیلیسی درون بازلهای می باشد. نقشه های ژئوفیزیک هوایی

وجود گسلهای عمیق را در منطقه نشان داده است. آتراسیونهای سیلیسی، پروپیلیتی،

هماتیتی و کلریتی در مقیاس کارهای صحرایی در منطقه دیده شده اند.

نمونه ژئوشیمیایی SR-۴۴۱ نسبت به عنصر Sb, W, Hg و Ag طبق گزارش

آزمایشگاه و بررسی های آماری، مقادیر قابل ملاحظه ای را از خود نشان داده است. نمونه

SR-۴۳۹ نیز مقدار قابل توجهی را نسبت به عنصر Hg از خود نشان داده است. همچنین

نمونه SR-۴۳۶ نسبت به عنصر Cr مقدار شایان توجهی را دارا می باشد.

از این محدوده تعداد پنج نمونه کانی سنگین بشرح زیر برداشت شده است:

نمونه H-SR-۴۳۸ که مقادیر قابل ملاحظه ای از کانیهای اپیدوت، هماتیت،

ایلمنیت، منیتیت و پیروکسن را از خود نشان داده است.

نمونه H-SR-۴۳۹ که نسبت به کانیهای اپیدوت، هماتیت، ایلمنیت، منیتیت و

پیروکسن مقادیر قابل توجهی را از خود نشان داده است.

نمونه H-SR-۴۳۶ که مقادیر شایان توجهی از کانیهای اپیدوت، هماتیت، ایلمنیت و

پیروکسن را بهمراه داشته است.

نمونه $SR-1034-H$ که نسبت به کانیهای هماتیت، ایلمنیت، منیتیت، اکسید منگنز،

پیروکسن و سیلیکاتهای آلتره مقدار شایان توجهی را از خود نشان داده است.

نمونه $SR-1032-H$ این نمونه نیز مقدار قابل ملاحظه‌ای از کانیهای اپیدوت،

هماتیت، ایلمنیت، منیتیت، اکسید منگنز، اکسید پیریت، پیروکسن، روتیل، زیرکن و سیلیکاتهای آلتره شده را بهمراه داشته است.

همچنین از زونهای میترالیزه در این محدوده تعداد دو نمونه بشرح زیر برداشت شده

است.

نمونه $SR-M845$ که مقدار قابل توجهی از عنصر As را از خود نشان داده است و

نمونه $SR-M844$ که از بازالتها بی که آثار ملاکیت بروی آنها بوده است برداشت شده و

مقدار قابل ملاحظه‌ای از عناصر Ag , As , Au , Mn و Cu را از خود نشان داده است.

نمونه $SR-431$

این نمونه به مختصات جهانی (۳۹۸۸۳۱۹ و ۵۸۹۳۰۹) از شرق چشمه آوش و

شرق چشمه قجر برداشت شده است. واحدهای سنگی واقع در بالادست آبراهه محل

برداشت نمونه فوق شامل آندزیت پر فیری هماتیتی شده، آهک سیلیسی و سنگهای

ولکانیک متوسط تا اسیدی می‌باشد. آتراسیونهای سیلیسی، آرژیلیتی، هماتیتی و کلریتی

با مقیاس کارهای صخرایی در محدوده برداشت این نمونه شناسایی شده‌اند. طبق نتایج

آزمایشگاه و بررسی‌های آماری نمونه فوق نسبت به عنصر Hg مقدار قابل ملاحظه‌ای را

از خود نشان داده است. از محل برداشت نمونه ژئوشیمیایی فوق یک نمونه کانی سنگین

بشماره $SR-431-H$ برداشت شده است که مقدار قابل توجهی از گارنت، هماتیت، اپیدوت،

ایلمنیت، منیتیت، و پیروکسن را از خود نشان داده است.

از زونهای مینرالیزه در این محدوده دو نمونه برداشت شده است. نمونه SR-M857

از سیستم پرشدگی شکستگی ها گرفته شده و نمونه SR-M858 که از قطعات آلترا شده آندزیت ها برداشت شده است.

نمونه های آنمالم شمال چشمی آوش

این منطقه شامل هشت نمونه ژئوشیمیایی بشماره و مختصات زیر می باشد:

SR-۴۰۸ (۵۸۴۶۲۴ و ۳۹۹۴۲۱۲)، SR-۴۰۹ (۵۸۴۶۲۴ و ۳۹۹۵۲۶۵)،

SR-۴۱۰ (۵۸۴۷۱۹ و ۳۹۹۳۸۹۲) و SR-۴۱۲ (۵۸۴۴۵۱ و ۳۹۹۳۴۱۴)،

SR-۴۱۳ (۵۸۴۷۵۷ و ۳۹۹۳۴۲۴) و SR-۴۱۴ (۵۸۴۶۶۸ و ۳۹۹۲۱۶۶)،

SR-۴۱۶ (۵۸۴۶۸۵ و ۳۹۹۲۲۱۹) و SR-۴۱۷ (۵۸۴۸۹۱ و ۳۹۹۲۰۹۳)،

واحدهای سنگی که در این محدوده وجود دارند شامل هورنفلس، توده های نفوذی گرانودیبوریتی، برش کاتاکلاستیک، ولکانیکهای سیلیسی، شیل متامorf و آهکهای میکریتی سفیدرنگ در کنتاكت با برش ولکانیکی می باشد. در این محدوده با مقیاس کارهای صحرایی آلتراسیونهای پروپیلیتی، آرژیلیتی، لیسونیتی، هماتیتی، کلریتی و پتاسیک دیده شده است. نمونه های ژئوشیمیایی این محدوده، مقادیر قابل ملاحظه ای را نسبت به عناصر مختلف از خود نشان داده اند که بطور جداگانه برای هر عنصر بشرح زیر می باشند.

برای عنصر Fe نمونه های SR-۴۱۴، SR-۴۱۳، SR-۴۱۲، SR-۴۱۰، SR-۴۰۹ و

SR-۴۱۶

برای عنصر Co نمونه های SR-۴۱۶ و SR-۴۱۳

برای عنصر Mn نمونه های $SR-409$ ، $SR-412$ ، $SR-413$ و $SR-414$

برای عنصر Bi نمونه های $SR-408$ و $SR-410$

برای عنصر Hg نمونه های $SR-408$ ، $SR-410$ و $SR-417$

برای عنصر V نمونه های $SR-409$ ، $SR-412$ ، $SR-413$ ، $SR-414$ و $SR-416$

برای عنصر Ag نمونه های $SR-408$ ، $SR-409$ و $SR-410$

برای عنصر Ti نمونه $SR-416$

و برای عنصر Sb نمونه $SR-408$

تعداد ۵ نمونه کانی سنگین از این منطقه برداشت شده است. نمونه $SR-408-H$ که

برای کانی های گارنت، کلسیت، هماتیت، منیتیت، اکسید پیریت، پیروکسن، اسفن، زیرکن و سیلیکاتهای آتره مقادیر قابل ملاحظه ای را نشان داده است. نمونه $SR-410-H$ که نسبت به کانی های گارنت، هماتیت، منیتیت و اسفن مقادیر شایان توجهی را بهمراه داشته است. نمونه $SR-414-H$ برای کانی های آمفیبول، اپیدوت، گارنت، هماتیت، ایلمنیت، منیتیت، پیروکسن و سیلیکاتهای آتره مقادیر ملاحظه ای را نشان می دهد. نمونه $SR-1038-H$ که برای کانی های کرومیت و اپیدوت مقادیر قابل ملاحظه ای را دارد بوده است. و نمونه $SR-404-H$ که مقادیر شایان توجهی برای کانی های آمفیبول، کلسیت، گارنت، هماتیت، منیتیت، اکسید پیریت، پیروکسن و سیلیکاتهای آتره از خود نشان داده است.

در محدوده فوق الذکر و از زونهای مینرالیزه تعداد سه نمونه مینرالیزه، بشرح زیر برداشت شده است: نمونه $SR-MA60$ که از یک زونی که در مقیاس کار صحرایی زون پتاسیک شناسایی شده است، برداشت شده و مقدار قابل ملاحظه ای از عنصر As بهمراه داشته است. از یک زون کن tactی ما بین برشهای ولکانیکی و آهکها نمونه مینرالیزه

برداشت شده که مقدار قابل ملاحظه ای از عنصر Al از خود نشان داده است و SR-M861

نمونه SR-M863 نیز از دیابازهای منطقه برداشت شده است.

نمونه های SR-272 و SR-274

نمونه های SR-272 به مختصات جهانی (۳۹۹۳۴۲۹ و ۵۷۹۵۸۳) و SR-274 به

مختصات جهانی (۳۹۹۲۹۳۳ و ۵۸۰۵۷۳) از محدوده شمال شرق چشم آوش و غرب و

جنوب غرب کلاته فیضی برداشت شده است. واحدهای سنگی که در بالادست آبراهه های

محل برداشت نمونه های فوق قرار دارند شامل سنگهای نفوذی (گرانو دیوریت و

تونالیت)، سنگهای خروجی شامل تراکیت و آندزیت، دایکهای دیابازی، مرمریت و آهک

میکریتی و زونهای اسکارنی با آثار اندکی از پیریت و مالاکیت می باشد. آتراسیونهای

سیلیسی و پروپیلیتی در مقیاس کار صحرایی در این محدوده شناسایی شده اند. نمونه های

فوق نسبت به عناصر Ti , FE , Mn و V مقدار قابل ملاحظه ای را از خود نشان داده اند.

یک نمونه کانی سنگین بشماره SR-272-H و یک نمونه از زونهای مینرالیزه بشماره

SR-M862 از این محدوده برداشت شده است.

نمونه SR-286

نمونه SR-286 با مختصات جهانی (۳۹۹۷۷۶۱ و ۵۸۲۱۱۸) از غرب کلاته قیص

و شرق شیراحمد برداشت شده است. واحدهای سنگی بالادست آبراهه محل برداشت نمونه

فوق شامل سنگهای خروجی نظری آندزیت. سنگهای حدواسط و رسوبات دانه ریز

می باشد. نقشه ژئوفیزیک هوایی وجود یک گسل عمیق را در بالادست آبراهه مذکور

مشخص کرده است. نمونه ژئوشیمیایی فوق مقدار قابل ملاحظه ای از عنصر Cr را بهمراه

داشته است. از این محدوده یک نمونه کانی سنگین بشماره SR-۱۰۳۶ برداشت شده که مقدار نسبتاً قابل توجهی از اکسید منگنز را بهمراه داشته است.

نمونه ۶۹۴

نمونه ۶۹۴ به مختصات جهانی (۵۸۴۳۹۱ و ۳۹۹۸۷۱۷) از محدوده غرب کلاتنه فیضی، جنوب حاجی شمسا و جنوب کالشور برداشت شده است. واحدهای سنگی که در بالادست آبراهه محل برداشت این نمونه قرار دارند شامل آندزیت، گرانودیوریت حاوی بیوتیت و دیاباز می‌باشد. آتراسیون پروپیلیتی در این محدوده با مقیاس کار صحرایی دیده شده است. این نمونه نسبت به عناصر Fe و V مقادیر قابل توجهی از خود نشان داده است. از این محدوده یک نمونه کانی سنگین به شماره SR-۱۰۳۷ گرفته شده است که نسبت به کانیهای اپیدوت، گارنت، هماتیت، ایلمنیت، منیتیت، اکسید منگنز، پیروکسن و سیلیکاتهای آلتره مقادیر قابل توجهی از خود نشان داده است.

نمونه‌های آلوویوم برگه ۱/۵۰,۰۰۰ ریاط سرپوش

چهار نمونه از نمونه‌های برداشت شده از آلوویومهای برگه ۱/۵۰,۰۰۰ ریاط سرپوش با توجه به گزارشات آزمایشگاه مقادیر قابل ملاحظه‌ای از عناصر مختلف را از خود نشان داده‌اند. مشخصات نمونه‌های فوق بشرح زیر می‌باشد:

نمونه ۷۱۲ به مختصات جهانی (۵۷۵۷۳۴ و ۳۹۹۲۲۴۱) نسبت به عنصر Ti مقدار قابل ملاحظه‌ای را از خود نشان داده است و نمونه کانی سنگین SR-۷۱۲-H نیز که از این محل برداشت شده است مقادیر قابل توجهی از کانیهای هماتیت و ایلمنیت از خود نشان داده است و در آن کانی آمتیست نیز دیده شده است.

نمونه SR-۷۱۳ با مختصات جهانی (۳۹۹۱۸۲۴ و ۵۷۸۲۳۵) مقادیر قابل ملاحظه‌ای از عناصر V , Ti , Mn , Co , Fe و Zn را از خود نشان داده است. نمونه کانی سنگین SR-۷۱۳-*H* که از این مکان برداشت شده است نیز مقادیر قابل توجهی از کانیهای اپیدوت، هماتیت، ایلمنیت، منیتیت، اکسید منگنز، پیروکسن، روتیل، زیرکن و سیلیکاتهای آلتره را بهمراه داشته است.

نمونه SR-۷۱۶ از مختصات جهانی (۳۹۹۷۱۰۲ و ۵۷۵۸۴۹) برداشت شده است و نسبت به عناصر Pb , Ti , Mn , Co , Fe و V مقادیر شایان توجهی را از خود نشان داده است. همچنین نمونه کانی سنگین SR-۷۱۶-*H* که از این محل برداشت شده است مقادیر قابل ملاحظه‌ای از کانیهای هماتیت، ایلمنیت، منیتیت، پیروکسن، زیرکن و سیلیکاتهای آلتره را با خود بهمراه داشته است.

نمونه SR-۷۱۸ از مختصات جهانی (۴۰۰۰۸۰۴ و ۵۷۸۹۴۷) برداشت شده است و نسبت به عناصر Pb , V , Cr , Ti , Mn , Co , Fe از خود غنی‌شدگی نشان داده است. نمونه کانی سنگین SR-۷۱۸-*H* که از این مکان برداشت شده است نسبت به کانیهای هماتیت، ایلمنیت، منیتیت، اکسید منگنز، پیروکسن و سیلیکاتهای آلتره مقادیر قابل توجهی را از خود نشان داده است.

نمونه SR-۴۴۳

نمونه SR-۴۴۳ به مختصات جهانی (۳۹۹۳۴۴۱ و ۵۸۷۵۰۳) از شمال شرق چشمه آوش و جنوب غرب کلاته فیضی برداشت شده است. واحدهای زمین‌شناس واقع در بالادست آبراهه محل برداشت این نمونه شامل سنگهای حدواسط می‌باشد. نمونه کانی سنگین SR-۴۴۳-*H* نیز از این محل برداشت شده است که مقادیر قابل ملاحظه‌ای از

کانیهای هماتیت، ایلمنیت، منیتیت و پیروکسن را بهمراه داشته است.

نمونه های برگه ۱/۵۰,۰۰۰ سبزوار

نمونه SV-۷۸۷

نمونه SV-۷۸۷ به مختصات جهانی (۳۹۸۸۰۴۱ و ۵۴۷۹۵۵) از آلوویوم های منطقه شمال غرب سیدآباد و شرق مزرعه چاه شور برداشت شده است و نسبت به عنصر CO مقدار قابل ملاحظه ای را از خود نشان داده است. نمونه کانی سنگین SV-۷۸۳-H از این منطقه برداشت شده است که مقادیر نسبتاً قابل ملاحظه ای از کانیهای گوتیت، منیتیت و اکسید پیریت را بهمراه داشته است.

نمونه های SV-۷۷۸ و SV-۷۸۰

نمونه SV-۷۷۸ به مختصات جهانی (۳۹۸۸۰۵۰ و ۵۵۴۷۹۷) از آلوویوم های جنوب سبزوار برداشت شده است. همچنین دو نمونه کانی سنگین به شماره های SV-۷۷۸-H و SV-۷۸۰-H از محل برداشت دو نمونه ژئوشیمیابی فوق برداشت شده است. نمونه SV-۷۷۸-H نسبت به کانیهای آمفیبول، اپیدوت، هماتیت، منیتیت، اکسید پیریت و پیروکسن و نمونه SV-۷۸۰-H نسبت به کانیهای اپیدوت، فلدسپار، هماتیت، ایلمنیت، منیتیت، اکسید منگنز، اکسید پیریت، پیروکسن و سیلیکات های آلرہ مقادیر قابل ملاحظه ای را از خود نشان داده اند.

نمونه SV-۷۴۱

نمونه SV-۷۴۱ به مختصات جهانی (۴۰۰۹۰۲۵ و ۵۵۱۰۵۷) از منطقه غرب

خسروجرد و شمال کج در برداشت شده است. آبراهه محل برداشت این نمونه در میان مارن های گچ دار قرار دارد و نمونه فوق نسبت به عناصر Mn و V مقادیر قابل ملاحظه ای از خود نشان داده است. نمونه کانی سنگین $H-741-8V$ نیز از محل برداشت نمونه ژئوشیمیائی فوق برداشت شده است که مقادیر قابل ملاحظه ای از اپیدوت، هماتیت، ایلمنیت، منیتیت، اکسید منگنز، اکسید پیریت و پیروکسن را با خود بهمراه داشته است.

نمونه های برگه ۱/۵۰,۰۰۰ باغجر

نمونه ۴ SB - ۴

نمونه ۴ SB با مختصات جهانی (۴۰۱۸۹۳۲ و ۵۷۰۹۷۶) از منطقه جنوب سلیمانیه و شمال غرب باغجر برداشت شده است. واحدهای سنگی واقع در بالادست آبراهه محل برداشت این نمونه شامل آندزیت، گابروی پگماتیتی، هارزبورگیت، آمبر و توف سیلیسی می باشد. نقشه های ژئوفیزیک هوایی وجود یک توده نفوذی نیمه عمیق را در این منطقه نشان داده است. آتراسیونهای سیلیسی، لیمونیتی، هماتیتی، سرپانتینیتی و کلریتی در مقیاس کارهای صحرایی در این محدوده شناسایی شده اند. نمونه ژئوشیمیایی فوق نسبت به عنصر W مقدار قابل ملاحظه ای از خود نشان داده است. از این مکان یک نمونه کانی سنگین بشماره $H-100-SB$ برداشت شده است. این نمونه نسبت به کانی های آمفیبول، اپیدوت، هورنبلند، منیتیت و پیروکسن مقادیر شایان توجهی را دارا بوده است.

منطقه آنمال غرب باغجر

محدوده مورد نظر که در غرب باغجر و شمال جاده آسفالتی و در نزدیکی کلانه علی عباس قرار دارد شامل پنج نمونه می باشد که همگی آنها مقادیر قابل توجهی از عنصر

Cu را از خود نشان داده‌اند. آدرس نمونه‌های فوق بقرار زیر است:

نمونه SB-۲۹ به مختصات (۴۰۱۶۰۰۶ و ۵۷۱۵۶۳)، نمونه SB-۳۰ به مختصات (۵۷۱۸۴۷ و ۴۰۱۵۷۳۵) نمونه SB-۱۵۳ به مختصات (۵۷۱۸۴۷ و ۴۰۱۵۵۹۳)، نمونه SB-۱۵۵ به مختصات (۵۷۳۲۷۱ و ۴۰۱۵۶۹۸) و نمونه SB-۱۵۶ به مختصات (۵۷۳۵۴۴ و ۴۰۱۵۹۴۸).

واحدهای سنگی واقع در بالادست آبراهه‌های محل برداشت نمونه‌های فوق شامل گرانیت، آمبر، آندزیت و آندزیت آلتره، گابروهای پگماتیتی، زونهای پلاژیوگرانیتی و برش سیلیسی می‌باشد. در سرزمین و با مقیاس کارهای صحرایی آتراسیونهای آرژیلیتی و هماتیتی و کلریتی دیده شده‌اند. سه نمونه کانی سنگین از این محدوده برداشت شده است.

نمونه H-SB-۲۹ که در آن مس طبیعی مشاهده شده است و نسبت به پیروکسن مقدار قابل ملاحظه‌ای داشته است. نمونه H-SB-۳۰ که مقادیر قابل ملاحظه‌ای از اکسید پیریت و پیروکسن بهمراه داشته است و نمونه H-SB-۱۰۰ که نسبت به کانیهای اپیدوت و اکسید پیریت مقادیر قابل توجهی را از خود نشان داده است. همچنین از زونهای میترالیزه در این محدوده تعداد سه نمونه جهت آنالیز بشرح زیر برداشت شده است. از ژاسب‌های منطقه یک نمونه به شماره SB-M۸۰۱ برداشت شده است که نسبت به عنصر Ni مقدار قابل توجهی را دارا بوده است. نمونه SB-M۸۰۲ که از قطعات حاوی ملاکیت و آزویریت برداشت شده که مقدار قابل ملاحظه‌ای از Cu را از خود نشان داده است و در آخرین نمونه بشماره SB-M ۸۰۳ از پلاژیوگرانیت‌های منطقه برداشت شده است.

نمونه SB-۵۱

نمونه SB-۵۱ به مختصات جهانی (۴۰۱۶۲۵۰ و ۵۷۶۵۰۲) از شرق باعجر و در

مجاورت آن برداشت شده است. واحدهای سنگی که در بالادست آبراهه محل برداشت نمونه فوق قرار دارند شامل بازالت، برش سیلیسی، بازالت برشی شده همراه با دایکهای صفحه‌ای و لیسونیت می‌باشند. در این محل با مقیاس کارهای صحرایی آتراسیونهای سیلیسی و سرپانتینیتی دیده شده است. نمونه فوق نسبت به عنصر Au و Mo مقادیر قابل ملاحظه‌ای را از خود نشان داده است. همچنین دو نمونه کانی سنگین از این محدوده برداشت شده است. نمونه SB-۱۰۰-۲-H که مقدار قابل توجهی هورنبلند بهمراه داشته و نمونه SB-۱۰۰-۳-H که نسبت به کانیهای آپیدوت، هورنبلند، اکسید پیریت و پیروکسن مقادیر شایان توجهی از خود نشان داده است.

نمونه ۴۱ SB

نمونه ۴۱ SB با مختصات جهانی (۵۷۶۱۴۸ و ۴۰۱۷۸۳۴) از شمال باگجر برداشت شد، است. واحدهای سنگی واقع در بالادست آبراهه محل برداشت نمونه فوق شامل آمبر و سرپانتینیت می‌باشد. آتراسیون سرپانتینیت نیز با مقیاس کارصحرایی در منطقه شناسایی شده است. نمونه فوق نسبت به عنصر Au مقدار قابل ملاحظه‌ای از خود نشان داده است. یک نمونه کانی سنگین به شماره SB-۱۰۰-۴-H از این آبراهه برداشت شده است که ذرات طلا در آن مشاهده شده است. همچنین از زونهای مینرالیزه در این منطقه دو نمونه برداشت شده است. نمونه SB-M۸۰-۶ از رخمنوهای لیمونیتی در این محدوده برداشت شده است که مقادیر قابل ملاحظه‌ای از عنصر Fe و As را از خود نشان داده است و نمونه SB-M۸۰-۷ که از آمبرهای سیلیسی منطقه برداشت شده است.

نمونه ۴۲ SB

نمونه ۴۲ SB با مختصات جهانی (۵۷۶۳۶۰ و ۴۰۱۸۲۶۷) از منطقه شمال باگجر

و شمال غرب کوه سیاه سالار برداشت شده است. واحدهای سنگی واقع در بالادست آبراهه محل برداشت این نمونه شامل لیسونیت، شیل، هارزبورگیت، بازالت و دیاباز می‌باشد. آتراسیونهای لیسونیتی، کلریتی و سرپاتینیتی در این محدوده با مقیاس کارهای صحرایی دیده شده است. نمونه فوق نسبت به عناصر Sn , Cu و Au مقادیر قابل ملاحظه‌ای را از خود نشان داده است. از این منطقه یک نمونه کانی سنگین بشماره SB-۴۲-H برداشت شده است که مقادیر قابل ملاحظه‌ای از اکسید پیریت و پیروکسینیت بهمراه داشته است. همچنین یک نمونه میترالیزه از رخمنونهای حاوی مالاکیت برداشت شده است که حاوی مقادیر قابل ملاحظه‌ای از عناصر Cu و Au بوده است.

نمونه SB-۴۳

نمونه SB-۴۳ با مختصات جهانی (۴۰۱۹۰۷۶ و ۵۷۶۲۳۱) از شمال باگجر برداشت شده است. واحدهای سنگی واقع در بالادست آبراهه محل برداشت این نمونه شامل لیسونیت، سرپاتینیت‌های منیزیتی شده و بازالت می‌باشد. آتراسیون‌های لیسونیتی و سرپاتینیتی با مقیاس کارهای صحرایی در این محدوده شناسایی شده است. نمونه مذکور نسبت به عناصر Sb و Au مقادیر قابل ملاحظه‌ای از خود نشان داده است.

نمونه SB-۴۵

نمونه SB-۴۵ با مختصات جهانی (۴۰۱۹۸۴۰ و ۵۷۵۹۵۳) از شمال باگجر و جنوب استخر آبیاری برداشت شده است. واحدهای سنگی واقع در بالادست آبراهه محل برداشت نمونه فوق شامل آمبر، سرپاتینیت و گابروی پگماتیتی می‌باشد. آتراسیون سرپاتینیتی در مقیاس کارهای صحرایی در این محدوده دیده شده است. نمونه مذکور نسبت به عنصر W مقدار قابل ملاحظه‌ای از خود نشان داده است. از این محدوده دو نمونه

کانی سنگین بشماره های SB-۴۴-H و SB-۱۰۰۵-H برداشت شده است که نمونه اول نسبت به کانیهای هماتیت، منیتیت و پیروکسن مقادیر قابل ملاحظه ای را دارا بوده و در آن کانیهای لیمونیت و کوارتز دیده شده است. نمونه دوم (SB-۱۰۰۵-H) حاوی مقادیر قابل ملاحظه ای از کرومیت، گوتیت، هماتیت، اکسید پیریت، منیتیت و پیروکسن می باشد.

نمونه های SB-۳۹ و SB-۳۳

نمونه های SB-۳۳ به مختصات جهانی (۴۰۱۷۸۹۶ و ۵۷۴۴۰۵) و SB-۳۹ به مختصات جهانی (۴۰۱۶۲۹۵ و ۵۷۵۲۴۳) از محدوده غرب و شمال غرب باعتربرداشت شده است. واحدهای سنگی که در بالادست آبراهه های محل برداشت نمونه های فوق قرار دارند شامل سرپانتینیت، آمبر، گابروی پگماتیتی و بازالت بهمراه ژاسب می باشند. آتراسیون سرپانتینی در منطقه مشهود است. نمونه های مذکور نسبت به عناصر Co و Ni مقادیر قابل ملاحظه ای از خود نشان داده اند. نمونه کانی سنگین H-SB-۱۰۰۷ از این محدوده برداشت شده است که حاوی مقادیر قابل ملاحظه ای از آمفیبیول، هورنبلند و پیروکسن می باشد. همچنین از یک زون حاوی ژاسب که مایین لایه های دونیتی و سرپانتینیت ها قرار داشته یک نمونه مینرالیزه برداشت شده است که نسبت به عنصر As مقدار قابل توجهی را دارا بوده است.

نمونه SB-۹۷

این نمونه به مختصات جهانی (۴۰۱۳۸۰۳ و ۵۷۸۵۵۹) از منطقه غرب و جنوب غرب قره قلی (استخر آبیاری) و جنوب کوه سیاه سالار برداشت شده است.

واحدهای سنگی که در بالادست آبراهه برداشت این نمونه قرار دارند عبارتند از: سنگهای اسیدی، تراکیت، آندزیت، گابروی پگماتیتی، دونیت، دیاباز، سنگهای فلیسیک و ریولیت. آتراسیونهای که در مقیاس کار صحرائی در منطقه شناسایی شده‌اند شامل سیلیسیفیکاسیون، پروپیلیتی و هماتیتی می‌باشند. نمونه فوق نسبت به عنصر Mo مقدار قابل ملاحظه‌ای از خود نشان داده است. از منطقه فوق الذکر دو نمونه کانی سنگین به شماره‌های SB-۹۷-H و SB-۱۰۰-A برداشت شده است که در نمونه اولی پیریت مشاهده گردیده و نسبت به اپیدوت و پیروکسن مقادیر قابل ملاحظه‌ای از خود نشان داده است و در نمونه دومی مقدار کانیهای آمفیبول و پیروکسن قابل ملاحظه بوده‌اند.

نمونه SB-۱۰۸

این نمونه به مختصات جهانی (۴۰۱۵۵۹۸ و ۵۸۱۱۲۷) از منطقه شمال شرق قره‌قلی (استخر آبیاری) و شمال غرب عرض برداشت شده است. واحدهای سنگی که در بالادست آبراهه محل برداشت این نمونه قرار دارند عبارتند از: گابرو پگماتیتی و گابروی زیرین، دیاباز و هارزبورگیت. نتایج آزمایشگاه و بررسی‌های آماری برای نمونه فوق مقادیر قابل ملاحظه‌ای از عنصر W را گزارش کرده است. آتراسیونهایی که در مقیاس کار صحرائی در منطقه شناسایی شده‌اند شامل پروپیلیتی، لیمونیتی و گوتیتی می‌باشند.

نمونه‌های شمال عرض

نمونه‌های SB-۱۰۹ با مختصات (۴۰۱۶۷۱۲ و ۵۸۴۱۷۴)، SB-۱۱۰ با مختصات (۴۰۱۶۷۴ و ۵۸۴۱۷۶)، SB-۱۱۱ با مختصات (۴۰۱۷۶۹۶ و ۵۸۱۸۸۵) و SB-۱۳۲ با مختصات (۴۰۱۷۲۶۷ و ۵۸۳۰۴۴) از منطقه شمال عرض و مزرعه دهنۀ حاجی برداشت شده است.

واحدهای سنگی که در بالادست آبراهه محل برداشت این نمونه‌ها قرار دارند عبارتند از: سنگهای ولکانیکی هماتیتی شده همراه با سنگهای مافیک، گابروی پگماتیتی، دایکهای دیبابازی، هارزبورگیت، آپلیت اسیدی و آثاری از مالاکیت و باریت بصورت پراکنده در ولکانیکها. نتایج آزمایشگاهی و بررسی‌های آماری برای نمونه فوق مقادیر قابل ملاحظه‌ای از عنصر Ba را نتیجه داده است. آتراسیونهایی که در مقیاس کارصحائی در منطقه شناسایی شده‌اند شامل پروپیلیتی و هماتیتی شدن می‌باشد. از منطقه فوق یک نمونه کانی سنگین به شماره SB-109-H برداشت شده است که مقدار اپیدوت و پیریت اکسید قابل ملاحظه‌ای را دارد. همچنین دو نمونه به شماره‌های SB-M809 و SB-M810 از مالاکیتهای درون بازلتهای سرپاتینیتی و باریتهای پراکنده برداشت گردیده که نمونه SB-M809 مقدار قابل ملاحظه‌ای از عناصر As و Cu را نشان داده است.

نمونه‌های SB-114 و SB-116

نمونه‌های SB-114 به مختصات (۴۰۱۸۰۸۹ و ۵۸۳۵۴۴) و SB-116 به مختصات جهانی (۴۰۱۸۳۰۲ و ۵۸۲۹۳۸) از منطقه شمال عوض، غرب مزرعه کالی لی و جنوب مزرعه محمدآباد برداشت شده است. واحدهای سنگی واقع در بالادست آبراهه محل برداشت این نمونه‌ها عبارتند از: هارزبورگیت سرپاتینیتی شده، بازالت پیلولاوا، گابروی پگماتیتی، دیباباز، رگه‌های با ضخامت $20-25cm$ از منیزیت که به شدت سیلیسی شده‌اند و برش سیلیسی، نتایج آزمایشگاهی و بررسی‌های آماری برای نمونه‌های فوق مقادیر قابل ملاحظه‌ای از عنصر Cu را نتیجه داده است. آتراسیونهایی که در مقیاس کار صحائی در منطقه شناسایی شده‌اند شامل سیلیسیفیکاسیون، کلریتی، لیمونیتی، هماتیتی و سریسیتی می‌باشند. از منطقه فوق یک نمونه کانی سنگین به شماره

SB-113-H برداشت شده است که مقدار کانی اپیدوت و پیریت اکسید در آن قابل ملاحظه

می باشد. همچنین در نمونه فوق مالاکیت و ژاروویت مشاهده گردیده است. یک نمونه به شماره SB-M811 از محل برخورد دوگسل که در امتداد آن آتراسیون هماتیتی و لیمونیتی دیده می شود برداشت گردیده که مقدار قابل ملاحظه ای از عنصر Cu از خود نشان داده است.

نمونه SB-79

این نمونه به مختصات جهانی (۴۰۳۶۸ و ۵۸۷۳۶۸) از منطقه جنوب غرب خوشاب برداشت شده است. واحدهای سنگی که در بالادست آبراهه محل برداشت این نمونه قرار دارند شامل کالک شیست، آمفیولیت و گرایزن، آزبست، تالک و کلریت شیست، رگه های سیلیسی، سنگهای فلزیک و سنگهای آهک کریستالیزه می باشد. نتایج آزمایشگاهی و بررسی های آماری برای نمونه فوق مقدار قابل ملاحظه ای از عنصر Fe ، Co ، Mn ، V ، Cr ، Ti ، Sb در منطقه شناسانی شده اند شامل سیلیسیفیکاسیون، پروپیلیت، لیمونیتی، هماتیتی، کلریتی، سرپانیتی و گرایزن می باشند. از منطقه فوق دو نمونه کانی سنگین به شماره SB-79-H و SB-1009-H برداشت شده است که در نمونه اول پیریت مشاهده گردیده است نمونه دوم (SB-1009-H) نسبت به کانیهای کرومیت، آمفیول، گارنت، هماتیت و پیروکسن مقدار قابل ملاحظه ای را از خود نشان داده است. یک نمونه مینرالیزه به شماره SB-M-812 از گرایزنها برداشت گردیده است.

نمونه SB-88

این نمونه به مختصات جهانی (۴۰۲۸۶۹۴ و ۵۸۳۷۷۴) از منطقه شرق برقبان و

شمال شرق کاشک برداشت شده است. واحدهای سنگی که در بالادست آبراهه محل برداشت این نمونه قرار دارند عبارتند: از ولکانیکهای متوسط پرفیری، رادیولاریت، بازالت سرپاتنینی شده، لیسونیت شدیداً سیلیسی شده، سرپاتنینیت، آمبر و گابروی پگماتیتی. نتایج آزمایشگاهی و بررسیهای آماری برای نمونه فوق مقادیر قابل ملاحظه ای از عناصر طلا و گرم نتیجه داده است. آتراسیونهایی که در مقیاس کار صحرائی در منطقه شناسایی شده‌اند شامل سیلیسیکا‌سیون، پروپیلیتی، لیسونیتی، لیمونیتی و سرپاتنینیتی می‌باشد. از منطقه فوق سه نمونه کانی سنگین به شماره‌های $SB-100-H$ ، $SB-87-H$ و $SB-101-H$ برداشت گردیده است که در کانی سنگین $SB-87-H$ طلا، باریت و مس چکشی مشاهده شده است. همچنین یک نمونه به شماره $SB-MA13$ از لیسونیت‌ها و محل بروونزد آهکهای سیلیسی برداشت گردیده که مقدار شایان توجهی از عناصر Ni و As از خود نشان داده است.

نمونه SB - ۱۶۶

این نمونه به مختصات جهانی ($40^{\circ}25'16''$ و $57^{\circ}25'37''$) از منطقه غرب عنبرستان و غرب شمال‌غرب کوه سیاه و شرق شمال شرق کوه سفید برداشت شده است. واحدهای سنگی در بالادست آبراهه برداشت این نمونه عبارتند: از لیسونیت، آمبر، سرپاتنینیت، توف و دایک دیبازی. نتایج آزمایشگاهی و بررسیهای آماری برای نمونه فوق مقادیر قابل ملاحظه‌ای از عناصر As ، Sb ، Hg ، Pb ، Ag نتیجه داده است. آتراسیونهایی که در مقیاس کار صحرائی در منطقه شناسایی شده‌اند شامل سیلیسیکا‌سیون، پروپیلیتی، سرپاتنینیتی و لیسونیتی می‌باشند. همچنین نقشه‌های ژئوفیزیک هوایی وجود یک توده نفوذی نیمه عمیق را در این منطقه نشان داده است. از منطقه فوق دو نمونه کانی سنگین به شماره‌های $SB-1015-H$ و $SB-1016-H$ برداشت گردیده است. یک نمونه سنگی به شماره

SB-M815 از لیسونیت‌های به شدت سیلیسی شده برداشت گردیده که مقدار شایان توجّهی از عناصر As و Ni را خود نشان داده است.

نمونه SB - ۲۲۲

این نمونه به مختصات جهانی (۴۰۲۸۸۱۴ و ۵۷۹۷۰۸) از آبراهه غربی منتهی به برقبان، شمال مخزن آب برداشت شده است. واحدهای سنگی که در بالادست آبراهه محل برداشت این نمونه قرار دارند عبارتند از: بازالت‌های سرپانتینیتی بر روی پی‌سنگ سرپانتینیت، ولکانیک‌های ترشیری، بازالت‌های جوان، آندزیت و ریولیت. نتایج آزمایشگاهی و بررسیهای آماری برای نمونه فوق مقادیر قابل ملاحظه‌ای از عنصر As نتیجه داده است. در مقیاس کارصحرائی در این منطقه آلتراسیون سرپانتینیتی مشاهده شده است. از منطقه فوق دو نمونه کانی سنگین برداشت گردیده که شماره آنها به ترتیب SB-۲۲۰-H و SB-۱۰۱۳-H می‌باشد که در نمونه SB-۲۲۰-H کانی‌های گالن، باریت و پیریت مشاهده گردیده است و مقادیر شایان توجّهی از هماتیت، منیزیت و پیروکسن را بهمراه داشته است. نمونه دیگر (SB-۱۰۱۳-H) حاوی مقادیر قابل ملاحظه‌ای از کانیهای آمفیبول، اپیدوت، گوتیت و اکسید پیریت بوده است.

نمونه SB - ۹۶

این نمونه به مختصات جهانی (۴۰۴۳۹ و ۵۸۱۵۸۱) از جنوب برقبان و شمال کاشک برداشت شده است. واحدهای سنگی که در بالادست آبراهه برداشت این نمونه قرار دارند شامل ولکانیک مافیک تا متوسط و اسید، تراکیت، بازالت‌های جوان، ریولیت در سطح بازالت‌ها، منیزیت و لایه‌های سفیدرنگی که احتمالاً منیزیت هستند، می‌باشند. نتایج

آزمایشگاهی و بررسیهای آماری برای نمونه فوق مقادیر قابل ملاحظه‌ای از عنصر W نتیجه داده است. در این منطقه و با کارصحرایی آتراسیون سیلیسی مشاهده شده است. از منطقه فوق دو نمونه کانی سنگین به شماره‌های $SB-96-H$ و $SB-102-H$ برداشت گردیده است که در نمونه $SB-102-H$ کانیهای ژاروسیت و پیریت مشاهده گردیده است و مقادیر قابل ملاحظه‌ای از اکسید پیریت، پیروکسن و منیتیت را بهمراه داشته است و نمونه دیگر نسبت به منیتیت و همایت مقادیر شایان توجّهی را دارا بوده است.

منطقه اطراف عنبرستان

از محدوده‌ای که در آبراهه و جاده مایبن برقبان، عناستان و عنبرستان تا کوه سیاه واقع شده است تعداد ۵ نمونه کانی سنگین و سه نمونه مینرالیزه برداشت شده است. واحدهای سنگی که در بالادست آبراهه برداشت این نمونه‌ها قرار دارند عبارتند از: لیسونیت سیلیسی، آمبر و سرپاتینیت. همچنین در منطقه فوق ژئوفیزیک هوائی گواهی بر توده‌های نفوذی نیمه عمیق می‌دهد. آتراسیونهایی که در مقیاس کارصحراخی در منطقه شناسایی شده‌اند شامل سیلیسیفیکاسیون، آرژیلیتی و سرپاتینیتی می‌باشد. از منطقه فوق پنج نمونه کانی سنگین به شماره‌های $SB-1016-H$ ، $SB-1018-H$ و $SB-1021-H$ ، $SB-1019-H$ ، $SB-1020$ بشرح زیر برداشت شده است: نمونه $SB-1016-H$ که نسبت به کانیهای کرومیت، پیروکسن و سیلیکاتهای آلتره مقادیر قابل ملاحظه‌ای را از خود نشان داده است و همچنین کانیهای اولیزیست، طلا، ژاروسیت و پیریت در آن دیده شده است. نمونه $SB-1018-H$ که مقادیر شایان توجّهی از کانیهای کرومیت و پیروکسن را بهمراه داشته است و در آن کانیهای اولیزیست، طلا، ژاروسیت، کولیت، مس طبیعی و پیریت دیده شده است. نمونه $SB-1021-H$ که مقادیر قابل توجّهی از کانیهای آمفیبول، اپیدوت،

گوتیت، هورنبلند و اکسید پیریت را از خود نشان داده است. نمونه SB-۱۰۱۹-H که مقدار قابل ملاحظه‌ای پیروکسن در آن وجود داشته و آثار کانی طلا و ژاروویت در آن دیده شده است و نمونه SB-۱۰۲۰-H که مقدار قابل ملاحظه‌ای پیروکسن را بهمراه داشته است و آثار ژاروویت در آن دیده شده است. همچنین از زونهای میترالیزه در منطقه سه نمونه به شرح زیر برداشت شده است: نمونه SB-M۸۱۸ از لیسونیت‌های شمال عنبرستان برداشت شده است که نسبت به عناصر Ni و As مقادیر شایان توجّهی از خود نشان داده است. نمونه SB-M۸۱۷ از رگ سیلیسی همراه با اکسیدهای آهن (آخرا) برداشت شده است که نسبت به عنصر As و Fe مقادیر شایان توجّهی از خود نشان داده است و نمونه SB-M-۸۱۶ از لیسونیت گرفته شده است که نسبت به عناصر Ni, Cr و As مقدار شایان توجّهی از خود نشان داده است.

نمونه‌های SB-۲۱۸ و SB-۲۱۵ نمونه‌های SB-۲۱۵ به مختصات جهانی (۴۰۳۱۹۹۹ و ۵۷۸۸۳۹) و نمونه SB-۲۱۸ به مختصات جهانی (۴۰۳۱۱۱۲ و ۵۷۸۳۷۱) از آبراهه جنوب داشخانه گرفته شده است. واحدهای سنگی که در بالادست آبراهه محل برداشت این نمونه‌ها قرار دارند عبارتند از: سری‌های الترامافیک، ولکانیک‌های اسید و سنگهای سری حدواسط. نتایج آزمایشگاهی مقادیر قابل ملاحظه‌ای از عناصر Au برای نمونه SB-۲۱۸ و W برای نمونه SB-۲۱۵ نشان داده است. از منطقه فوق یک نمونه کانی سنگین به شماره H-۱۰۱۴ برداشت شده است که کانه‌های پیریت و باریت و ژاروویت در آن مشاهده گردیده است. همچنین از زونهای میترالیزه در منطقه نمونه SB-M ۸۱۴ برداشت شده است. این نمونه از سنگ مشکوک به شنگرف و یا اخرا برداشت شده است که نسبت به عنصر Ti مقدار شایان

توجهی از خود نشان داده است.

نمونه های SB-۵۸ و SB-۵۹

این نمونه ها به مختصات جهانی (۴۰۲۲۸۲۳ و ۵۷۶۴۹۳) برای نمونه SB-۵۸ و (۵۷۵۴۵۳ و ۴۰۲۳۲۵۴) برای نمونه SB-۵۹ از غرب شمالغرب علیک و جنوب عنبرستان گرفته شده است. واحدهای سنگی که در بالادست آبراهه برداشت این نمونه ها قرار دارند شامل رسوبات شیمیایی و سنگهای سری حدواسط می باشد.

در منطقه فوق نقشه های ژئوفیزیک هوایی گواهی بر توده های نفوذی نیمه عمیق میدهد. نتایج آزمایشگاه و بررسی های آماری برای نمونه فوق مقادیر قبل ملاحظه ای از عنصر Ba نتیجه داده است. از منطقه فوق الذکر دو نمونه کانی سنگین به شماره های SB-۵۹-H و SB-۵۹-*H* برداشت شده است که در آنها کانی باریت مشاهده گردیده است و نسبت به کانی های هماتیت و پیروکسن مقادیر قبل ملاحظه ای از خود نشان داده اند.

نمونه SB -۷۴

این نمونه به مختصات جهانی (۴۰۲۵۷۹۷ و ۵۷۷۸۵۴) از شرق عنابستان و غرب جنوبغرب کاشک گرفته شد: است. واحدهای سنگی که در بالادست آبراهه برداشت این نمونه قرار دارد عبارتند از: هارزبورگیت، سنگهای حدواسط و رسوبات شیمیایی. از منطقه فوق الذکر یک نمونه کانی سنگین به شماره SB-۷۴-*H* برداشت شده است که کانه های پیریت و باریت و ظارو سیت در آن مشاهده گردیده است و مقادیر قبل ملاحظه ای از کانی های آمفیبول، اپیدوت، هماتیت، مینیتیت، اکسید پیریت و پیروکسن را به مراد داشته است.

نمونه های SB-۱۸۰ و SB-۱۸۷

نمونه های SB-۱۸۰ به مختصات جهانی (۴۰۲۹۶۸۰ و ۵۷۰۸۹۷) و نمونه SB-۱۸۷ به مختصات جهانی (۴۰۳۰۶۲۹ و ۵۷۰۵۳۷) از منطقه شمال و شمال شرق رودسراب گرفته شده است. واحدهای سنگی که در بالادست آبراهه برداشت این نمونه قرار دارند شامل رسوبات دانه درشت، سنگهای اسیدی و سنگهای حدواسط می باشد. نتایج آزمایشگاهی و بررسی های آماری برای نمونه فوق مقادیر قابل ملاحظه ای از عنصر W را نتیجه داده است. از منطقه فوق الذکر یک نمونه کانی سنگین به شماره H-SB-۱۸۰ برداشت شده است که در آن کانه های پیریت و باریت مشاهده گردیده است و مقادیر قابل ملاحظه ای از کانیهای همایت، منیتیت و پیروکسن را به مراد داشته است.

نمونه های SB-۱۸۹ و SB-۱۹۰

این نمونه ها به مختصات جهانی (۴۰۳۲۵۸۵ و ۵۶۸۶۵۶) برای نمونه SB-۱۸۹ و مختصات (۴۰۳۱۵۵۰ و ۵۶۸۶۳۵) برای نمونه SB-۱۹۰ از منطقه جنوب کلاته حاج مطلب و شمال در فک بالا گرفته شده است. واحدهای سنگی که در بالادست آبراهه برداشت این نمونه قرار دارند عبارت از سنگهای حدواسط و رسوبات دانه درشت می باشد. نتایج آزمایشگاهی برای نمونه فوق مقادیر قابل ملاحظه ای از عنصر Mo را نشان داده است. از منطقه فوق الذکر یک نمونه کانی سنگین به شماره H-SB-۱۸۹ برداشت شده است که در آن مقدار قابل ملاحظه ای از کانیهای منیتیت و کرومیت مشاهده گردیده است.

نمونه های SB-۱۹۹ و SB-۲۱۰

نمونه های SB-۱۹۹ به مختصات جهانی (۴۰۲۸۷۵۶ و ۵۶۹۴۰۲) و SB-۲۱۰ به

مختصات جهانی (۴۰۲۵۸۲۳ و ۵۷۰۶۶۷) از منطقه شمال رود سراب (نمونه ۱۹۹ SB-199) و جنوب رود سراب (نمونه ۲۱۰ SB-210) گرفته شده است. واحدهای سنگی که در بالادست آبراهه محل برداشت این نمونه‌ها قرار دارند عبارتند از: هارزبورگیت، سنگهای حدواسط، رسوبات شیمیابی و رسوبات دانه درشت. در منطقه فوق نقشه ژئوفیزیک هوایی گواهی بر توده‌های نفوذی نیمه عمیق میدهد. از منطقه فوق الذکر همچنین دو نمونه کانی سنگین به شماره‌های SB-۱۹۹-H و SB-۲۱۰-H برداشت شده است که نمونه SB-۲۱۰-H مقدار قابل ملاحظه‌ای برای منیتیت از خود تشان داده است.

نمونه‌های SB-۲۳۶ و SB-۲۳۹

نمونه‌های SB-۲۳۶ به مختصات جهانی (۴۰۲۰۵۲ و ۵۷۸۴۳۱) و SB-۲۳۹ به مختصات جهانی (۴۰۲۰۹۵۸ و ۵۸۰۶۳۵) از منطقه جنوب و جنوبشرق علیک گرفته شده است. واحدهای سنگی که در بالادست آبراهه برداشت این نمونه قرار دارند شامل هارزبورگیت، سری‌های الترامافیک، سری سنگهای حدواسط و رسوبات شیمیابی می‌باشد. از منطقه فوق یک نمونه کانی سنگین برداشت گردید، است که در آن کانه پیریت مشاهده گردیده است.

۵- پردازش داده‌های کانی سنگین

۵-۱- رسم هیستوگرامها

هیستوگرام فراوانی ۱۴ متغیر شامل کلسیت، کرومیت، اپیدوت، آمفیبول، هماتیت، هورنبلند، منیتیت، اکسید منگنز، پیروکسن، پیریت اکسید، زیرکن، سیلیکاتهای آلتله و گوتیت در اشکال ۱-۷ تا ۱۴-۷ نشان داده شده است (داده‌های خام در جدول ۳ ضمیمه و بر روی CD آورده شده است). ارزش این هیستوگرامها یکسان نمی‌باشد، زیرا در بعضی

Histogram
Data file: HI-SABZ.GEO

Statistics

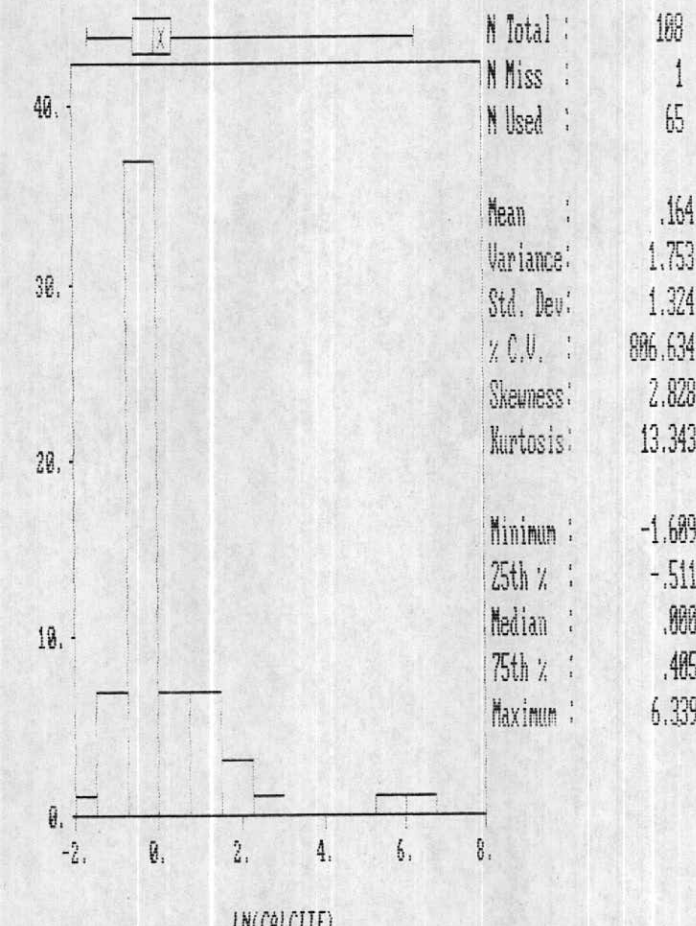


Fig. 7- 1

Histogram
Data file: HI-SABZ.GEO

Statistics

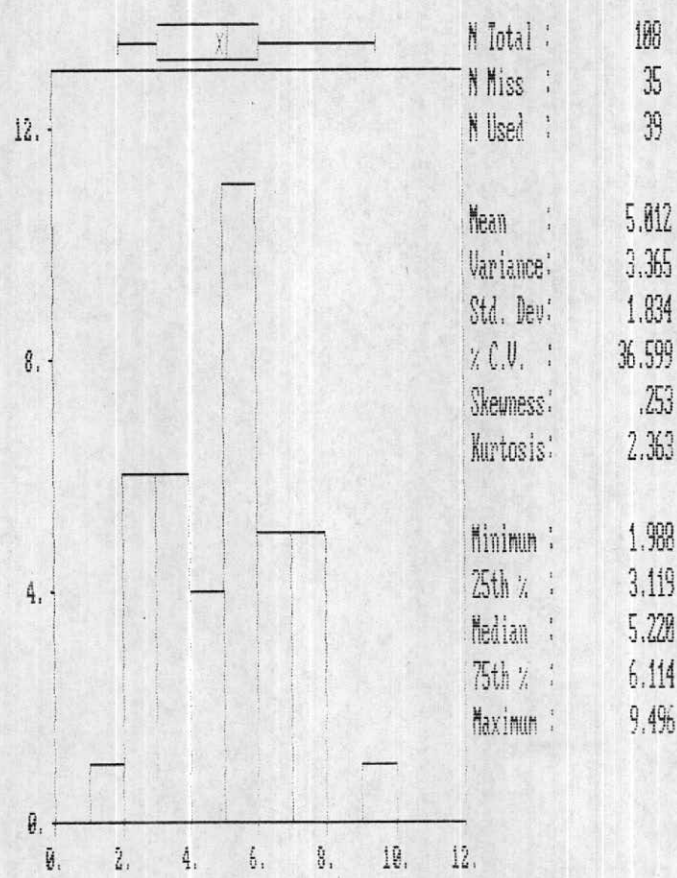


Fig. 7- 2

Histogram
Data file: HI-SABZ.GEO

Statistics

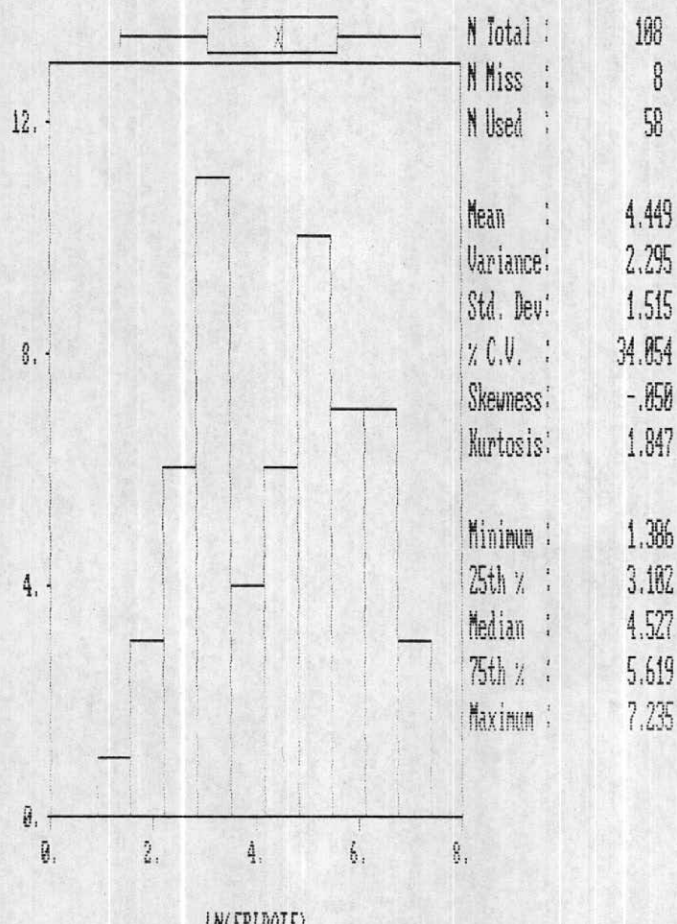


Fig. 7- 3

Histogram
Data file: HI-SABZ.GEO

Statistics

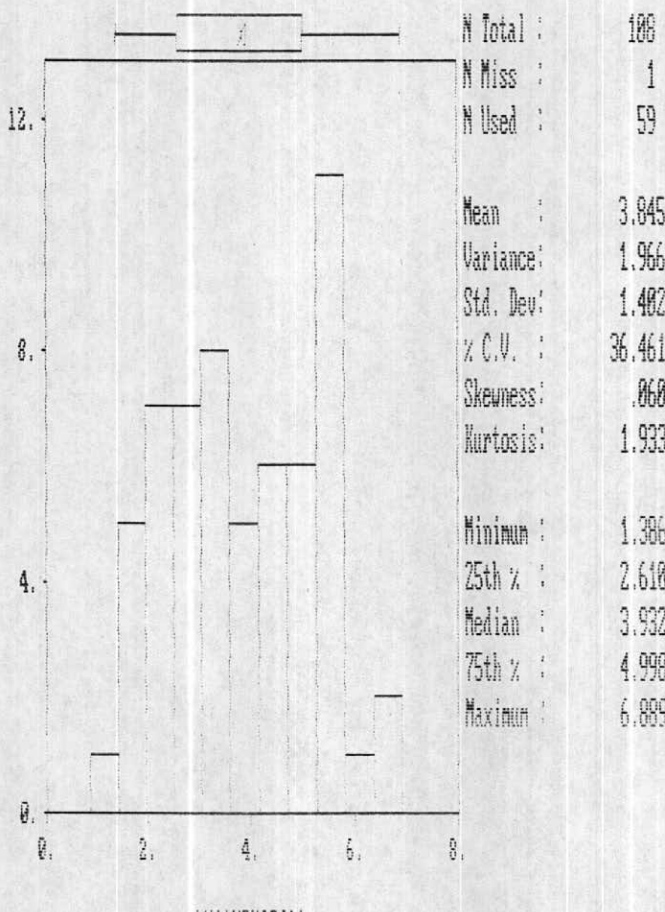


Fig. 7- 4

Histogram
Data file: H2-SABZ.GEO

Statistics

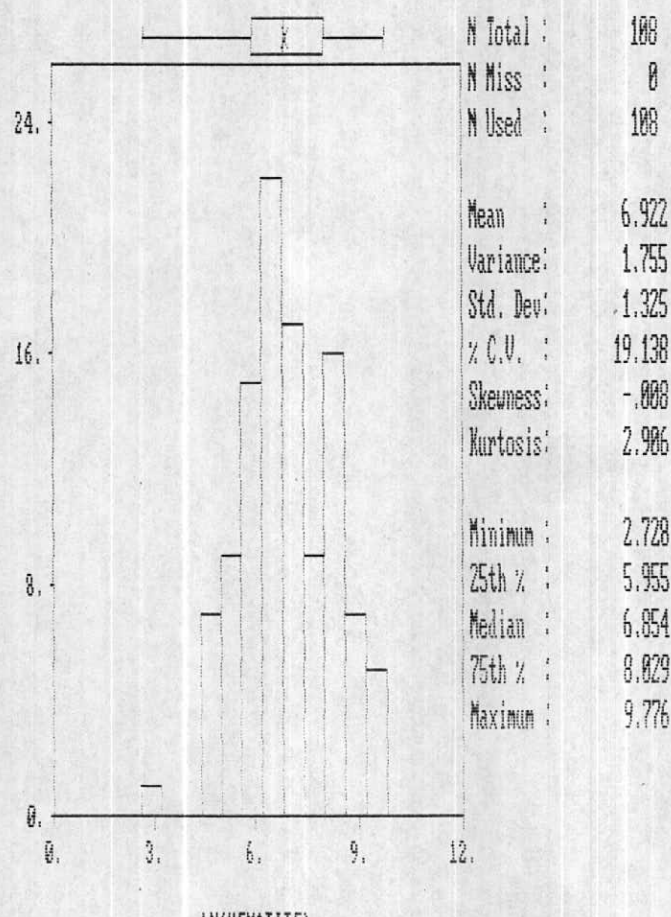
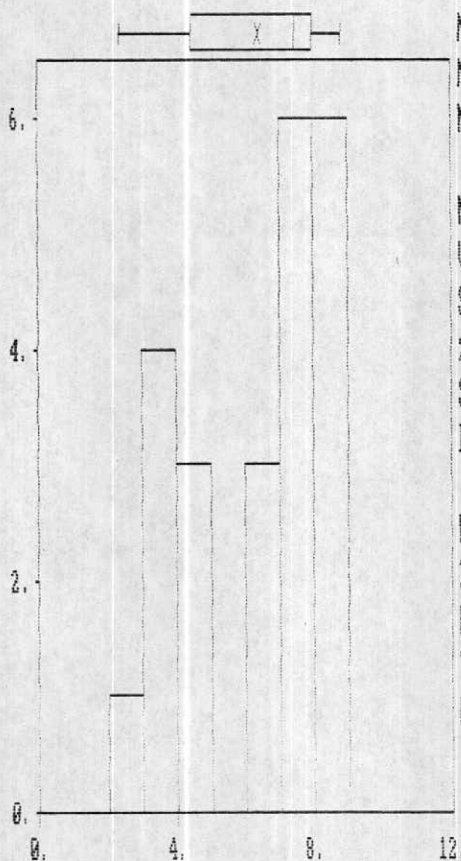


Fig. 7- 5

Histogram
Data file: H2-SABZ.GEO



Statistics

N Total :	188
N Miss :	59
N Used :	23
Mean :	6.399
Variance:	4.458
Std. Dev.:	2.189
% C.V. :	32.964
Skeuoness:	- .571
Kurtosis:	1.845
Minimum :	2.398
25th % :	4.498
Median :	7.409
75th % :	7.977
Maximum :	8.827

Fig. 7- 7

Histogram
Data file: H2-SABZ.GEO

Statistics

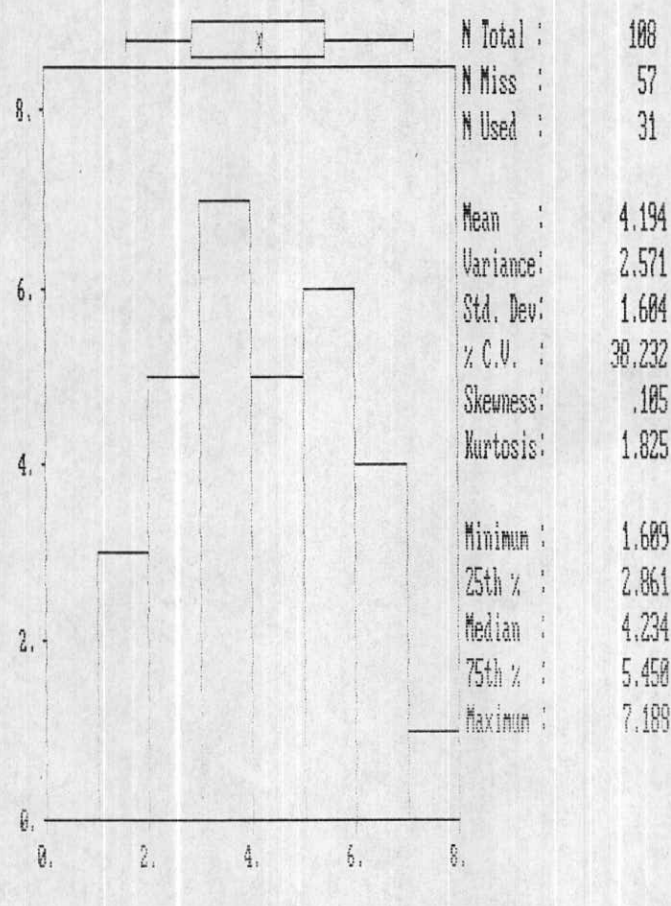
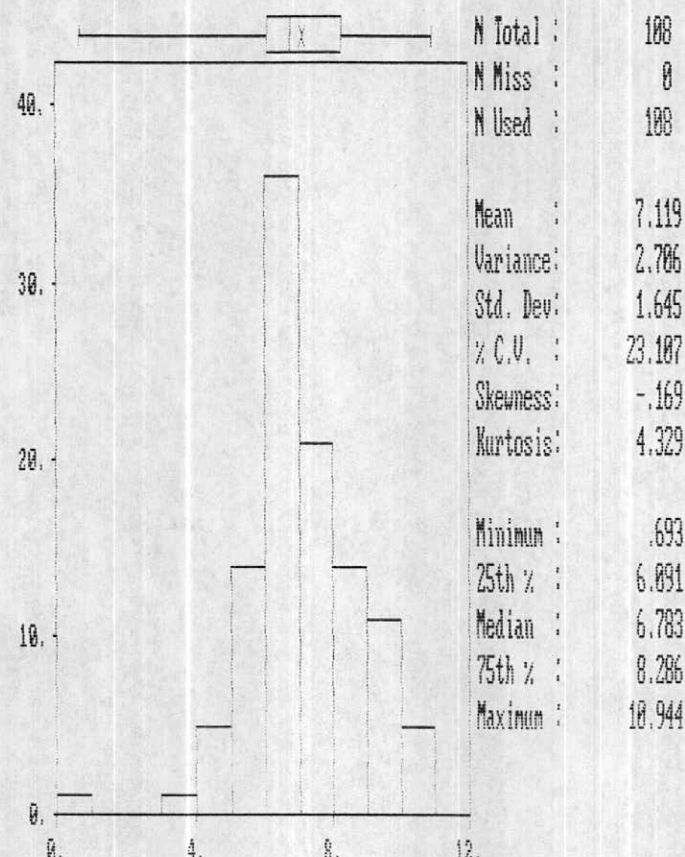


Fig. 7- 6

Histogram
Data file: H2-SABZ.GEO

Statistics



LN(MAGNETITE)

Fig. 7- 8

Histogram
Data file: H2-SABZ.GEO

Statistics

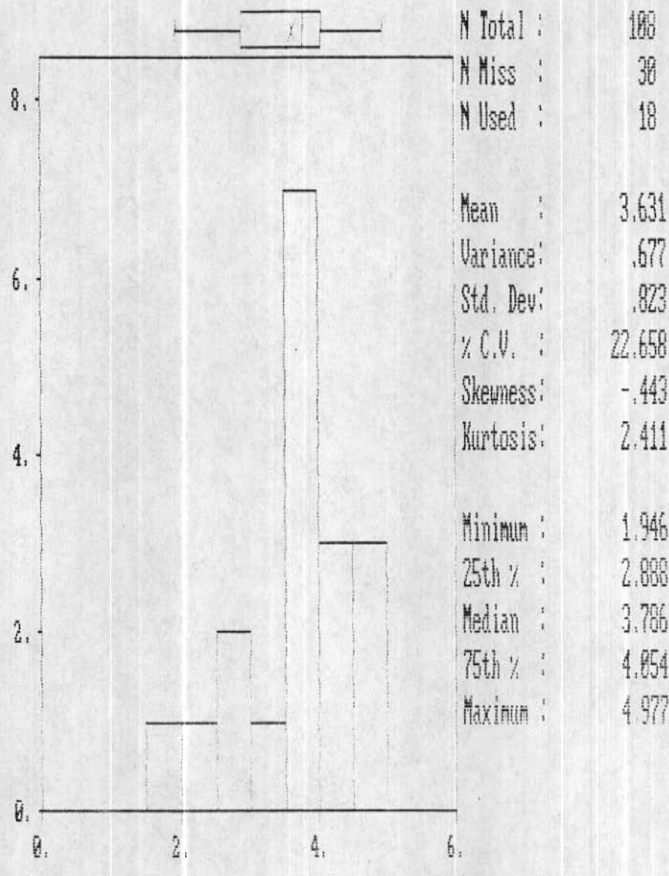


Fig. 7- 9

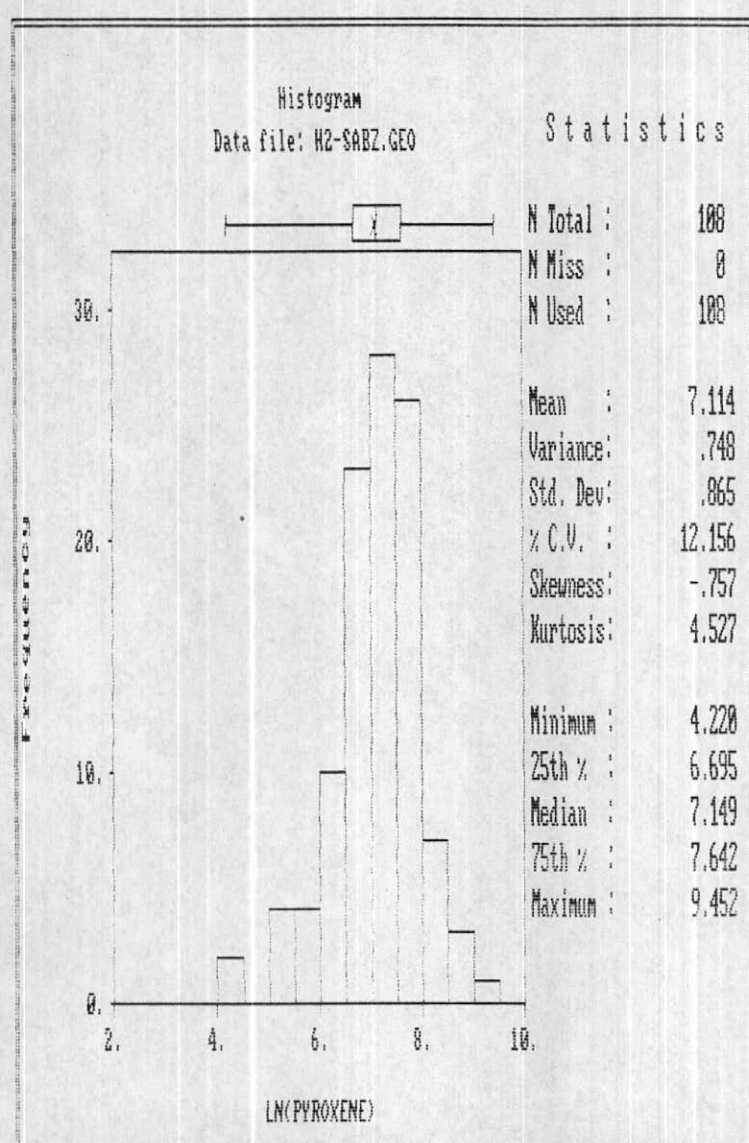


Fig. 7- 10

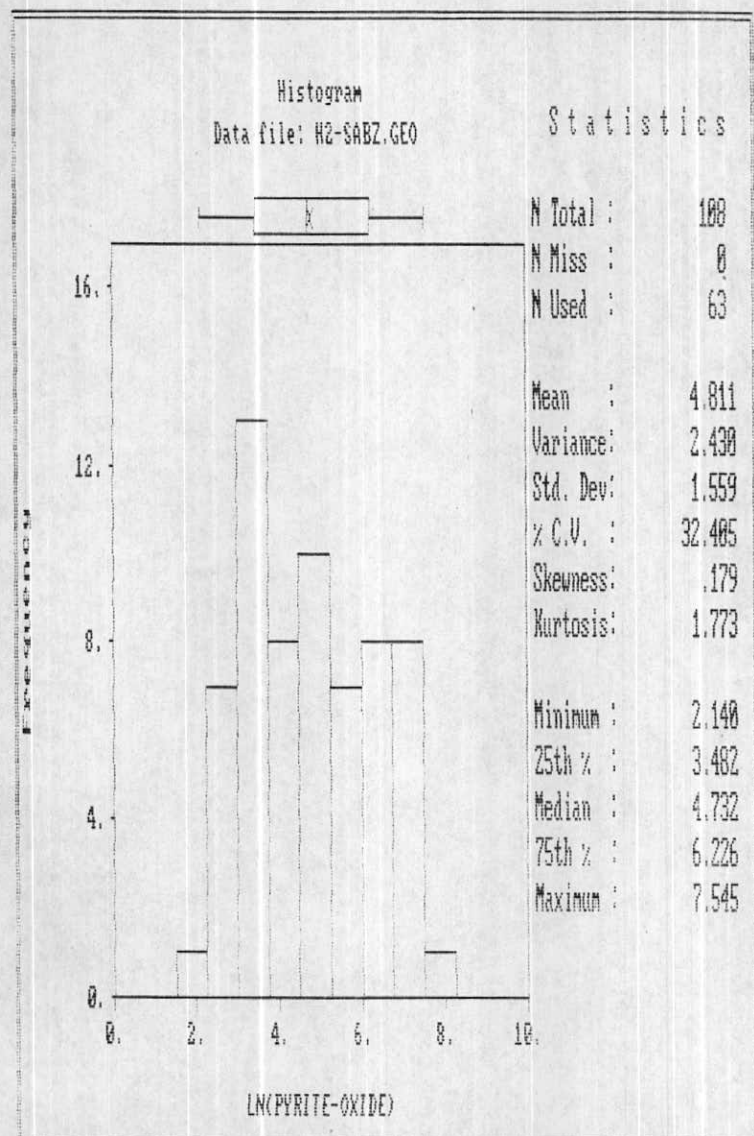


Fig. 7- 11

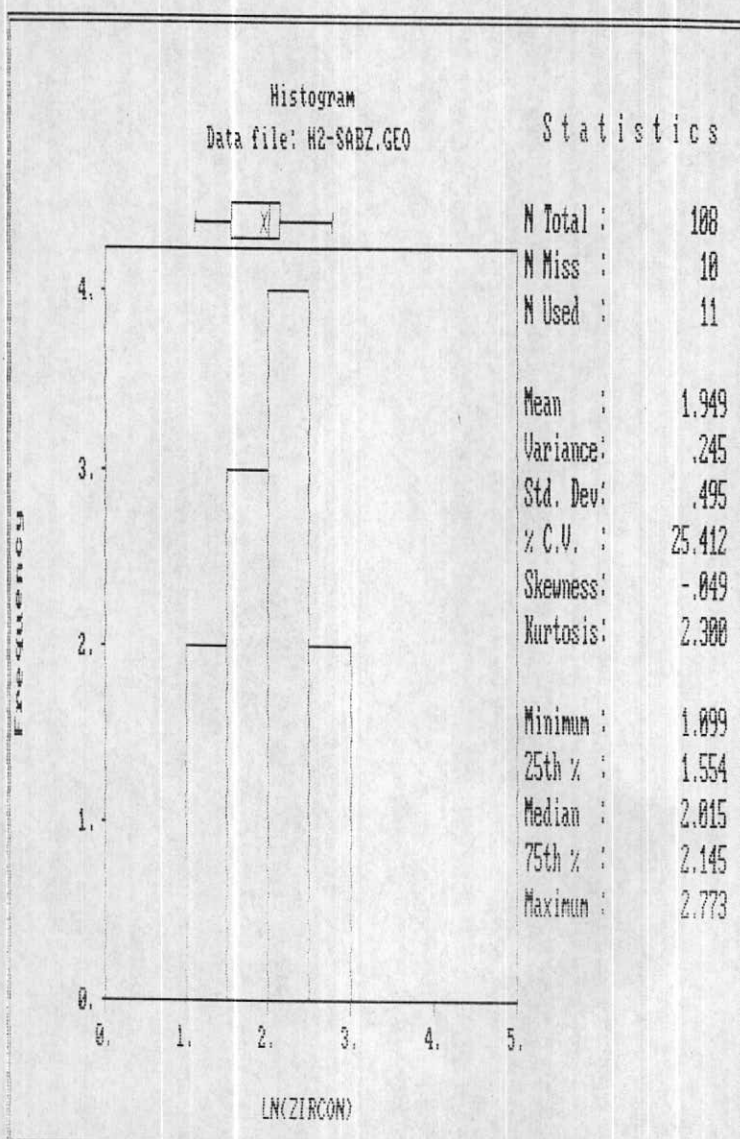


Fig. 7- 12

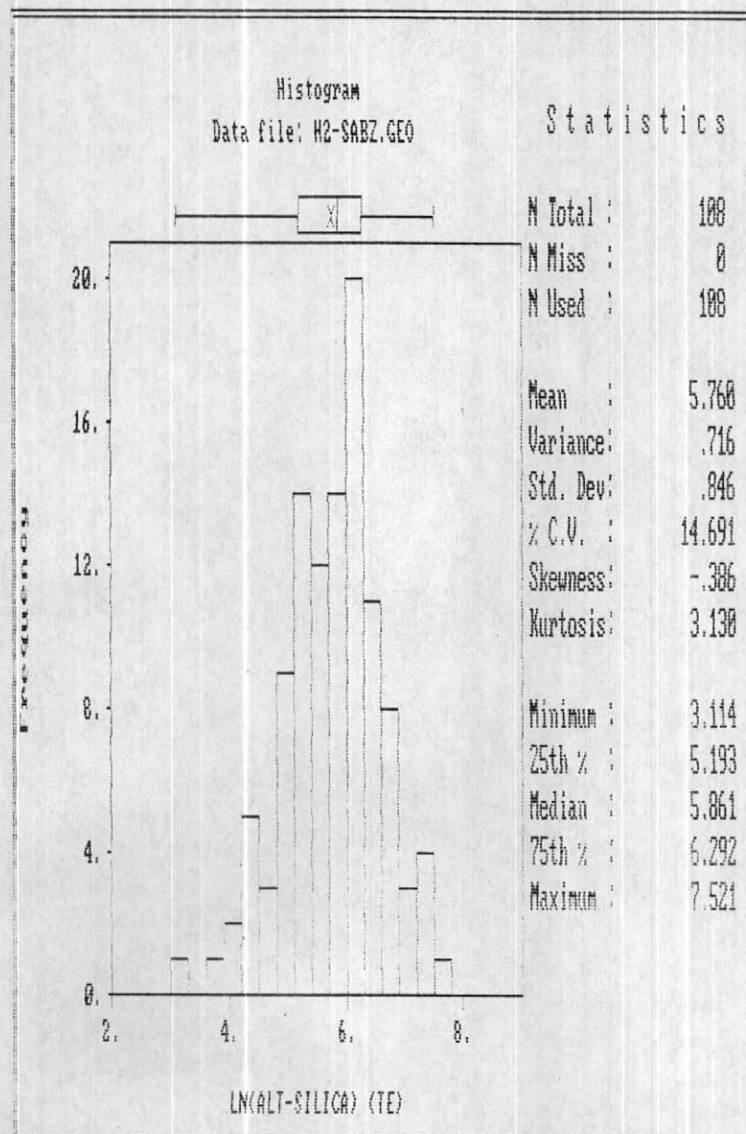
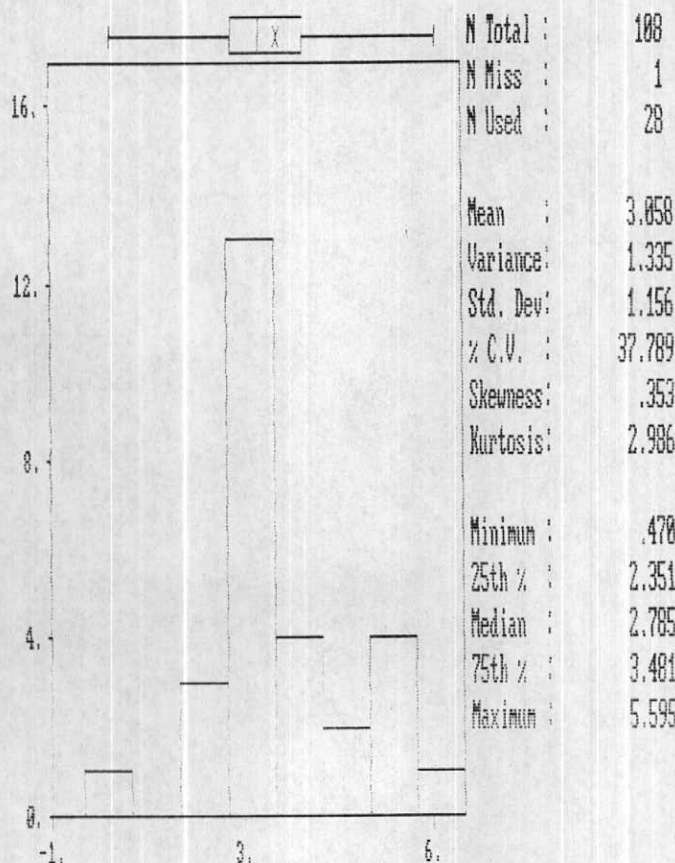


Fig. 7- 13

Histogram
Data file: H2-SABZ.GEO

Statistics



LN(GOETHITE)

Fig. 7- 14

تعداد نمونه‌ها در جامعه به حد کافی زیاد است بطوریکه می‌توان روند تغییرات را پیش‌بینی نمود، ولی در بعضی بعلت کمی تعداد موارد اندازه‌گیری شده، روند تغییرات در هیستوگرام چندان مشخص نیست. لازم است که لگاریتم مقادیر متغیرهای فوق در رسم هیستوگرام مورد استفاده قرار نگرفته است. تمامی هیستوگرامهای رسم شده برای متغیرهای مختلف با تقریب نسبتاً خوبی توزیع لاغر نرمال از خود نشان می‌دهند. در بین این متغیرها اپیدوت و ایلمینیت خصلت دومدی از خود نشان می‌دهند. وجود اپیدوت بعنوان مناسب ترین ردیاب آلتراسیون پروپیلیتی از اهمیت خاصی برخوردار است. این اهمیت وقتی آشکار می‌گردد که بخواهیم سهم مؤلفه‌های آلتراسیون را از هوازدگی تا حدی تدقیک کنیم. بدیهی است محصولاتی چون آرژیلیت (کانولینیت، مونتموریونیت و ایلیت)، کلریت و می‌توانند هم در شرایط دگرسانی گرمابی و هم در شرایط هوازدگی در محیط اسیدی حاصل شوند. تمیز اینکه کدامیک از دو فرآیند فوق بطور عمد، نقش اساسی در تشکیل این محصولات داشته است و یا هر دو پدیده فعال بوده‌اند، از طریق اندازه‌گیریهای دقیق ایزوتوپی امکان‌پذیر است. ولی حضور اپیدوت (وجود مجموعه پروپیلیتی) می‌تواند دلالت بر فعالیتهای گرمابی داشته باشد.

متغیر کرومیت با تقریب نسبتاً خوبی دارای توزیع لاغر نرمال بوده و تا حدودی خصلت دومدی نشان می‌دهد. در رسم متغیرهای هماتیت، منیتیت، پیروکسن و سیلیکاتهای آلترا از تمامی داده‌ها در رسم هیستوگرام استفاده گردیده است. وجود اکسیدهای منگنز و پیریت اکسید در نمونه‌ها می‌تواند تا حدودی معرف مناطق با کانی‌سازی اپی‌ترمال باشند.

۵-۲- دیاگرام‌های پراکندگی و آنالیز کلاستر

این نوع دیاگرامها می‌توانند برای درک ارتباط بین متغیرهای مختلف مفید واقع شوند، زیرا نحوه تغییرات یک متغیر را بر حسب متغیر دیگر نشان می‌دهند. در شکل

۱۵-۷ ماتریس دیاگرام پراکنده‌ی ۱۴ متغیر فوق الذکر بصورت یکجا آورده شده است.

این دیاگرام معرف آنست که جز در مواردی محدود، این متغیرها ارتباط قوی با یکدیگر ندارند. تنها ارتباطات قابل توجه عبارتند از: منیتیت - ایلمنیت، اکسید منگنز - ایلمنیت و هماتیت - اکسید منگنز. وجود همبستگی‌های فوق در یک مجموعه قابل توجیه و بررسی است. وجود سنگهای اولترامافیک در منطقه می‌تواند توجیه مناسبی برای این همراهی‌ها باشد.

برای تعیین ارتباط پاراژنزی بین متغیرهای مختلف و انتخاب مناسب‌ترین متغیرها برای رسم نقشه توزیع کانی‌سنگین، اقدام به آنالیز چند متغیره به روش کلاستر شده است. نتیجه این آنالیز در دندروگرام شکل ۱۶-۷ نشان داده شده است. چنانکه ملاحظه می‌شود در این دندروگرام متغیرها بصورت کلاسترهای دوتایی و چندتایی به یکدیگر متصل گردیده‌اند. یکی از این گروه‌ها شامل کانیهای آرسنوبیریت - اسمیت زونیت - سروزیت - گالن می‌باشد که معرف کانی‌سازیهای سرب و روی می‌تواند تلقی شود. از گروه‌های دیگری می‌توان به گروه کلریت - فلوگوپیت - فلدسپات - آمفیبول - بیوتیت، گروه کلسیت - اسفن - سیلیکاتهای آلتره - منیتیت - گارنت و گروه آپاتیت - اکسید منگنز - ایلمنیت - نیگرین - زیرکن - روتیل - هماتیت اشاره کرد. در مجموع داده‌های این دندروگرام معرف وجود همبستگی متوسط تا ضعیف بین متغیرهای کانی‌سنگین است. با توجه به ارتباط بین متغیرها و موقعیت آنها در دندروگرام و نیز با توجه به محدودیت ساخت متغیرها جهت رسم نقشه (یک نقشه برای کانیهای سنگین)، در مجموع اقدام به رسم مقادیر بالای آنومالیهای سه متغیر زیر بر روی یک نقشه گردیده است (نقشه شماره ۹) :

Scatter Plot Matrix of Heavy Mineral Variables

in Sabzevar 1/100,000 Sheet.



Fig. 7- 15

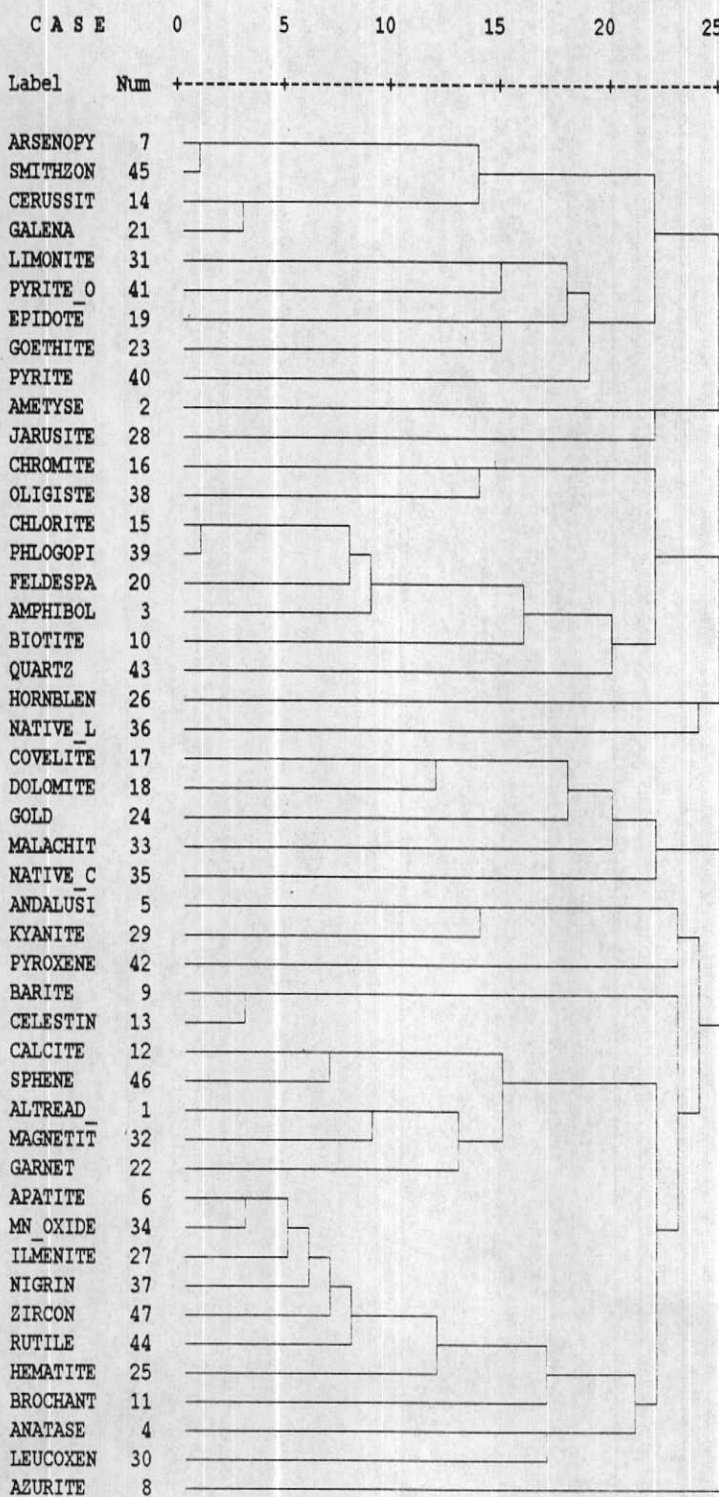


Fig. 7-16 Dendrogram of Heavy Mineral Variables in Sabzevar 1/100,000 Sheet.

۱- مجموعه کانیهای آهن و منگزدار (گوتیت، هماتیت، ژاروسبیت، لیمونیت، منیتیت، الیزیست و اکسید منگز).

۲- اپیدوت که مناطق با فراوانی بالای این متغیر می‌تواند معرف وجود آلتراسیونهای پروپیلیتی باشد.

۳- مجموع کانه‌ها شامل باریت، سروزیت، سلسنیت، کرومیت، گالن، طلا، مالاکیت، آزوریت، نیکولیت، پیریت، اکسید، بروکاتنیت، پیرومorfیت، مس طبیعی و اسمیت زونیت.

۶- تخمین شبکه‌ای و رسم نقشهٔ متغیرهای کانی سنگین

تکنیک تخمین شبکه‌ای که اساس رسم نقشهٔ ژئوشیمیائی و کانی سنگین را تشکیل می‌دهد در فصول قبلی گزارش مفصل‌تر شرح گردیده است. با استفاده از این تکنیک برای سه متغیر فوق الذکر، اقدام به رسم نقشهٔ نهایتاً آوردن آنومالیهای آنها بر روی یک نقشه، گردیده است. این متغیرها نسبتاً انطباق خوبی با هم داشته و بر محل بعضی از آنومالیهای ژئوشیمیائی انطباق دارند. مناطق آنومال بدست آمده عبارتند از:

۱- منطقه شمال و شرق رازقند که محل انطباق هر سه متغیر کانی سنگین بوده و بر محدوده آنومالیهای مدلسازی شده SAB-۱۸، SAB-۸ انطباق دارد.

۲- منطقه شمال شرق بروز که محل انطباق دو متغیر کانی سنگین (اپیدوت و کانه‌های با ارزش) بوده و بر محدوده آنومالیهای مدلسازی شده SAB-۲۱، SAB-۳۱ انطباق دارد.

۳- منطقه شمال با غجر که محل آنومالی کانه‌های با ارزش کانی سنگین بوده و بر محدوده آنومالیهای مدلسازی شده SAB-۹، SAB-۷، SAB-۱۴ انطباق دارد.

۴- منطقه جنوب شرق باعتر که محل انطباق دو متغیر کانی سنگین (اپیدوت و

کانه های با ارزش) بوده و بر محدوده آنمالی SAB-۵ انطباق دارد.

۵- منطقه شمال و شمال شرق چشمته آوش که هر سه متغیر کانی سنگین در این محل

آنمالی نشان می دهدند و بر محدوده آنمالیهای مدلسازی شده ۲، SAB-۳ و

SAB-۱ انطباق دارد.

نقشه شماره ۹ توزیع این متغیرها را که مقادیر بالای ۸۴ درصد فراوانی آنها رسم

شده است را نشان می دهد. موقعیت جغرافیائی بعضی از این متغیرها با متغیرهای

ژئوشیمیائی در بالا شرح داده شد.

۷- نتایج حاصل از نمونه های مینرالیزه

در بررسی های اکتشافی ژئوشیمیائی ناحیه ای، بدلیل بروز خطای ناشی از تغییرات

سنگ بستر، تغییرپذیری مقدار مواد آلی و عناصر جذب کننده مانند آهن و منگنز کلوئیدی

و ... فاز کنترل آنمالیهای می تواند در انتخاب انواع مرتبط با کانی سازی بسیار مفید واقع

گردد. در این پژوهه از طریق برداشت نمونه های کانی سنگین، نمونه های مینرالیزه؛ احتمالی

و آلتراسیون و نیز نمونه های سنگی از شکستگی های محل عبور محلولهای کانی ساز

و آلتراسیون (Plumbing system) در محدوده آنمالیهای ژئوشیمیائی، به کنترل آنمالیهای ظاهری

اولیه اقدام گردیده است. در اینصورت می توان نتایج حاصل از روش های مختلف در یک

مدل مورد بررسی قرار داد و از این طریق به ارزیابی نهایی مناطق آنمال پرداخت.

در این پژوهه در محدوده برگه ۱/۱۰۰،۰۰۰ سیزوار و در محدوده آنمالیهای

ژئوشیمیائی، اقدام به برداشت ۵۵ نمونه سنگی از زونهای مینرالیزه، دگرسان شده و

سیستم های شکستگی محل عبور محلولها گردیده است. این نمونه ها در محدوده زونهای

آنومالی یا در اطراف آنها از رگه‌ها، زونهای برشی، اکسید آهنی بر جا و یا از قطعات مینرالیزه در کف آبراهه‌ها برداشت گردیده است. تمامی ۵۵ نمونه جهت آنالیز شیمیائی به آزمایشگاه فرستاده شده است که در نتیجه آن در جدول ۱-۷ آورده شده است.

۸- آنالیز ویژگی نمونه‌های مینرالیزه

این آنالیز جهت رتبه‌بندی نمونه‌ها و عناصر اندازه‌گیری شده صورت می‌پذیرد. این آنالیز عناصر کانساری را از جهت پتانسیل کانی‌سازی آنها رتبه‌بندی می‌کند. جدول ۱-۷ رتبه‌بندی نمونه‌هارا بر حسب پتانسیل نزولی آنها نشان می‌دهد. اعداد مربوط به رتبه هر یک از نمونه‌ها و متغیرها براساس رتبه‌های معادل ۱، ۲، ۰ بترتیب برای کانی‌سازی کانساری، کانی‌سازی غنی شده و کانی‌سازی پراکنده و عقیم هر یک عناصر در نمونه محاسبه گردیده است. بدینصورت که در ماتریس نمونه - عنصر مقدار فراوانی یک عنصر یا در حد کانی‌سازی کانساری، یا در حد کانی‌سازی غنی شده و یا در حد کانی‌سازی پراکنده بوده است. در اینصورت برای هر یک بترتیب اعداد ۱، ۲، ۰ و در ماتریس ذکر شده قرار داده می‌شود. ماتریس حاصل یکبار برای متغیرهای عنصری و یکبار برای نمونه‌ها آنالیز ویژگی می‌شود. داده‌های این جدول معرف آنستکه بیشترین امتیاز کسب شده برای کانی‌سازی در نمونه SBM-۸۸۵ با ۳۰/۷۶ امتیاز و می‌nim آن یعنی صفر در چندین نمونه مشاهد می‌شود.

بمنظور تعیین پتانسیل کانی‌سازی نسبت به عناصر کانساری در محدوده برگه ۱/۱۰۰،۰۰۰ سیزوار، آنالیز ویژگی برای عناصر نیز صورت پذیرفته است که نتیجه آن در جدول ۳-۷ آمده است. داده‌های این جدول معرف آنستکه بیشترین پتانسیل کانی‌سازی در نمونه‌های مینرالیزه متعلق به جیوه با امتیاز ۴۷/۵۹ و بترتیب نزولی مربوط به C_{II} با

Table 7-1 : Analytical Results of Mineralized , Plumbing System And Alteration Samples in Sabzevar 1/100,000 Sheet

Sample No.	Type of Sample	Au ppb	Cu ppm	Pb ppm	Zn ppm	Ag ppm	Sn ppm	As ppm	Sb ppm	Bi ppm	Hg ppm	Fe %	Co ppm	Mn ppm	Ti ppm	Cr ppm	Ni ppm	V ppm	W ppm	Mo ppm	
SBM- 801	Mineralized	1.4	960	1.2	1.45	0.076	1.4	3.59	0.51	0.21	0.036	4.86	5.09	280	324	42.3	275	397	34.9	1.28	2.4
SBM- 802	Mineralized	320	20000	5	34	0.82	1.4	2.43	0.71	0.76	0.022	5.82	4.1	336	5394	35.1	37.3	192	111	0.43	37.2
SBM- 803	Mineralized	1.3	110	5.6	20	0.092	1.4	0.67	0.13	0.21	0.021	0.35	1.05	68.8	1086	39.9	129	3.35	21.4	0.97	2
SBM- 805	Mineralized	220	52000	5	88	0.36	1	2.09	0.77	0.69	0.94	8.53	32.7	1803	3023	35.7	152	117	268	0.32	2.8
SBM- 806	Mineralized	3.8	1000	5	160	0.11	5.6	4.01	0.16	0.45	0.021	20.8	30.6	393	10986	3	88.7	130	317	0.33	1.42
SBM- 807	Mineralized	3	34	5	60	0.061	1	1.35	0.14	0.21	0.019	1.1	2.64	401	645	20.6	7.83	39.5	22.8	0.38	0.62
SBM- 808	Mineralized	2.2	62	20	42	0.068	1.7	8.39	0.61	0.21	0.017	2.63	13.2	3008	1510	85.9	273	40.3	36.3	0.75	1.34
SBM- 809	Mineralized	14	12000	5	44	0.41	2	4.73	0.52	0.21	0.023	9.88	4.68	737	1823	4.74	397	293	262	0.33	26.6
SBM- 810	Mineralized	2.4	80	5	48	0.062	1	0.72	0.13	0.21	0.018	2.4	20.2	637	1470	6.26	484	252	98.3	0.3	0.38
SBM- 811	Mineralized	9.8	13000	8.4	52	0.96	3.2	1.85	0.43	0.25	0.036	6.68	21.4	1086	3819	48.9	110	167	219	0.33	7
SBM- 812	Mineralized	3.4	250	8.6	70	0.096	1.4	0.75	0.21	0.091	1.44	6.23	27.9	1555	317	127	287	19.5	0.73	1.48	
SBM- 813	Mineralized	2.3	96	5	50	0.061	1	4.81	0.42	0.21	0.046	4.28	52.6	1027	1129	42.1	907	1122	103	0.3	0.38
SBM- 814	Mineralized	1	135	22	78	0.13	1.7	1.17	0.21	0.21	0.056	6.46	34.6	924	8140	263	64.7	45.7	282	0.3	0.28
SBM- 815	Mineralized	2.2	82	5	78	0.061	1	56.9	0.55	0.21	0.088	4.31	45.5	1491	245	53.9	623	888	44.6	0.33	0.8
SBM- 816	Mineralized	1.7	27	5	50	0.054	1	14.7	0.25	0.21	0.026	4.38	67.8	73.4	273	11.4	1215	1421	97	0.3	0.38
SBM- 817	Mineralized	4.6	870	21	46	0.11	2	12.1	0.45	0.21	0.046	29	7.68	32.4	2686	13.1	169	110	349	0.3	5.2
SBM- 818	Mineralized	1.5	44	9.8	60	0.081	1	4.12	0.24	0.21	0.033	5.06	64.5	885	283	15.9	546	1057	66.8	0.3	1.22
SBM- 869	Mineralized	1850	44000	22	76	22.5	3.2	30.3	4.33	2.58	24.8	41.6	23.5	54.2	132	245	63.5	220	8	0.33	1.94
SRM- 844	Mineralized	50	85000	5	25	41.1	1	9.74	0.78	0.21	0.084	4.87	20.3	10668	2987	41.9	77.3	28.3	296	0.33	24.4
SRM- 845	Mineralized	2.1	110	10	64	0.12	1.8	8.66	0.51	0.21	0.027	4.6	22.3	842	4370	232	285	165	174	0.36	0.5
SRM- 857	Mineralized	3.2	80	5	50	0.061	1	2.84	0.19	0.21	0.017	2.05	3.41	2164	694	50.8	59.4	89.2	57.4	0.3	0.42
SRM- 858	Mineralized	1.2	190	5	90	0.084	1.5	3.08	0.21	0.21	0.016	9.82	38.5	1500	5981	33.6	28.9	73.2	451	0.3	12.4
SRM- 860	Mineralized	2.2	38	5	50	0.086	1.2	11.9	0.55	0.21	0.011	4	19	760	6387	136	128	74.6	118	0.3	0.62
SRM- 861	Mineralized	190	140	5	46	0.081	1.5	3.77	0.28	0.21	0.011	4.83	15.7	1110	2960	60.1	33.4	20.2	154	0.3	0.36
SRM- 862	Mineralized	9	100	33	105	0.15	1.8	2.66	0.38	0.21	0.033	3.14	9.24	740	2501	235	47.2	13.9	113	0.44	0.94
SRM- 863	Mineralized	2.4	42	6.2	88	0.096	1.9	1.12	0.11	0.21	0.011	7.27	33.4	1418	5551	370	84.1	156	279	0.33	0.62
SNM- 819	Mineralized	2.4	300	35	500	0.56	2	21.5	0.23	0.21	0.067	3.94	10.8	985	2680	21.6	143	16.5	170	0.54	1.98
SNM- 820	Mineralized	1.2	70	13	110	0.098	1.9	1.64	0.21	0.21	0.038	5.18	25.1	944	7633	285	34.9	77.2	174	0.3	0.4
SNM- 821	Plumbing	2.7	235	60	46	0.091	1.2	3.23	0.35	0.21	0.015	2.68	9.88	796	3370	10.3	34.2	64	66.2	0.33	1.52
SNM- 822	Mineralized	8	96	5.4	82	0.15	2.5	16.1	0.17	0.37	0.019	8.22	26.5	976	5252	107	140	56.3	348	0.3	3.2
SNM- 823	Mineralized	1.8	155	40	78	0.068	1	4.28	0.71	0.21	0.11	3.75	20.5	957	1179	14.8	60.8	53.7	151	0.89	0.38

Table 7-1 : Analytical Results of Mineralized , Plumbing System And Alteration Samples in Sabzevar 1/100,000 Sheet .

Sample No.	Type of Sample	Au ppb	Cu ppm	Pb ppm	Zn ppm	Ag ppm	Sn ppm	As ppm	Sb ppm	Bi ppm	Hg ppm	Fe %	Co ppm	Mn ppm	Ti ppm	Ba ppm	Cr ppm	Ni ppm	V ppm	W ppm	Mo ppm
SNM- 824	Mineralized	4.8	185	20	98	0.13	2.6	2.91	0.39	0.21	0.027	7.58	28.9	1031	6149	57.1	77.9	124	317	0.3	0.42
SNM- 825	Mineralized	1	56	5	100	0.091	1.2	6.94	0.29	0.21	0.017	1.27	3.44	684	1752	48.1	41.6	46.2	24.2	0.33	5.8
SNM- 826	Mineralized	3	96	5	34	0.082	1	2.78	0.15	0.21	0.011	3.58	55.5	524	175	15.3	378	1235	51.9	0.3	0.88
SNM- 827	Mineralized	16	290	5.5	300	0.051	1.7	1.55	0.15	0.21	0.096	2.51	6.87	387	1874	47	92.5	9.94	13.2	0.52	3
SNM- 828	Mineralized	9	5300	95	670	0.65	1.8	15.9	1.71	0.21	0.54	2.68	21.5	1246	666	209	345	37.7	22.9	1.74	2.8
SNM- 829	Mineralized	10	570	5	24	0.051	1	0.74	0.19	0.21	0.16	1.25	2.29	784	1761	34.9	49	70.9	61.9	0.33	2
SNM- 830	Mineralized	4.4	26	5	51	0.051	1.2	7.98	0.78	0.21	0.076	4.26	60.6	624	726	10.2	492	869	58	0.3	2.8
SNM- 831	Altered	21	45	43	95	1.51	2.7	66.9	3.03	0.21	0.085	4.52	14.3	730	4430	373	68.8	99	68.3	1.02	3.8
SNM- 832	Mineralized	3.1	970	27.5	220	0.11	2.7	5.16	0.67	0.21	0.099	9.83	38.9	1602	4889	107	60.2	80.2	350	0.32	0.38
SNM- 834	Mineralized	2.2	51	5	79	0.057	2.1	2.56	0.24	0.21	0.015	5.44	73	1292	1351	3	1072	1417	102	0.3	0.36
SNM- 835	Mineralized	1.3	300	5.5	51	0.049	1	11.9	4.99	0.21	0.023	22.2	48.6	599	3049	3	387	361	117	0.4	3.2
SNM- 836	Mineralized	1	410	12	120	0.14	1.5	4.07	0.61	0.21	0.087	3.41	15.6	1009	3465	198	85	43.5	95.4	0.44	0.98
SNM- 837	Altered	1	26	9.6	82	0.11	2.5	28.3	0.21	0.18	4.45	13.3	1474	6545	236	16.3	10.1	69.2	0.52	1.06	
SNM- 838	Plumbing	2.3	73	5.5	77	0.18	1.4	398	15.7	0.21	0.84	10.9	82.3	10483	150	651	970	1340	76.2	1	2.2
SNM- 839	Mineralized	1.4	40	6.1	65	0.062	1.4	32.3	2.11	0.21	0.16	2.19	47.2	2859	81.9	13.4	697	312	23.4	1.17	1.3
SNM- 840	Plumbing	2.7	500	11	20	0.19	1.4	1.96	0.97	0.21	0.15	1.04	3.09	350	835	70.3	197	10.6	31.4	1.74	3.2
SNM- 841	Mineralized	3.6	71	21	53	0.055	1.1	1.41	0.61	0.21	0.059	4.12	17.7	2405	4007	63.6	41.7	18.3	119	0.3	0.4
SNM- 842	Mineralized	1.5	58	15	92	0.068	1.8	9.62	1.27	0.21	0.082	5.73	30.1	1305	7611	153	5692	58.7	191	0.3	0.44
SNM- 843	Altered	1.2	42	6.5	56	0.052	1.7	3.52	0.54	0.21	0.037	3.17	11.9	510	3202	203	58.4	52.4	92	0.4	0.42
SNM- 864	Plumbing	2.8	53	5	51	0.051	1	0.97	0.43	0.21	0.031	2.96	42	513	161	3	1017	876	61.4	0.3	0.4
SNM- 865	Plumbing	1.2	27.5	5	115	0.051	1.4	0.64	0.35	0.21	0.053	2.56	2.6	853	157	84.4	23.4	1.92	83.1	0.33	0.4
SNM- 866	Mineralized	1.3	12	6.5	72	0.049	1	2.45	0.54	0.21	0.11	2.69	54.2	459	113	906	378	1004	42	0.3	0.4
SNM- 867	Altered	440	190	170	160	2.65	4.7	40.7	2.98	1.69	0.029	9.07	86.6	308	120	4.3	980	2133	17.8	0.4	2.8
SNM- 868	Mineralized	21	27.5	15	28	0.61	2.5	10.1	0.66	0.21	0.015	2.47	9.68	243	2093	27.1	203	396	22.4	1.03	1.7

Table 7-2 : Results of Characteristic Analysis for Mineralized Samples Based on Ginsburg Limits in Sabzevar 1/100,000 Sheet .

Sample No.	Rank of Score	Sample No.	Rank of Score
SBM- 805	30.76	SNM- 865	7.28
SBM- 869	27.86	SBM- 813	6.48
SRM- 844	25.38	SBM- 801	5.66
SNM- 828	25.00	SBM- 806	5.66
SNM- 838	22.54	SBM- 817	5.66
SBM- 802	18.87	SBM- 808	5.10
SNM- 837	17.72	SRM- 857	5.10
SNM- 839	17.72	SRM- 858	5.10
SNM- 866	15.36	SRM- 863	5.10
SBM- 809	14.73	SNM- 824	5.10
SNM- 823	14.56	SNM- 868	5.00
SNM- 829	14.56	SBM- 816	4.00
SNM- 840	14.56	SBM- 818	2.83
SNM- 832	14.18	SNM- 826	2.83
SBM- 811	14.07	SNM- 864	2.00
SRM- 861	12.25	SBM- 803	0.00
SNM- 842	11.27	SBM- 807	0.00
SBM- 815	10.82	SBM- 810	0.00
SNM- 836	10.82	SRM- 845	0.00
SNM- 841	10.82	SRM- 860	0.00
SNM- 867	10.77	SRM- 862	0.00
SNM- 827	10.00	SNM- 820	0.00
SNM- 831	10.00	SNM- 821	0.00
SNM- 834	7.35	SNM- 822	0.00
SBM- 812	7.28	SNM- 825	0.00
SBM- 814	7.28	SNM- 835	0.00
SNM- 819	7.28	SNM- 843	0.00
SNM- 830	7.28		

Table 7-3 : Results of Characteristic Analysis for Variables in Mineralized Samples Based on Ginsburg Limits in Sabzevar 1/100,000 Sheet.

Variable	Rank of Score
Hg	59.47
Cu	40.37
Mn	34.86
Au	32.28
Ni	10.20
Cr	5.00
Zn	3.16
Pb	0.00
Ag	0.00
Sn	0.00
As	0.00
Sb	0.00
Bi	0.00
Co	0.00
Ba	0.00
V	0.00
W	0.00
Mo	0.00

Mn , ۴۰/۳۷ با Au , ۳۴/۸۶ با Ni , ۳۲/۲۸ با Cr , ۱۰/۲ با Zn و ۵ با $3/16$ می باشد.

امتیاز عناصر آنالیز صفر Mo , V , Ba , Co , Bi , Sb , As , Sn , Ag , Pb در این

است که نشان از عدم وجود پتانسیل کانی سازی در این منطقه دارد.

۹- مطالعه تغییرپذیری دانسیتۀ گسلها

۱-۹ - مقدمه

ارتباط کانی سازی با توسعه زونهای شکسته شده در شرح خدمات آمده است. از آنجاکه در تشکیل بسیاری از کانسارها سیالات کانه ساز نقش اساسی دارند و برای حرکت آنها نیاز به کانالهایی در ابعاد مختلف (از چندین سانتی متر تا میکروسکوپی) می باشد شده (چه در مناطق کششی و چه در مناطق فشاری) محتمل تر است. لذا مطالعه زونهای شکسته شده و مقایسه نقشه توزیع آنومالی ها با نقشه توزیع شکستگی ها می تواند در ارزیابی آنومالیها مفید واقع شد نکه اساسی در این مورد آن است که زمان تشکیل شکستگی در این خصوص بسیار بالا همیت است. زیرا بدیهی است که تنها شکستگیهایی که قبل از فعال شدن پدیده کانی سازی توسعه یافته باشند و می توانند در ایجاد کانالها و تسهیلات لازم جهت حرکت سیالات گرمابی و تشکیل کانسارهای تیپ اپی ژنتیک هیپوژن مؤثر باشند. بنابراین شکستگی هایی که بعد از کانی سازی توسعه می یابند ممکن است فقط بتوانند در توسعه هاله های ثانوی آنها و تشکیل زون غنی شدگی اکسیدی و یا احیائی از نوع اپی ژنتیک سوپرژن مؤثر واقع شوند. البته توسعه شکستگی های نوع اخیر موجب تسهیل در فرآیند اکسیداسیون عناصر کانساری و در نتیجه افزایش قابلیت حرک آنها و نهایتاً توسعه هاله های ثانویه آنها خواهد شد.

از آنجاکه در بررسیهای اکتشافی ناحیه‌ای در مقیاس ۱/۱۰۰،۰۰۰ اندازه‌گیری شکستگی‌ها امکان پذیر نیست. لذا توصیه شده است تا از طریق مطالعه دانسیت‌گسلها به محدوده زونهای بیشتر شکسته شده دست یافت. بدیهی است زونهای کششی ممکن است شکستگی‌هائی توسعه یابند که همراه با گسلش نباشند. در این بررسی بدلیل نبود نقشه زمین‌شناسی در مقیاس ۱/۱۰۰،۰۰۰ از نقشه ۱/۲۵۰،۰۰۰ آن و نیز در نظر گرفتن گسلهای گزارش شده در مطالعات ژئوفیزیک هوائی استفاده شده است. مشاهدات صحرایی معرف آنست که چنین نقشه‌هایی از افت کافی برخوردار نبوده است و این نظر توصیه می‌شود که نقشه‌های ژئوشیمیایی در مکانهایی تهیه گردد که نقشه‌های ۱/۱۰۰،۰۰۰ آنها قبل تهیه شده است.

۲-۹ روش مطالعه

در این پروژه روش مطالعه دانسیت‌گسلها، که می‌توان آن را تا حدودی منعکس کنند؛ دانسیت‌گسلهای فرض کرد، به شرح زیر بوده است:

- ۱- انتقال گسلهای موجود روی نقشه ژئوفیزیک هوایی بر روی نقشه زمین‌شناسی
- ۲- انتخاب مبدأ مختصات در گوشه جنوب غرب برگه زمین‌شناسی
- ۳- رسم شبکه مربعی به مساحت یک کیلومترمربع برای نقشه زمین‌شناسی. بدین ترتیب برای هر برگه زمین‌شناسی حدود ۲۵۰۰ سلول به مساحت یک کیلومترمربع مشخص می‌گردد.
- ۴- اندازه‌گیری طول گسلهای موجود در هر واحد شبکه و سپس محاسبه حاصل جمع آنها بازه واحد سطح. در این مورد گسلهایی که دارای امتداد مختلف هستند. طول آنها بدون در نظر گرفتن امتدادشان در نظر گرفته می‌شود، زیرا اثر آنها و ایجاد

شکستگی‌ها مشابه فرض می‌شود. این حاصل جمع طول گسلها به مرکز همان واحد

شبکه نسبت داده می‌شود.

۵- اندازه‌گیری آزیموت گسلهای مختلف موجود در هر واحد شبکه و سپس رسم

دیاگرام رز آنها و تحلیل نتایج حاصل.

۶- مطالعه آماری مجموع طول گسلها و سپس رسم نقشه توزیع آن در هر برگه.

۳-۹- داده‌های خام

پس از انجام مراحل مشروح در بندهای ۱، ۲، ۳، ۴ و ۵ فوق، نتایج مربوط به

مجموع طول گسلها همراه با مختصات هر سلول و آزیموت آنها در جدول داده‌های خام

خلاصه می‌شود (جدول ۴ برروی CD خام). در این جدول در هر واحد شبکه که گسل در

آن وجود داشته یک عدد بعنوان مجموع طول گسلها ثبت گردیده است ولی ممکن است

یک یا چندین آزیموت اندازه‌گیری شده باشد که بستگی به تعداد گسلها و تنوع امتداد آنها

در هر واحد شبکه دارد.

۴-۹- پارامترهای آماری مجموع طول گسلها

در محدوده برگه ۱/۱۰۰،۰۰۰ سبزوار از حدود ۲۵۰۰ واحد شبکه، در ۶۵۴ واحد

مجموع طول گسلها اندازه‌گیری شده است که فقط حدود ۲۶٪ مساحت تحت پوشش را

شامل می‌شود. شکل ۱۷-۷ هیستوگرام توزیع دانسته گسلها را برابر حسب متر بر

کیلومترمربع نشان می‌دهد. همانطور که ملاحظه می‌شود این کمیت توزیع فراوانی نزدیک

به نرمال با چولگی مثبت دارد. متوسط طول گسلهای موجود در واحدهای شبکه دارای

گسل، ۴۱۷ متر می‌باشد. حداقل طول گسل موجود در یک واحد شبکه دارای گسل ۳ متر

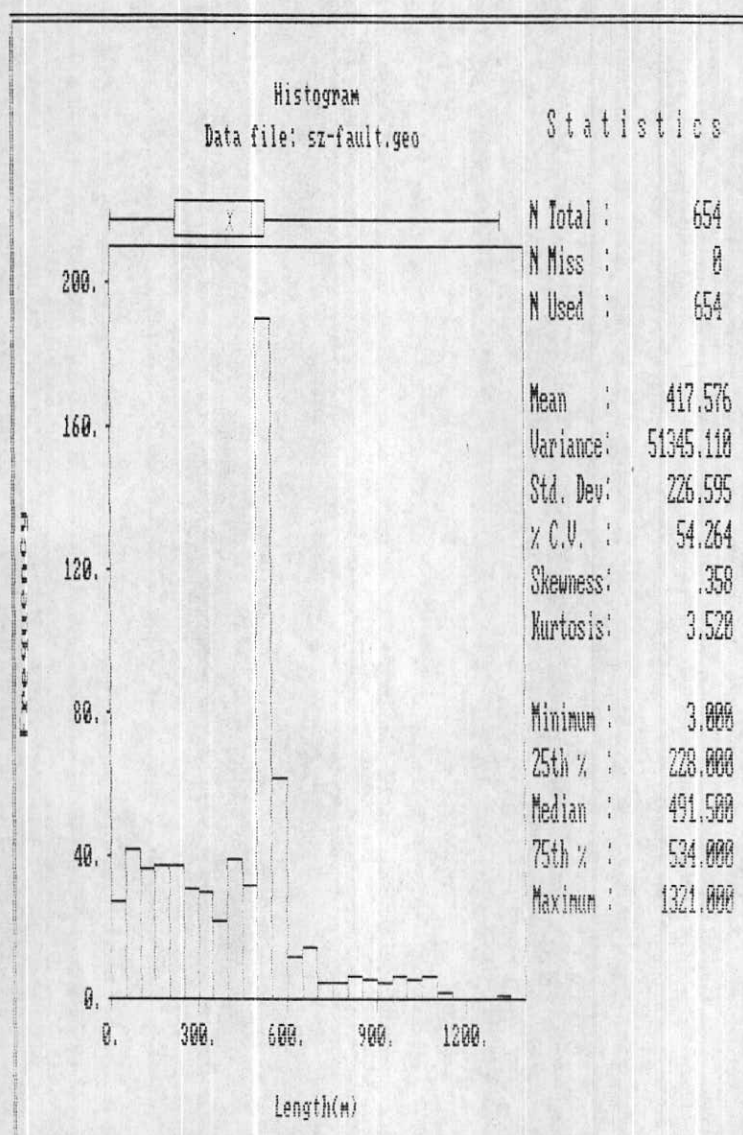


Fig. 7- 17

و حداقل آن ۱۳۲۱ متر بوده است. مع الوصف با چنین تغییرات شدید دامنه اندازه گیریها، ضریب تغییرات این متغیر حدود ۵۴٪ است زیرا دامنه فوقانی آن محدود به تعداد اندکی است. رقم معادل ۷۵٪ فراوانی، حدود ۵۳۴ متر می باشد. این رقم برای رسم نقشه ها و تعیین محدوده های با شکستگی نسبی بالا ملاک قرار گرفته است. از آنجا که این هیستوگرام تنها یکتابع توزیع را نشان می دهد نمی توان واحدهای مختلف لیتوژئیک را براساس میزان شکستگی های آنها طبقه بندی نمود.

۵-۹- پارامترهای آماری امتداد گسلها

شکل ۱۸-۷ هیستوگرام توزیع امتداد شکستگی ها را در واحدهای شبکه ای دارای گسل نشان می دهد. این هیستوگرام بوضوح نشان می دهد که امتداد غالب در محدوده این برگه بین ۱۰۰ تا ۱۲۰ قرار دارد. این امتداد با امتداد محور کمپلکس سازگاری دارد و از این رو به نظر می رسد که بوسیله عوامل ساختمان ناحیه ای کنترل می شود. بنابراین تا آنجا که به امتداد این گسلها در محدوده این برگه مربوط می شود توسعه گسلها و به تبع آن امتداد زونهایی با شکستگی بیشتر از روندهای تکتونیکی ناحیه ای تبعیت می کند. شکل ۱۹-۷ دیاگرام رزدادهای امتدادی مربوط به گسلها را نشان می دهد که تا حدودی منعکس کننده ایزوتروپی نسبی آنها می باشد. این شکل معرف آن است که در امتداد ۱۰۰ تا ۱۲۰ درجه ($10 \pm$ درجه) تعداد گسلها چشمگیر است. قابل توجه است که این دیاگرام رز براساس ۶۵۴ امتداد مختلف اندازه گیری شده ترسیم یافته است بنابراین بنحوی اثر طول گسل در امتدادهای اندازه گیری شده مؤثر بوده است.

۶-۹- رسم نقشه دانسیته گسلها

برای رسم نقشه توزیع دانسیته گسلها از روش ژئواستاتیستیک استفاده شد در این

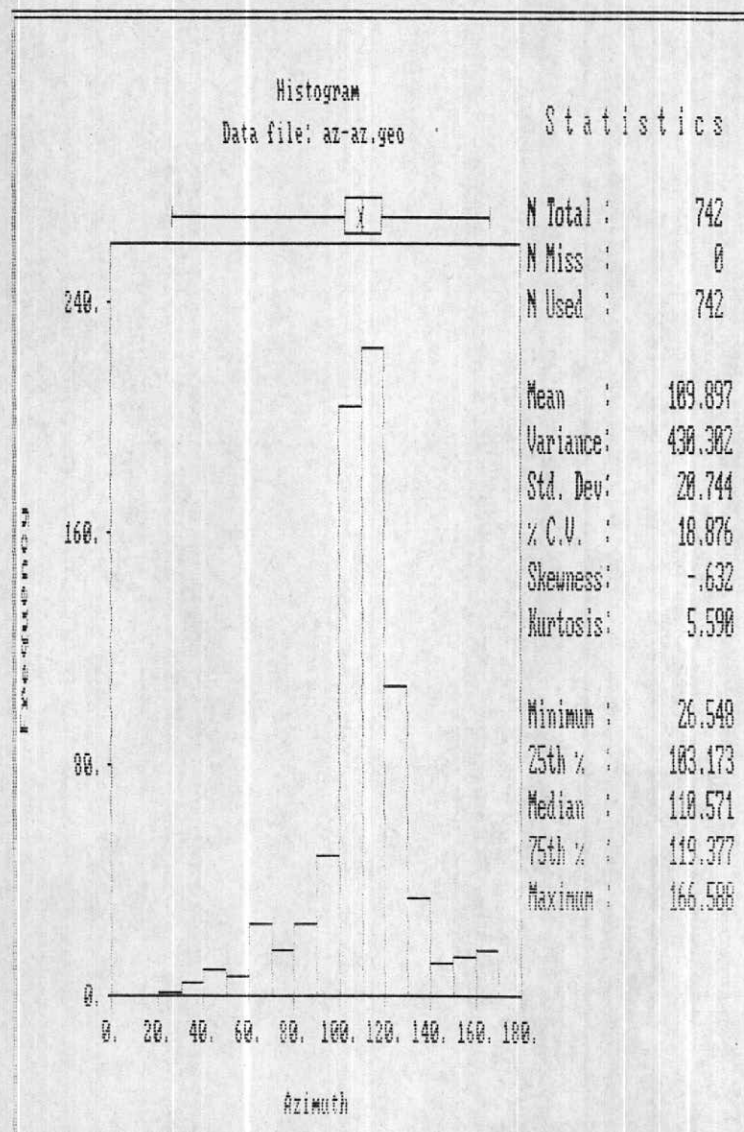


Fig. 7- 18

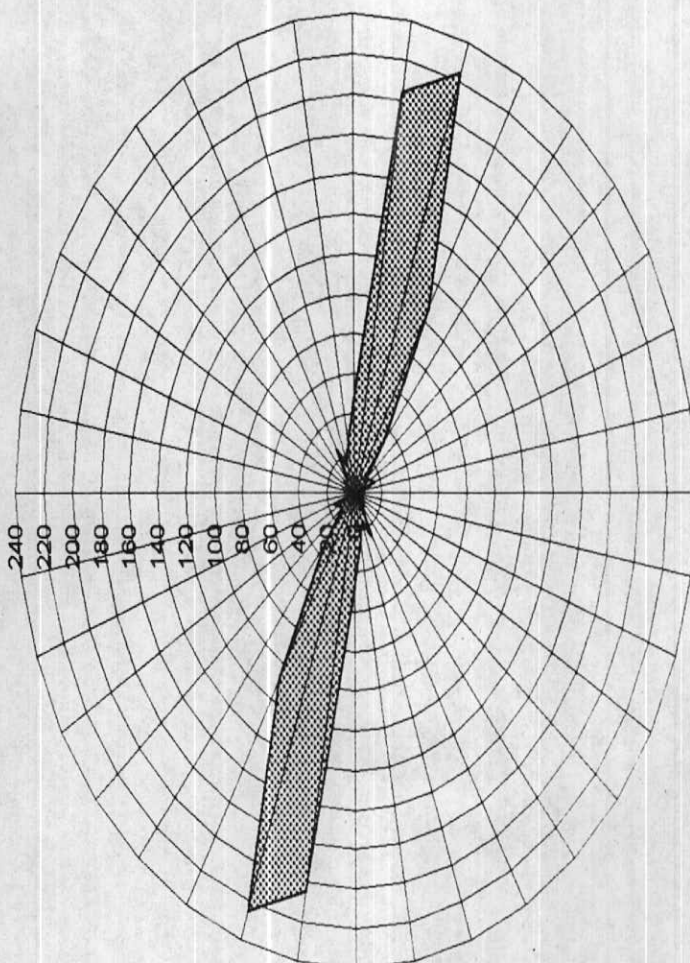


Fig. 7- 19 Rose Diagram of Fault Azimuth Frequency in Sabzevar 1/100,000 Sheet .

مورد پس از رسم واریوگرام داده‌ها مشخص گردید که ساختار فضائی لازم برای تخمین ژئواستاتیستیکی در بین این داده‌ها ضعیف می‌باشد. شکل ۲۰-۷ واریوگرام دانسته گسلها را برای ۱۱۱۰۵ جفت داده نشان می‌دهد. داده‌های موجود در این شکل معرف آن است که سقف واریوگرام حدود ۶۰,۰۰۰ می‌باشد. بر طبق این دیاگرام می‌توان دامنه حدود ۲ کیلومتر را برای واریوگرام مشخص نمود (با مقدار اثر قطعه‌ای حدود ۲۰,۰۰۰، یعنی ۳۰٪ تغییرات تصادفی است). با توجه به نسبت سقف واریوگرام به مقدار اثر قطعه‌ای، می‌توان دریافت که ساختار فضائی بین این داده‌ها ضعیف است و از این رو تخمین‌ها دارای خطای قابل ملاحظه‌ای می‌باشند. یکی از دلایل آن استفاده از نقشه ۱/۲۰,۰۰۰ جابجای نقشه ۱/۱۰,۰۰۰ است که از دقت کافی برخوردار نیست و توزیع فضائی دانسته گسلها داری مؤلف تصادفی بالائی است.

با توجه به ضعیف ساختار فضایی شعاع جستجوی معادل ۲ کیلومتر برای تخمینهای مربوطه و رسم نقشه‌ها انتخاب گردید. نقشه شماره ۱۰ این توزیع را در محدوده برگه ۱ سبزوار نشان می‌دهد. برای رنگ آمیزی نقشه مقادیر نظری ۰٪، ۲۵٪، ۵۰٪ و ۷۵٪ ملاک قرار گرفته‌اند.

۷-۹- انطباق محدوده آنومالیهای ژئوشیمیائی با محدوده زونهای با شکستگی زیاد همانگونه که در نقشه شماره ۱۰ دیده می‌شود، در محدوده برگه سبزوار، علاوه بر محدوده‌های کوچک با شکستگی بالا، سه زون گسترده با شکستگی بالا مشاهده می‌گردد. یک زون گسترش یافته در بخش شمال غرب برگه ۱/۵۰,۰۰۰ سبزوار و در غرب شهر سبزوار با مساحت حدود ۳۰ کیلومترمربع قرار دارد. این زون تنها بر آنومالی ضعیف و کم وسعتی از متغیر Mn و تا حدودی بر متغیرهای کانی سنگین اپیدوت و مجموعه کانیهای

Variogram for Length(m)

Parameters

File : sz-fault.pcf

Pairs : 4043

Direct. : .000

Tol. : 90.000

MaxBand: n/a

Length(m) Limits

Minimum: 3.000

Maximum: 1321.000

Mean : 417.576

Var. : 51266.

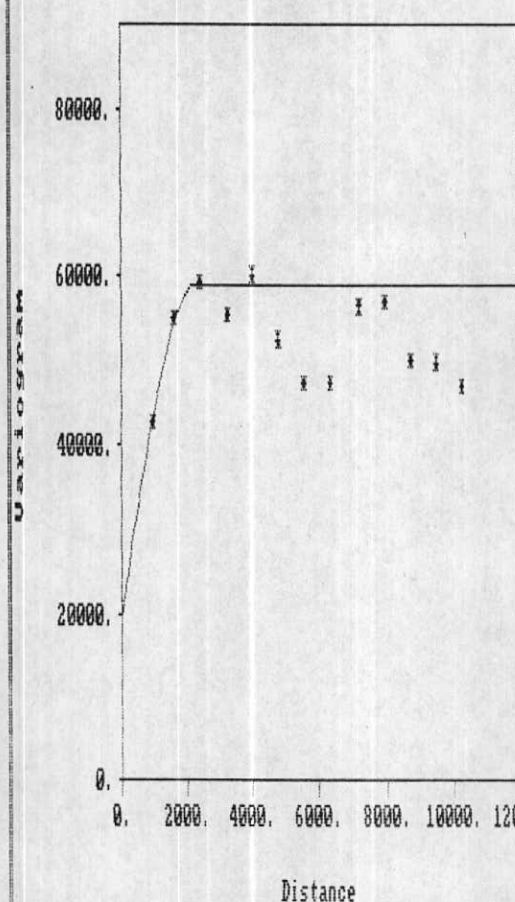


Fig. 7- 20

آهندار انطباق دارد.

دو زون دیگر در برگه ۱/۵۰،۰۰۰ نوده ارباب قرار دارند. یک زون گسترش یافته در غرب آبادی افچنگ با مساحت حدود ۲۵ کیلومترمربع و دیگری در اطراف روستای بید با مساحت تقریبی ۱۵ کیلومترمربع قرار دارد. البته زونهای با شکستگی زیاد در نقاط مختلف مشاهده می‌گردند که تنها به ذکر وسیعترین آنها اقدام شده است. زون گسترش یافته غرب افچنگ منطبق بر آنومالیهای عناصر Hg , Cu می‌باشد که بر اهمیت آن می‌افزاید. در این محل همچنین تا حدود زیادی آنومالیهای متغیرهای اپیدوت و کانه‌های با ارزش کانی سنگین، انطباق نشان می‌دهند که ارزشمند است. در محل زون گسترش یافته اطراف روستای بید با اندازی جابجایی آنومالیهای Au و Hg مشاهده گردیده است ولی هیچیک از متغیرهای کانی سنگین در این محل آنومالی نشان نداده‌اند. در مواردی نیز آنومالیهای ژئوشیمیائی بر زونهای بدون گسل یا با دانستیه گسل کم منطبق می‌گردد که این امر بعلت نبود اطلاعات گسل در مقیاس ۱/۱۰۰،۰۰۰ می‌باشد.

فصل هشتم

مدل سازی آنومالیهای ژئوشیمیائی

۱- روش کار

یکی از معضلات بررسیهای اکتشافی ژئوشیمیائی، انتخاب مناطق امیدبخش و اولویت بندی آنها برای کارهای نیمه تفصیلی است. ریشه مشکلات مربوط به این آنستکه کار ملاک ژئوشیمیائی معینی برای این کار تعریف نشده است و اگر هم تعریف شود ممکن است نتواند بطور مؤثر بکار برد شود. زیرا مجموعه داده‌های ژئوشیمیائی، کانی سنگین و نمونه‌های مینرالیزه و آلتراسیون، تا زمانیکه در چهار چوب یک مدل کلی مورد سنجش قرار نگیرد و میزان سازگاری کلیه مشاهدات مشخص نشود، از اعتبار لازم برای تصمیم‌گیری برخوردار نخواهد بود و تکیه بر آنها می‌تواند ریسک عملیات اکتشافی را بالا برده و پیامدهای ناخواص ایندی را بهمراه داشته باشد.

برقراری چنین مدلی در اکتشافات ناحیه‌ای در مقیاس ۱/۱۰۰،۰۰۰ نیاز به کسب اطلاعاتی در زمینه‌های ناحیه‌ای و محلی دارد. اطلاعات ناحیه‌ای که آنومالی ثانویه را در بر می‌گیرد شامل سکانسهای موجود در منطقه، سنگ درونگیر، دامنه سنی آنها و شرایط تکتونیکی محیط مربوط به آنهاست. شرایط محلی بیشتر محدود به ویژگیهای موجود در محدوده آنومالی ثانوی است که شامل ویژگیهای محیط آنومالی از قبیل پدیده‌های ماقمائي، دگرگونی، رسوبی فعال در محدوده آنومالی و همچنین شرایط زمین‌شناسی ساختمانی محدوده آنومالی، پارازنزهای ژئوشیمیائی توسعه یافته در محدوده آنومالی، ویژگیهای کانی‌شناسی فرایندهای بعد از ماقمائي شامل انواع آلتراسیونها و ساخت و بافت سنگها و زونهای کانی سازی احتمالي و بالاخره آنومالیهای ژئوفیزیکي در محدوده آنومالی

می باشد.

اگر بخواهیم اطلاعات فوق را، که شامل بیش از ۱۲۰۰ ویژگی تعیین شده است، برای ۹۳ تیپ کانسار مدل سازی شده به کار ببریم، نیاز به نرم افزاری است که قادر باشد براساس منطق خاصی از روی ویژگیهای معلوم در محل گسترش یک آنومالی معین محتملترین تیپ کانسار احتمالی وابسته به مجموعه خواص مشاهده شده را پیشنهاد نماید. مناسبترین منطق برای این کار، منطقی است که در آن هر کانسار مانند شیئی با خواص و ویژگیهای معین احتمال پذیر مورد مطالعه قرار گیرد. بنابراین در محل هر آنومالی، تعدادی از خواص که مورد اندازه‌گیری قرار گرفته است، عنوان خواص احتمالی آن شئی معلوم می باشد. وجود هر یک از خواص در اثبات تشابه با کانساری معین، از امتیاز تعیین شده‌ای بروخوردار است و نبود آن خاصیت در رد آن کانسار نیز امتیاز تعیین شده معینی دارد. با توجه به مراتب فوق می توان با مطمئن بودن از وجود بعضی از خواص و نبود بعضی از خواص، محتملترین تیپ کانسار وابسته را پیش‌بینی کرد که بیشترین سازگاری و کمترین ناسازگاری را با مجموعه خواص مشاهده شده در محل توسعه آنومالی داشته باشد. چون در مورد بعضی از خواص نه به وجود و نه به نبود آن اطمینان کافی در دست نیست، لذا لازم است در نرم افزار مورد نظر حق انتخاب دیگری به مفهوم خاصیت تعیین نشده وجود داشته باشد که در سنجش سازگاری و ناسازگاری مجموعه خواص بی اثر باشد.

بالاترین امتیاز کاربرد چنین مدلی اینست که پس از رتبه‌بندی آنومالیها براساس سازگاری آنها با تیپ معینی از کانسارها، عملیات اکتشافی احتمالی ای که باید در محدوده آن صورت پذیرد را با اولویت بندی پیشنهاد نماید. این کار از طریق مقایسه خواص داده شده در محل آنومالی با خواصی که محتملترین تیپ کانسار دارا می باشد، انجام می پذیرد.

۲- مدل سازی

۱-۲- مقدمه

مدل سازی آنومالی های ژئوشیمیابی یکی از مهم ترین موضوعاتی است که در دهه گذشته در زمینه اکتشافات ژئوشیمیابی مطرح شده است و بسرعت مسیر تحول خود را می گذراند. مدل سازی آنومالی های ژئوشیمیابی را می توان مانند هر نوع مدل سازی دیگری در زمینه های مهندسی، نوعی روش ساده سازی دانست که موجب سهولت در شناخت واقعی تر پدیده ها و رخدادها (برای مثال کانی سازی از تیپ خاصی) می شود. بدیهی است هر نوع مدل سازی با نوعی ساده سازی همراه است که ممکن است موجب بروز خطأ گردد. ریشه این خطأ می تواند در ارتباط با نادیده گرفتن عناصر و عوامل جزئی تر باشد. در مقابل این نقطه ضعف هر مدلی نقطه قوتی دارد و آن این است که ارتباط عناصر و عوامل اصلی یک پدیده و یا رخداد با مدل سازی روشن تر و شفاف تر می شود، زیرا امکان سنجش درجه سازگاری و ناسازگاری عناصر و عوامل موجود در یک رخداد (برای مثال مجموعه خواص مشاهده شده در یک تیپ در کانی سازی معین) با مدل سازی فراهم می گردد.

اگر داده های معرف یک تیپ خاصی از کانی سازی که در واقع مجموعه خواص آن تیپ کانی سازی است، در یک محیط معینی یافت شود می تواند دلالت بر رخداد آن تیپ کانی سازی داشته باشد. چنانچه خاصیتی بیگانه نسبت به مجموعه خواص فوق نیز مشاهده شود با مدل سازی می توان به بی اهمیت بودن آن پی برد. بر عکس اگر در مجموعه خواص سازگار از یک تیپ معین کانی سازی جای یک یا چند خاصیت خالی باشد، می توان برای یافتن احتمالی آنها و تأیید و یا تکذیب مدل به جستجوی هدف دار پرداخت. این جستجوی هدف دار خمیرمایه اصلی در طراحی برنامه اکتشافی برای فاز بعدی است.

بنابراین بدون مدل سازی نمی توان به تخمین قابل قبولی از احتمال پیدايش یک تیپ کانسار خاص (وابسته به مجموعه مشاهدات تجربی) در یک محیط زمین شناسی معین پرداخت. از نظر تاریخچه مدل سازی باید گفت که در قبل مدل سازی کانسار بیشتر براساس ژنز آنها صورت می گرفت و بدین دلیل کارآبی اکتشافی لازم را دارا نبود. ولی امروزه مدل سازی کانسار بیشتر بر اساس منطق ابجکت اورینتتدی است که در آن اساس کار بر وجود یا عدم ویژگی های مشترک معین قرار دارد. براساس این منطق هر تیپ کانسار خاص مانند شیئی می ماند که بوسیله مجموعه ای از خواص معین شناخته می شود، با این نگرش که پیدايش هر یک از خواص در این مجموعه حالت قطعی نداشته بلکه احتمال پذیر است و امکان بود و نبود آن با عددی بین صفر تا یک بیان می شود. چنین نگرش احتمال پذیری استفاده از منطق فازی (FUZZY Logic) را در مدل سازی کانسارترا اجتناب ناپذیر می سازد. به طور خلاصه انگیزه اصلی مدل سازی آنومالی های ژئوشیمیابی ارتباط دادن آماری آنها با نوع خاصی از کانی سازی است تا درجه سازگاری و ناسازگاری خواص اندازه گیری شده و مشاهدات مختلف مانند آنومالی های تک عنصری و پیدايش کانیهای سنگین خاص و انواع خاصی از دگرسانی ها در سنگ درونگیر معین با سن معین مورد سنجش قرار گیرد. از این طریق می توان آن دسته از خواص ژئوشیمیابی، کانی سنگین، هوازدگی، دگرسانی، سنگ درونگیر و غیره که به طور تصادفی در مجموعه خواص مشاهده شده در یک ناحیه ثبت گردیده اند را شناخت و سپس آنها را بعنوان خواص ناسازگار از مجموعه خواص مشاهده شده حذف کرد.

چنین منطقی موجب تصفیه مؤثر آنومالی های ژئوشیمیابی وابسته به کانی سازی از انواع دیگر می شود که خود موجب افزایش احتمال کشف و کاهش هزینه های اکتشافی می گردد. بنابراین با نسبت دادن یک مجموعه از آنومالی های ژئوشیمیابی ثبت شده در

یک منطقه به مدل خاصی می‌توان برای هر یک از ویژگی‌های کمی و کیفی آن با تکیه به مقدار پارامترهای مشابه در مدل استاندارد، تخمین‌های لازم را با دقت کافی بعمل آورده.

۲-۲- مدل‌های عددی

ویژگی‌های هر تیپ کانسار را می‌توان به دو گروه تعیین کننده و عادی تقسیم کرد. ویژگی‌های تعیین کننده شامل آن دسته از خواصی است که وجودشان در اثبات یک مدل خاص کانی‌سازی و یا نبودشان در رد یک مدل خاص کانی‌سازی می‌تواند مؤثر باشد. خواص عادی یک کانسار خواصی است که بود و نبودش در اثبات و یارده یک مدل معین نقشی ندارد. از آنجاکه اهمیت "بود" یک خاصیت و یا نبود آن در مقایسه با خواص دیگر، در اثبات یارده یک تیپ معینی از کانی‌سازی یکسان نیست، لذا لازم است برای وجود یک خاصیت (و یا نبود آن) در اثبات (یا رد) یک مدل کانی‌سازی وزن معینی انتخاب گردد. این وزنها از طریق محاسبات آماری روی ۳۶۰۰ کانسار شناخته شده در جهان بدست آمده و توسط کاکس و سینکلر (۱۹۸۷ و ۱۹۹۲) ارائه گردیده است. در این پژوهش، مدل‌سازی آنومالی‌های ژئوشیمیایی عمدتاً براساس وزن‌های فوق است که در یک مجموعه نرم افزاری جمع آوری شده است.

۳-۲- مدل‌سازی آنومالی‌های ژئوشیمیایی در برگه سبزوار

داده‌های به کار رفته در مدل سازی هر آنومالی شامل موارد زیر است: سکانس سنگهای منطقه در برگیرنده آنومالی، سنگ درونگیر آنومالی، سن سنگ درونگیر آنومالی، انواع دگرسانی‌های احتمالی در محدوده آنومالی، پارازنرهای ژئوشیمیایی در محدوده آنومالی، ترکیب کانه‌ها و کانیها در جزء کانی سنگین، ساخت و بافت سنگ درونگیر

و ساخت و بافت در زون مینرالیزه احتمالی، محصولات هوازدگی و خاستگاه تکتونیکی. حداقل امتیاز مثبت وجود یک خاصیت معین ۵ و حداقل آن ۴۰۰ می باشد. امتیازات منفی (بعثت نبود خاصیت) وابسته به خواص بین ۰ تا ۴۰۰ تغییر می کند. این مجموعه خواص در دورده اصلی ناحیه ای که با علامت R در جداول آمده است و محلی که با علامت L در جداول آمده است قرار می گیرند. از آنجا که اساس تهیه داده های ناحیه ای در این پروژه نقشه زمین شناسی ۱/۲۵۰،۰۰۰ بوده است و این نقشه ها دقت کافی برای کار ژئوشیمیایی در مقیاس ۱/۱۰۰،۰۰۰ را دارانعی باشند لذا امکان ورود انواع خطاهای در مدل سازی آنومالی های ژئوشیمیایی بخصوص در زمینه سنگ درونگیر و وضعیت ساختمنی بالا می باشد. از طرف دیگر برای بدست آوردن داده های حاصل از برداشت های چکشی اقدام گردید تا تواند جبران نقش های ۱/۲۵۰،۰۰۰ را در مدل سازی بنماید. بعلت تمام نشدن این برداشت ها در زمان ارائه این گزارش امکان استفاده از آنها در مدل سازی فراهم نگردید. چنانچه نقش های زمین شناسی ۱/۱۰۰،۰۰۰ همراه با داده های اکتشاف چکشی در دسترس باشد، می تواند تا حد زیادی دقت مدل سازی را افزایش دهد. از این رو لازم است یکبار دیگر پس از اخذ داده های زمین شناسی ۱/۱۰۰،۰۰۰ (خصوص سنگ شناسی و ساختمنی) و اکتشافات چکشی و ژئوفیزیکی (مغناطیسی و گاما سنجی) قبل از تهیه شرح خدمات اکتشافات نیمه تفصیلی با به کارگیری سیستم GIS به مدل سازی پرداخت. مشاهدات صحرایی در خلال فاز کنترل آنومالی های ژئوشیمیایی نشان داد که تعدادی از آنومالی های ژئوشیمیایی بدست آمده، در ارتباط با خطاهای ناشی از خشی شدن اثر سنگ بالادرست رسوبات آبراهه ای بوده است. لذا توصیه می شود نقش های ۱/۱۰۰،۰۰۰ ژئوشیمیایی در مناطقی تهیه گردد که قبل از نقشه زمین شناسی آنها تهیه گردیده است.

در محدوده برگه سبزوار در مجموع ۳۲ آنومالی ژئوشیمیابی تشخیص داده شده است که بعضاً تک عنصری ولی بیشتر چند عنصری می‌باشد. بعضی از آنومالی‌ها (شش مورد) در فاز مدلسازی به علت کمی تعداد داده‌های لازم حذف شده‌اند. برای هر مورد از آنومالی‌ها که تحت عنوان ۱ SAB ۳۲ تا ۳۲ SAB (به استثنای موارد حذف شده) شماره‌گذاری شده است سه نوع خاصیت به نرم افزار داده شده است:

۱- خواصی که وجود آنها بوسیله یکی از روش‌های به کار گرفته شده در پروژه مانند روش‌های ژئوشیمیابی، کانی سنگین، دگرسانی، زونهای کانی‌سازی و سیستم‌های پلیمینگ، ژئوفیزیک هوایی، سنگ شناسی و زمین شناسی ساختمانی به اثبات رسیده است.

۲- خواصی که از طریق بررسی‌های لازم به نبود آنها در محیط یک آنومالی معین در حد امکان اطمینان حاصل شده است.

۳- خواصی که پس از بررسی‌های انجام شده فوق در بود یا نبود آنها (به نتیجه‌ای که قابل تصمیم‌گیری باشد) اطمینان حاصل نشده است.

نتیجه مدل‌سازی آنومالی‌های بیست و شش گانه برگه ۱/۱۰۰,۰۰۰ سبزوار به صورت جداولی که در زیر تشریح می‌شود آورده شده است (داده‌های خام هر یک از آنومالی‌های ۲۶ گانه و موقعیت محل پیدایش هر یک بهمراه مشاهدات صحراوی مربوط به هر یک در جداول ۱-۸ (گزارش ضمیمه) و ۲-۸ آورده شده است):

۱- در بالای هر جدول شماره آنومالی مطابق آنچه که در شرح آنومالی‌های در صفحات گذشته آورده شده است نشان داده می‌شود مانند ۱ SAB ۲۰ یا ۳۲ SAB یا ۱ SAB ۳۲ مشخص می‌شوند، تیپ کانسارهای احتمالی به ترتیب اولویت (احتمال رخداد) آورده شده است.

اساس اولویت‌بندی آنها ارقام آخرین ستون سمت راست جدول است که پس از کسر امتیازات منفی از مثبت حاصل شده است.

۳- در جدول فوق شش ستون عددی وجود دارد که دوستون اول امتیازات مثبت مطلق و درصدی (نسبی) را برای هر یک از تیپ کانسارهای احتمالی نشان می‌دهد. دو ستون دوم امتیازات منفی مطلق و درصدی (نسبی) را برای همان تیپ کانسارها معرفی می‌کند و دوستون آخر امتیازات باقیمانده مطلق و درصدی را که اساس اولویت‌بندی است، مشخص می‌سازد.

۴- برای هر یک از کانسارهای محتمل در جدول فوق لیست خواصی که وجودشان سازگار با مدل پیشنهاد شده است در جداولی که ساختار شماره‌گذاری آنها بشرح زیر است آورده می‌شود:

SAB	شماره ردیف کانسار احتمالی	خط تیره	شماره آنومالی	حرف Y
-----	---------------------------	---------	---------------	-------

در چنین جداولی هر یک از خواص همراه با امتیاز مثبت بودشان و امتیاز منفی نبودشان با نضمam دامنه آن آورده می‌شود. در آخرین ستون این جداول علامت Yes بمعنی وجود آن خاصیت و علامت L یا R بمعنی محلی بودن و یا ناحیه‌ای بودن آن خاصیت ذکر می‌شود. در پائین ترین سطر این جداول جمع امتیازات مثبت و منفی و دامنه امتیاز نشان داده می‌شود.

۵- برای هر یک از کانسارهای پیشنهاد شده محتمل در جدول SAB 1 تا 35 لیست خواصی که نبودشان در رد مدل مؤثر بوده است همراه با وزن منفی آنها در جداولی که ساختار شماره‌گذاری آنها بشرح زیر است آورده شده است:

SAB	شماره ردیف کانسار احتمالی	خط تیره	شماره آنومالی	حرف N
-----	---------------------------	---------	---------------	-------

در پائین ترین سطح این جداول جمع امتیازات منفی نیز آورده شده است.

۴-۴-۱- اولویت بندی مناطق امیدبخش

۴-۴-۲- اولویت بندی

در این پژوهه اساس اولویت بندی مناطق امیدبخش را درجه سازگاری مجموعه پارامترهای مشاهده شده و یا اندازه گیری شده در محل توسعه هر آنمالی تشکیل می دهد. این درجه سازگاری به صورت درصد انتظام مجموعه خواص مشاهده شده با تیپ های استاندارد کانساری مورد ارزیابی قرار گرفته است و نتایج آن در ستون آخر جداول ارائه شده در مدل سازی آورده شده است. براساس این ارقام می توان آنمالی های ژئوشیمیابی را در محدوده برگ سبزوار به ترتیب زیر در اولویت قرار داد (شکل ۸-۶ و جدول ۸-۲):

بترتیب موقعیت آنمالی های ۳۲ گانه و نشانی هر یک را نشان می دهند:

۱- آنمالی های با حداقل انتظام بین ۲۵ تا ۵۰٪ شامل:

SAB 2 , SAB 7 , SAB 8 , SAB 9 , SAB 14 , SAB 20

۲- آنمالی های با حداقل انتظام بین ۱۰ تا ۲۵٪ شامل:

SAB 1 , SAB 3 , SAB 4 , SAB 5 , SAB 6 , SAB 11 , SAB 12 , SAB 17 , SAB 18 ,

SAB 21 , SAB 22 , SAB 23 , SAB 27 , SAB 30 , SAB 31

۳- آنمالی هایی با حداقل انتظام کمتر از ۱۰٪ شامل:

SAB 24 , SAB 26 , SAB 28 , SAB 29 , SAB 32

جدول ۲-۸: موقعیت جغرافیایی و مشاهدات صحرایی آنمالیهای ۳۲ گانه.

آنمالی	برگه ۱/۵۰،۰۰۰	موقعیت جغرافیایی	مشاهدات زمین‌شناسی صحرایی
SAB-1	رباط سرپوش	جنوب کلانه فیضی، شمالشرق چشمه آوش، حاشیه شرقی برگه	توف اسیدی، بازالت‌های جوان سیلیسی شده، برش ولکانیکی.
SAB-2	رباط سرپوش	شمال چشمه آوش، جنوبغرب کلانه فیضی	هورنفلس، توده نفوذی گرانودیبوریتی، برش کاناکلاستیک، ولکانیکهای سیلیسی، شیل متامورف، آهکهای میکرایتنی سفیدرنگ در کناتکت با برش ولکانیکی.
SAB-3	رباط سرپوش	شمال غرب چشمه آوش، غرب و جنوبغرب کلانه فیضی	نفوذیهای گرانودیبوریتی و تونالیتی، ولکانیکهای تراکیتی و آندزیتی، دایکهای دیباخی، مرمریت و آهک میکرایتنی،
SAB-4	هزارج	شمال آواز، مزرعه دهنہ حاجی، شمال شرق قره قلی	سنگهای ولکانیکی همانیتی شده، گابروی High level ، دایکهای دیباخی، هارزبورگیت، اپلت اسیدی، بازالت پیلولاوا، برش سیلیسی.
SAB-5	هزارج	غرب و جنوبغرب قره قلی، جنوب کوه سیاه سالار	سنگهای اسیدی، تراکیت، آندزیت، گابروی High level ، دونیت، دیباخی، ولکانیکهای فلزیک، برش سیلیسی، دایکهای صفحه‌ای.
SAB-6	هزارج	غرب و شمالغرب باعجر	گرانیت، آمبر، آندزیت، گابروی High level ، پلازیوگرانیت، برش سیلیسی، سرپانتینیت، بازالت پیلولاوا.
SAB-7	هزارج	جنوب سلیمانیه، شمالغرب باعجر	آندزیت، گابروی High level ، هارزبورگیت سرپانتینیت شده، آمبر، توف سیلیسی.
SAB-8	هزارج	شرق و جنوبشرق رازقند، شمالشرق شباش	هارزبورگیت، سرپانتینیت، بازالت، گابروی پگماتیت، آهک میکرایتنی، گابروی Low Level ، دونیت.
SAB-9	هزارج	شمال باعجر	هارزبورگیت، سرپانتینیت، آمبر، بازالت، لیسونیت، گابروی پگماتیت.
SAB-10	باعجر	جنوب و جنوبشرق علیک	_____
SAB-11	هزارج	جنوبغرب خوشاب	زون دگرگونی، کالک شیست، آمفیبولیت و گریزن، شیستهای کریتنی، رگه‌های سیلیسی، سنگهای فلزیک، آهک کریستالیزه.
SAB-12	هزارج	شرق برقیان، شمالشرق کاشک	ولکانیکهای پرفیری متوسط، رادیولاریت، بازالت سرپانتینیت شده، لیسونیت شدیداً سیلیسی، سرپانتینیت، آمبر، گابروی پگماتیت.

آنومالی	برگه ۱/۵۰،۰۰۰	موقعیت جغرافیایی	مشاهدات زمین شناسی صحرایی
SAB-13	باغجر	جنوب داشخانه	غرب عنبرستان، غرب و شمالغرب کوه سیا، شمال رود سراب
SAB-14	باغجر	جنوب غرب	لیسونیت، آمبر، سرپانتینیت، توف، دایک دیبازی
SAB-15	باغجر	شمال و شمالشرق رودسراب	
SAB-16	باغjer	جنوب کلاته حاج مطلب، شمال درفک بالا	
SAB-17	نوده ارباب	جنویشرق حسن آباد، شمال شرق دیواندر، شرق قارازی	برش ولکانیکی سیلیسی شده، آندزیت، توف اسیدی، ولکانیک فلسبیک.
SAB-18	نوده ارباب	غرب و شمالغرب شباش، جنوبغرب رازقد	بازالتهای سرپانتینی شده، بازالت پیلو لاوا، گابرو، گابروی کاتاکلاستیک، هارزبورگیت، گابروی Low Level، دونیت، دایک دیبازی.
SAB-19	نوده ارباب	شمال سدید، شرق افچنگ	
SAB-20	نوده ارباب	شرق و شمالشرق سدید	ولکانیکهای مافیک تا فلسبیک، آمبر سیلیسی شده، آهک پلازیک، شیست سبز، گابروی High Level، برش ولکانیکی، آندزیت، هارزبورگیت، آهک نومولیت دار
SAB-21	نوده ارباب	شرق و شمالشرق بروز، غرب بیوتون	بازالتهای سرپانتینی شده، سرپانتینیت، آمبر، هارزبورگیت، ولکانیکهای مافیک تا فلسبیک.
SAB-22	نوده ارباب	شمال بلاش آباد	سرپانتینیت، آمبر، بازالهای پروپیلیتی، گابروی دانه ریز، برش ولکانیکی سیلیسی، بازالت پیلو لاوا، بازالهای منشوری.
SAB-23	نوده ارباب	شمال بلاش آباد، جنویشرق کوه اوستادره و غرب کوه میمنستان	پیروکلاستیک های حاوی قطعات مافیک، آندزیتهای تحت اشیاع، آمبر، بازالت، آهک پلازیک، سرپانتینیت، لایپلی توف، گابرو.
SAB-24	نوده ارباب	جنوب جمال آباد، غرب نوده ارباب	سری سنگهای ولکانیک مافیک تا فلسبیک، بازالهای جوان کواترنر
SAB-25	نوده ارباب	جنوب نوده ارباب	

آنومالی	برگه ۱/۵۰،۰۰۰	موقعیت جغرافیایی	مشاهدات زمین شناسی صحراوی
SAB-26	سبزوار	شمالغرب سید آباد، شرق مزروعه چاه شور	
SAB-27	نوده ارباب	جنوب و جنوبغرب سدید آلوویومهای کواترنر	
SAB-28	سبزوار	غرب خسروجرد، شمال کجع در مارزن و مارنهای ژیپس دار	
SAB-29	باغجر	جنوب برقبان، شمال کاشک ولکانیکهای مافیک تا متوسط و اسید، تراکیت، بازالت‌های جوان، ریولیت، آندزیت	
SAB-30	نوده ارباب	شمال کراب، اطراف کوه میمستان	سرپانتینیت، بازالت‌های جوان، آندزیت پرفیری آتره.
SAB-31	نوده ارباب	غرب افچنگ، شمال و شمالغرب کوه سیاه	بازالت، آندزیت، برش ولکانیکی، آگلومرا، سرپانتینیت، هارزبورگیت، توده نفوذی نیمه عمیق، گابرو
SAB-32	رباط سرپوش	شمال غرب چشمه آوش	آلوویوم های کواترنر

تصمیم‌گیری در مورد گروه سوم بهتر است پس از اخذ بیشتر شامل زمین‌شناسی ۱/۱۰۰،۰۰۰ داده‌های مغناطیس هوایی و گامانجی در صورتی که در دسترس سازمان زمین‌شناسی قرار گرفته باشد) و اکتشاف چکشی صورت پذیرد. چنین داده‌هایی ممکن است موجب تغییر اولویت‌ها در گروه ۱ و ۲ نیز بشود. بنابراین توصیه می‌شود که پس از جمع آوری کلیه اطلاعات بار دیگر در سیستم GIS داده‌ها مدل‌سازی و مورد ارزیابی مجدد قرار گیرد.

۲-۴-۲- معرفی مناطق امیدبخش

با توجه به جمیع جهات مناطقی که لازم است در مورد آنها با بررسیهای اکتشافی بیشتر به جمع آوری اطلاعات پرداخت بشرح زیر می‌باشد:

اولویت اول:

۱- منطقه واقع در محدوده و اطراف آنمالی‌های SAB 5, SAB 6, SAB 7 و SAB 9 تحت عنوان منطقه باعجر در برگه ۱/۵۰،۰۰۰ باعجر.

۲- منطقه بین برقبان تا غرب عنبرستان واقع در برگه ۱/۵۰،۰۰۰ باعجر. این منطقه با پهنای حدود یک کیلومتر و طول حدود ۵ کیلومتر محدود آنمالی شماره SAB 14 را می‌پوشاند.

۳- منطقه شمال شرق رازقند واقع در برگه ۱/۵۰،۰۰۰ نوده‌ارباب. این منطقه محدود آنمالی شماره SAB 18 را پوشش می‌دهد که در امتداد شمال شرق - جنوب غرب ادامه می‌یابد.

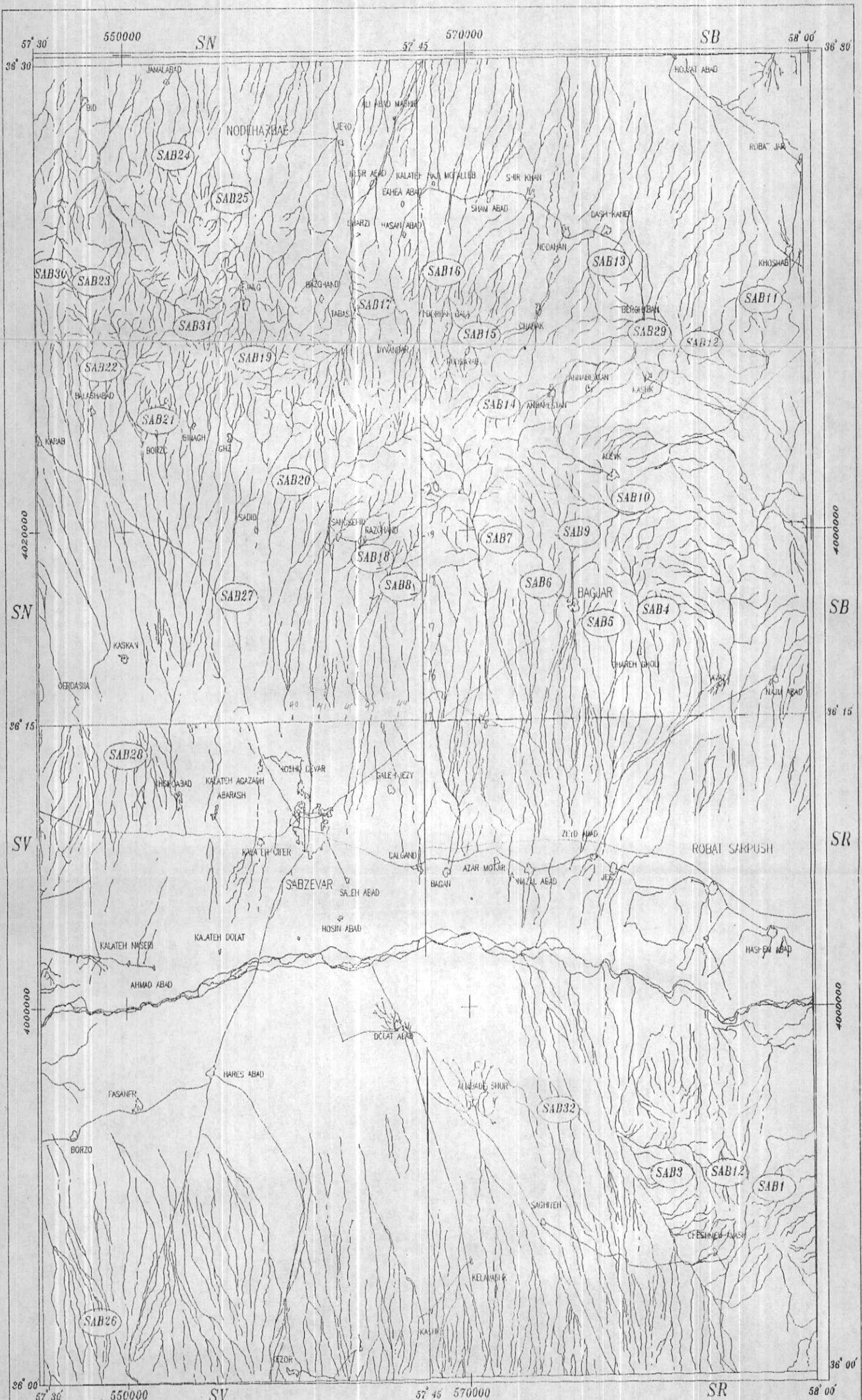


Fig.8-6:Location Map of All 32 Anomal Area.

اولویت دوم:

۱- منطقه شمال چشمه آوش و جنوب کلاته فیضی در برگه ۱/۵۰،۰۰۰ ریباط

سرپوش. این منطقه محدوده آنمالیهای SAB 3, SAB 2, SAB 1 را می‌پوشاند.

۲- منطقه جنوب غرب خوشاب واقع در برگه ۱/۵۰،۰۰۰ باعتراف. این منطقه آنمالی

شماره SAB 11 را می‌پوشاند.

۳- منطقه جنوب طبس و بازقند در برگه ۱/۵۰،۰۰۰ نوده‌ارباب. این منطقه محدوده

آنمالی شماره SAB 17 را می‌پوشاند.

۴- منطقه شمال بلاش آباد واقع در برگه ۱/۵۰،۰۰۰ نوده‌ارباب که محدوده آنمالی

شماره SAB 22 می‌پوشاند.

۵- منطقه شرق کوه اوستا دره (میمنستان) در غرب برگه ۱/۵۰،۰۰۰ نوده‌ارباب. این

منطقه محدوده آنمالی شماره SAB 23 را می‌پوشاند.

۶- منطقه شمال شرق قره‌قلی (شمال غرب آواز). این منطقه محدوده آنمالی شماره

SAB 4 را می‌پوشاند.

۷- منطقه شرق بروز در برگه ۱/۵۰،۰۰۰ نوده‌ارباب. این منطقه محدوده آنمالی

شماره SAB 21 را می‌پوشاند.

۸- منطقه جنوب غرب افغانگ (بال جنوبی کوه‌سیاه) واقع در برگه ۱/۵۰،۰۰۰

نوده‌ارباب. این منطقه بر محدوده آنمالی شماره SAB 31 منطبق می‌باشد.

در تمام روش‌های آماری قبلی به کار گرفته شده، در انتخاب آنمالی‌ها و معرفی

مناطق امیدبخش، مختصات محل نمونه و در نتیجه ساختار فضایی احتمالی آن در نظر

گرفته نشده است. از آنجا که داده‌های ژئوشیمیایی در رسوبات آبراهه‌ای ممکن است

دارای ساختار فضایی خاصی باشند، استفاده از یک روش آماری که بتواند این ساختار

احتمالی را در محاسبات خود شرکت دهد و از این طریق بتواند به معرفی دقیق‌تر مناطق امیدبخش دسترسی پیدا کند، می‌تواند بسیار مفید باشد. تکنیک استفاده از آماره U قادر است چنین مزیتی را در اختیار بگذارد. در این روش علاوه بر غلظت متغیرها ژئوشیمیابی (در مورد این پروژه شاخص غنی‌شدنی) باید مختصات محل مربوط به هر داده معلوم باشد.

میدانیم که در تخمين‌های ژئوشیمیابی دو نوع خطای همواره موجب گمراحتی می‌شود:

۱- طبقه‌بندی یک نمونه آنومال در رده نمونه‌های زمینه (۶۱)

۲- طبقه‌بندی یک نمونه غیر آنومال در رده نمونه‌های آنومال (۶۲)

هدف از تخمين‌بینه آنست که به حالتی دسترسی پیدا کنیم که مجموع این دو خطای مینمum گردد، زیرا کاهش هر یک از آنها به تنها بی مشکلی را حل نمی‌کند. آماره U تکنیکی است که بوسیله آن می‌توان به این هدف دست یافت و با افزایش تعداد نمونه‌ها مجموع خطاهای فوق را به صفر رسانید. از آنجا که در محدوده برگه $1/100,000$ سیزهوار حدود ۸۰۰ نمونه برداشت شده است می‌توان پذیرفت که شرط فوق تا حدود زیادی صادق باشد. با توجه به مراتب فوق پس از انتخاب و معرفی مناطق امیدبخش لازم است با استفاده از تکنیک آماره U به بینه‌سازی آنها پرداخت. اشکال ۱-۸ تا ۵-۸ مناطق امیدبخش بینه شده را نشان می‌دهد.

شکل ۱-۸ مناطق امیدبخش بینه شده را برای طلا معرفی می‌کند که یک مورد آن منطبق بر اولویت‌های اول معرفی شده است (با یک مرکزیت) و چهار مورد آن در رده اولویت‌های درجه دوم معرفی شده است. این امر دلالت بر تأیید اولویت‌های انتخاب شده قبلی دارد. از آنجا که بعضی از مناطق امیدبخش طلا منطبق و یا در محدوده

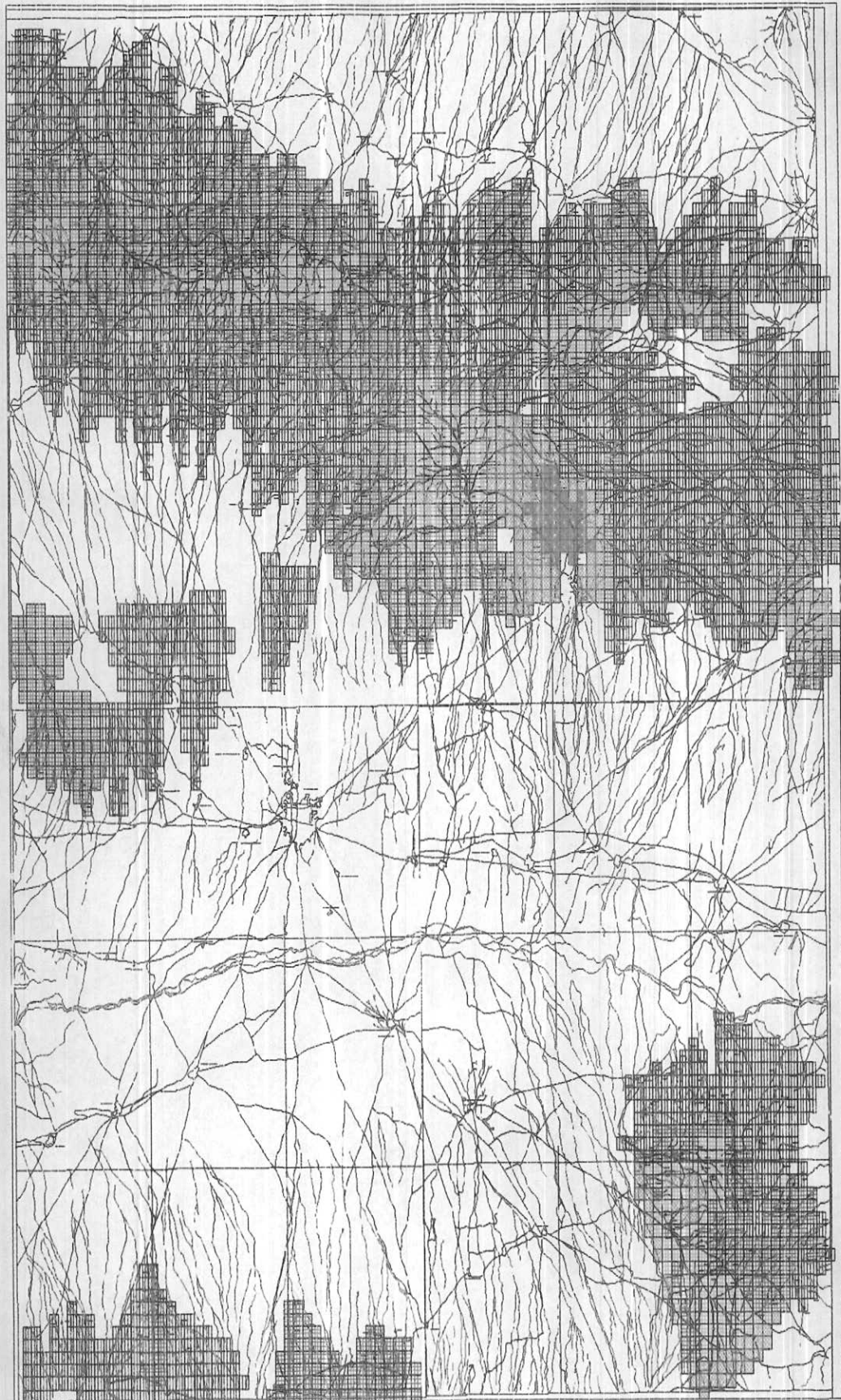


Fig.8-1:Surface Grid Map of (U) Value for Au.

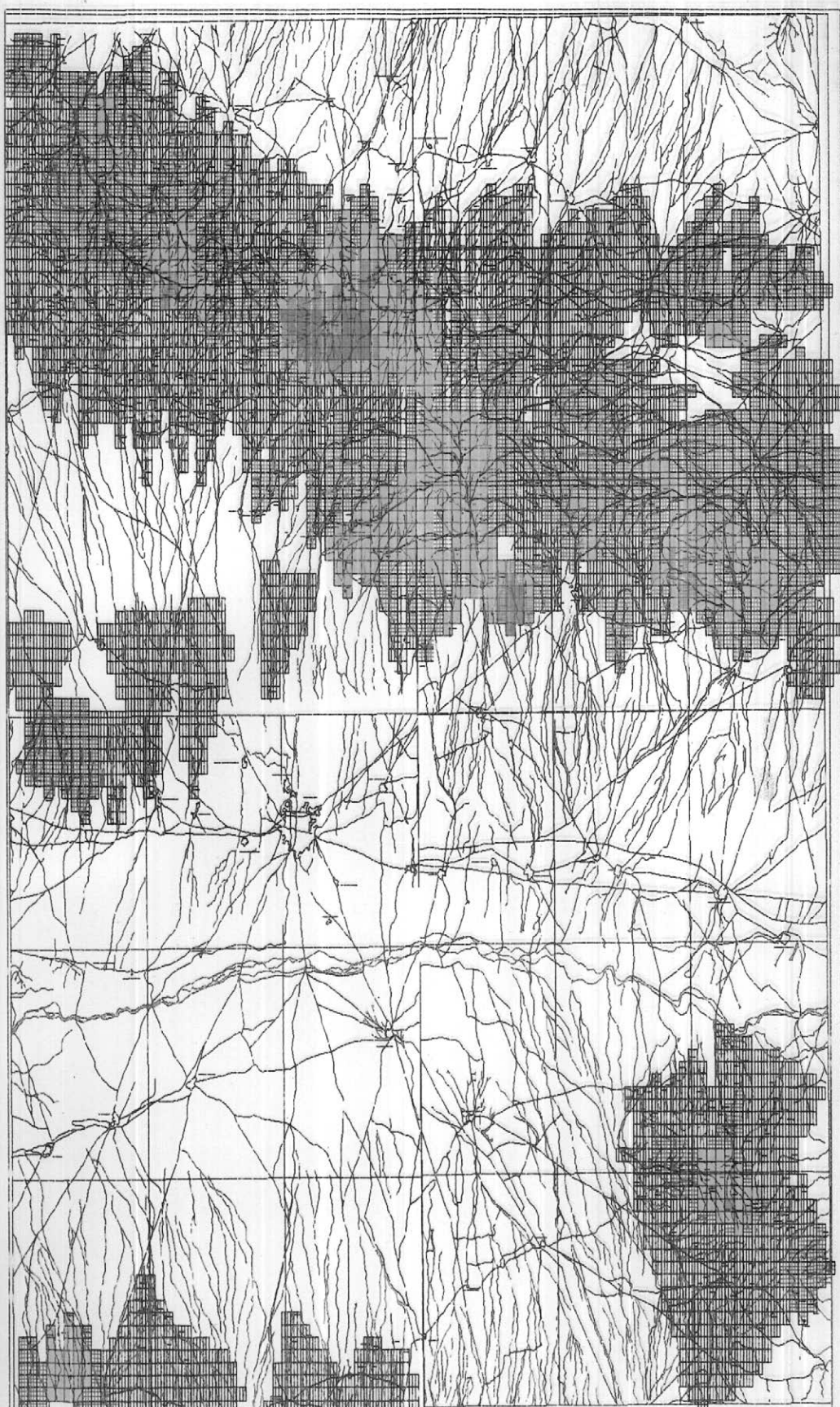


Fig.8-2:Surface Grid Map of (U) Value for Cu.

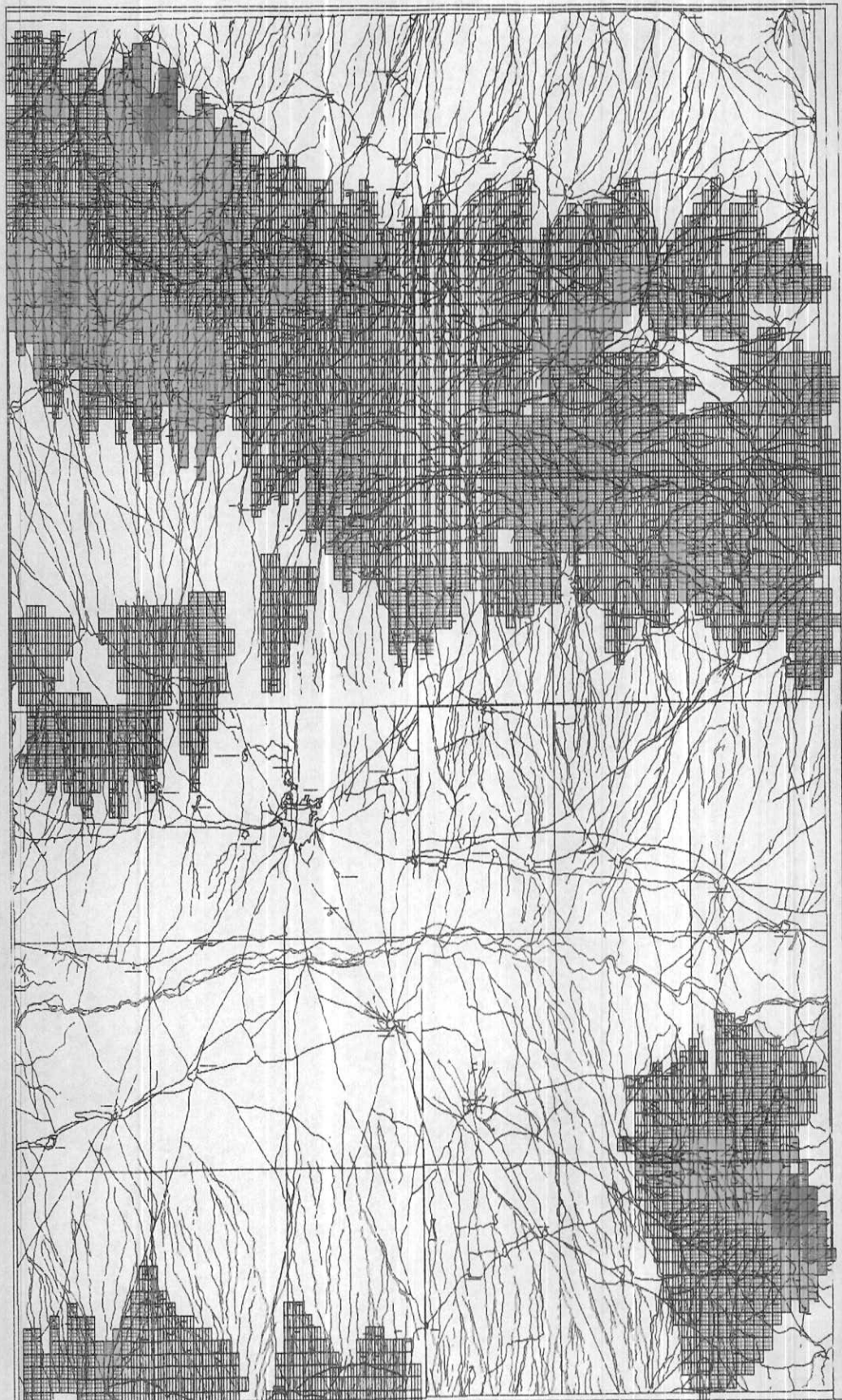


Fig.8-4:Surface Grid Map of (U) Value for As+Sb+Hg.

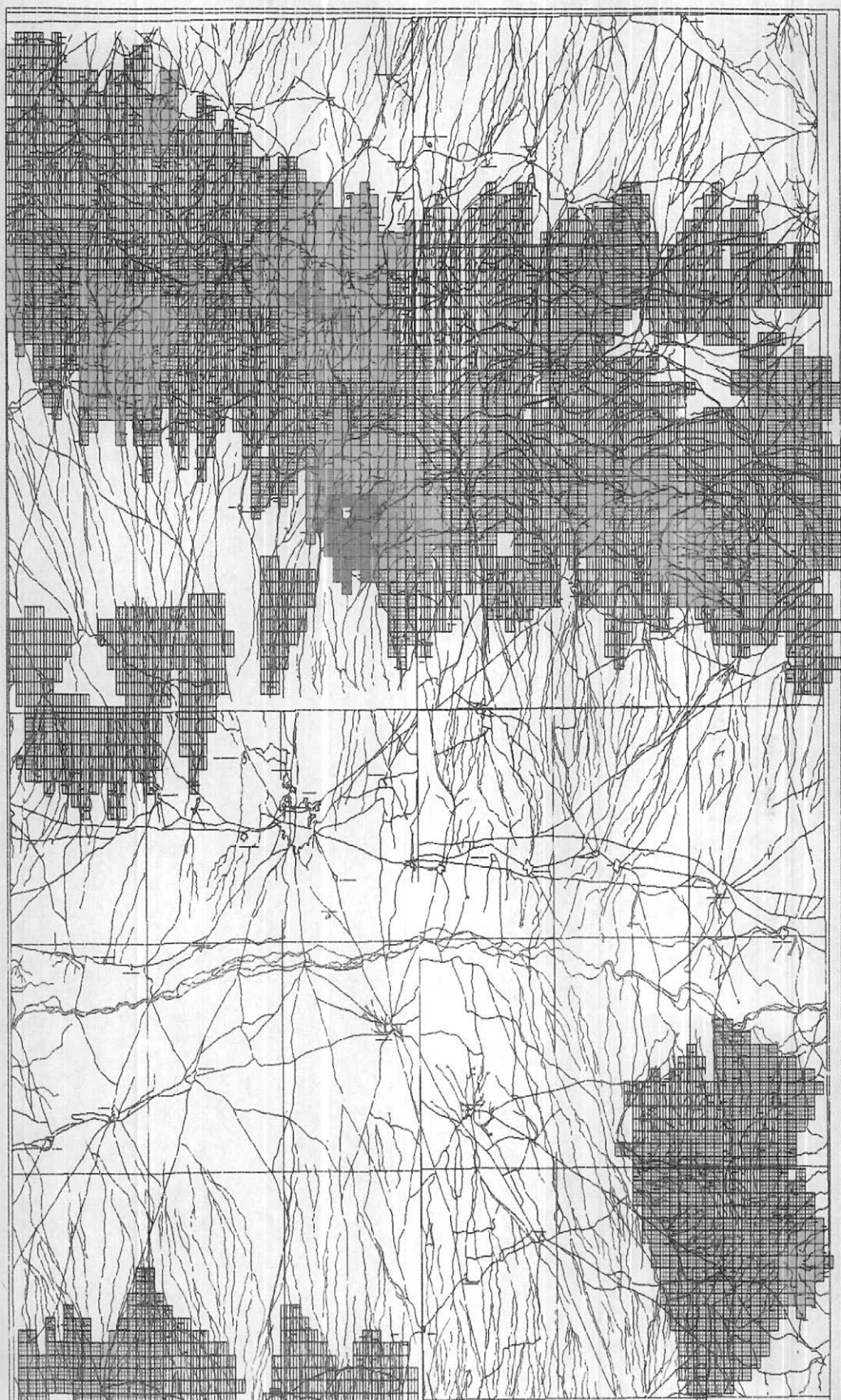


Fig.8-5:Surface Grid Map of (U) Value for Pb+Zn.

آنمالیهای کرم می‌باشد، احتمال پیدایش کانسار *PGE* تیپ آласکایی افزایش می‌یابد ولی در مدل‌سازی‌های مربوط به آن امتیاز این تیپ کانسار در حد بالائی قرار نگرفته است. دلیل عمدۀ این امر نبود داده‌های ژئوشیمیابی مربوط به *PGE* است. بنابراین در طراحی‌های اکشافی بعدی لازم است به این امر توجه داشت و برنامه را منطبق بر احتمال پیدایش کانسار *PGE* تیپ آласکایی تنظیم نمود.

شکل ۲-۸ مناطق امیدبخش بهینه شده برای مس را نشان می‌دهد. یک مورد از پنج مورد فوق قبلًاً بعنوان مناطق امیدبخش با اولویت اول معرفی شده است که منطبق بر محدوده آنمالی *SAB* ۶ می‌باشد. چهار مورد دیگر آن در زمرة مناطقی با اولویت دوم قرار داده شده است.

در شکل ۳-۸ مناطق امیدبخش بهینه شده برای $Ni+Co$ معرفی شده‌اند که شامل دو مورد می‌باشد. یکی مناطق بر محدوده آنمالی شماره *SAB* ۲۱ و دیگری منطبق بر محدوده آنمالی شماره *SAB* ۲۳ است. منطقه امیدبخش در محدوده آنمالی *SAB* ۲۳ تا *SAB* ۳۰ گسترش پیدا می‌کند.

در شکل ۴-۸ مناطق امیدبخش بهینه شده برای $As+Sb+Hg$ معرفی شده است (مجموعه اپی‌ترمال) که در دو برگه نوده ارباب و ریاض سرپوش واقع شده است. دو مورد از سه مورد معرفی شده بوسیله این متغیر در زده اولویت‌های درجه دوم قرار گرفته است. مورد منطبق بر محدوده آنمالی شماره *SAB* ۲۴ (جنوب جمال‌آباد) در اولویت سوم قرار دارد.

در شکل ۵-۸ مناطق امیدبخش بهینه شده برای سرب و روی آورده شده است. دومنطقه مشخص معرفی شده است که منطبق بر آنمالیهای شماره *SAB* ۸، *SAB* ۱۷ و *SAB* ۱۸ می‌باشد. آنمالی شماره *SAB* ۱۸ در اولویت اول قبلًاً انتخاب گردیده است ولی

آنمالی شماره ۸ SAB با ۷/۴۶ در صد انطباق برای کرومیت می‌تواند در اولویت دوم قرار گیرد. محدوده معرفی شده برای آنمالی ۱۷ SAB در زمرة اولویتهای درجه دوم قبلی است.

بقیه آنمالیهای معرفی شده شامل SAB ۲۴, SAB ۲۶, SAB ۲۸, SAB ۲۹ در اولویت سوم قرار می‌گیرند.

SAB1

No	Type	Positive Score		Negative Score		Overall Score	
		W	%P	W	%P	W	%P
58	Almaden Hg	395	34.5	150	34.5	245	21.4
47	Hot Spring Au-Ag	780	32.2	275	39.3	505	20.8
57	Hot spring Hg	485	29.9	180	36.7	305	18.8
59	Silica Carbonate Hg	720	39.1	405	64.3	315	17.1
81	Low-Sulfide Au-Quartz	685	26.1	240	36.9	445	17.0
61	Disseminated Sb	645	26.4	305	40.1	340	13.9
45	Volcanogenic-Mn	395	20.0	120	35.8	275	13.9
60	Simple Sb	630	27.5	335	44.7	295	12.9
88	Lateritic-Saprolite Au	310	22.5	145	38.7	165	12.0
49	Comstock Epithermal Veins	585	27.7	435	54.4	150	7.1
89	Placer Au-PGE	370	18.5	245	43.4	125	6.3
44	Besshi-Massive Sulfide	545	30.4	435	59.6	110	6.1

SAB1-1Y

####	Almaden Hg	Pos.Score	Neg.Score	Interval S	State
92	VOLCANOCLASTIC BODY	75	75	150	YES R
847	Hg	60	45	105	YES L
8	FELSIC VOLCANIC SEQUENCE	50	50	100	YES R
93	TUFF	45	10	55	YES R
95	TUFF-BRECCIA	45	10	55	YES R
828	As	45	30	75	YES L
870	Sb	45	30	75	YES L
1072	PYRITE	30	10	40	YES L
	Total	395	260	655	

SAB1-1

####	Almaden Hg	Pos.Score	Neg.Score	Interval S	State
1192	Almaden Hg	150	0	150	L
1194	Simple Sb	150	0	150	L
1046	NATIVES MERCURY	75	75	150	L
959	CINNABAR	65	75	140	L
229	ANY AGE	40	0	40	R?
744	DESIMINATED	30	0	30	L
121	CLASTIC ROCKS	15	15	30	R?
277	STEEP NORMAL FAULT	15	0	15	R
289	FAULT SYSTEM	15	0	15	R
290	NORMAL FAULT	15	0	15	R
291	HIGH ANGLE NORMAL FAULT	15	0	15	R
396	PRIFERAL EXTRUSIVE	15	0	15	L
398	PRIFERAL SUBVOLCANIC	15	0	15	L
407	SHALLOW SEATED MAGMATISM	15	0	15	L
418	GEOTHERMAL ACTIVITY	15	0	15	L?
419	VOLCANIC RELATED GEOTHERMAL AC	15	0	15	L
421	SHALLOW INTRUSIVE RELATED GEOT	15	0	15	L
423	FAULTED STRUCTURE	15	0	15	L
424	NORMAL FAULT STRUCTURE	15	0	15	L
429	NEAR SURFACE FRACTURES	15	0	15	L
	Total	720	165	885	

SAB1-2Y

####	Hot Spring Au-Ag	Pos.Score	Neg.Score	Interval S	State
516	SILICIFICATION PROCESSES	400	10	410	YES L
247	TERTIARY	100	0	100	YES R
828	As	45	75	120	YES L
829	Ag	45	75	120	YES L
830	Au	45	75	120	YES L
870	Sb	45	30	75	YES L
847	Hg	30	30	60	YES L
1072	PYRITE	30	75	105	YES L
8	FELSIC VOLCANIC SEQUENCE	25	25	50	YES R
266	UNSTABLE CONDITION	15	0	15	YES R
	Total	780	395	1175	

####	Hot Spring Au-Ag	Pos. Score	Neg. Score	Interval S	State
1181	Hot Spring Au-Ag	150	0	150	L
1185	Epithermal Quartz-Alunite Au	150	0	150	L
1191	Hot spring Hg	150	0	150	L
1223	Placer Au-PGE	150	0	150	L
255	QUATERNARY	100	0	100	R
88	RHYOLITE	75	75	150	R
1045	NATIVES GOLD	45	75	120	L
1079	REALGAR	45	30	75	L
1103	STIBNITE	45	10	55	L
916	ARSENOPYRITE	30	10	40	L
947	CHALCOPYRITE	30	10	40	L
992	FLUORITE	30	10	40	L
1097	SPHALERITE	30	30	60	L
7	FELSIC PLUTONIC SEQUENCE	25	25	50	R
267	EXTENTIONAL REGIME	15	0	15	R
268	RIFT SYSTEM	15	0	15	R
270	MARGINAL CONTINENTAL RIFT SYST	15	0	15	R
296	TRANSFORM FAULT	15	0	15	R
318	ACTIVE CONTINENTAL MARGINE	15	0	15	R
334	OCEANIC-OCEANIC SUBDUCTION	15	0	15	R
336	OCEANIC-CONTINENTAL SUBDUCTION	15	0	15	R
345	RIFT RELATED MAGMATISM	15	0	15	R
348	SUBDUCTION RELATED MAGMATISM	15	0	15	R
350	ARC RELATED MAGMATISM	15	0	15	R
394	CENTRAL SUBAERIAL RHYOLITIC	15	0	15	L
395	CENTRAL SUBAREAL RHYOLITIC FLO	15	0	15	L
418	GEOTHERMAL ACTIVITY	15	0	15	L?
419	VOLCANIC RELATED GEOTHERMAL AC	15	0	15	L
421	SHALLOW INTRUSIVE RELATED GEOT	15	0	15	L
423	FAULTED STRUCTURE	15	0	15	L
424	NORMAL FAULT STRUCTURE	15	0	15	L
429	NEAR SURFACE FRACTURES	15	0	15	L
526	ADULARIA	15	0	15	L
530	MICROCLINE	15	0	15	L
541	BIOTITE	15	0	15	L
575	LEPIDOLITE	15	0	15	L
580	PLAGIoclase	15	0	15	L
583	PYROPHILITIC	15	0	15	L
605	SURFACE AND NEAR SURFACE OXIDA	15	0	15	L
608	LATERITIZATION	15	0	15	L
616	OXIDIZING LEACHING	15	0	15	L
623	HEMATITE GOSSAN	15	0	15	L
624	LIMONITE GOSSAN	15	0	15	L
648	JAROSITE IN BLEACHED COUNTRY R	15	0	15	L
649	ALUNITE IN BLEACHED COUNTRY RO	15	0	15	L
650	GOETHITE IN BLEACHED COUNTRY R	15	0	15	L
651	LIMONITE IN BLEACHED COUNTRY R	15	0	15	L
652	HEMATITE IN BLEACHED COUNTRY R	15	0	15	L
664	GOETHITE	15	0	15	L
665	LIMONITE	15	0	15	L
683	ALUNITE	15	0	15	L
715	INEQUIGRANULAR TEXTURES	15	0	15	L
717	PORPHYRY	15	0	15	L
750	BRECCIA FILLINGS	15	0	15	L
762	BRECCIA	15	0	15	L
791	STOCKWORK	15	0	15	L
821	REGULAR VIEN	15	0	15	L
	Total	1700	275	1975	

SAB1-3Y

####	Hot spring Hg	Pos. Score	Neg. Score	Interval S	State
247	TERTIARY	100	0	100	YES R
847	Hg	65	75	140	YES L
74	VOLCANIC MAFIC BODY	45	5	50	YES R
828	As	45	75	120	YES L
870	Sb	45	75	120	YES L
93	TUFF	30	5	35	YES R
95	TUFF-BRECCIA	30	5	35	YES R
830	Au	30	10	40	YES L
4	MAFIC VOLCANIC SEQUENCE	25	25	50	YES R
6	INTERMEDIATE VOLCANIC SEQUENCE	25	25	50	YES R
266	UNSTABLE CONDITION	15	0	15	YES R
547	CHLORITE	15	0	15	YES L
584	QUARTZ	15	0	15	YES L
	Total	485	300	785	

SAB1-3N

####	Hot spring Hg	Pos. Score	Neg. Score	Interval S	State
1181	Hot Spring Au-Ag	150	0	150	L
1191	Hot spring Hg	150	0	150	L
500	KAOLINITIC	100	10	110	L
126	SILICEOUS SHALE	75	75	150	R
959	CINNABAR	75	75	150	L
1046	NATIVES MERCURY	75	10	85	R
137	GRAYWACKE	45	5	50	L
1032	MARCASITE	30	5	35	L
1103	STIBNITE	30	0	30	L
267	EXTENTIONAL REGIME	15	0	15	R
268	RIFT SYSTEM	15	0	15	R
269	CONTINENTAL RIFT SYSTEM	15	0	15	R
270	MARGINAL CONTINENTAL RIFT SYST	15	0	15	R
277	STEEP NORMAL FAULT	15	0	15	R
289	FAULT SYSTEM	15	0	15	R
290	NORMAL FAULT	15	0	15	R
291	HIGH ANGLE NORMAL FAULT	15	0	15	R
295	FAULTS INTERSECTIONS	15	0	15	R
298	FRACTURE SYSTEM	15	0	15	R
301	SHALLOW SEATED	15	0	15	R
345	RIFT RELATED MAGMATISM	15	0	15	R
346	MARGINAL RIFT RELATED MAGMATIS	15	0	15	R
418	GEOTHERMAL ACTIVITY	15	0	15	L
419	VOLCANIC RELATED GEOTHERMAL AC	15	0	15	L
423	FAULTED STRUCTURE	15	0	15	L
424	NORMAL FAULT STRUCTURE	15	0	15	L
429	NEAR SURFACE FRACTURES	15	0	15	L
529	K-FELDSPAR	15	0	15	L
533	ALUNITE (HYPOGENE)	15	0	15	L
553	KAOLINITE	15	0	15	L
601	ZEOLITE	15	0	15	L
744	DESIMINATED	15	0	15	L
791	STOCKWORK	15	0	15	L
795	FINE GRAINED DESIMINATED	15	0	15	L
	Total	1105	180	1285	

SAB1-4Y

####	Silica Carbonate Hg	Pos. Score	Neg. Score	Interval S	State
516	SILICIFICATION PROCESSES	400	10	410	YES L
247	TERTIARY	100	0	100	YES R
847	Hg	60	75	135	YES L
870	Sb	45	30	75	YES L
1072	PYRITE	30	75	105	YES L
10	SEDIMENTARY SEQUENCE	25	25	50	YES R
266	UNSTABLE CONDITION	15	0	15	YES R
279	COMPRESSORIAL REGIME	15	0	15	YES R
431	DEFORMED STRUCTURE	15	0	15	YES L
584	QUARTZ	15	0	15	YES L
	Total	720	215	935	

SAB1-4N

####	Silica Carbonate Hg	Pos. Score	Neg. Score	Interval S	State
1193	Silica Carbonate Hg	150	0	150	L
1194	Simple Sb	150	0	150	L
1046	NATIVES MERCURY	75	75	150	L
206	SERPENTINITE	60	60	120	R
959	CINNABAR	60	75	135	L
132	SILTSTONE	45	10	55	R
137	GRAYWACKE	45	10	55	R
1103	STIBNITE	45	30	75	L
293	TRUST FAULT	30	0	30	R
294	SUBDUCTION RELATED TRUST FAULT	30	0	30	R
837	Cu	30	10	40	L
886	Zn	30	10	40	L
928	BORNITE	30	10	40	L
947	CHALCOPYRITE	30	30	60	L
996	GALENA	30	30	60	L
1097	SPHALERITE	30	30	60	L
3	MAFIC PLUTONIC SEQUENCE	25	25	50	R
289	FAULT SYSTEM	15	0	15	R
298	FRACTURE SYSTEM	15	0	15	R
333	CONVERGENT PLATE BOUNDARY	15	0	15	R
337	OCEANIC-CONTINENTAL OBDUCTION	15	0	15	R
423	FAULTED STRUCTURE	15	0	15	L
427	TRUST FAULT STRUCTURE	15	0	15	L
434	LOW GRADE METAMORPHISM	15	0	15	L
437	REGIONAL METAMORPHISM	15	0	15	L
546	DOLOMITE	15	0	15	L?
559	DOLOMITE	15	0	15	L
792	STRINGER	15	0	15	L
821	REGULAR VIEN	15	0	15	L
826	VEIN LETS	15	0	15	L
	Total	1090	405	1495	

SAB2

No	Type	Positive Score		Negative Score		Overall Score	
		W	%P	W	%P	W	%P
55	Volcanic-Hosted Magnetite	515	33.6	90	22.8	425	27.7
45	Volcanogenic-Mn	500	25.3	110	32.8	390	19.7
58	Almaden Hg	365	31.9	180	41.4	185	16.2
67	Sediment Hosted Cu	465	25.4	220	32.6	245	13.4
44	Besshi-Massive Sulfide	575	32.0	370	50.7	205	11.4
42	Basaltic Cu	470	27.8	280	52.3	190	11.2
57	Hot spring Hg	440	27.2	265	54.1	175	10.8
36	Porphyry-Cu-Au	565	26.7	390	49.7	175	8.3
89	Placer Au-PGE	415	20.8	265	46.9	150	7.5
26	Porphyry-skarn-Cu	445	16.1	265	41.1	180	6.5

SAB2-1Y

####	Volcanic-Hosted Magnetite	Pos. Score	Neg. Score	Interval S	State
475	SKARNIZATION METASOMATIC PROCE	100	10	110	YES L
87	FELSIC VOLCANIC BODY	75	45	120	YES R
74	VOLCANIC MAFIC BODY	60	60	120	YES R
844	Fe	60	75	135	YES L
881	V	60	30	90	YES L
834	Bi	30	10	40	YES L
836	Co	30	75	105	YES L
837	Cu	30	10	40	YES L
8	FELSIC VOLCANIC SEQUENCE	25	25	50	YES R
266	UNSTABLE CONDITION	15	0	15	YES R
529	K-FELDSPAR	15	0	15	YES L
584	QUARTZ	15	0	15	YES L
1029	MAGNETITE	0	60	60	YES L
	Total	515	400	915	

SAB2-1N

####	Volcanic-Hosted Magnetite	Pos. Score	Neg. Score	Interval S	State
1189	Volcanic-Hosted Magnetite	150	0	150	L
1214	Oolitic Ironstone	150	0	150	L
889	MAGNETIC-HIGH	100	10	110	L
229	ANY AGE	40	0	40	R?
54	PLUTONIC FELSIC BODY	30	5	35	R
478	TOURMALINIZATION REPLACEMENT P	30	10	40	L
832	Ba	30	10	40	L
7	FELSIC PLUTONIC SEQUENCE	25	25	50	R
317	CONTINENTAL PLATE MARGINE	15	0	15	R
318	ACTIVE CONTINENTAL MARGINE	15	0	15	R
336	OCEANIC-CONTINENTAL SUBDUCTION	15	0	15	R
341	ARC RELATED	15	0	15	R
348	SUBDUCTION RELATED MAGMATISM	15	0	15	R
354	CONTINENTAL CRUST PLUTONIC MAG	15	0	15	R
355	MORE EVOLVED SHALLOW SEADED IN	15	0	15	L
381	X=SUBVOLCANIC PLUTONS Y=CLASTI	15	0	15	L
449	CONTINENTAL SEDIMENTARY ENVIRO	15	0	15	L?
525	ACTINOLITE	15	0	15	L
528	ALBITE	15	0	15	L
530	MICROCLINE	15	0	15	L
541	BIOTITE	15	0	15	L
558	DIOPSID	15	0	15	L?
572	BIOTITE	15	0	15	L
705	AMYGDALOIDAL	15	0	15	L
715	INEQUIGRANULAR TEXTURES	15	0	15	L
717	PORPHYRY	15	0	15	L
745	MASSIVE	15	0	15	L
751	AMYGDULE FILLINGS	15	0	15	L
760	GRAIN	15	0	15	L
794	COARSE GRAINED DESIMINATED	15	0	15	L
796	MASSIVE	15	0	15	L
809	CONCORDANT LAYERED	15	0	15	L
810	DISCORDANT LAYERED	15	0	30	L
913	APATITE	0	30	30	
	Total	930	90	1020	

SAB2-2Y

####	Volcanogenic-Mn	Pos. Score	Neg. Score	Interval S	State
233	PHANEROZOIC	100	0	100	YES R
92	VOLCANOCLASTIC BODY	75	75	150	YES R
853	Mn	60	75	135	YES L
1029	MAGNETITE	60	5	65	YES L
93	TUFF	45	10	55	YES R
74	VOLCANIC MAFIC BODY	30	10	40	YES R
87	FELSIC VOLCANIC BODY	30	10	40	YES R
837	Cu	30	10	40	YES L
4	MAFIC VOLCANIC SEQUENCE	25	25	50	YES R
266	UNSTABLE CONDITION	15	0	15	YES R
423	FAULTED STRUCTURE	15	0	15	YES L
605	SURFACE AND NEAR SURFACE OXIDA	15	0	15	YES L
Total		500	220	720	

SAB2-2N

####	Volcanogenic-Mn	Pos.Score	Neg.Score	Interval S	State
515	SPLITIC	400	10	410	L
1179	Volcanogenic-Mn	150	0	150	L
1196	Kuroko Massive sulfide	150	0	150	L
932	BRAUNITE	60	5	65	L
1009	HAUSMONNITE	60	5	65	L
1080	RHODOCHROSITE	60	30	90	L
164	CHEART	30	5	35	R?
832	Ba	30	10	40	L
886	Zn	30	10	40	L
975	CRYPTOMELANE	30	5	35	L
1074	PYROLUSITE	30	5	35	L
1116	TODOROKITE	30	5	35	R
9	VOLCANO SEDIMENTARY SEQUENCE	25	25	50	R
267	EXTENTIONAL REGIME	15	0	15	R
268	RIFT SYSTEM	15	0	15	R
272	OCEANIC RIFT SYSTEM	15	0	15	R
273	MARGINAL OCEANIC RIFT SYSTEM	15	0	15	R
274	INTRA OCEANIC RIFT SYSTEM	15	0	15	R
290	NORMAL FAULT	15	0	15	R
314	OCEANIC BASIN	15	0	15	R
315	RIFTED BASIN (RIDGE)	15	0	15	R
327	OCEANIC PLATE MARGINE-ARC	15	0	15	R
418	GEOTHERMAL ACTIVITY	15	0	15	L?
424	NORMAL FAULT STRUCTURE	15	0	15	L
544	CARBONATES	15	0	15	L
554	MONTMORILLONITE	15	0	15	L
559	DOLOMITE	15	0	15	L
583	PYROPHILITIC	15	0	15	L
614	CHEMICAL SECONDARY ENRICHMENT	15	0	15	L
616	OXIDIZING LEACHING	15	0	15	L
655	Mn-OXIDES STAINS	15	0	15	L
656	TODOROKITE STAINS	15	0	15	L
657	PYROLUSITE STAINS	15	0	15	L
679	PYROLUSITE	15	0	15	L
744	DESIMINATED	15	0	15	L
745	MASSIVE	15	0	15	L
768	CLUSTER	15	0	15	L
785	COLLOFORM	15	0	15	L
796	MASSIVE	15	0	15	L
Total		1475	115	1590	

SAB3

No	Type	Positive Score		Negative Score		Overall Score	
		W	%P	W	%P	W	%P
88	Lateritic-Saprolite Au	340	24.7	95	25.3	245	17.8
55	Volcanic-Hosted Magnetite	425	27.7	180	45.6	245	16.0
47	Hot Spring Au-Ag	720	29.7	335	47.9	385	15.9
45	Volcanogenic-Mn	410	20.8	120	35.8	290	14.7
81	Low-Sulfide Au-Quartz	685	26.1	330	50.8	355	13.5
61	Disseminated Sb	630	25.8	315	41.4	315	12.9
60	Simple Sb	615	26.8	375	50.0	240	10.5
89	Placer Au-PGE	415	20.8	235	41.6	180	9.0
38	Porphyry-Mo, Low-F	800	19.9	455	68.9	345	8.6
84	Flat Faults Au	455	28.9	335	50.8	120	7.6

SAB2-3Y

####	Almaden Hg	Pos. Score	Neg. Score	Interval S	State
92	VOLCANOCLASTIC BODY	75	75	150	YES R
847	Hg	60	45	105	YES L
8	FELSIC VOLCANIC SEQUENCE	50	50	100	YES R
93	TUFF	45	10	55	YES R
95	TUFF-BRECCIA	45	10	55	YES R
870	Sb	45	30	75	YES L
1072	PYRITE	30	10	40	YES L
423	FAULTED STRUCTURE	15	0	15	YES L
Total		365	230	595	

SAB2-3N

####	Almaden Hg	Pos. Score	Neg. Score	Interval S	State
1192	Almaden Hg	150	0	150	L
1194	Simple Sb	150	0	150	L
1046	NATIVES MERCURY	75	75	150	L
959	CINNABAR	65	75	140	L
828	As	45	30	75	L
229	ANY AGE	40	0	40	R?
744	DESIMINATED	30	0	30	L
121	CLASTIC ROCKS	15	15	30	R?
277	STEEP NORMAL FAULT	15	0	15	R
289	FAULT SYSTEM	15	0	15	R
290	NORMAL FAULT	15	0	15	R
291	HIGH ANGLE NORMAL FAULT	15	0	15	R
396	PRIFERAL EXTRUSIVE	15	0	15	L
398	PRIFERAL SUBVOLCANIC	15	0	15	L
407	SHALLOW SEATED MAGMATISM	15	0	15	L
418	GEOTHERMAL ACTIVITY	15	0	15	L?
419	VOLCANIC RELATED GEOTHERMAL AC	15	0	15	L
421	SHALLOW INTRUSIVE RELATED GEOT	15	0	15	L
424	NORMAL FAULT STRUCTURE	15	0	15	L
429	NEAR SURFACE FRACTURES	15	0	15	L
Total		750	195	945	

SAB9-3Y

####	Silica Carbonate Hg	Pos. Score	Neg. Score	Interval S	State
516	SILICIFICATION PROCESSES	400	10	410	YES L
247	TERTIARY	100	0	100	YES R
870	Sb	45	30	75	YES L
837	Cu	30	10	40	YES L
886	Zn	30	10	40	YES L
1072	PYRITE	30	75	105	YES L
266	UNSTABLE CONDITION	15	0	15	YES R
279	COMPRESSORIAL REGIME	15	0	15	YES R
289	FAULT SYSTEM	15	0	15	YES R
298	FRACTURE SYSTEM	15	0	15	YES R
333	CONVERGENT PLATE BOUNDARY	15	0	15	YES R
423	FAULTED STRUCTURE	15	0	15	YES L
431	DEFORMED STRUCTURE	15	0	15	YES L
434	LOW GRADE METAMORPHISM	15	0	15	YES L
437	REGIONAL METAMORPHISM	15	0	15	YES L
584	QUARTZ	15	0	15	YES L
Total		785	135	920	

SAB9-3X

####	Silica Carbonate Hg	Pos. Score	Neg. Score	Interval S	State
1193	Silica Carbonate Hg	150	0	150	L
1194	Simple Sb	150	0	150	L
1046	NATIVES MERCURY	75	75	150	L
206	SERPENTINITE	60	60	120	R
847	Hg	60	75	135	L
959	CINNABAR	60	75	135	L
132	SILTSTONE	45	10	55	R
137	GRAYWACKE	45	10	55	R
1103	STIBNITE	45	30	75	L
293	TRUST FAULT	30	0	30	R
294	SUBDUCTION RELATED TRUST FAULT	30	0	30	R
833	B	30	10	40	L
928	BORNITE	30	10	40	L
947	CHALCOPYRITE	30	30	60	L
996	GALENA	30	30	60	L
1097	SPHALERITE	30	30	60	L
3	MAFIC PLUTONIC SEQUENCE	25	25	50	R
10	SEDIMENTARY SEQUENCE	25	25	50	R
337	OCEANIC-CONTINENTAL OBDUCTION	15	0	15	R
427	TRUST FAULT STRUCTURE	15	0	15	L
546	DOLOMITE	15	0	15	L?
559	DOLOMITE	15	0	15	L
792	STRINGER	15	0	15	L
821	REGULAR VIEN	15	0	15	L
826	VEIN LETS	15	0	15	L
Total		1055	495	1550	

SAB4

No	Type	Positive Score		Negative Score		Overall Score	
		W	%P	W	%P	W	%P
45	Volcanogenic-Mn	395	20.0	195	58.2	200	10.1
42	Basaltic Cu	325	19.2	320	59.8	5	0.3

SAB4-1Y

####	Volcanogenic-Mn	Pos. Score	Neg. Score	Interval S	State
233	PHANEROZOIC	100	0	100	YES R
92	VOLCANOCLASTIC BODY	75	75	150	YES R
1029	MAGNETITE	60	5	65	YES L
74	VOLCANIC MAFIC BODY	30	10	40	YES R
832	Ba	30	10	40	YES L
837	Cu	30	10	40	YES L
4	MAFIC VOLCANIC SEQUENCE	25	25	50	YES R
266	UNSTABLE CONDITION	15	0	15	YES R
267	EXTENTIONAL REGIME	15	0	15	YES R
327	OCEANIC PLATE MARGINE-ARC	15	0	15	YES R
Total		395	135	530	

####	Volcanogenic-Mn	Pos. Score	Neg. Score	Interval S	State
515	SPILITIC	400	10	410	L
1179	Volcanogenic-Mn	150	0	150	L
1196	Kuroko Massive sulfide	150	0	150	L
853	Mn	60	75	135	L
932	BRAUNITE	60	5	65	L
1009	HAUSMONNITE	60	5	65	L
1080	RHODOCHROSITE	60	30	90	L
93	TUFF	45	10	55	R
87	FELSIC VOLCANIC BODY	30	10	40	R
164	CHERT	30	5	35	R?
886	Zn	30	10	40	L
975	CRYPTOMELANE	30	5	35	L
1074	PYROLUSITE	30	5	35	L
1116	TODOROKITE	30	5	35	L
9	VOLCANO SEDIMENTARY SEQUENCE	25	25	50	R
268	RIFT SYSTEM	15	0	15	R
272	OCEANIC RIFT SYSTEM	15	0	15	R
273	MARGINAL OCEANIC RIFT SYSTEM	15	0	15	R
274	INTRA OCEANIC RIFT SYSTEM	15	0	15	R
290	NORMAL FAULT	15	0	15	R
314	OCEANIC BASIN	15	0	15	R
315	RIFTED BASIN (RIDGE)	15	0	15	R
418	GEOTHERMAL ACTIVITY	15	0	15	L?
423	FAULTED STRUCTURE	15	0	15	L
424	NORMAL FAULT STRUCTURE	15	0	15	L
544	CARBONATES	15	0	15	L
554	MONTMORILLONITE	15	0	15	L
559	DOLOMITE	15	0	15	L
583	PYROPHILITIC	15	0	15	L
605	SURFACE AND NEAR SURFACE OXIDA	15	0	15	L
614	CHEMICAL SECONDARY ENRICHMENT	15	0	15	L
616	OXIDIZING LEACHING	15	0	15	L
655	Mn-OXIDES STAINS	15	0	15	L
656	TODOROKITE STAINS	15	0	15	L
657	PYROLUSITE STAINS	15	0	15	L
679	PYROLUSITE	15	0	15	L
744	DESIMINATED	15	0	15	L
745	MASSIVE	15	0	15	L
768	CLUSTER	15	0	15	L
785	COLLOFORM	15	0	15	L
796	MASSIVE	15	0	15	L
Total		1580	200	1780	

SAB5

No	Type	Positive Score		Negative Score		Overall Score	
		W	%P	W	%P	W	%P
59	Silica Carbonate Hg	720	39.1	450	71.4	270	14.7
47	Hot Spring Au-Ag	660	27.2	410	58.6	250	10.3
38	Porphyry-Mo, Low-F	825	20.5	460	69.7	365	9.1
79	Warm-Current Phosphate	230	22.5	145	36.3	85	8.3
11	Podiform Chromite	265	21.7	170	45.3	95	7.8
45	Volcanogenic-Mn	350	17.7	205	61.2	145	7.3
81	Low-Sulfide Au-Quartz	595	22.7	480	73.8	115	4.4
52	Volcanogenic U	625	20.7	550	53.7	75	2.5
85	Lateritic Ni	445	29.3	425	75.9	20	1.3
26	Porphyry-skarn-Cu	410	14.9	405	62.8	5	0.2

SAB5-1Y

####	Silica Carbonate Hg	Pos. Score	Neg. Score	Interval S	State
516	SILICIFICATION PROCESSES	400	10	410	YES L
247	TERTIARY	100	0	100	YES R
206	SERPENTINITE	60	60	120	YES R
1072	PYRITE	30	75	105	YES L
3	MAFIC PLUTONIC SEQUENCE	25	25	50	YES R
266	UNSTABLE CONDITION	15	0	15	YES R
279	COMPRESSORIAL REGIME	15	0	15	YES R
333	CONVERGENT PLATE BOUNDARY	15	0	15	YES L
431	DEFORMED STRUCTURE	15	0	15	YES L
434	LOW GRADE METAMORPHISM	15	0	15	YES L
437	REGIONAL METAMORPHISM	15	0	15	YES L
584	QUARTZ	15	0	15	YES L
Total		720	170	890	

SAB5-1N

####	Silica Carbonate Hg	Pos. Score	Neg. Score	Interval S	State
1193	Silica Carbonate Hg	150	0	150	L
1194	Simple Sb	150	0	150	L
1046	NATIVES MERCURY	75	75	150	L
847	Hg	60	75	135	L
959	CINNABAR	60	75	135	L
132	SILTSTONE	45	10	55	R
137	GRAYWACKE	45	10	55	R
870	Sb	45	30	75	L
1103	STIBNITE	45	30	75	L
293	TRUST FAULT	30	0	30	R
294	SUBDUCTION RELATED TRUST FAULT	30	0	40	L
837	Cu	30	10	40	L
886	Zn	30	10	40	L
928	BORNITE	30	10	40	L
947	CHALCOPYRITE	30	30	60	L
996	GALENA	30	30	60	L
1097	SPHALERITE	30	30	60	R
10	SEDIMENTARY SEQUENCE	25	25	50	R
289	FAULT SYSTEM	15	0	15	R
298	FRACTURE SYSTEM	15	0	15	R
337	OCEANIC-CONTINENTAL OBDUCTION	15	0	15	R
423	FAULTED STRUCTURE	15	0	15	L
427	TRUST FAULT STRUCTURE	15	0	15	L?
546	DOLOMITE	15	0	15	L
559	DOLOMITE	15	0	15	L
792	STRINGER	15	0	15	L
821	REGULAR VIEN	15	0	15	L
826	VEIN LETS	15	0	15	L
Total		1090	450	1540	

SAB5-2Y

####	Hot Spring Au-Ag	Pos. Score	Neg. Score	Interval S	State
516	SILICIFICATION PROCESSES	400	10	410	YES L
247	TERTIARY	100	0	100	YES R
830	Au	45	75	120	YES L
1072	PYRITE	30	75	105	YES L
8	FELSIC VOLCANIC SEQUENCE	25	25	50	YES R
266	UNSTABLE CONDITION	15	0	15	YES R
318	ACTIVE CONTINENTAL MARGINE	15	0	15	YES R
334	OCEANIC-OCEANIC SUBDUCTION	15	0	15	YES R
350	ARC RELATED MAGMATISM	15	0	15	YES R
	Total	660	185	845	

####	Hot Spring Au-Ag	Pos. Score	Neg. Score	Interval S	State
1181	Hot Spring Au-Ag	150	0	150	L
1185	Epithermal Quartz-Alunite Au	150	0	150	L
1191	Hot spring Hg	150	0	150	L
1223	Placer Au-PGE	150	0	100	R
255	QUATERNARY	100	0	120	L
828	As	45	75	120	L
829	Ag	45	75	120	L
870	Sb	45	30	75	L
1045	NATIVES GOLD	45	75	120	L
1079	REALGAR	45	30	75	L
1103	STIBNITE	45	10	55	L
847	Hg	30	30	60	L
916	ARSENOPYRITE	30	10	40	L
947	CHALCOPYRITE	30	10	40	L
992	FLUORITE	30	10	40	L
1097	SPHALERITE	30	30	60	L
7	FELSIC PLUTONIC SEQUENCE	25	25	50	R
267	EXTENTIONAL REGIME	15	0	15	R
268	RIFT SYSTEM	15	0	15	R
270	MARGINAL CONTINENTAL RIFT SYST	15	0	15	R
296	TRANSFORM FAULT	15	0	15	R
336	OCEANIC-CONTINENTAL SUBDUCTION	15	0	15	R
345	RIFT RELATED MAGMATISM	15	0	15	R
348	SUBDUCTION RELATED MAGMATISM	15	0	15	R
394	CENTRAL SUBAERIAL RHYOLITIC	15	0	15	L
395	CENTRAL SUBAREAL RHYOLITIC FLO	15	0	15	L
418	GEOTHERMAL ACTIVITY	15	0	15	L?
419	VOLCANIC RELATED GEOTHERMAL AC	15	0	15	L
421	SHALLOW INTRUSIVE RELATED GEOT	15	0	15	L
423	FAULTED STRUCTURE	15	0	15	L
424	NORMAL FAULT STRUCTURE	15	0	15	L
429	NEAR SURFACE FRACTURES	15	0	15	L
526	ADULARIA	15	0	15	L
530	MICROCLINE	15	0	15	L
541	BIOTITE	15	0	15	L
544	CARBONATES	15	0	15	L
575	LEPIDOLITE	15	0	15	L
580	PLAGIOLCLASE	15	0	15	L
583	PYROPHILITIC	15	0	15	L
605	SURFACE AND NEAR SURFACE OXIDA	15	0	15	L
608	LATERITIZATION	15	0	15	L
616	OXIDIZING LEACHING	15	0	15	L
623	HEMATITE GOSSAN	15	0	15	L
624	LIMONITE GOSSAN	15	0	15	L
648	JAROSITE IN BLEACHED COUNTRY R	15	0	15	L
649	ALUNITE IN BLEACHED COUNTRY RO	15	0	15	L
650	GOETHITE IN BLEACHED COUNTRY R	15	0	15	L
651	LIMONITE IN BLEACHED COUNTRY R	15	0	15	L
652	HEMATITE IN BLEACHED COUNTRY R	15	0	15	L
664	GOETHITE	15	0	15	L
665	LIMONITE	15	0	15	L
683	ALUNITE	15	0	15	L
715	INEQUIGRANULAR TEXTURES	15	0	15	L
717	PORPHYRY	15	0	15	L
750	BRECCIA FILLINGS	15	0	15	L
762	BRECCIA	15	0	15	L
791	STOCKWORK	15	0	15	L
821	REGULAR VIEN	15	0	15	L
	Total	1760	410	2170	

SAB6

No	Type	Positive Score		Negative Score		Overall Score	
		W	%P	W	%P	W	%P
85	Lateritic Ni	480	31.6	125	22.3	355	23.4
43	Cyprus Massive Sulfide	765	35.2	335	44.4	430	19.8
11	Podiform Chromite	280	23.0	105	28.0	175	14.3
45	Volcanogenic-Mn	455	23.0	205	61.2	250	12.7
84	Flat Faults Au	485	30.8	300	45.5	185	11.7
44	Besshi-Massive Sulfide	615	34.3	430	58.9	185	10.3
42	Basaltic Cu	385	22.8	270	50.5	115	6.8
88	Lateritic-Saprolite Au	255	18.5	165	44.0	90	6.5
36	Porphyry-Cu-Au	605	28.5	500	63.7	105	5.0
6	Noril'sk Cu-Ni-PGE	440	33.0	380	37.8	60	4.5

SAB6-1Y

####	Lateritic Ni	Pos. Score	Neg. Score	Interval S	State
233	PHANEROZOIC	100	0	100	YES R
20	ULTRAMAFIC BODY	75	75	150	YES R
3	MAFIC PLUTONIC SEQUENCE	50	50	100	YES R
206	SERPENTINITE	45	10	55	YES R
1002	GOETHITE	45	75	120	YES L
835	Cr	30	75	105	YES L
836	Co	30	75	105	YES L
855	Ni	30	75	105	YES L
266	UNSTABLE CONDITION	15	0	15	YES R
329	PLATE BOUNDARIES	15	0	15	YES R
333	CONVERGENT PLATE BOUNDARY	15	0	15	YES R
359	OCEANIC CRUST PLUTONIC MAGMATI	15	0	15	YES R
434	LOW GRADE METAMORPHISM	15	0	15	YES L
	Total	480	435	915	

SAB6-1N

####	Lateritic Ni	Pos. Score	Neg. Score	Interval S	State
1145	Podiform Chromite	150	0	150	L
1147	Serpentine-Asbestos	150	0	150	L
1219	Lateritic Ni	150	0	150	L
1223	Placer Au-PGE	150	0	150	L
230	PRECAMBRIAN	100	0	100	R
247	TERTIARY	100	0	100	R
997	GARNIERITE	60	75	135	L
608	LATERITIZATION	50	0	50	L
465	HIGH WEATHERING/EROSION RATIO	30	0	30	L
761	PISOLITIC	30	0	30	L
283	UPLIFT	15	0	15	R
349	OBDUCTION RELATED MAGMATISM	15	0	15	R
374	ANOROGENIC MAGMATISM	15	0	15	L
543	CALCEDONITE (CALCEDONY)	15	0	15	L
569	LIMONITE	15	0	15	L
605	SURFACE AND NEAR SURFACE OXIDA	15	0	15	L
610	SECONDARY ENRICHMENT PROCESSES	15	0	15	L?
614	CHEMICAL SECONDARY ENRICHMENT	15	0	15	L
616	OXIDIZING LEACHING	15	0	15	L
624	LIMONITE GOSSAN	15	0	15	L
625	OCHEOUS MASSES	15	0	15	L
633	PISOLITIC GRAIN IN RESIDUAL SO	15	0	15	L
650	GOETHITE IN BLEACHED COUNTRY R	15	0	15	L
651	LIMONITE IN BLEACHED COUNTRY R	15	0	15	L
660	IRON STAINS	15	0	15	L
663	CALCEDONY	15	0	15	L
664	GOETHITE	15	0	15	L
756	NODULAR	15	0	15	L
607	SAPROLITIZATION	0	50	50	L
	Total	1240	125	1365	

SAB6-2Y

####	Cyprus Massive Sulfide	Pos.Score	Neg.Score	Interval S	State
514	CHLORITIZATION	100	10	110	YES L
20	ULTRAMAFIC BODY	60	10	70	YES R
77	BASALT	60	5	65	YES R
228	OPHIOLITE	60	15	75	YES R
2	OPHIOLITE SEQUENCE	50	50	100	YES R
837	Cu	45	75	120	YES L
47	DIABASE	30	5	35	YES R
830	Au	30	30	60	YES L
836	Co	30	45	75	YES L
1072	PYRITE	30	75	105	YES L
101	FLOWs	15	0	15	YES R
266	UNSTABLE CONDITION	15	0	15	YES R
267	EXTENTIONAL REGIME	15	0	15	YES R
272	OCEANIC RIFT SYSTEM	15	0	15	YES R
277	STEEP NORMAL FAULT	15	0	15	YES R
291	HIGH ANGLE NORMAL FAULT	15	0	15	YES R
341	ARC RELATED	15	0	15	YES R
344	OROGENIC RELATED MAGMATISM	15	0	15	YES R
350	ARC RELATED MAGMATISM	15	0	15	YES R
369	SUBMARINE MAGMATISM	15	0	15	YES R
423	FAULTED STRUCTURE	15	0	15	YES L
424	NORMAL FAULT STRUCTURE	15	0	15	YES L
638	NATIVE GOLD IN PLACERS	15	0	15	YES L
643	Au ENRICHMENT IN SOIL	15	0	15	YES L
714	DIABASIC	15	0	15	YES L
715	INEQUIGRANULAR TEXTURES	15	0	15	YES L
717	PORPHYRY	15	0	15	YES L
762	BRECCIA	15	0	15	YES L
Total		765	320	1085	

####	Cyprus Massive Sulfide	Pos. Score	Neg. Score	Interval S	State
1177	Cyprus Massive Sulfide	150	0	150	L
886	Zn	45	75	120	L
947	CHALCOPYRITE	45	75	120	L
1097	SPHALERITE	45	30	75	L
229	ANY AGE	40	0	40	R?
164	CHERT	30	5	35	R?
207	METASEDIMENTARY ROCKS	30	5	35	R
829	Ag	30	30	60	L
844	Fe	30	75	105	L
853	Mn	30	30	60	L
1032	MARCASITE	30	5	35	L
1077	PYRRHOTITE	30	10	40	L
278	GRABEN STRUCTURE	15	0	15	R
353	BACK ARC RELATED MAGMATISM	15	0	15	R?
407	SHALLOW SEATED MAGMATISM	15	0	15	L
418	GEOTHERMAL ACTIVITY	15	0	15	L?
425	WHOLE GRABEN STRUCTURE	15	0	15	L
541	BIOTITE	15	0	15	L
542	BUDDINGTONITE	15	0	15	L
544	CARBONATES	15	0	15	L
560	EPIDOT	15	0	15	L
569	LIMONITE	15	0	15	L
583	PYROPHILITIC	15	0	15	L
608	LATERITIZATION	15	0	15	L
612	RESIDUAL MECHANICAL ENRICHMENT	15	0	15	L
616	OXIDIZING LEACHING	15	0	15	L
624	LIMONITE GOSSAN	15	0	15	L
665	LIMONITE	15	0	15	L
745	MASSIVE	15	0	15	L?
789	STRING	15	0	15	L
791	STOCKWORK	15	0	15	L
796	MASSIVE	15	0	15	L
Total		835	340	1175	

SAB7

No	Type	Positive Score		Negative Score		Overall Score	
		W	%P	W	%P	W	%P
11	Podiform Chromite	605	49.6	170	45.3	435	35.7
13	Serpentine-Asbestos	985	54.7	405	33.9	580	32.2
79	Warm-Current Phosphate	260	25.5	145	36.3	115	11.3
59	Silica Carbonate Hg	675	36.7	510	81.0	165	9.0
85	Lateritic Ni	475	31.3	360	64.3	115	7.6
38	Porphyry-Mo, Low-F	795	19.8	510	77.3	285	7.1
45	Volcanogenic-Mn	365	18.5	270	80.6	95	4.8
12	Limassol Co-Ni	675	37.6	605	71.6	70	3.9
47	Hot Spring Au-Ag	665	27.4	585	83.6	80	3.3
43	Cyprus Massive Sulfide	550	25.3	510	67.5	40	1.8

SAB7-1Y

###	Podiform Chromite	Pos. Score	Neg. Score	Interval S	State
508	SERPENTINIZATION	400	10	410	YES L
20	ULTRAMAFIC BODY	75	75	150	YES R
119	OPHIOLITE	60	10	70	YES R
233	PHANEROZOIC	40	100	140	YES R
1029	MAGNETITE	30	10	40	YES L
Total		605	205	810	

SAB7-1N

###	Podiform Chromite	Pos. Score	Neg. Score	Interval S	State
1145	Podiform Chromite	150	0	150	L
1146	Limassol Co-Ni	150	0	150	L
835	Cr	75	75	150	L
21	DUNITE	60	10	70	R
22	PREDOTITE	60	10	70	R
956	CHROMITE	60	75	135	L
744	DESIMINATED	30	0	30	L
745	MASSIVE	30	0	30	L
Total		615	170	785	

SAB7-2Y

####	Serpentine-Asbestos	Pos. Score	Neg. Score	Interval S	State
508	SERPENTINIZATION	400	400	800	YES L
516	SILICIFICATION PROCESSES	400	10	410	YES L
20	ULTRAMAFIC BODY	75	75	150	YES R
243	MESOZOIC	40	100	140	YES R
247	TERTIARY	40	100	140	YES R
1029	MAGNETITE	30	30	60	YES L
Total		985	715	1700	

SAB7-2N

####	Serpentine-Asbestos	Pos. Score	Neg. Score	Interval S	State
1145	Podiform Chromite	150	0	150	L
1147	Serpentine-Asbestos	150	0	150	L
206	SERPENTINITE	75	75	150	R
917	ASBESTOS	75	75	150	L
958	CHRYSOTILE	45	75	120	L
1111	TALC	45	10	55	L
234	PALEOZOIC	40	100	140	R
779	FRACTURE FILLINGS	30	0	30	L
814	BANDED	30	0	30	L
820	LODE VIEN	30	0	30	L
897	ACTINOLITE	30	5	35	L
937	BRUCITE	30	10	40	L
1119	TREMOLITE	30	5	35	L
889	MAGNETIC-HIGH	25	50	75	L
Total		785	405	1190	

SAB8

No	Type	Positive Score		Negative Score		Overall Score	
		W	%P	W	%P	W	%P
11	Podiform Chromite	665	54.5	95	25.3	570	46.7
79	Warm-Current Phosphate	275	27.0	145	36.3	130	12.7
45	Volcanogenic-Mn	410	20.8	205	61.2	205	10.4
13	Serpentine-Asbestos	585	32.5	415	34.7	170	9.4
12	Limassol Co-Ni	650	36.2	530	62.7	120	6.7
26	Porphyry-skarn-Cu	520	18.8	405	62.8	115	4.2
8	Dunitic Ni-Cu	640	43.0	590	58.1	50	3.4
25	Porphyry-Cu	565	13.1	480	60.0	85	2.0

SAB8-1Y

####	Podiform Chromite	Pos. Score	Neg. Score	Interval S	State
508	SERPENTINIZATION	400	10	410	YES L
20	ULTRAMAFIC BODY	75	75	150	YES R
21	DUNITE	60	10	70	YES R
956	CHROMITE	60	75	135	YES L
233	PHANEROZOIC	40	100	140	YES R
1029	MAGNETITE	30	10	40	YES L
Total		665	280	945	

SAB8-1N

####	Podiform Chromite	Pos. Score	Neg. Score	Interval S	State
1145	Podiform Chromite	150	0	150	L
1146	Limassol Co-Ni	150	0	150	L
835	Cr	75	75	150	L
22	PREDOTITE	60	10	70	R
119	OPHIOLITE	60	10	70	R
744	DESIMINATED	30	0	30	L
745	MASSIVE	30	0	30	L
Total		555	95	650	

SAB9

No	Type	Positive Score		Negative Score		Overall Score	
		W	%P	W	%P	W	%P
81	Low-Sulfide Au-Quartz	1005	38.4	305	46.9	700	26.7
47	Hot Spring Au-Ag	860	35.5	360	51.4	500	20.6
59	Silica Carbonate Hg	785	42.7	495	78.6	290	15.8
26	Porphyry-skarn-Cu	590	21.4	240	37.2	350	12.7
38	Porphyry-Mo, Low-F	885	22.0	445	67.4	440	10.9
36	Porphyry-Cu-Au	610	28.8	380	48.4	230	10.8
88	Lateritic-Saprolite Au	325	23.6	190	50.7	135	9.8
43	Cyprus Massive Sulfide	600	27.6	390	51.7	210	9.7
50	Sado Epithermal Veins	560	27.3	395	56.0	165	8.0
11	Podiform Chromite	205	16.8	115	30.7	90	7.4

SAB9-1Y

####	Low-Sulfide Au-Quartz	Pos. Score	Neg. Score	Interval S	State
516	SILICIFICATION PROCESSES	400	10	410	YES L
544	CARBONATES	200	20	220	YES L
1045	NATIVES GOLD	75	75	150	YES L
829	Ag	60	75	135	YES L
830	Au	60	75	135	YES L
1072	PYRITE	60	75	135	YES L
886	Zn	30	10	40	YES L
266	UNSTABLE CONDITION	15	0	15	YES R
279	COMPRESSIVE REGIME	15	0	15	YES R
289	FAULT SYSTEM	15	0	15	YES R
298	FRACTURE SYSTEM	15	0	15	YES R
423	FAULTED STRUCTURE	15	0	15	YES L
434	LOW GRADE METAMORPHISM	15	0	15	YES L
584	QUARTZ	15	0	15	YES L
643	Au ENRICHMENT IN SOIL	15	0	15	YES L
Total		1005	340	1345	

####	Low-Sulfide Au-Quartz	Pos. Score	Neg. Score	Interval S	State
1196	Kuroko Massive sulfide	150	0	150	L
1215	Low-Sulfide Au-Quartz	150	0	150	L
1216	Homestake Au	150	0	150	L
1223	Placer Au-PGE	150	0	150	L
487	EARLY ALBITIZATION	100	10	110	L
207	METASEDIMENTARY ROCKS	75	10	85	R
227	GREEN STONE	75	75	150	R
137	GRAYWACKE	60	10	70	R
217	MAFIC METAVOLCANIC	60	10	70	R
828	As	60	75	135	L
17	LOW GRADE METAMORPHIC SEQUENCE	50	50	100	R
863	Pb	45	30	75	L
916	ARSENOPYRITE	45	10	55	L
947	CHALCOPYRITE	45	10	55	L
996	GALENA	45	10	55	L
229	ANY AGE	40	0	40	R?
164	CHERT	30	5	35	R?
1077	PYRRHOTITE	30	0	30	L
281	ACCRETED MARGINE	15	0	15	R
290	NORMAL FAULT	15	0	15	R
318	ACTIVE CONTINENTAL MARGINE	15	0	15	R
424	NORMAL FAULT STRUCTURE	15	0	15	L
528	ALBITE	15	0	15	L
546	DOLOMITE	15	0	15	L?
559	DOLOMITE	15	0	15	L
588	SERICITE	15	0	15	L
594	TALC	15	0	15	L?
611	MECHANICAL ENRICHMENT	15	0	15	L
612	RESIDUAL MECHANICAL ENRICHMENT	15	0	15	L
634	QUARTZ CHIPS IN RESIDUAL SOIL	15	0	15	L
744	DESIMINATED	15	0	15	L
821	REGULAR VIEN	15	0	15	L
822	IRREGULAR VIEN	15	0	15	L
826	VEIN LETS	15	0	15	L
877	Te	15	5	20	L
Total		1615	310	1925	

SAB9-2Y

####	Hot Spring Au-Ag	Pos. Score	Neg. Score	Interval S	State
516	SILICIFICATION PROCESSES	400	10	410	YES L
247	TERTIARY	100	0	100	YES R
829	Ag	45	75	120	YES L
830	Au	45	75	120	YES L
870	Sb	45	30	75	YES L
1045	NATIVES GOLD	45	75	120	YES L
1072	PYRITE	30	75	105	YES L
266	UNSTABLE CONDITION	15	0	15	YES R
267	EXTENTIONAL REGIME	15	0	15	YES R
268	RIFT SYSTEM	15	0	15	YES R
334	OCEANIC-OCEANIC SUBDUCTION	15	0	15	YES R
350	ARC RELATED MAGMATISM	15	0	15	YES R
423	FAULTED STRUCTURE	15	0	15	YES L
544	CARBONATES	15	0	15	YES L
648	JAROSITE IN BLEACHED COUNTRY R	15	0	15	YES L
650	GOETHITE IN BLEACHED COUNTRY R	15	0	15	YES L
652	HEMATITE IN BLEACHED COUNTRY R	15	0	15	YES L
Total		860	340	1200	

SAB9-2N

####	Hot Spring Au-Ag	Pos. Score	Neg. Score	Interval S	State
1181	Hot Spring Au-Ag	150	0	150	L
1185	Epithermal Quartz-Alunite Au	150	0	150	L
1191	Hot spring Hg	150	0	150	L
1223	Placer Au-PGE	150	0	150	L
255	QUATERNARY	100	0	100	R
88	RHYOLITE	75	75	150	R
828	As	45	75	120	L
1079	REALGAR	45	30	75	L
1103	STIBNITE	45	10	55	L
847	Hg	30	30	60	L
875	Ta	30	30	60	L
916	ARSENOPYRITE	30	10	40	L
947	CHALCOPYRITE	30	10	40	L
992	FLUORITE	30	10	40	L
1097	SPHALERITE	30	30	60	L
7	FELSIC PLUTONIC SEQUENCE	25	25	50	R
8	FELSIC VOLCANIC SEQUENCE	25	25	50	R
270	MARGINAL CONTINENTAL RIFT SYST	15	0	15	R
296	TRANSFORM FAULT	15	0	15	R
318	ACTIVE CONTINENTAL MARGINE	15	0	15	R
336	OCEANIC-CONTINENTAL SUBDUCTION	15	0	15	R
345	RIFT RELATED MAGMATISM	15	0	15	R
348	SUBDUCTION RELATED MAGMATISM	15	0	15	R
394	CENTRAL SUBAERIAL RHYOLITIC	15	0	15	L
395	CENTRAL SUBAREAL RHYOLITIC FLO	15	0	15	L
418	GEOTHERMAL ACTIVITY	15	0	15	L?
419	VOLCANIC RELATED GEOTHERMAL AC	15	0	15	L
421	SHALLOW INTRUSIVE RELATED GEOT	15	0	15	L
424	NORMAL FAULT STRUCTURE	15	0	15	L
429	NEAR SURFACE FRACTURES	15	0	15	L
526	ADULARIA	15	0	15	L
530	MICROCLINE	15	0	15	L
541	BIOTITE	15	0	15	L
575	LEPIDOLITE	15	0	15	L
580	PLAGIOCLASE	15	0	15	L
583	PYROPHILITIC	15	0	15	L
605	SURFACE AND NEAR SURFACE OXIDA	15	0	15	L
608	LATERITIZATION	15	0	15	L
616	OXIDIZING LEACHING	15	0	15	L
623	HEMATITE GOSSAN	15	0	15	L
624	LIMONITE GOSSAN	15	0	15	L
649	ALUNITE IN BLEACHED COUNTRY RO	15	0	15	L
651	LIMONITE IN BLEACHED COUNTRY R	15	0	15	L
664	GOETHITE	15	0	15	L
665	LIMONITE	15	0	15	L
683	ALUNITE	15	0	15	L
715	INEQUIGRANULAR TEXTURES	15	0	15	L
717	PORPHYRY	15	0	15	L
730	BRECCIA FILLINGS	15	0	15	L
762	BRECCIA	15	0	15	L
791	STOCKWORK	15	0	15	L
821	REGULAR VIEN	15	0	15	L
Total		1665	360	2025	

SAB11

No	Type	Positive Score		Negative Score		Overall Score	
		W	%P	W	%P	W	%P
61	Disseminated Sb	785	32.1	290	38.2	495	20.2
60	Simple Sb	755	32.9	305	40.7	450	19.6
55	Volcanic-Hosted Magnetite	410	26.7	150	38.0	260	16.9
59	Silica Carbonate Hg	725	39.4	445	70.6	280	15.2
11	Podiform Chromite	265	21.7	105	28.0	160	13.1
38	Porphyry-Mo, Low-F	920	22.9	415	62.9	505	12.5
47	Hot Spring Au-Ag	730	30.1	430	61.4	300	12.4
24	Climax-Mo	805	31.0	580	51.6	225	8.7
79	Warm-Current Phosphate	230	22.5	145	36.3	85	8.3
26	Porphyry-skarn-Cu	535	19.4	395	61.2	140	5.1

SAB11-1

####	Disseminated Sb	Pos. Score	Neg. Score	Interval S	State
243	MESOZOIC	100	0	100	YES R
247	TERTIARY	100	0	100	YES R
516	SILICIFICATION PROCESSES	100	10	110	YES L
54	PLUTONIC FELSIC BODY	75	75	150	YES R
87	FELSIC VOLCANIC BODY	75	75	150	YES R
174	REGIONAL METAMORPHIC ROCKS	75	75	150	YES R
870	Sb	60	75	135	YES L
844	Fe	30	10	40	YES L
1072	PYRITE	30	10	40	YES L
7	FELSIC PLUTONIC SEQUENCE	25	25	50	YES R
8	FELSIC VOLCANIC SEQUENCE	25	25	50	YES R
16	METAMORPHIC SEQUENCE	15	15	30	YES R
266	UNSTABLE CONDITION	15	0	15	YES R
280	FOLDED BELTS	15	0	15	YES R
333	CONVERGENT PLATE BOUNDARY	15	0	15	YES R
547	CHLORITE	15	0	15	YES L
589	SERPENTINE	15	0	15	YES L
Total		785	395	1180	

SAB11-1N

####	Disseminated Sb	Pos. Score	Neg. Score	Interval S	State
1181	Hot Spring Au-Ag	150	0	150	L
1190	Carbonite-Hosted Au-Ag	150	0	150	L
1194	Simple Sb	150	0	150	L
1195	Disseminated Sb	150	0	150	L
1215	Low-Sulfide Au-Quartz	150	0	150	L
1223	Placer Au-PGE	150	0	150	L
234	PALEOZOIC	100	0	100	R
493	SERICITIZATION	100	10	110	L
495	ARGILLIC ALTERATION	100	10	110	L
120	SEDIMENTARY ROCKS	75	75	150	R
430	SHEAR ZONE	30	0	30	L
642	KERMESITE ENRICHMENT IN SOIL	30	0	30	L?
744	DESIMINATED	30	0	30	L
745	MASSIVE	30	0	30	L
830	Au	30	75	105	L
847	Hg	30	10	40	L
863	Pb	30	10	40	L
886	Zn	30	10	40	L
1103	STIBNITE	30	75	105	L
10	SEDIMENTARY SEQUENCE	15	15	30	R
282	MOBILE BELT	15	0	15	R
283	UPLIFT	15	0	15	R
284	OROGENIC	15	0	15	R
289	FAULT SYSTEM	15	0	15	R
295	FAULTS INTERSECTIONS	15	0	15	R
298	FRACTURE SYSTEM	15	0	15	R
423	FAULTED STRUCTURE	15	0	15	L
434	LOW GRADE METAMORPHISM	15	0	15	L
536	ARGILLITE	15	0	15	L
588	SERICITE	15	0	15	L
605	SURFACE AND NEAR SURFACE OXIDA	15	0	15	L
614	CHEMICAL SECONDARY ENRICHMENT	15	0	15	L
615	LEACHING PROCESSES	15	0	15	L?
616	OXIDIZING LEACHING	15	0	15	L
640	Sb-OXIDES ENRICHMENT IN SOIL	15	0	15	L
821	REGULAR VIEN	15	0	15	L
826	VEIN LETS	15	0	15	L
Total		1815	290	2105	

SAB11-2Y

####	Simple Sb	Pos. Score	Neg. Score	Interval S	State
243	MESOZOIC	100	0	100	YES R
247	TERTIARY	100	0	100	YES R
516	SILICIFICATION PROCESSES	100	10	110	YES L
54	PLUTONIC FELSIC BODY	75	75	150	YES R
87	FELSIC VOLCANIC BODY	75	75	150	YES R
174	REGIONAL METAMORPHIC ROCKS	75	75	150	YES R
844	Fe	30	30	60	YES L
870	Sb	30	75	105	YES L
1072	PYRITE	30	10	40	YES L
7	FELSIC PLUTONIC SEQUENCE	25	25	50	YES R
8	FELSIC VOLCANIC SEQUENCE	25	25	50	YES R
16	METAMORPHIC SEQUENCE	15	15	30	YES R
266	UNSTABLE CONDITION	15	0	15	YES R
280	FOLDED BELTS	15	0	15	YES R
333	CONVERGENT PLATE BOUNDARY	15	0	15	YES R
547	CHLORITE	15	0	15	YES L
589	SERPENTINE	15	0	15	YES L
Total		755	415	1170	

SAB11-2N

####	Simple Sb	Pos. Score	Neg. Score	Interval S	State
1181	Hot Spring Au-Ag	150	0	150	L
1190	Carbonite-Hosted Au-Ag	150	0	150	L
1194	Simple Sb	150	0	150	L
1215	Low-Sulfide Au-Quartz	150	0	150	L
1223	Placer Au-PGE	150	0	150	L
234	PALEOZOIC	100	0	100	R
493	SERICITIZATION	100	10	110	L
495	ARGILLIC ALTERATION	100	10	110	L
120	SEDIMENTARY ROCKS	75	75	150	R
1103	STIBNITE	45	75	120	L
430	SHEAR ZONE	30	30	60	L
642	KERMESITE ENRICHMENT IN SOIL	30	0	30	L?
829	Ag	30	30	60	L
830	Au	30	30	60	L
847	Hg	30	10	40	L
863	Pb	30	10	40	L
886	Zn	30	10	40	L R
10	SEDIMENTARY SEQUENCE	15	15	30	R
282	MOBILE BELT	15	0	15	R
283	UPLIFT	15	0	15	R
284	OROGENIC	15	0	15	R
289	FAULT SYSTEM	15	0	15	R
295	FAULTS INTERSECTIONS	15	0	15	R
298	FRACTURE SYSTEM	15	0	15	R
423	FAULTED STRUCTURE	15	0	15	L
434	LOW GRADE METAMORPHISM	15	0	15	L
536	ARGILLITE	15	0	15	L
588	SERICITE	15	0	15	L
605	SURFACE AND NEAR SURFACE OXIDA	15	0	15	L
614	CHEMICAL SECONDARY ENRICHMENT	15	0	15	L
615	LEACHING PROCESSES	15	0	15	L?
616	OXIDIZING LEACHING	15	0	15	L
640	Sb-OXIDES ENRICHMENT IN SOIL	15	0	15	L
744	DESIMINATED	15	0	15	L
796	MASSIVE	15	0	15	L
806	LENS	15	0	15	L
814	BANDED	15	0	15	L
821	REGULAR VIEN	15	0	15	L
826	VEIN LETS	15	0	15	L
Total		1710	305	2015	

SAB12

No	Type	Positive Score		Negative Score		Overall Score	
		W	%P	W	%P	W	%P
81	Low-Sulfide Au-Quartz	870	33.2	385	59.2	485	18.5
11	Podiform Chromite	265	21.7	105	28.0	160	13.1
47	Hot Spring Au-Ag	655	27.0	435	62.1	220	9.1
59	Silica Carbonate Hg	605	32.9	450	71.4	155	8.4
88	Lateritic-Saprolite Au	225	16.4	130	34.7	95	6.9
84	Flat Faults Au	455	28.9	365	55.3	90	5.7
80	Oolitic Ironstone	340	36.4	300	57.1	40	4.3
38	Porphyry-Mo, Low-F	635	15.8	545	82.6	90	2.2
79	Warm-Current Phosphate	160	15.7	145	36.3	15	1.5
61	Disseminated Sb	515	21.1	505	66.4	10	0.4

SAB12-1Y

####	Low-Sulfide Au-Quartz	Pos. Score	Neg. Score	Interval S	State
516	SILICIFICATION PROCESSES	400	10	410	YES L
544	CARBONATES	200	20	220	YES L
1045	NATIVES GOLD	75	75	150	YES L
830	Au	60	75	135	YES L
1072	PYRITE	60	75	135	YES L
266	UNSTABLE CONDITION	15	0	15	YES R
279	COMPRESSATIONAL REGIME	15	0	15	YES R
318	ACTIVE CONTINENTAL MARGINE	15	0	15	YES R
434	LOW GRADE METAMORPHISM	15	0	15	YES L
584	QUARTZ	15	0	15	YES L
Total		870	255	1125	

SAB12-1N

####	Low-Sulfide Au-Quartz	Pos. Score	Neg. Score	Interval S	State
1196	Kuroko Massive sulfide	150	0	150	L
1215	Low-Sulfide Au-Quartz	150	0	150	L
1216	Homestake Au	150	0	150	L
1223	Placer Au-PGE	150	0	150	L
487	EARLY ALBITIZATION	100	10	110	L
207	METASEDIMENTARY ROCKS	75	10	85	R
227	GREEN STONE	75	75	150	R
137	GRAYWACKE	60	10	70	R
217	MAFIC METAVOLCANIC	60	10	70	R
828	As	60	75	135	L
829	Ag	60	75	135	L
17	LOW GRADE METAMORPHIC SEQUENCE	50	50	100	R
863	Pb	45	30	75	L
916	ARSENOPYRITE	45	10	55	L
947	CHALCOPYRITE	45	10	55	L
996	GALENA	45	10	55	L
229	ANY AGE	40	0	40	R?
164	CHERT	30	5	35	R?
886	Zn	30	10	40	L
1077	PYRRHOTITE	30	0	30	L
281	ACCRETED MARGINE	15	0	15	R
289	FAULT SYSTEM	15	0	15	R
290	NORMAL FAULT	15	0	15	R
298	FRACTURE SYSTEM	15	0	15	R
423	FAULTED STRUCTURE	15	0	15	L
424	NORMAL FAULT STRUCTURE	15	0	15	L
528	ALBITE	15	0	15	L
546	DOLOMITE	15	0	15	L?
559	DOLOMITE	15	0	15	L
588	SERICITE	15	0	15	L
594	TALC	15	0	15	L?
611	MECHANICAL ENRICHMENT	15	0	15	L
612	RESIDUAL MECHANICAL ENRICHMENT	15	0	15	L
634	QUARTZ CHIPS IN RESIDUAL SOIL	15	0	15	L
643	Au ENRICHMENT IN SOIL	15	0	15	L
744	DESIMINATED	15	0	15	L
821	REGULAR VIEN	15	0	15	L
822	IRREGULAR VIEN	15	0	15	L
826	VEIN LETS	15	0	15	L
Total		1735	390	2125	

SAB14

No	Type	Positive Score		Negative Score		Overall Score	
		W	%P	W	%P	W	%P
81	Low-Sulfide Au-Quartz	1035	39.5	285	43.8	750	28.6
59	Silica Carbonate Hg	745	40.5	380	60.3	365	19.8
47	Hot Spring Au-Ag	790	32.6	330	47.1	460	19.0
61	Disseminated Sb	680	27.8	420	55.3	260	10.6
60	Simple Sb	665	29.0	425	56.7	240	10.5
57	Hot spring Hg	360	22.2	235	48.0	125	7.7
38	Porphyry-Mo, Low-F	740	18.4	555	84.1	185	4.6
45	Volcanogenic-Mn	320	16.2	290	86.6	30	1.5
49	Comstock Epithermal Veins	490	23.2	485	60.6	5	0.2

SAB14-1V

####	Low-Sulfide Au-Quartz	Pos. Score	Neg. Score	Interval S	State
516	SILICIFICATION PROCESSES	400	10	410	YES L
544	CARBONATES	200	20	220	YES L
1045	NATIVES GOLD	75	75	150	YES L
828	As	60	75	135	YES L
829	Ag	60	75	135	YES L
1072	PYRITE	60	75	135	YES L
863	Pb	45	30	75	YES L
266	UNSTABLE CONDITION	15	0	15	YES R
279	COMPRESSATIONAL REGIME	15	0	15	YES R
289	FAULT SYSTEM	15	0	15	YES R
290	NORMAL FAULT	15	0	15	YES R
298	FRACTURE SYSTEM	15	0	15	YES R
318	ACTIVE CONTINENTAL MARGINE	15	0	15	YES R
423	FAULTED STRUCTURE	15	0	15	YES L
434	LOW GRADE METAMORPHISM	15	0	15	YES L
584	QUARTZ	15	0	15	YES L
Total		1035	360	1395	

SAB14-1N

####	Low-Sulfide Au-Quartz	Pos. Score	Neg. Score	Interval S	State
1196	Kuroko Massive sulfide	150	0	150	L
1215	Low-Sulfide Au-Quartz	150	0	150	L
1216	Homestake Au	150	0	150	L
1223	Placer Au-PGE	150	0	150	L
487	EARLY ALBITIZATION	100	10	110	L
207	METASEDIMENTARY ROCKS	75	10	85	R
227	GREEN STONE	75	75	150	R
137	GRAYWACKE	60	10	70	R
217	MAFIC METAVOLCANIC	60	10	70	R
830	Au	60	75	135	L
17	LOW GRADE METAMORPHIC SEQUENCE	50	50	100	R
916	ARSENOPYRITE	45	10	55	L
947	CHALCOPYRITE	45	10	55	L
996	GALENA	45	10	55	L
229	ANY AGE	40	0	40	R?
164	CHERT	30	5	35	R?
886	Zn	30	10	40	L
1077	PYRRHOTITE	30	0	30	L
281	ACCRETED MARGINE	15	0	15	R
424	NORMAL FAULT STRUCTURE	15	0	15	L
528	ALBITE	15	0	15	L
546	DOLOMITE	15	0	15	L?
559	DOLOMITE	15	0	15	L
588	SERICITE	15	0	15	L
594	TALC	15	0	15	L?
611	MECHANICAL ENRICHMENT	15	0	15	L
612	RESIDUAL MECHANICAL ENRICHMENT	15	0	15	L
634	QUARTZ CHIPS IN RESIDUAL SOIL	15	0	15	L
643	Au ENRICHMENT IN SOIL	15	0	15	L
744	DESIMINATED	15	0	15	L
821	REGULAR VIEN	15	0	15	L
822	IRREGULAR VIEN	15	0	15	L
826	VEIN LETS	15	0	15	L
877	Te	15	5	20	L
Total		1585	290	1875	

SAB14-2Y

####	Silica Carbonate Hg	Pos. Score	Neg. Score	Interval S	State
516	SILICIFICATION PROCESSES	400	10	410	YES L
206	SERPENTINITE	60	60	120	YES R
847	Hg	60	75	135	YES L
870	Sb	45	30	75	YES L
1072	PYRITE	30	75	105	YES L
266	UNSTABLE CONDITION	15	0	15	YES R
279	COMPRESSATIONAL REGIME	15	0	15	YES R
289	FAULT SYSTEM	15	0	15	YES R
298	FRACTURE SYSTEM	15	0	15	YES R
333	CONVERGENT PLATE BOUNDARY	15	0	15	YES R
423	FAULTED STRUCTURE	15	0	15	YES L
431	DEFORMED STRUCTURE	15	0	15	YES L
434	LOW GRADE METAMORPHISM	15	0	15	YES L
437	REGIONAL METAMORPHISM	15	0	15	YES L
584	QUARTZ	15	0	15	YES L
Total		745	250	995	

SAB14-2N

####	Silica Carbonate Hg	Pos. Score	Neg. Score	Interval S	State
1193	Silica Carbonate Hg	150	0	150	L
1194	Simple Sb	150	0	150	L
247	TERTIARY	100	0	100	R
1046	NATIVES MERCURY	75	75	150	L
959	CINNABAR	60	75	135	L
132	SILTSTONE	45	10	55	R
137	GRAYWACKE	45	10	55	R
1103	STIBNITE	45	30	75	L
293	TRUST FAULT	30	0	30	R
294	SUBDUCTION RELATED TRUST FAULT	30	0	30	R
833	B	30	10	40	L
837	Cu	30	10	40	L
886	Zn	30	10	40	L
928	BORNITE	30	10	40	L
947	CHALCOPYRITE	30	30	60	L
996	GALENA	30	30	60	L
1097	SPHALERITE	30	30	60	L
3	MAFIC PLUTONIC SEQUENCE	25	25	50	R
10	SEDIMENTARY SEQUENCE	25	25	50	R
337	OCEANIC-CONTINENTAL OBDUCTION	15	0	15	R
427	TRUST FAULT STRUCTURE	15	0	15	L
546	DOLOMITE	15	0	15	L?
559	DOLOMITE	15	0	15	L
792	STRINGER	15	0	15	L
821	REGULAR VIEN	15	0	15	L
826	VEIN LETS	15	0	15	L
Total		1095	380	1475	

SAB14-3Y

#####	Hot Spring Au-Ag	Pos. Score	Neg. Score	Interval S	State
516	SILICIFICATION PROCESSES	400	10	410	YES L
828	As	45	75	120	YES L
829	Ag	45	75	120	YES L
870	Sb	45	30	75	YES L
1045	NATIVES GOLD	45	75	120	YES L
847	Hg	30	30	60	YES L
1072	PYRITE	30	75	105	YES L
266	UNSTABLE CONDITION	15	0	15	YES R
267	EXTENTIONAL REGIME	15	0	15	YES R
268	RIFT SYSTEM	15	0	15	YES R
318	ACTIVE CONTINENTAL MARGINE	15	0	15	YES R
334	OCEANIC-OCEANIC SUBDUCTION	15	0	15	YES R
348	SUBDUCTION RELATED MAGMATISM	15	0	15	YES R
350	ARC RELATED MAGMATISM	15	0	15	YES R
423	FAULTED STRUCTURE	15	0	15	YES L
429	NEAR SURFACE FRACTURES	15	0	15	YES L
544	CARBONATES	15	0	15	YES L
Total		790	370	1160	

Y

SAB14-3N

####	Hot Spring Au-Ag	Pos. Score	Neg. Score	Interval S	State
1181	Hot Spring Au-Ag	150	0	150	L
1185	Epithermal Quartz-Alunite Au	150	0	150	L
1191	Hot spring Hg	150	0	150	L
1223	Placer Au-PGE	150	0	150	L
247	TERTIARY	100	0	100	R
255	QUATERNARY	100	0	100	R
88	RHYOLITE	75	75	150	R
830	Au	45	75	120	L
1079	REALGAR	45	30	75	L
1103	STIBNITE	45	10	55	L
875	Ta	30	30	60	L
916	ARSENOPYRITE	30	10	40	L
947	CHALCOPYRITE	30	10	40	L
992	FLUORITE	30	10	40	L
1097	SPHALERITE	30	30	60	L
7	FELSIC PLUTONIC SEQUENCE	25	25	50	R
8	FELSIC VOLCANIC SEQUENCE	25	25	50	R
270	MARGINAL CONTINENTAL RIFT SYST	15	0	15	R
296	TRANSFORM FAULT	15	0	15	R
336	OCEANIC-CONTINENTAL SUBDUCTION	15	0	15	R
345	RIFT RELATED MAGMATISM	15	0	15	R
394	CENTRAL SUBAERIAL RHYOLITIC	15	0	15	L
395	CENTRAL SUBAREAL RHYOLITIC FLO	15	0	15	L
418	GEOTHERMAL ACTIVITY	15	0	15	L?
419	VOLCANIC RELATED GEOTHERMAL AC	15	0	15	L
421	SHALLOW INTRUSIVE RELATED GEOT	15	0	15	L
424	NORMAL FAULT STRUCTURE	15	0	15	L
526	ADULARIA	15	0	15	L
530	MICROCLINE	15	0	15	L
541	BIOTITE	15	0	15	L
575	LEPIDOLITE	15	0	15	L
580	PLAGIOCLASE	15	0	15	L
583	PYROPHILITIC	15	0	15	L
605	SURFACE AND NEAR SURFACE OXIDA	15	0	15	L
608	LATERITIZATION	15	0	15	L
616	OXIDIZING LEACHING	15	0	15	L
623	HEMATITE GOSSAN	15	0	15	L
624	LIMONITE GOSSAN	15	0	15	L
648	JAROSITE IN BLEACHED COUNTRY R	15	0	15	L
649	ALUNITE IN BLEACHED COUNTRY RO	15	0	15	L
650	GOETHITE IN BLEACHED COUNTRY R	15	0	15	L
651	LIMONITE IN BLEACHED COUNTRY R	15	0	15	L
652	HEMATITE IN BLEACHED COUNTRY R	15	0	15	L
664	GOETHITE	15	0	15	L
665	LIMONITE	15	0	15	L
683	ALUNITE	15	0	15	L
715	INEQUIGRANULAR TEXTURES	15	0	15	L
717	PORPHYRY	15	0	15	L
750	BRECCIA FILLINGS	15	0	15	L
762	BRECCIA	15	0	15	L
791	STOCKWORK	15	0	15	L
821	REGULAR VIEN	15	0	15	L
Total		1735	330	2065	

SAB17

No	Type	Positive Score		Negative Score		Overall Score	
		W	%P	W	%P	W	%P
58	Almaden Hg	410	35.8	180	41.4	230	20.1
47	Hot Spring Au-Ag	795	32.8	380	54.3	415	17.1
59	Silica Carbonate Hg	725	39.4	450	71.4	275	14.9
81	Low-Sulfide Au-Quartz	760	29.0	375	57.7	385	14.7
49	Comstock Epithermal Veins	675	32.0	415	51.9	260	12.3
45	Volcanogenic-Mn	400	20.3	220	65.7	180	9.1
50	Sado Epithermal Veins	615	30.0	445	63.1	170	8.3
38	Porphyry-Mo, Low-F	815	20.2	505	76.5	310	7.7
57	Hot spring Hg	415	25.6	295	60.2	120	7.4
51	Epithermal Quartz-Alunite Au	705	26.2	540	61.4	165	6.1

SAB17-1Y

####	Almaden Hg	Pos. Score	Neg. Score	Interval S	State
92	VOLCANOCLASTIC BODY	75	75	150	YES R
847	Hg	60	45	105	YES L
8	FELSIC VOLCANIC SEQUENCE	50	50	100	YES R
93	TUFF	45	10	55	YES R
95	TUFF-BRECCIA	45	10	55	YES R
828	As	45	30	75	YES L
1072	PYRITE	30	10	40	YES L
289	FAULT SYSTEM	15	0	15	YES R
290	NORMAL FAULT	15	0	15	YES R
407	SHALLOW SEATED MAGMATISM	15	0	15	YES L
423	FAULTED STRUCTURE	15	0	15	YES L
Total		410	230	640	

SAB17-1N

####	Almaden Hg	Pos. Score	Neg. Score	Interval S	State
1192	Almaden Hg	150	0	150	L
1194	Simple Sb	150	0	150	L
1046	NATIVES MERCURY	75	75	150	L
959	CINNABAR	65	75	140	L
870	Sb	45	30	75	L
229	ANY AGE	40	0	40	R?
744	DESIMINATED	30	0	30	L
121	CLASTIC ROCKS	15	15	30	R?
277	STEEP NORMAL FAULT	15	0	15	R
291	HIGH ANGLE NORMAL FAULT	15	0	15	R
396	PRIFERAL EXTRUSIVE	15	0	15	L
398	PRIFERAL SUBVOLCANIC	15	0	15	L
418	GEOTHERMAL ACTIVITY	15	0	15	L?
419	VOLCANIC RELATED GEOTHERMAL AC	15	0	15	L
421	SHALLOW INTRUSIVE RELATED GEOT	15	0	15	L
424	NORMAL FAULT STRUCTURE	15	0	15	L
429	NEAR SURFACE FRACTURES	15	0	15	L
	Total	705	195	900	

SAB17-2Y

####	Hot Spring Au-Ag	Pos. Score	Neg. Score	Interval S	State
516	SILICIFICATION PROCESSES	400	10	410	YES L
247	TERTIARY	100	0	100	YES R
828	As	45	75	120	YES L
1045	NATIVES GOLD	45	75	120	YES L
847	Hg	30	30	60	YES L
1072	PYRITE	30	75	105	YES L
8	FELSIC VOLCANIC SEQUENCE	25	25	50	YES R
266	UNSTABLE CONDITION	15	0	15	YES R
318	ACTIVE CONTINENTAL MARGINE	15	0	15	YES R
334	OCEANIC-OCEANIC SUBDUCTION	15	0	15	YES R
350	ARC RELATED MAGMATISM	15	0	15	YES R
423	FAULTED STRUCTURE	15	0	15	YES L
651	LIMONITE IN BLEACHED COUNTRY R	15	0	15	YES L
715	INEQUIGRANULAR TEXTURES	15	0	15	YES L
717	PORPHYRY	15	0	15	YES L
	Total	795	290	1085	

SAB17-2N

####	Hot Spring Au-Ag	Pos. Score	Neg. Score	Interval S	State
1181	Hot Spring Au-Ag	150	0	150	L
1185	Epithermal Quartz-Alunite Au	150	0	150	L
1191	Hot spring Hg	150	0	150	L
1223	Placer Au-PGE	150	0	150	L
255	QUATERNARY	100	0	100	R
88	RHYOLITE	75	75	150	R
829	Ag	45	75	120	L
830	Au	45	75	120	L
870	Sb	45	30	75	L
1079	REALGAR	45	30	75	L
1103	STIBNITE	45	10	55	L
916	ARSENOPYRITE	30	10	40	L
947	CHALCOPYRITE	30	10	40	L
992	FLUORITE	30	10	40	L
1097	SPHALERITE	30	30	60	L
7	FELSIC PLUTONIC SEQUENCE	25	25	50	R
267	EXTENTIONAL REGIME	15	0	15	R
268	RIFT SYSTEM	15	0	15	R
270	MARGINAL CONTINENTAL RIFT SYST	15	0	15	R
296	TRANSFORM FAULT	15	0	15	R
336	OCEANIC-CONTINENTAL SUBDUCTION	15	0	15	R
345	RIFT RELATED MAGMATISM	15	0	15	R
348	SUBDUCTION RELATED MAGMATISM	15	0	15	R
394	CENTRAL SUBAERIAL RHYOLITIC	15	0	15	L
395	CENTRAL SUBAREAL RHYOLITIC FLO	15	0	15	L
418	GEOTHERMAL ACTIVITY	15	0	15	L?
419	VOLCANIC RELATED GEOTHERMAL AC	15	0	15	L
421	SHALLOW INTRUSIVE RELATED GEOT	15	0	15	L
424	NORMAL FAULT STRUCTURE	15	0	15	L
429	NEAR SURFACE FRACTURES	15	0	15	L
526	ADULARIA	15	0	15	L
530	MICROCLINE	15	0	15	L
541	BIOTITE	15	0	15	L
544	CARBONATES	15	0	15	L
575	LEPIDOLITE	15	0	15	L
580	PLAGIOCLASE	15	0	15	L
583	PYROPHILITIC	15	0	15	L
605	SURFACE AND NEAR SURFACE OXIDA	15	0	15	L
608	LATERITIZATION	15	0	15	L
616	OXIDIZING LEACHING	15	0	15	L
623	HEMATITE GOSSAN	15	0	15	L
624	LIMONITE GOSSAN	15	0	15	L
648	JAROSITE IN BLEACHED COUNTRY R	15	0	15	L
649	ALUNITE IN BLEACHED COUNTRY RO	15	0	15	L
650	GOETHITE IN BLEACHED COUNTRY R	15	0	15	L
652	HEMATITE IN BLEACHED COUNTRY R	15	0	15	L
664	GOETHITE	15	0	15	L
665	LIMONITE	15	0	15	L
683	ALUNITE	15	0	15	L
750	BRECCIA FILLINGS	15	0	15	L
762	BRECCIA	15	0	15	L
791	STOCKWORK	15	0	15	L
821	REGULAR VIEN	15	0	15	L
Total		1700	380	2080	

SAB17-3Y

####	Silica Carbonate Hg	Pos. Score	Neg. Score	Interval S	State
516	SILICIFICATION PROCESSES	400	10	410	YES L
247	TERTIARY	100	0	100	YES R
847	Hg	60	75	135	YES L
837	Cu	30	10	40	YES L
1072	PYRITE	30	75	105	YES L
266	UNSTABLE CONDITION	15	0	15	YES R
279	COMPRESSORIAL REGIME	15	0	15	YES R
289	FAULT SYSTEM	15	0	15	YES R
298	FRACTURE SYSTEM	15	0	15	YES R
333	CONVERGENT PLATE BOUNDARY	15	0	15	YES R
423	FAULTED STRUCTURE	15	0	15	YES L
584	QUARTZ	15	0	15	YES L
Total		725	170	895	

SAB17-3N

####	Silica Carbonate Hg	Pos. Score	Neg. Score	Interval S	State
1193	Silica Carbonate Hg	150	0	150	L
1194	Simple Sb	150	0	150	L
1046	NATIVES MERCURY	75	75	150	L
206	SERPENTINITE	60	60	120	R
959	CINNABAR	60	75	135	L
132	SILTSTONE	45	10	55	R
137	GRAYWACKE	45	10	55	R
870	Sb	45	30	75	L
1103	STIBENITE	45	30	75	L
293	TRUST FAULT	30	0	30	R
294	SUBDUCTION RELATED TRUST FAULT	30	0	30	L
886	Zn	30	10	40	L
928	BORNITE	30	10	40	L
947	CHALCOPYRITE	30	30	60	L
996	GALENA	30	30	60	L
1097	SPHALERITE	30	30	60	L
3	MAFIC PLUTONIC SEQUENCE	25	25	50	R
10	SEDIMENTARY SEQUENCE	25	25	50	R
337	OCEANIC-CONTINENTAL OBDUCTION	15	0	15	L
427	TRUST FAULT STRUCTURE	15	0	15	L
431	DEFORMED STRUCTURE	15	0	15	L
434	LOW GRADE METAMORPHISM	15	0	15	L
437	REGIONAL METAMORPHISM	15	0	15	L?
546	DOLOMITE	15	0	15	L
559	DOLOMITE	15	0	15	L
792	STRINGER	15	0	15	L
821	REGULAR VIEN	15	0	15	L
826	VEIN LETS	15	0	15	L
Total		1085	450	1535	

SAB17-4Y

####	Low-Sulfide Au-Quartz	Pos. Score	Neg. Score	Interval S	State
516	SILICIFICATION PROCESSES	400	10	410	YES L
1045	NATIVES GOLD	75	75	150	YES L
828	As	60	75	135	YES L
1072	PYRITE	60	75	135	YES L
863	Pb	45	30	75	YES L
266	UNSTABLE CONDITION	15	0	15	YES R
279	COMPRESSATIONAL REGIME	15	0	15	YES R
289	FAULT SYSTEM	15	0	15	YES R
290	NORMAL FAULT	15	0	15	YES R
298	FRACTURE SYSTEM	15	0	15	YES R
318	ACTIVE CONTINENTAL MARGINE	15	0	15	YES R
423	FAULTED STRUCTURE	15	0	15	YES L
584	QUARTZ	15	0	15	YES L
Total		760	265	1025	

SAB17-4N

####	Low-Sulfide Au-Quartz	Pos. Score	Neg. Score	Interval S	State
544	CARBONATES	200	20	220	L
1196	Kuroko Massive sulfide	150	0	150	L
1215	Low-Sulfide Au-Quartz	150	0	150	L
1216	Homestake Au	150	0	150	L
1223	Placer Au-PGE	150	0	150	L
487	EARLY ALBITIZATION	100	10	110	L
207	METASEDIMENTARY ROCKS	75	10	85	R
227	GREEN STONE	75	75	150	R
137	GRAYWACKE	60	10	70	R
217	MAFIC METAVOLCANIC	60	10	70	R
829	Ag	60	75	135	L
830	Au	60	75	135	L
17	LOW GRADE METAMORPHIC SEQUENCE	50	50	100	R
916	ARSENOPYRITE	45	10	55	L
947	CHALCOPYRITE	45	10	55	L
996	GALENA	45	10	55	L
229	ANY AGE	40	0	40	R?
164	CHERT	30	5	35	R?
886	Zn	30	10	40	L
1077	PYRRHOTITE	30	0	30	L
281	ACCRETED MARGINE	15	0	15	R
424	NORMAL FAULT STRUCTURE	15	0	15	L
434	LOW GRADE METAMORPHISM	15	0	15	L
528	ALBITE	15	0	15	L
546	DOLOMITE	15	0	15	L?
559	DOLOMITE	15	0	15	L
588	SERICITE	15	0	15	L
594	TALC	15	0	15	L?
611	MECHANICAL ENRICHMENT	15	0	15	L
612	RESIDUAL MECHANICAL ENRICHMENT	15	0	15	L
634	QUARTZ CHIPS IN RESIDUAL SOIL	15	0	15	L
643	Au ENRICHMENT IN SOIL	15	0	15	L
744	DESIMINATED	15	0	15	L
821	REGULAR VIEN	15	0	15	L
822	IRREGULAR VIEN	15	0	15	L
826	VEIN LETS	15	0	15	L
Total		1845	380	2225	

SAB18

No	Type	Positive Score		Negative Score		Overall Score	
		W	%P	W	%P	W	%P
59	Silica Carbonate Hg	785	42.7	355	56.3	430	23.4
43	Cyprus Massive Sulfide	675	31.0	285	37.7	390	17.9
81	Low-Sulfide Au-Quartz	775	29.6	365	56.2	410	15.6
11	Podiform Chromite	265	21.7	95	25.3	170	13.9
38	Porphyry-Mo, Low-F	875	21.7	425	64.4	450	11.2
26	Porphyry-skarn-Cu	535	19.4	230	35.7	305	11.1
47	Hot Spring Au-Ag	655	27.0	405	57.9	250	10.3
73	Appalachian Zn	295	22.0	165	34.4	130	9.7
36	Porphyry-Cu-Au	580	27.4	410	52.2	170	8.0
44	Besshi-Massive Sulfide	470	26.2	330	45.2	140	7.8

SAB18-1Y

####	Silica Carbonate Hg	Pos. Score	Neg. Score	Interval S	State
516	SILICIFICATION PROCESSES	400	10	410	YES L
206	SERPENTINITE	60	60	120	YES R
847	Hg	60	75	135	YES L
837	Cu	30	10	40	YES L
886	Zn	30	10	40	YES L
1072	PYRITE	30	75	105	YES L
3	MAFIC PLUTONIC SEQUENCE	25	25	50	YES R
266	UNSTABLE CONDITION	15	0	15	YES R
279	COMPRESSIVE REGIME	15	0	15	YES R
289	FAULT SYSTEM	15	0	15	YES R
298	FRACTURE SYSTEM	15	0	15	YES R
333	CONVERGENT PLATE BOUNDARY	15	0	15	YES R
423	FAULTED STRUCTURE	15	0	15	YES L
431	DEFORMED STRUCTURE	15	0	15	YES L
434	LOW GRADE METAMORPHISM	15	0	15	YES L
437	REGIONAL METAMORPHISM	15	0	15	YES L
584	QUARTZ	15	0	15	YES L
Total		785	265	1050	

SAB18-1N

####	Silica Carbonate Hg	Pos. Score	Neg. Score	Interval S	State
1193	Silica Carbonate Hg	150	0	150	L
1194	Simple Sb	150	0	150	L
247	TERTIARY	100	0	100	R
1046	NATIVES MERCURY	75	75	150	L
959	CINNABAR	60	75	135	L
132	SILTSTONE	45	10	55	R
137	GRAYWACKE	45	10	55	R
870	Sb	45	30	75	L
1103	STIBNITE	45	30	75	L
293	TRUST FAULT	30	0	30	R
294	SUBDUCTION RELATED TRUST FAULT	30	0	30	R
928	BORNITE	30	10	40	L
947	CHALCOPYRITE	30	30	60	L
996	GALENA	30	30	60	L
1097	SPHALERITE	30	30	60	L
10	SEDIMENTARY SEQUENCE	25	25	50	R
337	OCEANIC-CONTINENTAL OBDUCTION	15	0	15	R
427	TRUST FAULT STRUCTURE	15	0	15	L?
546	DOLOMITE	15	0	15	L
559	DOLOMITE	15	0	15	L
792	STRINGER	15	0	15	L
821	REGULAR VIEN	15	0	15	L
826	VEIN LETS	15	0	15	L
Total		1025	355	1380	

SAB18-2Y

####	Cyprus Massive Sulfide	Pos. Score	Neg. Score	Interval S	State
516	SILICIFICATION PROCESSES	100	10	110	YES L
20	ULTRAMAFIC BODY	60	10	70	YES R
77	BASALT	60	5	65	YES R
228	OPHIOLITE	60	15	75	YES R
2	OPHIOLITE SEQUENCE	50	50	100	YES R
837	Cu	45	75	120	YES L
886	Zn	45	75	120	YES L
829	Ag	30	30	60	YES L
830	Au	30	30	60	YES L
1072	PYRITE	30	75	105	YES L
266	UNSTABLE CONDITION	15	0	15	YES R
267	EXTENTIONAL REGIME	15	0	15	YES R
341	ARC RELATED	15	0	15	YES R
344	OROGENIC RELATED MAGMATISM	15	0	15	YES R
350	ARC RELATED MAGMATISM	15	0	15	YES R
369	SUBMARINE MAGMATISM	15	0	15	YES R
407	SHALLOW SEADED MAGMATISM	15	0	15	YES L
423	FAULTED STRUCTURE	15	0	15	YES L
560	EPIDOT	15	0	15	YES L
715	INEQUIGRANULAR TEXTURES	15	0	15	YES L
717	PORPHYRY	15	0	15	YES L
Total		675	375	1050	

SAB18-2N

####	Cyprus Massive Sulfide	Pos. Score	Neg. Score	Interval S	State
488	FELDSPER DESTRUCTION PROCESSES	400	10	410	L
1177	Cyprus Massive Sulfide	150	0	150	L
947	CHALCOPYRITE	45	75	120	L
1097	SPHALERITE	45	30	75	L
229	ANY AGE	40	0	40	R?
164	CHERT	30	5	35	R?
207	METASEDIMENTARY ROCKS	30	5	35	R
836	Co	30	45	75	L
844	Fe	30	75	105	L
853	Mn	30	30	60	L
1032	MARCASITE	30	5	35	L
1077	PYRRHOTITE	30	10	40	L
101	FLOWS	15	0	15	R
272	OCEANIC RIFT SYSTEM	15	0	15	R
277	STEEP NORMAL FAULT	15	0	15	R
278	GRABEN STRUCTURE	15	0	15	R
291	HIGH ANGLE NORMAL FAULT	15	0	15	R
353	BACK ARC RELATED MAGMATISM	15	0	15	R?
418	GEO THERMAL ACTIVITY	15	0	15	L?
424	NORMAL FAULT STRUCTURE	15	0	15	L
425	WHOLE GRABEN STRUCTURE	15	0	15	L
541	BIOTITE	15	0	15	L
542	BUDDINGTONITE	15	0	15	L
544	CARBONATES	15	0	15	L
569	LIMONITE	15	0	15	L
583	PYROPHILITIC	15	0	15	L
608	LATERITIZATION	15	0	15	L
612	RESIDUAL MECHANICAL ENRICHMENT	15	0	15	L
616	OXIDIZING LEACHING	15	0	15	L
624	LIMONITE GOSSAN	15	0	15	L
638	NATIVE GOLD IN PLACERS	15	0	15	L
643	AU ENRICHMENT IN SOIL	15	0	15	L
665	LIMONITE	15	0	15	L
714	DIABASIC	15	0	15	L
745	MASSIVE	15	0	15	L
762	BRECCIA	15	0	15	L
789	STRING	15	0	15	L?
791	STOCKWORK	15	0	15	L
796	MASSIVE	15	0	15	L
Total		1295	290	1585	

SAB18-3Y

####	Low-Sulfide Au-Quartz	Pos. Score	Neg. Score	Interval S	State
516	SILICIFICATION PROCESSES	400	10	410	YES L
829	Ag	60	75	135	YES L
830	Au	60	75	135	YES L
1072	PYRITE	60	75	135	YES L
863	Pb	45	30	75	YES L
886	Zn	30	10	40	YES L
266	UNSTABLE CONDITION	15	0	15	YES R
279	COMPRESSIVE REGIME	15	0	15	YES R
289	FAULT SYSTEM	15	0	15	YES R
290	NORMAL FAULT	15	0	15	YES R
298	FRACTURE SYSTEM	15	0	15	YES R
423	FAULTED STRUCTURE	15	0	15	YES L
434	LOW GRADE METAMORPHISM	15	0	15	YES L
584	QUARTZ	15	0	15	YES L
Total		775	275	1050	

SAB18-3N

####	Low-Sulfide Au-Quartz	Pos. Score	Neg. Score	Interval S	State
544	CARBONATES	200	20	220	L
1196	Kuroko Massive sulfide	150	0	150	L
1215	Low-Sulfide Au-Quartz	150	0	150	L
1216	Homestake Au	150	0	150	L
1223	Placer Au-PGE	150	0	150	L
487	EARLY ALBITIZATION	100	10	110	L
207	METASEDIMENTARY ROCKS	75	10	85	R
227	GREEN STONE	75	75	150	R
1045	NATIVES GOLD	75	75	150	L
137	GRAYWACKE	60	10	70	R
217	MAFIC METAVOLCANIC	60	10	70	R
828	As	60	75	135	L
17	LOW GRADE METAMORPHIC SEQUENCE	50	50	100	R
916	ARSENOPYRITE	45	10	55	L
947	CHALCOPYRITE	45	10	55	L
996	GALENA	45	10	55	L
229	ANY AGE	40	0	40	R?
164	CHERT	30	5	35	R?
1077	PYRRHOTITE	30	0	30	L
281	ACCRETED MARGINE	15	0	15	R
318	ACTIVE CONTINENTAL MARGINE	15	0	15	L
424	NORMAL FAULT STRUCTURE	15	0	15	L
528	ALBITE	15	0	15	L
546	DOLOMITE	15	0	15	L?
559	DOLOMITE	15	0	15	L
588	SERICITE	15	0	15	L
594	TALC	15	0	15	L?
611	MECHANICAL ENRICHMENT	15	0	15	L
612	RESIDUAL MECHANICAL ENRICHMENT	15	0	15	L
634	QUARTZ CHIPS IN RESIDUAL SOIL	15	0	15	L
643	Au ENRICHMENT IN SOIL	15	0	15	L
744	DESIMINATED	15	0	15	L
821	REGULAR VEN	15	0	15	L
822	IRREGULAR VEN	15	0	15	L
826	VEIN LETS	15	0	15	L

SAB20

No	Type	Positive Score		Negative Score		Overall Score	
		W	%P	W	%P	W	%P
11	Podiform Chromite	340	27.9	30	8.0	310	25.4
45	Volcanogenic-Mn	455	23.0	120	35.8	335	17.0
61	Disseminated Sb	760	31.1	395	52.0	365	14.9
60	Simple Sb	745	32.5	410	54.7	335	14.6
47	Hot Spring Au-Ag	705	29.1	410	58.6	295	12.2
81	Low-Sulfide Au-Quartz	685	26.1	395	60.8	290	11.1
85	Lateritic Ni	425	28.0	260	46.4	165	10.9
55	Volcanic-Hosted Magnetite	310	20.2	150	38.0	160	10.4
43	Cyprus Massive Sulfide	510	23.4	300	39.7	210	9.7
38	Porphyry-Mo, Low-F	825	20.5	460	69.7	365	9.1
88	Lateritic-Saprolite Au	295	21.5	170	45.3	125	9.1

SAB20-1Y

####	Podiform Chromite	Pos. Score	Neg. Score	Interval S	State
20	ULTRAMAFIC BODY	75	75	150	YES R
835	Cr	75	75	150	YES L
119	OPHIOLITE	60	10	70	YES R
956	CHROMITE	60	75	135	YES L
233	PHANEROZOIC	40	100	140	YES R
1029	MAGNETITE	30	10	40	YES L
Total		340	345	685	

SAB20-1N

####	Podiform Chromite	Pos. Score	Neg. Score	Interval S	State
508	SERPENTINIZATION	400	10	410	L
1145	Podiform Chromite	150	0	150	L
1146	Limassol Co-Ni	150	0	150	L
21	DUNITE	60	10	70	R
22	PREDOTITE	60	10	70	R
744	DESIMINATED	30	0	30	L
745	MASSIVE	30	0	30	L
Total		880	30	910	

SAB20-2Y

####	Volcanogenic-Mn	Pos. Score	Neg. Score	Interval S	State
233	PHANEROZOIC	100	0	100	YES R
92	VOLCANOCLASTIC BODY	75	75	150	YES R
853	Mn	60	75	135	YES L
1029	MAGNETITE	60	5	65	YES L
74	VOLCANIC MAFIC BODY	30	10	40	YES R
87	FELSIC VOLCANIC BODY	30	10	40	YES R
886	Zn	30	10	40	YES L
4	MAFIC VOLCANIC SEQUENCE	25	25	50	YES R
266	UNSTABLE CONDITION	15	0	15	YES R
327	OCEANIC PLATE MARGINE-ARC	15	0	15	YES R
655	Mn-OXIDES STAINS	15	0	15	YES L
Total		455	210	665	

SAB20-2N

####	Volcanogenic-Mn	Pos. Score	Neg. Score	Interval S	State
515	SPLITIC	400	10	410	L
1179	Volcanogenic-Mn	150	0	150	L
1196	Kuroko Massive sulfide	150	0	150	L
932	BRAUNITE	60	5	65	L
1009	HAUSMONNITE	60	5	65	L
1080	RHODOCHROSITE	60	30	90	L
93	TUFF	45	10	55	R
164	CHERT	30	5	35	R?
832	Ba	30	10	40	L
837	Cu	30	10	40	L
975	CRYPTOMELANE	30	5	35	L
1074	PYROLUSITE	30	5	35	L
1116	TODOROKITE	30	5	35	L
9	VOLCANO SEDIMENTARY SEQUENCE	25	25	50	R
267	EXTENTIONAL REGIME	15	0	15	R
268	RIFT SYSTEM	15	0	15	R
272	OCEANIC RIFT SYSTEM	15	0	15	R
273	MARGINAL OCEANIC RIFT SYSTEM	15	0	15	R
274	INTRA OCEANIC RIFT SYSTEM	15	0	15	R
290	NORMAL FAULT	15	0	15	R
314	OCEANIC BASIN	15	0	15	R
315	RIFTED BASIN (RIDGE)	15	0	15	R
418	GEOTHERMAL ACTIVITY	15	0	15	L?
423	FAULTED STRUCTURE	15	0	15	L
424	NORMAL FAULT STRUCTURE	15	0	15	L
544	CARBONATES	15	0	15	L
554	MONTMORILLONITE	15	0	15	L
559	DOLOMITE	15	0	15	L
583	PYROPHILITIC	15	0	15	L
605	SURFACE AND NEAR SURFACE OXIDA	15	0	15	L
614	CHEMICAL SECONDARY ENRICHMENT	15	0	15	L
616	OXIDIZING LEACHING	15	0	15	L
656	TODOROKITE STAINS	15	0	15	L
657	PYROLUSITE STAINS	15	0	15	L
679	PYROLUSITE	15	0	15	L
744	DESIMINATED	15	0	15	L
745	MASSIVE	15	0	15	L
768	CLUSTER	15	0	15	L
785	COLLOFORM	15	0	15	L
796	MASSIVE	15	0	15	L

SAB21

No	Type	Positive Score		Negative Score		Overall Score	
		W	%P	W	%P	W	%P
79	Warm-Current Phosphate	290	28.4	145	36.3	145	14.2
70	Bedded Barite	330	24.0	170	38.6	160	11.6
61	Disseminated Sb	695	28.4	415	54.6	280	11.5
60	Simple Sb	680	29.6	450	60.0	230	10.0
85	Lateritic Ni	455	29.9	325	58.0	130	8.6
12	Limassol Co-Ni	400	22.3	325	38.5	75	4.2
59	Silica Carbonate Hg	440	23.9	375	59.5	65	3.5
45	Volcanogenic-Mn	355	18.0	285	85.1	70	3.5
26	Porphyry-skarn-Cu	500	18.1	415	64.3	85	3.1
11	Podiform Chromite	205	16.8	180	48.0	25	2.0

SAB21-1Y

####	Warm-Current Phosphate	Pos. Score	Neg. Score	Interval S	State
246	CRETACEOUS	100	0	100	YES R
247	TERTIARY	100	0	100	YES R
266	UNSTABLE CONDITION	15	0	15	YES R
267	EXTENTIONAL REGIME	15	0	15	YES R
289	FAULT SYSTEM	15	0	15	YES R
422	FOLDED STRUCTURE	15	0	15	YES L
423	FAULTED STRUCTURE	15	0	15	YES L
440	MARIN SEDIMENTARY ENVIRONMENT	15	0	15	YES L
Total		290	0	290	

SAB21-1N

####	Warm-Current Phosphate	Pos. Score	Neg. Score	Interval S	State
1213	Warm-Current Phosphate	150	0	150	L
142	PHOSPHATIC SANDSTONE	75	10	85	R
153	PHOSPHATIC LIMESTONE	75	10	85	R
991	FLUOR-APATITE	60	75	135	L
11	MARINE SEQUENCE	50	50	100	R
164	CHERT	30	10	40	R?
15	EUGEOYNCLINE SEQUENCE	15	0	15	R
278	GRABEN STRUCTURE	15	0	15	R
286	DOMING	15	0	15	R
323	PASSIVE CONTINENTAL MARGINE-SH	15	0	15	R
425	WHOLE GRABEN STRUCTURE	15	0	15	L
444	SHELF SEDIMENTARY ENVIRONMENT	15	0	15	L
605	SURFACE AND NEAR SURFACE OXIDA	15	0	15	L
620	WEATHERING PRODUCTS EXIST	15	0	15	L
664	GOETHITE	15	0	15	L
732	SEDIMENTARY TEXTURES	15	0	15	L?
766	MATRIX	15	0	15	L
767	PELLETS	15	0	15	L
Total		620	155	775	

SAB22

No	Type	Positive Score		Negative Score		Overall Score	
		W	%P	W	%P	W	%P
59	Silica Carbonate Hg	770	41.8	370	58.7	400	21.7
47	Hot Spring Au-Ag	770	31.8	375	53.6	395	16.3
81	Low-Sulfide Au-Quartz	675	25.8	355	54.6	320	12.2
61	Disseminated Sb	705	28.8	415	54.6	290	11.9
60	Simple Sb	690	30.1	420	56.0	270	11.8
45	Volcanogenic-Mn	355	18.0	165	49.3	190	9.6
38	Porphyry-Mo, Low-F	735	18.3	545	82.6	190	4.7
57	Hot spring Hg	315	19.4	250	51.0	65	4.0
58	Almaden Hg	255	22.3	220	50.6	35	3.1
26	Porphyry-skarn-Cu	425	15.4	415	64.3	10	0.4

SAB22-1Y

####	Silica Carbonate Hg	Pos. Score	Neg. Score	Interval S	State
516	SILICIFICATION PROCESSES	400	10	410	YES L
247	TERTIARY	100	0	100	YES R
206	SERPENTINITE	60	60	120	YES R
847	Hg	60	75	135	YES L
870	Sb	45	30	75	YES L
1072	PYRITE	30	75	105	YES L
266	UNSTABLE CONDITION	15	0	15	YES R
279	COMPRESSIVE REGIME	15	0	15	YES R
431	DEFORMED STRUCTURE	15	0	15	YES L
434	LOW GRADE METAMORPHISM	15	0	15	YES L
437	REGIONAL METAMORPHISM	15	0	15	YES L
Total		770	250	1020	

SAB22-1N

####	Silica Carbonate Hg	Pos. Score	Neg. Score	Interval S	State
1193	Silica Carbonate Hg	150	0	150	L
1194	Simple Sb	150	0	150	L
1046	NATIVES MERCURY	75	75	150	L
959	CINNABAR	60	75	135	L
132	SILTSTONE	45	10	55	R
137	GRAYWACKE	45	10	55	R
1103	STIBNITE	45	30	75	L
293	TRUST FAULT	30	0	30	R
294	SUBDUCTION RELATED TRUST FAULT	30	0	30	R
837	Cu	30	10	40	L
886	Zn	30	10	40	L
928	BORNITE	30	10	40	L
947	CHALCOPYRITE	30	30	60	L
996	GALENA	30	30	60	L
1097	SPHALERITE	30	30	60	L
3	MAFIC PLUTONIC SEQUENCE	25	25	50	R
10	SEDIMENTARY SEQUENCE	25	25	50	R
289	FAULT SYSTEM	15	0	15	R
298	FRACTURE SYSTEM	15	0	15	R
333	CONVERGENT PLATE BOUNDARY	15	0	15	R
337	OCEANIC-CONTINENTAL OBDUCTION	15	0	15	R
423	FAULTED STRUCTURE	15	0	15	L
427	TRUST FAULT STRUCTURE	15	0	15	L
546	DOLOMITE	15	0	15	L?
559	DOLOMITE	15	0	15	L
584	QUARTZ	15	0	15	L
792	STRINGER	15	0	15	L
821	REGULAR VIEN	15	0	15	L
826	VEIN LETS	15	0	15	L
Total		1040	370	1410	

SAB22-2Y

####	Hot Spring Au-Ag	Pos. Score	Neg. Score	Interval S	State
516	SILICIFICATION PROCESSES	400	10	410	YES L
247	TERTIARY	100	0	100	YES R
828	As	45	75	120	YES L
829	Ag	45	75	120	YES L
870	Sb	45	30	75	YES L
847	Hg	30	30	60	YES L
1072	PYRITE	30	75	105	YES L
266	UNSTABLE CONDITION	15	0	15	YES R
334	OCEANIC-OCEANIC SUBDUCTION	15	0	15	YES R
350	ARC RELATED MAGMATISM	15	0	15	YES R
715	INEQUIGRANULAR TEXTURES	15	0	15	YES L
717	PORPHYRY	15	0	15	YES L
Total		770	295	1065	

SAB22-2N

####	Hot Spring Au-Ag	Pos. Score	Neg. Score	Interval S	State
1181	Hot Spring Au-Ag	150	0	150	L
1185	Epithermal Quartz-Alunite Au	150	0	150	L
1191	Hot spring Hg	150	0	150	L
1223	Placer Au-PGE	150	0	150	L
255	QUATERNARY	100	0	100	R
88	RHYOLITE	75	75	150	R
830	Au	45	75	120	L
1045	NATIVES GOLD	45	75	120	L
1079	REALGAR	45	30	75	L
1103	STIBNITE	45	10	55	L
916	ARSENOPYRITE	30	10	40	L
947	CHALCOPYRITE	30	10	40	L
992	FLUORITE	30	10	40	L
1097	SPHALERITE	30	30	60	L
7	FELSIC PLUTONIC SEQUENCE	25	25	50	R
8	FELSIC VOLCANIC SEQUENCE	25	25	50	R
267	EXTENTIONAL REGIME	15	0	15	R
268	RIFT SYSTEM	15	0	15	R
270	MARGINAL CONTINENTAL RIFT SYST	15	0	15	R
296	TRANSFORM FAULT	15	0	15	R
318	ACTIVE CONTINENTAL MARGINE	15	0	15	R
336	OCEANIC-CONTINENTAL SUBDUCTION	15	0	15	R
345	RIFT RELATED MAGMATISM	15	0	15	R
348	SUBDUCTION RELATED MAGMATISM	15	0	15	R
394	CENTRAL SUBAERIAL RHYOLITIC	15	0	15	L
395	CENTRAL SUBAREAL RHYOLITIC FLO	15	0	15	L
418	GEOTHERMAL ACTIVITY	15	0	15	L?
419	VOLCANIC RELATED GEOTHERMAL AC	15	0	15	L
421	SHALLOW INTRUSIVE RELATED GEOT	15	0	15	L
423	FAULTED STRUCTURE	15	0	15	L
424	NORMAL FAULT STRUCTURE	15	0	15	L
429	NEAR SURFACE FRACTURES	15	0	15	L
526	ADULARIA	15	0	15	L
530	MICROCLINE	15	0	15	L
541	BIOTITE	15	0	15	L
544	CARBONATES	15	0	15	L
575	LEPIDOLITE	15	0	15	L
580	PLAGIOLASSE	15	0	15	L
583	PYROPHILITIC	15	0	15	L
605	SURFACE AND NEAR SURFACE OXIDA	15	0	15	L
608	LATERITIZATION	15	0	15	L
616	OXIDIZING LEACHING	15	0	15	L
623	HEMATITE GOSSAN	15	0	15	L
624	LIMONITE GOSSAN	15	0	15	L
648	JAROSITE IN BLEACHED COUNTRY R	15	0	15	L
649	ALUNITE IN BLEACHED COUNTRY RO	15	0	15	L
650	GOETHITE IN BLEACHED COUNTRY R	15	0	15	L
651	LIMONITE IN BLEACHED COUNTRY R	15	0	15	L
652	HEMATITE IN BLEACHED COUNTRY R	15	0	15	L
664	GOETHITE	15	0	15	L
665	LIMONITE	15	0	15	L
683	ALUNITE	15	0	15	L
750	BRECCIA FILLINGS	15	0	15	L
762	BRECCIA	15	0	15	L
791	STOCKWORK	15	0	15	L
821	REGULAR VIEN	15	0	15	L
	Total	1725	375	2100	

SAB22-3Y

####	Low-Sulfide Au-Quartz	Pos. Score	Neg. Score	Interval S	State
516	SILICIFICATION PROCESSES	400	10	410	YES L
828	As	60	75	135	YES L
829	Ag	60	75	135	YES L
1072	PYRITE	60	75	135	YES L
17	LOW GRADE METAMORPHIC SEQUENCE	50	50	100	YES R
266	UNSTABLE CONDITION	15	0	15	YES R
279	COMPRESSATIONAL REGIME	15	0	15	YES R
434	LOW GRADE METAMORPHISM	15	0	15	YES L
	Total	675	285	960	

SAB22-3N

####	Low-Sulfide Au-Quartz	Pos. Score	Neg. Score	Interval S	State
544	CARBONATES	200	20	220	L
1196	Kuroko Massive sulfide	150	0	150	L
1215	Low-Sulfide Au-Quartz	150	0	150	L
1216	Homestake Au	150	0	150	L
1223	Placer Au-PGE	150	0	150	L
487	EARLY ALBITIZATION	100	10	110	L
207	METASEDIMENTARY ROCKS	75	10	85	R
227	GREEN STONE	75	75	150	R
1045	NATIVES GOLD	75	75	150	L
137	GRAYWACKE	60	10	70	R
217	MAFIC METAVOLCANIC	60	10	70	R
830	Au	60	75	135	L
863	Pb	45	30	75	L
916	ARSENOPYRITE	45	10	55	L
947	CHALCOPYRITE	45	10	55	L
996	GALENA	45	10	55	L
229	ANY AGE	40	0	40	R?
164	CHERT	30	5	35	R?
886	Zn	30	10	40	L
1077	PYRRHOTITE	30	0	30	L
281	ACCRETED MARGINE	15	0	15	R
289	FAULT SYSTEM	15	0	15	R
290	NORMAL FAULT	15	0	15	R
298	FRACTURE SYSTEM	15	0	15	R
318	ACTIVE CONTINENTAL MARGINE	15	0	15	R
423	FAULTED STRUCTURE	15	0	15	L
424	NORMAL FAULT STRUCTURE	15	0	15	L
528	ALBITE	15	0	15	L
546	DOLOMITE	15	0	15	L?
559	DOLOMITE	15	0	15	L
584	QUARTZ	15	0	15	L
588	SERICITE	15	0	15	L
594	TALC	15	0	15	L?
611	MECHANICAL ENRICHMENT	15	0	15	L
612	RESIDUAL MECHANICAL ENRICHMENT	15	0	15	L
634	QUARTZ CHIPS IN RESIDUAL SOIL	15	0	15	L
643	Au ENRICHMENT IN SOIL	15	0	15	L
744	DESIMINATED	15	0	15	L
821	REGULAR VIEN	15	0	15	L
822	IRREGULAR VIEN	15	0	15	L
826	VEIN LETS	15	0	15	L
	Total	1930	360	2290	

SAB23

No	Type	Positive Score		Negative Score		Overall Score	
		W	%P	W	%P	W	%P
81	Low-Sulfide Au-Quartz	700	26.7	255	39.2	445	17.0
47	Hot Spring Au-Ag	655	27.0	285	40.7	370	15.3
45	Volcanogenic-Mn	410	20.8	140	41.8	270	13.7
38	Porphyry-Mo, Low-F	710	17.6	540	81.8	170	4.2
84	Flat Faults Au	455	28.9	395	59.8	60	3.8
36	Porphyry-Cu-Au	520	24.5	480	61.1	40	1.9
79	Warm-Current Phosphate	160	15.7	145	36.3	15	1.5
59	Silica Carbonate Hg	550	29.9	535	84.9	15	0.8
89	Placer Au-PGE	210	10.5	195	34.5	15	0.8
88	Lateritic-Saprolite Au	150	10.9	140	37.3	10	0.7

SAB23-1Y

####	Low-Sulfide Au-Quartz	Pos. Score	Neg. Score	Interval S	State
516	SILICIFICATION PROCESSES	400	10	410	YES L
1045	NATIVES GOLD	75	75	150	YES L
830	Au	60	75	135	YES L
1072	PYRITE	60	75	135	YES L
266	UNSTABLE CONDITION	15	0	15	YES R
279	COMPRESSORIAL REGIME	15	0	15	YES R
289	FAULT SYSTEM	15	0	15	YES R
290	NORMAL FAULT	15	0	15	YES R
298	FRACTURE SYSTEM	15	0	15	YES R
423	FAULTED STRUCTURE	15	0	15	YES L
584	QUARTZ	15	0	15	YES L
Total		700	235	935	

SAB23-1N

####	Low-Sulfide Au-Quartz	Pos. Score	Neg. Score	Interval S	State
544	CARBONATES	200	20	220	L
1196	Kuroko Massive sulfide	150	0	150	L
1215	Low-Sulfide Au-Quartz	150	0	150	L
1216	Homestake Au	150	0	150	L
1223	Placer Au-PGE	150	0	150	L
487	EARLY ALBITIZATION	100	10	110	L
207	METASEDIMENTARY ROCKS	75	10	85	R
227	GREEN STONE	75	75	150	R
137	GRAYWACKE	60	10	70	R
217	MAFIC METAVOLCANIC	60	10	70	R
17	LOW GRADE METAMORPHIC SEQUENCE	50	50	100	R
863	Pb	45	30	75	L
916	ARSENOPYRITE	45	10	55	L
947	CHALCOPYRITE	45	10	55	L
996	GALENA	45	10	55	L
229	ANY AGE	40	0	40	R?
164	CHERT	30	5	35	R?
886	Zn	30	10	40	L
1077	PYRRHOTITE	30	0	30	L
281	ACCRETED MARGINE	15	0	15	R
318	ACTIVE CONTINENTAL MARGINE	15	0	15	R
424	NORMAL FAULT STRUCTURE	15	0	15	L
434	LOW GRADE METAMORPHISM	15	0	15	L
528	ALBITE	15	0	15	L
546	DOLOMITE	15	0	15	L?
559	DOLOMITE	15	0	15	L
588	SERICITE	15	0	15	L
594	TALC	15	0	15	L?
611	MECHANICAL ENRICHMENT	15	0	15	L
612	RESIDUAL MECHANICAL ENRICHMENT	15	0	15	L
634	QUARTZ CHIPS IN RESIDUAL SOIL	15	0	15	L
643	Au ENRICHMENT IN SOIL	15	0	15	L
744	DESIMINATED	15	0	15	L
821	REGULAR VIEN	15	0	15	L
822	IRREGULAR VIEN	15	0	15	L
826	VEIN LETS	15	0	15	L
Total		1785	260	2045	

SAB23-2Y

####	Hot Spring Au-Ag	Pos. Score	Neg. Score	Interval S	State
516	SILICIFICATION PROCESSES	400	10	410	YES L
830	Au	45	75	120	YES L
1045	NATIVES GOLD	45	75	120	YES L
1072	PYRITE	30	75	105	YES L
266	UNSTABLE CONDITION	15	0	15	YES R
334	OCEANIC-OCEANIC SUBDUCTION	15	0	15	YES R
350	ARC RELATED MAGMATISM	15	0	15	YES R
423	FAULTED STRUCTURE	15	0	15	YES L
429	NEAR SURFACE FRACTURES	15	0	15	YES L
650	GOETHITE IN BLEACHED COUNTRY R	15	0	15	YES L
651	LIMONITE IN BLEACHED COUNTRY R	15	0	15	YES L
715	INEQUIGRANULAR TEXTURES	15	0	15	YES L
717	PORPHYRY	15	0	15	YES L
Total		655	235	890	

SAB23-2N

####	Hot Spring Au-Ag	Pos. Score	Neg. Score	Interval S	State
1181	Hot Spring Au-Ag	150	0	150	L
1185	Epithermal Quartz-Alunite Au	150	0	150	L
1191	Hot spring Hg	150	0	150	L
1223	Placer Au-PGE	150	0	150	L
247	TERTIARY	100	0	100	R
255	QUATERNARY	100	0	100	R
88	RHYOLITE	75	75	150	R
870	Sb	45	30	75	L
1079	REALGAR	45	30	75	L
1103	STIBNITE	45	10	55	L
847	Hg	30	30	60	L
916	ARSENOPYRITE	30	10	40	L
947	CHALCOPYRITE	30	10	40	L
992	FLUORITE	30	10	40	L
1097	SPHALERITE	30	30	60	L
7	FELSIC PLUTONIC SEQUENCE	25	25	50	R
8	FELSIC VOLCANIC SEQUENCE	25	25	50	R
267	EXTENTIONAL REGIME	15	0	15	R
268	RIFT SYSTEM	15	0	15	R
270	MARGINAL CONTINENTAL RIFT SYST	15	0	15	R
296	TRANSFORM FAULT	15	0	15	R
318	ACTIVE CONTINENTAL MARGINE	15	0	15	R
336	OCEANIC-CONTINENTAL SUBDUCTION	15	0	15	R
345	RIFT RELATED MAGMATISM	15	0	15	R
348	SUBDUCTION RELATED MAGMATISM	15	0	15	R
394	CENTRAL SUBAERIAL RHYOLITIC	15	0	15	L
395	CENTRAL SUBAREAL RHYOLITIC FLO	15	0	15	L
418	GEOTHERMAL ACTIVITY	15	0	15	L?
419	VOLCANIC RELATED GEOTHERMAL AC	15	0	15	L
421	SHALLOW INTRUSIVE RELATED GEOT	15	0	15	L
424	NORMAL FAULT STRUCTURE	15	0	15	L
526	ADULARIA	15	0	15	L
530	MICROCLINE	15	0	15	L
541	BIOTITE	15	0	15	L
544	CARBONATES	15	0	15	L
575	LEPIDOLITE	15	0	15	L
580	PLAGIOCLASE	15	0	15	L
583	PYROPHILITIC	15	0	15	L
605	SURFACE AND NEAR SURFACE OXIDA	15	0	15	L
608	LATERITIZATION	15	0	15	L
616	OXIDIZING LEACHING	15	0	15	L
623	HEMATITE GOSSAN	15	0	15	L
624	LIMONITE GOSSAN	15	0	15	L
648	JAROSITE IN BLEACHED COUNTRY R	15	0	15	L
649	ALUNITE IN BLEACHED COUNTRY RO	15	0	15	L
652	HEMATITE IN BLEACHED COUNTRY R	15	0	15	L
664	GOETHITE	15	0	15	L
665	LIMONITE	15	0	15	L
683	ALUNITE	15	0	15	L
750	BRECCIA FILLINGS	15	0	15	L
762	BRECCIA	15	0	15	L
791	STOCKWORK	15	0	15	L
821	REGULAR VIEN	15	0	15	L
	Total	1750	285	2035	

SAB24

No	Type	Positive Score		Negative Score		Overall Score	
		W	%P	W	%P	W	%P
57	Hot spring Hg	375	23.1	275	56.1	100	6.2
79	Warm-Current Phosphate	160	15.7	145	36.3	15	1.5
45	Volcanogenic-Mn	305	15.4	280	83.6	25	1.3

SAB24-1Y

####	Hot spring Hg	Pos. Score	Neg. Score	Interval S	State
247	TERTIARY	100	0	100	YES R
74	VOLCANIC MAFIC BODY	45	5	50	YES R
828	As	45	75	120	YES L
870	Sb	45	75	120	YES L
4	MAFIC VOLCANIC SEQUENCE	25	25	50	YES R
6	INTERMEDIATE VOLCANIC SEQUENCE	25	25	50	YES R
266	UNSTABLE CONDITION	15	0	15	YES R
289	FAULT SYSTEM	15	0	15	YES R
290	NORMAL FAULT	15	0	15	YES R
298	FRACTURE SYSTEM	15	0	15	YES R
423	FAULTED STRUCTURE	15	0	15	YES L
429	NEAR SURFACE FRACTURES	15	0	15	YES L
Total		375	205	580	

SAB24-1N

####	Hot spring Hg	Pos. Score	Neg. Score	Interval S	State
1181	Hot Spring Au-Ag	150	0	150	L
1191	Hot spring Hg	150	0	150	L
500	KAOLINITIC	100	10	110	L
126	SILICEOUS SHALE	75	75	150	R
959	CINNABAR	75	75	150	L
1046	NATIVES MERCURY	75	10	85	L
847	Hg	65	75	140	L
137	GRAYWACKE	45	5	50	R
93	TUFF	30	5	35	R
95	TUFF-BRECCIA	30	5	35	R
830	Au	30	10	40	L
1032	MARCASITE	30	5	35	L
1103	STIBNITE	30	0	30	L
267	EXTENTIONAL REGIME	15	0	15	R
268	RIFT SYSTEM	15	0	15	R
269	CONTINENTAL RIFT SYSTEM	15	0	15	R
270	MARGINAL CONTINENTAL RIFT SYST	15	0	15	R
277	STEEP NORMAL FAULT	15	0	15	R
291	HIGH ANGLE NORMAL FAULT	15	0	15	R
295	FAULTS INTERSECTIONS	15	0	15	R
301	SHALLOW SEATED	15	0	15	R
345	RIFT RELATED MAGMATISM	15	0	15	R
346	MARGINAL RIFT RELATED MAGMATIC	15	0	15	R
418	GEOTHERMAL ACTIVITY	15	0	15	L?
419	VOLCANIC RELATED GEOTHERMAL AC	15	0	15	L
424	NORMAL FAULT STRUCTURE	15	0	15	L
529	K-FELDSPAR	15	0	15	L
533	ALUNITE (HYPOGENE)	15	0	15	L
547	CHLORITE	15	0	15	L
553	KAOLINITE	15	0	15	L
584	QUARTZ	15	0	15	L
601	ZEOLITE	15	0	15	L
744	DESIMINATED	15	0	15	L
791	STOCKWORK	15	0	15	L
795	FINE GRAINED DESIMINATED	15	0	15	L
Total		1215	275	1490	

SAB26

No	Type	Positive Score		Negative Score		Overall Score	
		W	%P	W	%P	W	%P
45	Volcanogenic-Mn	380	19.2	195	58.2	185	9.4
42	Basaltic Cu	395	23.4	340	63.6	55	3.3

SAB26-1Y

####	Volcanogenic-Mn	Pos. Score	Neg. Score	Interval S	State
233	PHANEROZOIC	100	0	100	YES R
92	VOLCANOCLASTIC BODY	75	75	150	YES R
1029	MAGNETITE	60	5	65	YES L
93	TUFF	45	10	55	YES R
74	VOLCANIC MAFIC BODY	30	10	40	YES R
837	Cu	30	10	40	YES L
4	MAFIC VOLCANIC SEQUENCE	25	25	50	YES R
266	UNSTABLE CONDITION	15	0	15	YES R
Total		380	135	515	

SAB26-1N

####	Volcanogenic-Mn	Pos. Score	Neg. Score	Interval S	State
515	SPLITIC	400	10	410	L
1179	Volcanogenic-Mn	150	0	150	L
1196	Kuroko Massive sulfide	150	0	150	L
853	Mn	60	75	135	L
932	BRAUNITE	60	5	65	L
1009	HAUSMONNITE	60	5	65	L
1080	RHODOCHROSITE	60	30	90	L
87	FELSIC VOLCANIC BODY	30	10	40	R
164	CHERT	30	5	35	R?
832	Ba	30	10	40	L
886	Zn	30	10	40	L
975	CRYPTOMELANE	30	5	35	L
1074	PYROLUSITE	30	5	35	L
1116	TODOROKITE	30	5	35	L
9	VOLCANO SEDIMENTARY SEQUENCE	25	25	50	R
267	EXTENTIONAL REGIME	15	0	15	R
268	RIFT SYSTEM	15	0	15	R
272	OCEANIC RIFT SYSTEM	15	0	15	R
273	MARGINAL OCEANIC RIFT SYSTEM	15	0	15	R
274	INTRA OCEANIC RIFT SYSTEM	15	0	15	R
290	NORMAL FAULT	15	0	15	R
314	OCEANIC BASIN	15	0	15	R
315	RIFTED BASIN (RIDGE)	15	0	15	R
327	OCEANIC PLATE MARGINE-ARC	15	0	15	R
418	GEOTHERMAL ACTIVITY	15	0	15	L?
423	FAULTED STRUCTURE	15	0	15	L
424	NORMAL FAULT STRUCTURE	15	0	15	L
544	CARBONATES	15	0	15	L
554	MONTMORILLONITE	15	0	15	L
559	DOLOMITE	15	0	15	L
583	PYROPHILITIC	15	0	15	L
605	SURFACE AND NEAR SURFACE OXIDA	15	0	15	L
614	CHEMICAL SECONDARY ENRICHMENT	15	0	15	L
616	OXIDIZING LEACHING	15	0	15	L
655	Mn-OXIDES STAINS	15	0	15	L
656	TODOROKITE STAINS	15	0	15	L
657	PYROLUSITE STAINS	15	0	15	L
679	PYROLUSITE	15	0	15	L
744	DESIMINATED	15	0	15	L
745	MASSIVE	15	0	15	L
768	CLUSTER	15	0	15	L
785	COLLOFORM	15	0	15	L
796	MASSIVE	15	0	15	L
Total		1595	200	1795	

SAB27

No	Type	Positive Score		Negative Score		Overall Score	
		W	%P	W	%P	W	%P
89	Placer Au-PGE	565	28.3	225	39.8	340	17.0
90	Placer PGE-Au	655	37.0	420	57.5	235	13.3
88	Lateritic-Saprolite Au	225	16.4	175	46.7	50	3.6

SAB27-1Y

####	Placer Au-PGE	Pos. Score	Neg. Score	Interval S	State
255	QUATERNARY	100	0	100	YES R
135	SAND	75	75	150	YES R
830	Au	60	75	135	YES L
1045	NATIVES GOLD	60	75	135	YES L
466	LOW WEATHERING/EROSION RATIO	30	0	30	YES L
630	MAGNETITE IN RESIDUAL SOIL	30	0	30	YES L
638	NATIVE GOLD IN PLACERS	30	0	30	YES L
736	COARSE GRAINE CLASTIC	30	0	30	YES L
1015	ILMENITE	30	30	60	YES L
1029	MAGNETITE	30	75	105	YES L
306	CONTINENTAL	15	0	15	YES R
453	FLUVIAL FAN ENVIRONMENT	15	0	15	YES L
456	ALLUVIAL FAN ENVIRONMENT	15	0	15	YES L
467	STREAM PLACERS ENVIRONMENT	15	0	15	YES L
735	MEDIUM GRAINE CLASTIC	15	0	15	YES L
737	VERY COARSE GRAINE CLASTIC	15	0	15	YES L
Total		565	330	895	

SAB27-1N

####	Placer Au-PGE	Pos. Score	Neg. Score	Interval S	State
1159	Porphyry-Cu	150	0	150	L
1161	Skarn-Cu	150	0	150	L
1165	Polymetallic-Replacement	150	0	150	L
1215	Low-Sulfide Au-Quartz	150	0	150	L
1223	Placer Au-PGE	150	0	150	L
247	TERTIARY	100	0	100	R
145	CONGLOMERATE	75	5	80	R
136	SANDSTONE	60	5	65	R
635	FLOUR GOLD IN PLACERS	30	0	30	L
744	DESIMINATED	30	0	30	L
812	BEDDED	30	0	30	L
828	As	30	30	60	L
829	Ag	30	75	105	L
837	Cu	30	10	40	L
844	Fe	30	30	60	L
847	Hg	30	10	40	L
870	Sb	30	10	40	L
5	INTERMEDIATE PLUTONIC SEQUENCE	25	25	50	R
7	FELSIC PLUTONIC SEQUENCE	25	25	50	R
259	CRATONIC	15	0	15	R
289	FAULT SYSTEM	15	0	15	R
291	HIGH ANGLE NORMAL FAULT	15	0	15	R
423	FAULTED STRUCTURE	15	0	15	L
450	OXIC CONTINENTAL ENVIRONMENT	15	0	15	L
454	HIGH ENERGY FLUVIAL FAN ENVIRO	15	0	15	L
457	HIGH ENERGY ALLUVIAL FAN ENVIR	15	0	15	L
637	NATIVE PGE IN PLACERS	15	0	15	L
756	NODULAR	15	0	15	L
793	SPARSELY DESIMINATED	15	0	15	L
795	FINE GRAINED DESIMINATED	15	0	15	L
809	CONCORDANT LAYERED	15	0	15	L
811	INTERLAYERED	15	0	15	L
Total		1500	225	1725	

SAB27-2Y

####	Placer PGE-Au	Pos.Score	Neg.Score	Interval S	State
255	QUATERNARY	100	0	100	YES R
135	SAND	75	75	150	YES R
830	Au	60	30	90	YES L
1045	NATIVES GOLD	60	75	135	YES L
630	MAGNETITE IN RESIDUAL SOIL	30	0	30	YES L
736	COARSE GRAINE CLASTIC	30	0	30	YES L
956	CHROMITE	30	30	60	YES L
1015	ILMENITE	30	30	60	YES L
1029	MAGNETITE	30	75	105	YES L
17	LOW GRADE METAMORPHIC SEQUENCE	15	15	30	YES R
279	COMPRESSATIONAL REGIME	15	0	15	YES R
306	CONTINENTAL	15	0	15	YES R
434	LOW GRADE METAMORPHISM	15	0	15	YES L
453	FLUVIAL FAN ENVIRONMENT	15	0	15	YES L
455	LOW ENERGY FLUVIAL FAN ENVIRON	15	0	15	YES L
456	ALLUVIAL FAN ENVIRONMENT	15	0	15	YES L
458	LOW ENERGY ALLUVIAL FAN ENVIRO	15	0	15	YES L
462	LOW GRADIENT STREAM SYSTEM	15	0	15	YES L
466	LOW WEATHERING/EROSION RATIO	15	0	15	YES L
467	STREAM PLACERS ENVIRONMENT	15	0	15	YES L
638	NATIVE GOLD IN PLACERS	15	0	15	YES L
735	MEDIUM GRAINE CLASTIC	15	0	15	YES L
737	VERY COARSE GRAINE CLASTIC	15	0	15	YES L
Total		655	330	985	

####	Placer PGE-Au	Pos. Score	Neg. Score	Interval S	State
1148	Alaskan-PGE	150	0	150	L
1224	Placer PGE-Au	150	0	150	L
132	SILTSTONE	100	100	200	R
247	TERTIARY	100	0	100	R
145	CONGLOMERATE	75	5	80	R
1061	PGE MINERALS	60	75	135	L
3	MAFIC PLUTONIC SEQUENCE	50	50	100	R
635	FLOUR GOLD IN PLACERS	30	0	30	L
637	NATIVE PGE IN PLACERS	30	0	30	L
744	DESIMINATED	30	0	30	L
828	As	30	30	60	L
829	Ag	30	30	60	L
835	Cr	30	75	105	L
837	Cu	30	10	40	L
844	Fe	30	30	60	L
847	Hg	30	10	40	L
870	Sb	30	5	35	L
281	ACCRETED MARGINE	15	0	15	R
289	FAULT SYSTEM	15	0	15	R
291	HIGH ANGLE NORMAL FAULT	15	0	15	R
317	CONTINENTAL PLATE MARGINE	15	0	15	R
423	FAULTED STRUCTURE	15	0	15	L
445	NEAR SHORE SEDIMENTARY ENVIRON	15	0	15	L
449	CONTINENTAL SEDIMENTARY ENVIRO	15	0	15	L?
464	DESERT EOLIAN ENVIRONMENT	15	0	15	L
756	NODULAR	15	0	15	L
793	SPARSELY DESIMINATED	15	0	15	L
795	FINE GRAINED DESIMINATED	15	0	15	L
809	CONCORDANT LAYERED	15	0	15	L
811	INTERLAYERED	15	0	15	L
812	BEDDED	15	0	15	L
Total		1195	420	1615	

SAB28

No	Type	Positive Score		Negative Score		Overall Score	
		W	%P	W	%P	W	%P
89	Placer Au-PGE	445	22.3	355	62.8	90	4.5
45	Volcanogenic-Mn	220	11.1	215	64.2	5	0.3

1165 Polymetallic Replaces 0

1215 Cu-Sulfide 0-100%

SAB28-1Y

###	Placer Au-PGE	Pos. Score	Neg. Score	Interval S	State
255	QUATERNARY	100	0	100	YES R
135	SAND VES GOLD	75	75	150	YES R
466	LOW WEATHERING/EROSION RATIO	30	0	30	YES L
736	COARSE GRAINE CLASTIC	30	0	30	YES L
844	FeATIVE GOLD IN PLACERS	30	30	60	YES L
1015	ILMENITE	30	30	60	YES L
1029	MAGNETITE	30	75	105	YES L
289	FAULT SYSTEM	15	0	15	YES R
423	FAULTED STRUCTURE	15	0	15	YES L
453	FLUVIAL FAN ENVIRONMENT	15	0	15	YES L
454	HIGH ENERGY FLUVIAL FAN ENVIRO	15	0	15	YES L
456	ALLUVIAL FAN ENVIRONMENT	15	0	15	YES L
467	STREAM PLACERS ENVIRONMENT	15	0	15	YES L
735	MEDIUM GRAINE CLASTIC	15	0	15	YES L
737	VERY COARSE GRAINE CLASTIC	15	0	15	YES L
291	Total VORTEX FAULT	445	210	655	
306	CONTINENTAL				

457	HIGH ENERGY ALLUVIAL FAN ENV	15
637	NATIVE PGE IN PLACERS	15
756	INDULAR	15
793	SPARSELY DESIMINATED	15
793	FINE GRAINED DESIMINATED	15
809	CONCORDANT LAYRES	15
911	INTERLAYERED	15

Total 1650

SAB29

No	Type	Positive Score		Negative Score		Overall Score	
		W	%P	W	%P	W	%P
47	Hot Spring Au-Ag	720	29.7	515	73.6	205	8.5
38	Porphyry-Mo, Low-F	825	20.5	525	79.5	300	7.5
59	Silica Carbonate Hg	650	35.3	545	86.5	105	5.7
81	Low-Sulfide Au-Quartz	610	23.3	485	74.6	125	4.8
45	Volcanogenic-Mn	335	17.0	270	80.6	65	3.3
61	Disseminated Sb	580	23.7	565	74.3	15	0.6
52	Volcanogenic U	715	23.6	710	69.3	5	0.2

SAB29-1Y

####	Hot Spring Au-Ag	Pos. Score	Neg. Score	Interval S	State
516	SILICIFICATION PROCESSES	400	10	410	YES L
247	TERTIARY	100	0	100	YES R
828	As	45	75	120	YES L
1072	PYRITE	30	75	105	YES L
8	FELSIC VOLCANIC SEQUENCE	25	25	50	YES R
266	UNSTABLE CONDITION	15	0	15	YES R
267	EXTENTIONAL REGIME	15	0	15	YES R
318	ACTIVE CONTINENTAL MARGINE	15	0	15	YES R
334	OCEANIC-OCEANIC SUBDUCTION	15	0	15	YES R
350	ARC RELATED MAGMATISM	15	0	15	YES R
423	FAULTED STRUCTURE	15	0	15	YES L
715	INEQUIGRANULAR TEXTURES	15	0	15	YES L
717	PORPHYRY	15	0	15	YES L
Total		720	185	905	

SAB29-1N

####	Hot Spring Au-Ag	Pos.Score	Neg.Score	Interval S	State
1181	Hot Spring Au-Ag	150	0	150	L
1185	Epithermal Quartz-Alunite Au	150	0	150	L
1191	Hot spring Hg	150	0	150	L
1223	Placer Au-PGE	150	0	150	L
255	QUATERNARY	100	0	100	R
88	RHYOLITE	75	75	150	R
829	Ag	45	75	120	L
830	Au	45	75	120	L
870	Sb	45	30	75	L
1045	NATIVES GOLD	45	75	120	L
1079	REALGAR	45	30	75	L
1103	STIBNITE	45	10	55	L
847	Hg	30	30	60	L
875	Ta	30	30	60	L
916	ARSENOPYRITE	30	10	40	L
947	CHALCOPYRITE	30	10	40	L
992	FLUORITE	30	10	40	L
1097	SPHALERITE	30	30	60	L
7	FELSIC PLUTONIC SEQUENCE	25	25	50	R
268	RIFT SYSTEM	15	0	15	R
270	MARGINAL CONTINENTAL RIFT SYST	15	0	15	R
296	TRANSFORM FAULT	15	0	15	R
336	OCEANIC-CONTINENTAL SUBDUCTION	15	0	15	R
345	RIFT RELATED MAGMATISM	15	0	15	R
348	SUBDUCTION RELATED MAGMATISM	15	0	15	R
394	CENTRAL SUBAERIAL RHYOLITIC	15	0	15	L
395	CENTRAL SUBAREAL RHYOLITIC FLO	15	0	15	L
418	GEOTHERMAL ACTIVITY	15	0	15	L?
419	VOLCANIC RELATED GEOTHERMAL AC	15	0	15	L
421	SHALLOW INTRUSIVE RELATED GEOT	15	0	15	L
424	NORMAL FAULT STRUCTURE	15	0	15	L
429	NEAR SURFACE FRACTURES	15	0	15	L
526	ADULARIA	15	0	15	L
530	MICROCLINE	15	0	15	L
541	BIOTITE	15	0	15	L
544	CARBONATES	15	0	15	L
575	LEPIDOLITE	15	0	15	L
580	PLAGIOLCLASE	15	0	15	L
583	PYROPHILITIC	15	0	15	L
605	SURFACE AND NEAR SURFACE OXIDA	15	0	15	L
608	LATERITIZATION	15	0	15	L
616	OXIDIZING LEACHING	15	0	15	L
623	HEMATITE GOSSAN	15	0	15	L
624	LIMONITE GOSSAN	15	0	15	L
648	JAROSITE IN BLEACHED COUNTRY R	15	0	15	L
649	ALUNITE IN BLEACHED COUNTRY RO	15	0	15	L
650	GOETHITE IN BLEACHED COUNTRY R	15	0	15	L
651	LIMONITE IN BLEACHED COUNTRY R	15	0	15	L
652	HEMATITE IN BLEACHED COUNTRY R	15	0	15	L
664	GOETHITE	15	0	15	L
665	LIMONITE	15	0	15	L
683	ALUNITE	15	0	15	L
750	BRECCIA FILLINGS	15	0	15	L
762	BRECCIA	15	0	15	L
791	STOCKWORK	15	0	15	L
821	REGULAR VIEN	15	0	15	L
	Total	1805	515	2320	

SAB30

No	Type	Positive Score		Negative Score		Overall Score	
		W	%P	W	%P	W	%P
59	Silica Carbonate Hg	665	36.1	375	59.5	290	15.8
38	Porphyry-Mo, Low-F	680	16.9	470	71.2	210	5.2
81	Low-Sulfide Au-Quartz	600	22.9	475	73.1	125	4.8
73	Appalachian Zn	240	17.9	200	41.7	40	3.0
79	Warm-Current Phosphate	110	10.8	95	23.8	15	1.5
47	Hot Spring Au-Ag	580	23.9	555	79.3	25	1.0
60	Simple Sb	545	23.7	530	70.7	15	0.7
61	Disseminated Sb	545	22.3	540	71.1	5	0.2

SAB30-1Y

####	Silica Carbonate Hg	Pos. Score	Neg. Score	Interval S	State
516	SILICIFICATION PROCESSES	400	10	410	YES L
206	SERPENTINITE	60	60	120	YES R
847	Hg	60	75	135	YES L
1072	PYRITE	30	75	105	YES L
10	SEDIMENTARY SEQUENCE	25	25	50	YES R
266	UNSTABLE CONDITION	15	0	15	YES R
279	COMPRESSIVE REGIME	15	0	15	YES R
333	CONVERGENT PLATE BOUNDARY	15	0	15	YES R
431	DEFORMED STRUCTURE	15	0	15	YES L
434	LOW GRADE METAMORPHISM	15	0	15	YES L
437	REGIONAL METAMORPHISM	15	0	15	YES L
Total		665	245	910	

SAB30-1N

####	Silica Carbonate Hg	Pos.Score	Neg.Score	Interval S	State
1193	Silica Carbonate Hg	150	0	150	L
1194	Simple Sb	150	0	150	L
247	TERTIARY	100	0	100	R
1046	NATIVES MERCURY	75	75	150	L
959	CINNABAR	60	75	135	L
132	SILTSTONE	45	10	55	R
137	GRAYWACKE	45	10	55	R
870	Sb	45	30	75	L
1103	STIBNITE	45	30	75	L
293	TRUST FAULT	30	0	30	R
294	SUBDUCTION RELATED TRUST FAULT	30	0	30	R
837	Cu	30	10	40	L
886	Zn	30	10	40	L
928	BORNITE	30	10	40	L
947	CHALCOPYRITE	30	30	60	L
996	GALENA	30	30	60	L
1097	SPHALERITE	30	30	60	L
3	MAFIC PLUTONIC SEQUENCE	25	25	50	R
289	FAULT SYSTEM	15	0	15	R
298	FRACTURE SYSTEM	15	0	15	R
337	OCEANIC-CONTINENTAL OBDUCTION	15	0	15	R
423	FAULTED STRUCTURE	15	0	15	L
427	TRUST FAULT STRUCTURE	15	0	15	L
546	DOLOMITE	15	0	15	L?
559	DOLOMITE	15	0	15	L
584	QUARTZ	15	0	15	L
792	STRINGER	15	0	15	L
821	REGULAR VIEN	15	0	15	L
826	VEIN LETS	15	0	15	L
Total		1145	375	1520	

SAB31

No	Type	Positive Score		Negative Score		Overall Score	
		W	%P	W	%P	W	%P
79	Warm-Current Phosphate	260	25.5	145	36.3	115	11.3
45	Volcanogenic-Mn	350	17.7	200	59.7	150	7.6
26	Porphyry-skarn-Cu	440	15.9	395	61.2	45	1.6

SAB31-1Y

####	Warm-Current Phosphate	Pos. Score	Neg. Score	Interval S	State
246	CRETACEOUS	100	0	100	YES R
247	TERTIARY	100	0	100	YES R
266	UNSTABLE CONDITION	15	0	15	YES R
289	FAULT SYSTEM	15	0	15	YES R
422	FOLDED STRUCTURE	15	0	15	YES L
423	FAULTED STRUCTURE	15	0	15	YES L
	Total	260	0	260	

SAB31-1N

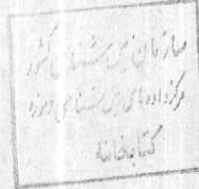
####	Warm-Current Phosphate	Pos. Score	Neg. Score	Interval S	State
1213	Warm-Current Phosphate	150	0	150	L
142	PHOSPHATIC SANDSTONE	75	10	85	R
153	PHOSPHATIC LIMESTONE	75	10	85	R
991	FLUOR-APATITE	60	75	135	L
11	MARINE SEQUENCE	50	50	100	R
164	CHERT	30	10	40	R?
15	EUGEOSYNCLINE SEQUENCE	15	0	15	R
267	EXTENTIONAL REGIME	15	0	15	R
278	GRABEN STRUCTURE	15	0	15	R
286	DOMING	15	0	15	R
323	PASSIVE CONTINENTAL MARGINE-SH	15	0	15	R
425	WHOLE GRABEN STRUCTURE	15	0	15	L
440	MARIN SEDIMENTARY ENVIRONMENT	15	0	15	L
444	SHELF SEDIMENTARY ENVIRONMENT	15	0	15	L
605	SURFACE AND NEAR SURFACE OXIDA	15	0	15	L
620	WEATHERING PRODUCTS EXIST	15	0	15	L
664	GOETHITE	15	0	15	L
732	SEDIMENTARY TEXTURES	15	0	15	L?
766	MATRIX	15	0	15	L
767	PELLETS	15	0	15	L
	Total	650	155	805	

SAB32

No	Type	Positive Score		Negative Score		Overall Score	
		W	%P	W	%P	W	%P
90	Placer PGE-Au	505	28.5	390	53.4	115	6.5
92	Diamond Placer	300	24.9	240	46.6	60	5.0
89	Placer Au-PGE	415	20.8	370	65.5	45	2.3
45	Volcanogenic-Mn	280	14.2	240	71.6	40	2.0

SAB32-1Y

####	Placer PGE-Au	Pos. Score	Neg. Score	Interval S	State
255	QUATERNARY	100	0	100	YES R
135	SAND	75	75	150	YES R
630	MAGNETITE IN RESIDUAL SOIL	30	0	30	YES L
736	COARSE GRAINE CLASTIC	30	0	30	YES L
835	Cr	30	75	105	YES L
844	Fe	30	30	60	YES L
1029	MAGNETITE	30	75	105	YES L
279	COMPRESSORIAL REGIME	15	0	15	YES R
306	CONTINENTAL	15	0	15	YES R
453	FLUVIAL FAN ENVIRONMENT	15	0	15	YES L
455	LOW ENERGY FLUVIAL FAN ENVIRON	15	0	15	YES L
456	ALLUVIAL FAN ENVIRONMENT	15	0	15	YES L
458	LOW ENERGY ALLUVIAL FAN ENVIRO	15	0	15	YES L
462	LOW GRADIENT STREAM SYSTEM	15	0	15	YES L
464	DESERT EOLIAN ENVIRONMENT	15	0	15	YES L
466	LOW WEATHERING/EROSION RATIO	15	0	15	YES L
467	STREAM PLACERS ENVIRONMENT	15	0	15	YES L
735	MEDIUM GRAINE CLASTIC	15	0	15	YES L
737	VERY COARSE GRAINE CLASTIC	15	0	15	YES L
Total		505	255	760	



####	Placer PGE-Au	Pos.Score	Neg.Score	Interval S	State
1148	Alaskan-PGE	150	0	150	L
1224	Placer PGE-Au	150	0	150	L
247	TERTIARY	100	0	100	R
830	Au	60	30	90	L
1045	NATIVES GOLD	60	75	135	L
1061	PGE MINERALS	60	75	135	L
3	MAFIC PLUTONIC SEQUENCE	50	50	100	R
628	CHROMITE IN RESIDUAL SOIL	30	0	30	L
635	FLOUR GOLD IN PLACERS	30	0	30	L
637	NATIVE PGE IN PLACERS	30	0	30	L
744	DESIMINATED	30	0	30	L
828	As	30	30	60	L
829	Ag	30	30	60	L
837	Cu	30	10	40	L
847	Hg	30	10	40	L
870	Sb	30	5	35	L
956	CHROMITE	30	30	60	L
1015	ILMENITE	30	30	60	L
17	LOW GRADE METAMORPHIC SEQUENCE	15	15	30	R
281	ACCRETED MARGINE	15	0	15	R
289	FAULT SYSTEM	15	0	15	R
291	HIGH ANGLE NORMAL FAULT	15	0	15	R
317	CONTINENTAL PLATE MARGINE	15	0	15	R
423	FAULTED STRUCTURE	15	0	15	L
434	LOW GRADE METAMORPHISM	15	0	15	L
445	NEAR SHORE SEDIMENTARY ENVIRON	15	0	15	L
449	CONTINENTAL SEDIMENTARY ENVIRO	15	0	15	L?
638	NATIVE GOLD IN PLACERS	15	0	15	L
756	NODULAR	15	0	15	-
793	SPARSELY DESIMINATED	15	0	15	L
795	FINE GRAINED DESIMINATED	15	0	15	L
809	CONCORDANT LAYERED	15	0	15	L
811	INTERLAYERED	15	0	15	L
812	BEDDED	15	0	15	L
Total		1200	390	1590	